# UERJ ON STADO OF THE STADO OF T

#### Universidade do Estado do Rio de Janeiro

#### Centro de Tecnologia e Ciências Faculdade de Oceanografia

Humberto Freitas de Medeiros Fortunato

A diversidade da Ordem Suberitida (Filo Porifera) sob a luz dos caracteres morfológicos, assinaturas metabólicas e sistemática molecular

#### Humberto Freitas de Medeiros Fortunato

## A diversidade da Ordem Suberitida (Filo Porifera) sob a luz dos caracteres morfológicos, assinaturas metabólicas e sistemática molecular

Tese apresentada, como requisito parcial para obtenção do título de Doutor, ao Programa de Pós-Graduação em Oceanografia, da Universidade do Estado do Rio de Janeiro. Área de concentração: Caracterização, Diagnóstico e Evolução de Ambientes Marinhos

Orientadora: Prof.ª Dra. Gisele Lôbo Hajdu

Coorientador: Prof. Dr. Thierry Pérez

#### CATALOGAÇÃO NA FONTE UERJ / REDE SIRIUS / BIBLIOTECA CTC/C

F745d Fortunato, Humberto Freitas de Medeiros.

A diversidade da Ordem Suberitida (Filo Porifera) sob a luz dos caracteres morfológicos, assinaturas metabólicas e sistemática molecular / Humberto Freitas de Medeiros Fortunato. – 2019.

266 f.: il.

Orientador: Gisele Lôbo Hajdu. Coorientador: Thierry Pérez.

Tese (Doutorado) - Universidade do Estado do Rio de Janeiro, Faculdade de Oceanografia.

1. Esponjas – Filogenia – Teses. 2. Biologia marinha – Teses. 3. Metabolômica – Teses. 4. Oceanografia – Taxonomia integrativa – Teses. 5. Atlântico, Oceano – Descoberta e explorações – Teses. I. Hajdu, Gisele Lôbo. II. Pérez, Thierry III. Universidade do Estado do Rio de Janeiro. Faculdade de Oceanografia. IV. Título.

CDU 593.4

Bibliotecária responsável: Fernanda Lobo / CRB-7: 5265

Autorizo,	, apenas para	fins ac	cadêmicos (	e científicos,	a reprodução	total ou p	oarcial de	esta t	ese,
desde que	e citada a fon	ite.							


Assinatura Data

#### Humberto Freitas de Medeiros Fortunato

### A diversidade da Ordem Suberitida (Filo Porifera) sob a luz dos caracteres morfológicos, assinaturas metabólicas e sistemática molecular

Tese apresentada, como requisito parcial para obtenção do título de Doutor, ao Programa de Pós-Graduação em Oceanografia, da Universidade do Estado do Rio de Janeiro. Área de concentração: Caracterização, Diagnóstico e Evolução de Ambientes Marinhos

Aprovada em 8 de Agosto de 2019.

Orientadora: Prof.ª Dra. Gisele Lôbo Hajdu

Instituto de Biologia Roberto Alcantara Gomes – UERJ

Coorientador: Prof. Dr. Thierry Pérez

Station Marine d'Endoume, Aix-Marseille Université - AMU

Banca Examinadora:

Prof<sup>a</sup>. Dra. Helena Passeri Lavrado Universidade Federal do Rio de Janeiro

Prof<sup>a</sup>. Dra. Nicole Boury-Esnault Aix-Marseille Université

Prof<sup>a</sup>. Dra. Valéria Laneuville Teixeira Universidade Federal do Estado do Rio de Janeiro

\_\_\_\_\_

Prof. Dr. Cristiano Valentim da Silva Lazoski Universidade Federal do Rio de Janeiro

\_\_\_\_\_

Prof. Dr. Luís Felipe Skinner Faculdade de Formação de Professores – UERJ

Rio de Janeiro

# DEDICATÓRIA

Dedico este trabalho às mulheres da minha família. Onde quer que estejam, olhem por mim. Vocês são exemplo de amor e dignidade: Vó Aglayr, mãe Maritza, irmãs Kharine, Vitória e Tamyris (*in memorian*).

#### **AGRADECIMENTOS**

Agradeço aos meus orientadores Gisele e Thierry por terem se disponibilizado a embarcar nessa aventura ao meu lado. Gi, obrigado pela confiança, suporte intelectual, financeiro e amizade extrema. Thierry, merci d'avoir essayé de faire de Marseille ma maison. Merci pour les enseignements scientifiques, les menus varies et délicieux, le football et l'amitié.

Ao Thiago, um verdadeiro companheiro de trabalho, um gênio escondido sob sua timidez, um orientador sem igual! Sem você esse trabalho não teria sido possível. Obrigado pelas dicas, pelos puxões de orelha, pelos cafés e almoços. Obrigado por acreditar em mim e nesse projeto.

Au Stéphane, pour votre soutien dans Le développement de tous lês travaux de métabolomique. Merci pour votre patience, pour Le temps investi en moi et pour être um compagnon quotidian dans um pays lointain.

À CAPES por ter concedido a minha bolsa de doutorado, a bolsa PDSE para a realização do doutorado sanduíche e por investir na ciência do país.

Ao professor Dr. Eduardo Hajdu por ter me incluído em diversas expedições no litoral nordestino, permitindo assim abranger e aumentar o número de espécimes coletados. Sem contar a oportunidade de admirar lugares paradisíacos tupiniquins.

Au professeur Jean Vacelet, Pope Sponge. Merci de m'avoir accueilli à Marseille, de votre attention lorsque vous m'avez appris à préparer des échantillons pour le microscope électronique, dês explications sur la biologie dês éponges, dês histories merveilleuses et pour votre grand copain du football.

A professora Nicole Boury-Esnault pelo carinho, ensinamentos e disponibilidade em atravessar o oceano para participar da minha banca de tese, atendendo ao meu pedido.

Au professeur Alexander Ereskovski pour m'aider à visualiser lês larves et lês embryons présents dans certains échantillons et de m'avoir brièvement parlé de La reproduction dês éponges.

Às(aos) professora(e)s Helena Lavrado, Suzi Ribeiro, Valéria Laneuville Teixeira, Anderson Villas-Bôas e Luís Felipe Skinner pelas correções, direcionamento e incentivo no trabalho, durante os seminários internos.

Ao secretário do PPG-Ocn, André Felippe por toda presteza e camaradagem durante esses quatro anos de labuta. Obrigado por esclarecer todas as dúvidas e lembrar a todos os discentes dos nossos deveres nessa caminhada. Você é 10!

Aos doutores Eduardo Hajdu, Eduardo Esteves, Ulisses Pinheiro, Thierry Pérez, Joana Sandes e a mestre Diana Ugalde por terem concedido diversos espécimes comparativos, tanto das Américas quanto da França.

Ao Laboratório Central (LC) da Universidade Federal de Pernambuco (UFPE), pela de prestação serviço de caráter multiusuário e interdisciplinar, no âmbito da Plataforma Tecnológica de Genômica e Expressão Gênica, o qual permitiu o sequenciamento das amostras de DNA.

Ao Laboratório de Microscopia Eletrônica de Varredura do Instituto de Química da UERJ pela disponibilidade nos serviços de microscopia de varredura eletrônica.

Ao Laboratório de Contracorrente do Instituto de Pesquisas de Produtos Naturais da UFRJ por disponibilizar o liofilizador para secar as amostras para a realização dos estudos de metabolômica. Levy, obrigado por fazer o meio de campo e pela camaradagem.

Ao técnico Eduardo do Núcleo de Biotecnologia Vegetal da UERJ por ajudar na liofilização das amostras e pelos ensinamentos sobre as metodologias de preservação de amostras para trabalho de metabolômica.

Aos membros do Projeto Grael, Thiago Marques e Milton Araújo, que receberam a proposta de desenvolver uma atividade extensionista com tanto carinho. Yoyo, obrigado por dividir comigo essa ideia!

Aos amigos cientistas que ajudaram nos campos e no laboratório. Obrigado por fazer destes quatro anos de ralação, um tempo de divertimento, reflexão e muito aprendizado sobre esponjas e sobre amizade. Obrigado, Anaíra Lage, Ester Gomes, Marcinha Motta, Camille Leal, Luiz Duarte, Cristiana Castello-Branco, Joana Sandes, Dora Leite, Sula Salani, André Bispo, Júlio Fernandez, Merry Grenier, César Ruiz, Renan Fructuoso, Felipe Sciamarella, Val Aguiar, Maurício Fernandes, Levy Domingos.

Aos amigos da vida (de dentro e de fora da Universidade) que me mantém firme e forte. Aqueles que fazem minha vida ganhar sentido, em tempos nefastos de sucateamento da educação brasileira. Por mais distante que estivéssemos meu coração e pensamento estão sempre com vocês. Sou grato pela amizade e cumplicidade de todos. Juliana Magalhães, Amanda Guilherme, Larissa Pires, Yollanda Vançato, Fernanda França. Aos amigos da minha vida toda Pablo, Sina, Fê, Muralha, Gustavo, Júnior, obrigado pelos finais de semana

descompromissados e leves. Nat, Liv e Rafa, o que a universidade nos deu, nada pode tirar. Amo todos vocês incondicionalmente!

A galera do Tigres FC por me acolher e proporcionar momentos únicos de alegria e solidariedade, sobretudo nos finais de semana.

À minha família, que sempre acreditou, torceu e apoiou minhas vontades. À minha mãe pela força, independente do momento, à minha vó pelo espírito de liberdade e conhecimento, à minha irmã pelo carinho. Amo vocês eternamente.

À Breylla, minha parceira de todo dia. Quem tem me aturado nos momentos mais tensos e proveitosos da vida, durante esses quatro anos. A pessoa que sempre me salva nas questões referentes à diagramação, formatação e produção de ilustrações, principalmente mapas. Obrigado por me escolher e me querer todo dia. Te amo!

O sonho da criação e a criação do sonho: a arte da ciência no tempo do impossível.

\*\*Jurandir, Wanderlei, Sereno e Enilson

\*\*G.R.E.S. Unidos da Tijuca, 2004 (Samba Enredo)

\*\*Beaucoup de gens attaquent la mer, je lui fais l'amour.

\*\*Jacques-Yves Cousteau\*

\*\*While I pass with my spongiological work the columns of Hercules, I am facing a task which, toits full extent, can only be performed with the strength of a hero.

O. E. Schmidt

#### **RESUMO**

FORTUNATO, Humberto Freitas de Medeiros. *A diversidade da Ordem Suberitida (Filo Porifera) sob a luz dos caracteres morfológicos, assinaturas metabólicas e sistemática molecular.* 2019. 266 f. Tese (Doutorado em Oceanografia) – Faculdade de Oceanografia, Universidade do Estado do Rio de Janeiro, Rio de Janeiro, 2019.

As esponjas representam o grupo mais basal do reino animal contendo morfologia simples e altamente plástica, dificultando a sua identificação. A estrutura esquelética e o conjunto espicular dos representantes da ordem Suberitida são variáveis desde o nível de ordem até o específico e grande parte da sua classificação se baseia na ausência de caracteres diagnósticos. O objetivo deste estudo foi identificar os representantes do grupo por meio de dados morfológicos, químicos e genéticos. Para isso, forma de crescimento, cor, habitat, tipo e tamanho de espículas e arquitetura esquelética foram analisados. Adicionalmente, a assinatura metabólica e o potencial citotóxico das espécies foram avaliados. Os dados morfológicos e químicos foram comparados às reconstruções filogenéticas obtidas por meio de quatro marcadores moleculares, dois nucleares (28S e ITS2) e dois mitocondriais (COX1 e 16S), em prol de um melhor entendimento sobre a sistemática do grupo. A estrutura secundária do gene ITS2 foi testada como um novo caráter fenotípico e obteve sucesso. Todas essas técnicas foram empregadas em espécimes coletados durante quatro anos de pesquisa no litoral do Brasil, Mar do Caribe, Golfo do México e Mônaco, além de diversos exemplares comparativos de Suberitida previamente depositados em coleções de Porifera. Um total de 174 indivíduos foram apresentados morfologicamente, 52 quimicamente e 459 comparados nas filogenias. Em Suberitida, 32 UTOs foram identificados em 11 gêneros. Três novos gêneros foram propostos (Ditylos, Solistyla e Tenebria) e um (Rhaphidostyla) foi ressuscitado, além de cinco espécies terem sido identificadas como novas: Halichondria sp. nov., Hymeniacidon sp. nov., Rhaphidostyla sp. nov., Suberites sp. nov. e Topsentia sp. nov. Características como a forma de crescimento, o tipo de superfície e a estrutura do esqueleto ectossomal e subectossomal foram diagnósticos para representantes de diversos gêneros. Assim, a ordem Suberitida não precisa mais ser classificada pela ausência de caracteres. As assinaturas metabólicas evidenciaram diferenças desde o nível de ordem até o nível específico, indicando alta utilidade para o suporte taxonômico, com ênfase nas fosfocolinas, glicolipídeos e esteróis aminosulfatados, e detectaram poluentes plásticos. As reconstruções filogenéticas com os quatro marcadores moleculares resgataram histórias semelhantes, com algumas especificidades referentes ao tipo de marcador e amostra inserida. Em todas as reconstruções filogenéticas, a espécie tipo do gênero Terpios agrupou na família Halichondriidae. Em geral, seis clados foram observados com alto suporte estatístico, sendo a família Halichondriidae aquela que ainda necessita de maior atenção. Alguns representantes dos gêneros Axynissa e Topsentia agruparam fora e pouco relacionados à ordem Suberitida, indicando a possível existência de uma ordem, aqui denominada "Topsentiida". As características morfológicas e metabólicas se sobrepuseram e estiveram de acordo com as relações filogenéticas provando a eficiência das técnicas em prol da taxonomia integrativa. Diante dos resultados expostos, as três famílias da ordem Suberitida possuem 29 gêneros e 451 espécies, das quais apenas 52 (11,5%) estão distribuídas no Oceano Atlântico Tropical Ocidental.

Palavras-chave: Esponjas marinhas. Filogenia. Metabolômica. Novas espécies. Taxonomia integrativa.

#### **ABSTRACT**

FORTUNATO, Humberto Freitas de Medeiros. *Diversity of the Order Suberitida (Phylum Porifera) enlightened by morphological traits, metabolomic fingerprint and molecular systematics*. 2019. 266 f. Tese (Doutorado em Oceanografia) – Faculdade de Oceanografia, Universidade do Estado do Rio de Janeiro, Rio de Janeiro, 2019.

Sponges represent the most basal group of the animal kingdom containing simple and high plastic morphology, turning their identification difficult. Skeletal structure and spicule set of representatives of the order Suberitida vary from order to species level, and much of their classification is based on the absence of diagnostic characters. The objective of this study was to identify group representatives through morphological, chemical and genetic data. For this, growth shape, color, habitat, type and size of spicules and skeletal architecture were analyzed. Additionally, the metabolic signature and cytotoxic potential of the species were evaluated. Morphological and chemical data were compared to phylogenetic reconstructions obtained by four molecular markers, two nuclear markers (28S and ITS2) and two mitochondrial markers (COX1 and 16S), in order to better understand the group systematics. The secondary structure of the ITS2 gene was tested with success as a new phenotypic character. All of these techniques were employed in specimens collected over four years of research in the Brazilian coast, the Caribbean Sea, the Gulf of Mexico, and Monaco, as well as several comparative Suberitida specimens previously deposited in Porifera collections. A total of 174 individuals were morphologically presented, 52 chemically and 459 compared in phylogenies. In Suberitida, 32 UTOs were identified in 11 genres. Three new genera were proposed (Ditylos, Solistyla and Tenebria) and one (Rhaphidostyla) was resurrected, and five species were identified as new: Halichondria sp. nov., Hymeniacidon sp. nov., Rhaphidostyla sp. nov., Suberites sp. nov. e Topsentia sp. nov. Characteristics such as growth shape, surface type and structure of the ectosomal and subectosomal skeleton were diagnostic for representatives of various genres. Thus, the Suberitida order no longer needs to be sorted by the absence of characters. The metabolic signatures showed differences from order to species level, indicating high utility for taxonomic support, with emphasis on phosphocholins, glycolipids and aminosulfated sterols, and detection of plastic pollutants. The phylogenetic reconstructions with the four molecular markers rescued similar histories, with some specificity regarding the marker type and inserted sample. In all phylogenetic reconstructions, the type species of the genus *Terpios* grouped in the family Halichondriidae. In general, six clades were observed with high statistical support, with the Halichondriidae family still needing the most attention. Some representatives of the genera Axynissa and Topsentia have grouped out and unrelated to the Submissive order, indicating the possible existence of another order, here named "Topsentiida". The morphological and metabolic characteristics overlapped and were in agreement with the phylogenetic relationships proving the efficiency of the techniques in favor of the integrative taxonomy. Given the results, the three families of the order Suberitida have 29 genera and 451 species, of which only 52 (11.5%) are distributed in the Western Tropical Atlantic Ocean.

Keywords: Marine sponges. Phylogeny. Metabolomics. New species. Integrative taxonomy.

#### LISTA DE FIGURAS

Figura 1 –	A representação da porção interna das esponjas com algumas de suas
	estruturas
Figura 2 –	Pequena representação da diversidade de espécies de esponjas
	marinhas do Oceano Atlântico Ocidental e Mar do Caribe
Figura 3 –	Esquema com algumas das áreas utilizadas nos estudos de taxonomia
	integrativa em esponjas marinhas
Figura 4 –	Alguns exemplos de substâncias químicas das classes dos esteróis e
	alcalóides já descritos em espécies da ordem Suberitida
Figura 5 –	Representação da área de estudo com os pontos de coleta em destaque.
Figura 6 –	Glossário dos tipos espiculares e principais arquiteturas esqueléticas
	observadas na Ordem Suberitida
Figura 7 –	Fotografias após a coleta de espécimes de Aaptos spp. na zona
	econômica exclusiva do Brasil
Figura 8 –	Retratação fotográfica dos conjuntos espiculares de Aaptos spp
Figura 9 –	Retratação fotográfica da arquitetura esquelética de Aaptos spp
Figura 10 –	Relação entre as médias do comprimento (μm) e da largura (μm) das
	estrongilóxeas observadas no gênero Aaptos
Figura 11 –	Anatomia externa de Suberites spp. registradas em poças de maré no
	Maranhão
Figura 12 –	Tilóstilos de Suberites spp. registradas em poças de maré no
	Maranhão. As imagens ilustram as variações nos tilos e tilóstilos para
	cada morfotipo
Figura 13 –	Relação entre as médias do comprimento (μm) e da largura (μm) dos
	tilóstilos observadas no gênero Suberites
Figura 14 –	Anatomia interna de Suberites spp. encontradas em poças de maré no
	Maranhão
Figura 15 –	Representação dos (sub)tilóstilos de Suberites sp. 2 e Suberites sp 3,
-	em microscopia ótica
Figura 16 –	Representação fotográfica da anatomia externa de <i>Terpios</i> spp
· ·	Tilóstilos de <i>Terpios</i> spp. do Brasil e da Martinica. <i>Terpios</i>

	gelatinosus e cf. Terpios (Mônaco), com detalhe para os tilos de cada
	indivíduo
Figura 18 –	Distribuição dos tilóstilos no esqueleto de Terpios spp
Figura 19 –	Relação entre as médias do comprimento (µm) e da largura (µm) dos
	tilóstilos observadas no gênero Terpios
Figura 20 –	Anatomia externa de Amorphinopsis spp. evidenciando a forma, cor e
	associação com epífitas
Figura 21 –	Anatomia interna de Amorphinopsis spp. evidenciando a estrutura
	esquelética desde a porção mais interna até a externa e as espículas em
	combinação no esqueleto
Figura 22 –	Relação entre as médias do comprimento (µm) e da largura (µm) das
	óxeas e dos estilos observados no gênero Amorphinopsis
Figura 23 –	Representação das variações na anatomia externa de Halichondria spp
Figura 24 –	Formas e tamanhos das óxeas fusiformes de Halichondria spp
Figura 25 –	Esqueleto interno de diferentes espécies de Halichondria
	(Halichondria)
Figura 26 –	Relação entre as médias do comprimento (μm) e da largura (μm) das
	óxeas observados no gênero Halichondria
Figura 27 –	Anatomia externa, conjunto espicular (óxeas), organização esquelética
	e posicionamento e forma larval de exemplares do gênero
	Halichondria
Figura 28 –	Anatomia externa e interna de Halichondria sp. nov
Figura 29 –	Caracteres anatômicos externos e internos de Hymeniacidon
	heliophila
Figura 30 –	Relação entre as médias do comprimento (µm) e da largura (µm) dos
	estilos observados em alguns representantes do gênero Hymeniacidon
	distribuídos no Oceano Atlântico
Figura 31 –	Anatomia externa e interna de dois exemplares de Hymeniacidon
	caerulea do Caribe
Figura 32 –	Características anatômicas externas (A) e internas (B e C) de
	Hymeniacidon sp. nov
Figura 33 –	Prancha ilustrativa de exemplares de Rhaphidostyla sp. nov.
	encontrados na Baía de Ilha Grande (RJ)

Figura 34 –	Exemplos da diversidade morfológica de <i>Topsentia</i> spp	95
Figura 35 –	Ilustração da arquitetura esquelética e da forma das espículas	
	encontradas em Topsentia spp	97
Figura 36 –	Relação entre as médias do comprimento (μm) e da largura (μm) das	
	óxeas observados no gênero Topsentia	100
Figura 37 –	Esquema da integração de ferramentas de estudo na era das ômicas	114
Figura 38 –	Fluxograma do processo de extração para as análises de metabolômica	
	e bioatividade	119
Figura 39 –	Fluxograma das etapas de trabalho de metabolômica sem alvo	123
Figura 40 –	Comparação geral entre os perfis químicos	127
Figura 41 –	Comparação entre os perfis químicos de representantes de duas	
	famílias da ordem Suberitida	128
Figura 42 –	Distribuição das espécies de Suberitida e dos grupos externos a partir	
	da análise de PCA explicada pelos eixos 1 e 2 com o somatório >50 %	131
Figura 43 –	Agrupamento de espécies gerado com o coeficiente de Spearman e o	
	método de ligação completa, a partir das assinaturas metabólicas	132
Figura 44 –	Mapa de calor indicando a ordenação das espécies frente a intensidade	
	dos metabólitos VIP	141
Figura 45 –	Redes metabólicas com famílias de compostos específicas obtidas a	
	partir de fragmentos de íons precursores em análise em tandem e suas	
	prováveis fórmulas moleculares, à direita	142
Figura 46 –	Resposta ecotoxicológica das esponjas e dos graus de polaridade dos	
	metabólitos frente à bactéria Aliivibrio fischeri	145
Figura 47 –	Topologia baiesiana da relação filogenética na subclasse	
	Heteroscleromorpha Cárdenas, Pérez, Boury-Esnault, 2012	156
Figura 48 –	Fluxograma das etapas do estudo genético das esponjas marinhas,	
	desde a extração de DNA até a edição das sequências	159
Figura 49 –	Representação gráfica do número de novas amostras sequenciadas	
	com marcadores nucleares e mitocondriais por região geográfica	165
Figura 50 –	Relações filogenéticas recuperadas para as esponjas	
	heteroscleromorfas utilizando o marcador 28S com o método de	
	Verossimilhança Máxima.	167
Figura 51 –	Relações filogenéticas recuperadas para os clados a e b referentes a	

	Figura 50	168
Figura 52 –	Relações filogenéticas recuperadas para o clado c referente à Figura	
	50	169
Figura 53 –	Relações filogenéticas recuperadas para as esponjas suberitidas (d)	
	utilizando o marcador 28S com o método de Verossimilhança	
	Máxima	171
Figura 54 –	Reconstrução filogenética da ordem Suberitida utilizando o marcador	
	ITS2 pelo método de Máxima Verossimilhança	172
Figura 55 –	Relação filogenética da subclasse Heteroscleromorpha Cárdenas,	
	Pérez, Boury-Esnault, 2012 desde o nível de ordem até o nível	
	específico, utilizando o marcador mitocondrial 16S por meio do	
	método de Verossimilhança Máxima	173
Figura 56 –	Relações filogenéticas recuperadas para as esponjas	
	heteroscleromorfas utilizando o marcador COX1 com o método de	
	Verossimilhança Máxima	174
Figura 57 –	Detalhamento das relações filogenéticas recuperadas para o clado a, na	
	Figura 56.	175
Figura 58 –	Detalhamento das relações filogenéticas recuperadas para o clado b,	
	na Figura 56	176
Figura 59 –	Detalhamento das relações filogenéticas recuperadas para o clado c	
	(Ordem Suberitida), na Figura 56	177
Figura 60 –	Comparação da estrutura secundária do gene ITS2 dentro da ordem	
	Suberitida, reconstruída com o método de Máxima Verossimilhança	
	para sequências geradas neste estudo e sequências já existentes	180
Figura 61 –	Comparação entre as árvores moleculares geradas por análises de	
	metabolômica (A) e filogenia com o marcador 28S (B) para amostras	
	de Suberitida, Tetractinellida e "Topsentiida", com maior	
	detalhamento para a família Halichondriidae (C)	192
Figura 62 –	Novo posicionamento filogenético dos gêneros de Suberitida aqui	
	trabalhados	200

#### LISTA DE TABELAS

Tabela 1 –	Espécies da ordem Suberitida compartilhadas entre o litoral Caribe e	
	do Brasil	31
Tabela 2 –	Representação da ordem Suberitida em termos de classificação,	
	apontando o número de espécies distribuídas na região Tropical	
	Ocidental Atlântica (Golfo do México, Caribe e Brasil)	41
Tabela 3 –	UTOs identificados através de caracteres morfológicos e as suas	
	distribuições	48
Tabela 4 –	Comparação espicular entre diferentes espécies de Aaptos spp	54
Tabela 5 –	Tabela comparativa do tamanho e forma das espículas de diferentes	
	espécies de Suberites spp	59
Tabela 6 –	Comparação do tamanho dos tilóstilos e cor de diferentes espécies do	
	gênero Terpios encontradas no Oceano Atlântico, Mar do Caribe e	
	Mar Mediterrâneo	69
Tabela 7 –	Comparação das características do tilo de diferentes espécies do	
	gênero Terpios encontradas no Oceano Atlântico, Mar do Caribe e	
	Mar Mediterrâneo	70
Tabela 8 –	Micrometria comparativa de diferentes espécies de Amorphinopsis e a	
	variação nas medidas dentro de A. atlantica	74
Tabela 9 –	Comparação entre as espécies do gênero Halichondria distribuídas	
	entre o Caribe e a América do Sul	79
Tabela 10 –	Comparação dos tipos e tamanhos das espículas e cores de	
	Hymeniacidon spp. e Rhaphidostyla spp	89
Tabela 11 –	Comparação espicular de Topsentia spp. do Atlântico, Mar do Caribe,	
	Golfo do México e o tipo do Mar Mediterrâneo	98
Tabela 12 –	Algumas substâncias químicas já isoladas de diferentes gêneros de	
	Suberitida	112
Tabela 13 –	Informações gerais sobre a quantidade de material utilizado e extrato	
	obtido	120
Tabela 14 –	Principais picos detectados nos perfis metabólicos das espécies de	
	Suberitida	124

Tabela 15 –	VIPs identificados nos testes estatísticos aplicados pelo programa	
	MetaboAnalyst 3.0	133
Tabela 16 –	Primers utilizados durante este trabalho para os diferentes marcadores	
	moleculares	160
Tabela 17 –	Quantitativo de sequências comparativas incluídas nas análises	
	filogenéticas de cada ordem de Heteroscleromorpha por marcador	
	molecular	162
Tabela 18 –	Comparação entre a classificação antes e depois das propostas	
	apresentadas no presente estudo e demonstradas na Figura 62	201

#### LISTA DE ABREVIATURAS E SIGLAS

 $\Delta G$  delta G

°C Graus Celcius cm Centímetro

h Horas

km² Quilômetros quadrados

kV Quilowatts m Metros

mAMiliamperes Miligrama mg Mililitros mLMinutos min mm Milímetros mMMilimol Nanograma ng Nanômetro nmPartes por mil

ppm Partes por m
s Segundos
μm Micrômetro
μg Micrograma

 $\begin{array}{ll} \mu L & \quad \mbox{Microlitro} \\ \mbox{aff.} & \quad \mbox{Afinidade} \end{array}$ 

ANOVA Análise de variância

ANTr Atlântico Noroeste Tropical APA Área de Proteção Ambiental

APARC Área de Proteção Ambiental dos Recifes de corais

Ara-A Vidarabina Ara-C Citarabina

ASTe Atlântico Sudoeste Temperado

ASTeQ Atlântico Sudoeste Temperado Quente

ASTr Atlântico Sudoeste Tropical

ATBC Acetil tributil citrato (sigla em inglês)

BA Bahia

BIG Baía da Ilha Grande BTS Baía de Todos os Santos

CE Ceará
cf. Conferir

COX Citocromo oxidase

CTAB Brometo de Cetil-Trimetil Amônio

DCM Diclorometano

DEHP Di(2-etilhexil) ftalato (sigla em inglês)

DNA Ácido desoxirribonucleico

EC<sub>50</sub> Efeito de concentração máximo para 50% da população

EDTA Ácido etilenodiamino tetra-acético

ESI Ionização por spray elétrico (sigla em inglês)

FN Arquipélago de Fernando de Noronha

GEBCO The General Bathymetric Chart of the Oceans

GNPS Global Natural Product Social

GSL Glicoesfingolipídeos

GTR Tempo Geral Reversível (sigla em inglês)

GuHCl Hidrocloreto de Guanidina

HPLC Cromatografia Líquida de Alta Performance (sigla em inglês)

HMM Modelo escondido de Markov (sigla em inglês)ITS Espaçador interno transcrito (sigla em inglês)

LABMEV Laboratório de Microscopia Eletrônica de Varredura

L Leste

LC Laboratório Central

LGMar Laboratório de Genética Marinha

MA Maranhão

MAA Milhões de anos atrás

MeOH Metanol

MEV Microscopia Eletrônica de Varredura

MFE Mínimo de energia livre (sigla em inglês)

ML Máxima Verossimilhança

MNRJ Museu Nacional, Rio de Janeiro

MS Espectrometria de massa

MS/MS ou Espectrometria de massa em tandem

MS2

N Norte

N° inds. Número de indivíduos

NE Nordeste

NJ Neighbor Joiningn.r. Não registradopb Pares de base

PCA Análise de Componentes Principais (sigla em inglês)

PCB Bifenilpoliclorado (sigla em inglês)

PCR Reação em Cadeia da Polimerase (sigla em inglês)

PEMPRM Parque Estadual Marinho da Pedra da Risca do Meio

PAF Fator de ativação de plaquetas

PARNAMAR Parque Nacional Marinho PNBr Plataforma Norte do Brasil

PLSDA Regressão de Mínimos Quadrados Parciais (sigla em inglês)

PVC Cloreto de polivinil (sigla em inglês)

RJ Rio de Janeiro

RMN Ressonância Magnética Nuclear

RN Rio Grande do Norte RNA Ácido ribonucleico

RNAse Ribonuclease rRNA RNAribossomal

S Sul

SCUBA Self Contained Underwater Breathing Apparatus

SE Sudeste
SIRT Sirtuína
sp. Espécie

sp. nov. Espécie nova

spp. Espécies

TBC Tributil citrato (sigla em inglês)

UERJ Universidade do Estado do Rio de Janeiro

UERJPOR Coleção de Porifera da Universidade do Estado do Rio de Janeiro

UFPE Universidade Federal de Pernambuco

UFPEPOR Coleção de Porifera da Universidade Federal de Pernambuco

UNAM Universidad Nacional Autónoma de México

UTOs Unidade Taxonômica Operacional

VIP Importância Variável em Projeção (sigla em inglês)

vs. Versus

#### SUMÁRIO

	INTRODUÇÃO
1	CARACTERÍSTICAS GERAIS DO FILO PORIFERA GRANT, 1936
2	MATERIAL E MÉTODOS
2.1	Área de Estudo
2.2	Coleta e preservação dos espécimes
3	A TAXONOMIA MORFOLÓGICA E AS SUAS LIMITAÇÕES NA
	ORDEM SUBERITIDA
3.1	Introdução
3.2	Objetivos
3.3	Material e Métodos
3.3.1	Preparação morfológica
3.3.1.1	Dissociação espicular
3.3.1.2	Protocolo de corte perpendicular e tangencial
3.3.1.3	Micrometria das espículas
3.3.1.4	Identificação das espécies
3.4	Resultados
3.5	Discussão
4	A UTILIZAÇÃO DA METABOLÔMICA EM PROL DE UMA
	TAXONOMIA INTEGRATIVA EM SUBERITIDA
4.1	Introdução
4.2	Objetivos
4.3	Material e Métodos
4.3.1	Extração química.
4.3.2	Análise metabólica por testes multivariados
4.3.3	Visualização e interpretação metabólica por redes moleculares
4.3.4	Teste de bioatividade Microtox®
4.4	Resultados
4.4.1	Perfis cromatográficos (assinaturas metabólicas)
4.4.2	Análises multivariadas
4.4.3	Visualização e interpretação metabólica por redes moleculares

Toxicidade dos	meta	<u>ıbólitos pelo teste de</u>	Microtox®	•••••	
Discussão					•••••
FILOGENIA	E	SISTEMÁTICA	MOLECULAR	DA	ORDEM
SUBERITIDA					
Introdução	•••••			•••••	
Objetivos	•••••				•••••
Material e Mét	todos	5			
Extração e quar	ntifica	ação dos ácidos nucl	eicos		
Marcadores mo	lecul	ares e amplificação o	de DNA	•••••	
Sequenciamento	o, edi	ição e alinhamento n	núltiplo das sequênci	as gêni	icas novas e
comparativas	•••••				
Anotação e estr	utura	secundária do ITS2		•••••	
Reconstruções f	filoge	enéticas			
Resultados					
Interpretação da	as rec	construções filogenét	icas		
Interpretação da	estru	ıtura secundária do I	<u>TS2</u>		
Discussão	•••••				
DISCUSSÃO (	GER	AL: A TAXONOM	IIA INTEGRATIV	A EM	PROL DE
UMA NOVA P	PROI	POSTA SISTEMÁT	ΓICA	•••••	
Superando des	afios	·		•••••	
Convergência	de re	lações a partir do u	so de diferentes téc	nicas	
Novas proposta	as de	diagnose e classific	cação em Suberitida	1	
CONCLUSÕE	S				
REFERÊNCIA	<b>AS</b>			•••••	
APÊNDICE A	- L	Lista dos 180 espéc	imes de Suberitida	e grup	os externo
trabalhados con	n suc	esso morfológico e i	nolecular. Todos os	espécir	nes tiveran
a morfologia av	aliad	a			
APÊNDICE B	– Li	ista comparativa de	amostras trabalhada:	s para a	a realização
das reconstruçõ	es fil	ogenéticas com os m	narcadores 28S, ITS2	, COX	1 e 16S
		A . 1		le dos i	espacadore
APÊNDICE C	– Se	equência da estrutura	a secundária centróic	ic dos .	espaçadore
			a secundária centróic		
internos transcr	itos (	ITS2) de Suberitida.			

observados na porção mais distal dos ramos em (A)	259
ANEXO A - Teste de bioatividade Microtox® com a bacteria Aliivibrio fisheri.	261
ANEXO B - Protocolo de extração de DNA com Hidrocloreto de Guanidina	
(GuHCl) (Lôbo-Hajdu et al., 1999) e Protocolo de extração de DNA com	
tampão de lise contendo Brometo de Cetil-Trimetil Amônio (CTAB) sensu de	
Paula (2016)	262
ANEXO C – Preparação do gel de agarose com tampão de corrida Tris-acetato-	
EDTA (TAE) para visualização do DNA extraído e do produto de PCR	265

#### INTRODUÇÃO

O objetivo geral desta tese é integrar as ferramentas morfológicas, genéticas, químicas e geográficas para identificar espécies de esponjas marinhas da ordem Suberitida Chombard & Boury-Esnault, 1999 distribuídas majoritariamente em águas rasas (até 30 m), entre o litoral do Brasil e o do Caribe. No Oceano Atlântico Tropical Ocidental (OATO), diversas espécies de Porifera Grant, 1936 são amplamente distribuídas, mesmo este grupo sendo representado por espécies cujas larvas vivem poucos dias na coluna d'água (MALDONADO, 2006) e com a presença de rios com grandes volumes nas regiões Norte e Nordeste do Brasil, os quais poderiam atuar como barreiras geográficas para espécies sésseis. Ademais, estudos filogenéticos vêm demonstrando a existência de polifilias em gêneros de Suberitida (MORROW *et al.*, 2012, 2013; REDMOND *et al.*, 2013; THACKER *et al.*, 2013). Assim sendo, a hipótese geral deste trabalho é a de que grande parte das espécies de Suberitida compartilhadas entre o Mar do Caribe e o litoral do Brasil não são da mesma espécie ou formam espécies crípticas tendendo à especiação.

Para responder a hipótese proposta e expor os objetivos traçados, esta tese foi separada em três capítulos. O Capítulo 1 foi voltado para a delimitação de caracteres morfológicos como objetivo de descrever novas espécies e redescrever espécies já conhecidas da Ordem Suberitida, bem como adicionar novos caracteres diagnósticos às redescrições. O Capítulo 2 elucidou os prós e os contras da utilização da metabolômica na taxonomia integrativa, comparando os resultados químicos com os oriundos da taxonomiaalfa. Grande parte das amostras deste capítulo são referentes a família Halichondriidae. O potencial de toxicidade dos metabólitos de Suberitida contra a bactéria *Aliivibrio fischeri* também foram medidos com objetivo de evidenciar o potencial citotóxico em esponjas suberitidas. O Capítulo 3 reconstruiu filogenias com marcadores moleculares nucleares e mitocondriais, bem como integrou os dados morfológicos, químicos e genéticos para o estudo da sistemática molecular Suberitida. Com base nas amostras do OATO e a partir da elucidação de novos caracteres diagnósticos, um novo paradigma sobre a definição, a filogenia e a diversidade de Suberitidaforam discutidos e propostos ao final desta tese.

#### 1 CARACTERÍSTICAS GERAIS DO FILO PORIFERA GRANT, 1936

As esponjas (Filo Porifera Grant, 1836) são animais exclusivamente aquáticos, bentônicos, sésseis ou sedentários com ampla distribuição (BERGQUIST, 1978). Elas estão localizadas na base da árvore evolutiva dos metazoários (FEUDA et al., 2017; SIMION et al., 2017; SOGABE et al., 2019), tendo surgido há aproximadamente 550 milhões de anos atrás (MAA) (ANTCLIFF et al., 2014; BOTTING e MUIR, 2018) e são consideradas como os animais mais antigos do mundo ainda existentes. A alimentação das esponjas é comumente realizada por filtração passiva de partículas microscópicas de nutrientes e matéria orgânica dissolvida (DE GOEIJ et al., 2008, GODEFROY et al., 2019), porém algumas espécies de ambientes profundos ou cavernas, com características particulares, predam pequenos invertebrados (VACELET e BOURY-ESNAULT, 1995, GODEFROY et al., 2019). As esponjas se diferenciam dos demais metazoários pela presença exclusiva de câmaras coanocitárias, as quais ligam um sistema de poros inalantes e exalantes, formando o sistema aquífero (Figura 1) e devido à natureza totipotente de suas células.

Estes animais são multicelulares, com células com potencial totipotente (uma célula pode gerar outra com função diferente), porém sua anatomia celular é fundamentalmente diferente de outros animais (LEYS e HILL, 2012), e há ainda muitas perguntas não respondidas sobre a estrutura e homologia de seus tecidos em comparação com epitélios em outros animais, uma vez que não há formação de gástrula durante o desenvolvimento embrionário nas esponjas (ERESKOVSKY, 2010; LEYS e RIESGO, 2012). No geral, as esponjas são hermafroditas com a capacidade de realizar reprodução assexuada ou sexuada, podendo ser tanto vivíparas quanto ovíparas (BERGQUIST, 1978). As larvas são lecitotróficas, ciliadas e com pequeno tempo de vida planctônica (MALDONADO, 2006), de camada única e oca ou com camada dupla e sem cavidade (ERESKOVSKY, 2010).

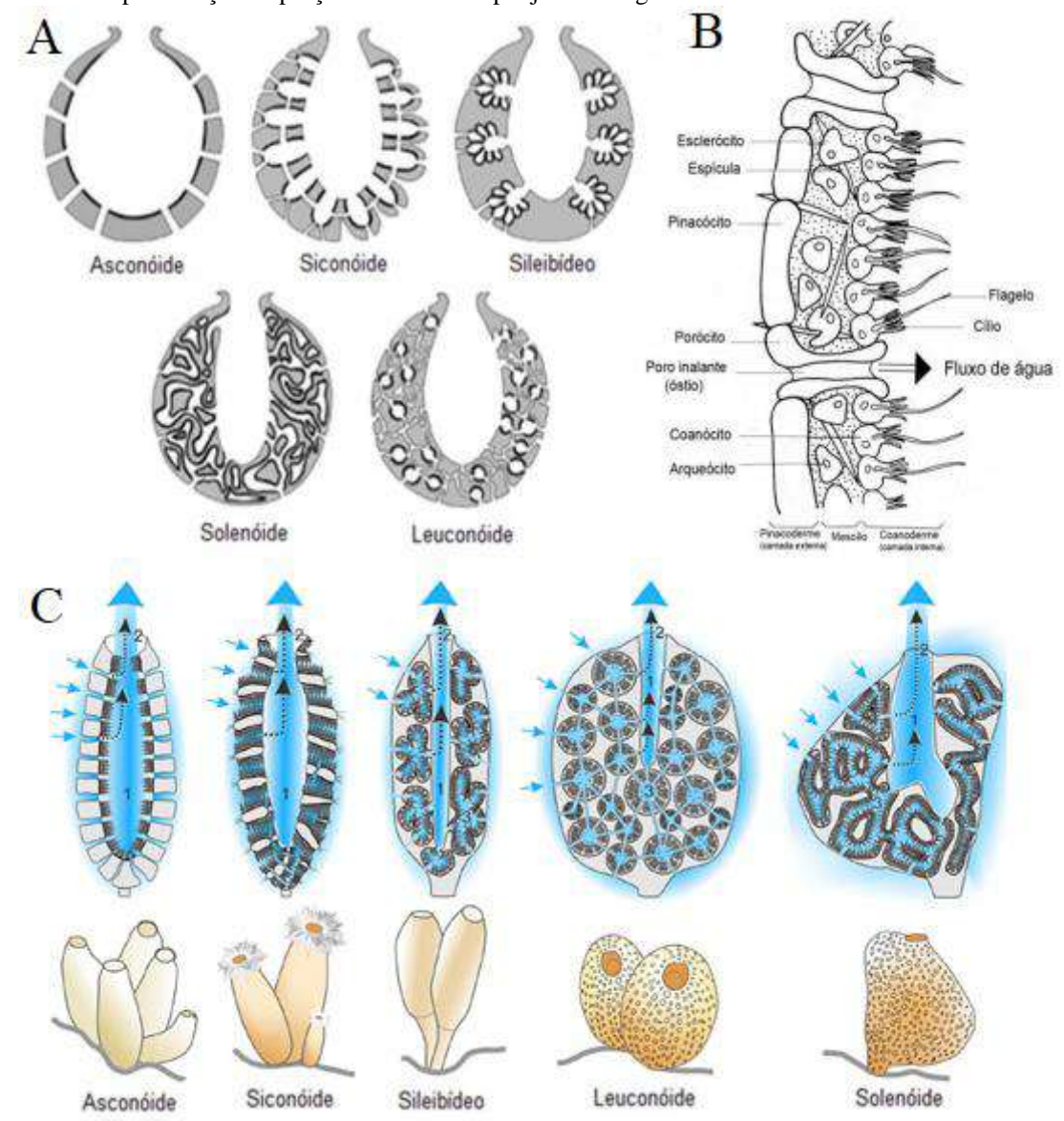


Figura 1 – A representação da porção interna das esponjas com algumas de suas estruturas.

Legenda: A – sistemas aquíferos; B – tipos celulares e modo de filtração; C – direção e fluxo de água nos diferentes sistemas aquíferos.

Nota: A — Os cinco diferentes tipos de sistemas aquíferos encontrados em esponjas marinhas. O nível de organização segue do mais simples (asconóide) para o mais complexo (leuconóide) e B — O posicionamento de alguns dos tipos celulares das esponjas e C — direção do fluxo de água nas esponjas filtradoras.

Fonte: Cavalcanti e Klautau (2011), Goudie et al. (2013) e Godefroy et al. (2019). Modificada pelo autor, 2019.

A identificação das esponjas é normalmente realizada através dos caracteres morfológicos, os quais apresentam uma diversidade extraordinária tanto interna quanto externamente (ver detalhes em BOURY-ESNAULT e RÜTZLER, 1997, Figura 2). As características do esqueleto das esponjassão os principais caracteres utilizados na taxonomia alfa. Quando presente, o esqueleto pode ser formado por espículas silicosas ou calcáreas e/ou fibras de espongina, cuja distribuição forma tipos diferentes de esqueleto, permitindo assim diferenciar os grandes grupos de poríferos (HOOPER e VAN SOEST, 2002a). Mesmo com

tantas possibilidades estruturais, há ainda esponjas que não apresentam determinados caracteres, sendo esta ausência um caráter taxonômico. Tal situação pode ser observada na descrição de Suberitida, por exemplo.

Atualmente, cerca de 9.100 espécies de esponjas são conhecidas no mundo, sendo a Classe Demospongiae a mais rica, com mais de 85% das espécies (VAN SOEST et al., 2019). Segundo Appeltans e colaboradores (2012), ainda devem existir três vezes mais esponjas para serem descritas ao redor no globo. Os poríferos exercem funções essenciais no ambiente aquático participando ativamente dos ciclos biogeoquímicos do carbono (DE GOEIJ et al., 2013; MCMURRAY et al., 2018; HOER et al., 2018), do nitrogênio (DE GOEIJ et al., 2008; FIORE et al., 2013; JIMÉNEZ e RIBES, 2007), da sílica (MALDONADO et al., 1999; CHU et al., 2011) e do fósforo (ZHANG et al., 2015a), disponibilizando nutrientes em ambientes oligotróficos para a sobrevivência de comunidades de espécies em desertos marinhos. Em ambientes degradados ou que sofreram ações intempestivas da natureza, as esponjas funcionam como catalisadoras da regeneração da diversidade ecossistêmica (WULFF, 2006a, 2013) devido ao potencial totiponte de suas células, alta taxa de reprodução assexuada e intensa relação interespecífica. Os diferentes tipos de crescimento encontrados nos poríferos possibilitam que este grupo colonize os mais diversos ecossistemas aquáticos contribuindo para a formação de habitats tridimensionais complexos, representando uma biomassa, abundância e riqueza de espécies exuberantes (BARTHEL e GUTT, 1992; DÍAZ e RÜTZLER, 2001; MOURA et al., 2016), aumentando assim a biodiversidade local (BEAZLEY et al., 2013).

O filo Porifera também é importante para a economia de determinadas regiões. Esses animais são conhecidos e explorados pelo ser humano há séculos, com uma estimativa de início há 4-5 mil anos atrás, por pescadores, na Grécia e Tunísia (ver VOULTSIADOU *et al.*, 2011; FAO, 2017), sendo o mercado de produção e venda voltado para o uso doméstico, majoritariamente. Atualmente, os principais polos de aquicultura e comércio de esponjas são o Golfo do México e o Mediterrâneo (FAO, 2017), os quais podem utilizar diferentes formas de produção, a fim de agilizar o crescimento do produto (ver ÇELIK *et al.*, 2011).

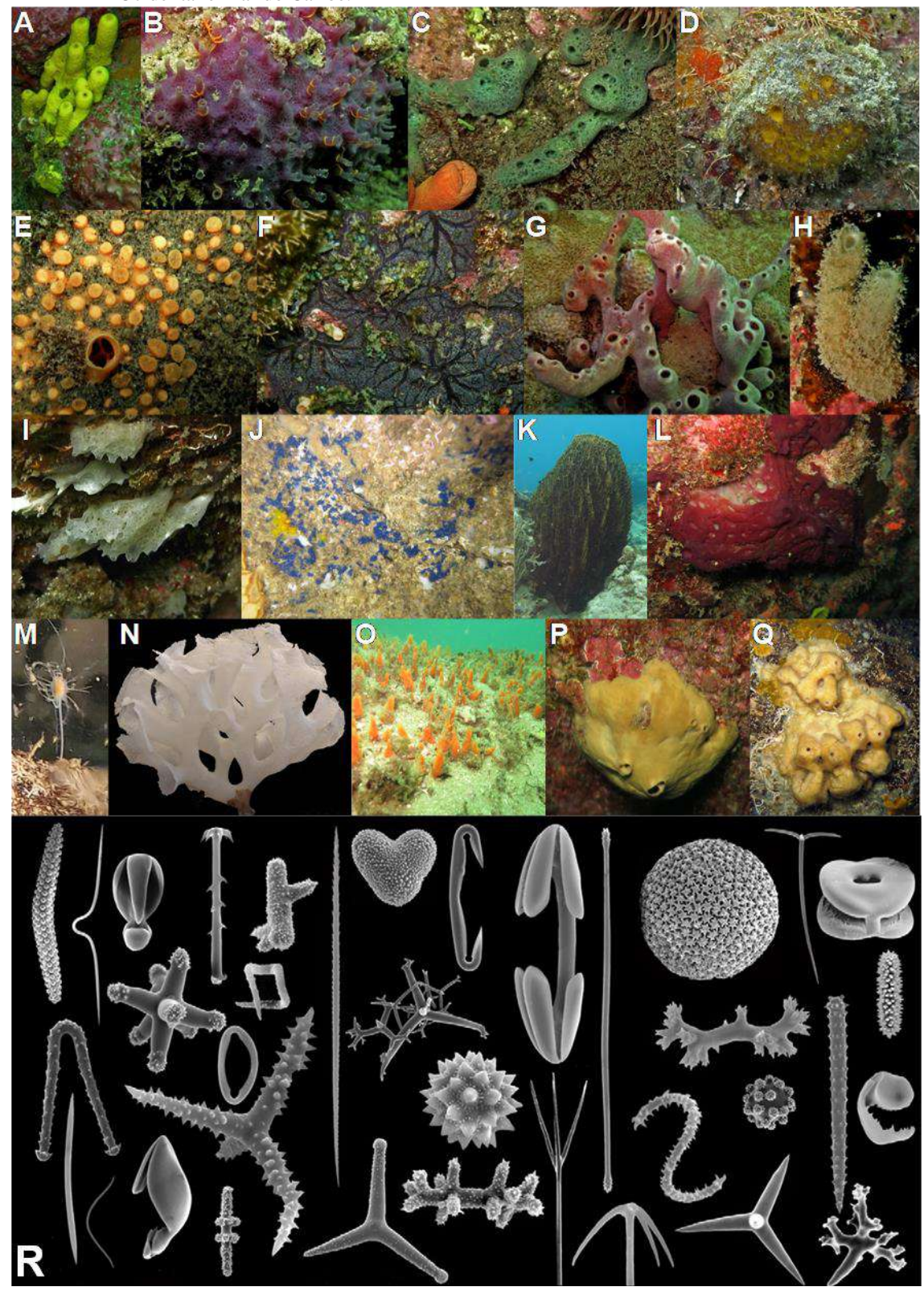


Figura 2 - Pequena representação da diversidade de espécies de esponjas marinhas do Oceano Atlântico Ocidental e Mar do Caribe.

Legenda: A-Q) Exemplos de anatomia externa das quatro classes de Porifera e R) diversidade de espículas existentes nos poríferos.

Fonte: A-Q) Fotografias de Humberto Fortunato, Gisele Lôbo Hajdu e Jean Vacelet (N). R) Ilustração de van Soest *et al.* (2012). Modificada pelo autor, 2019.

A utilização de esponjas na produção de fármacos é outra vertente que vem crescendo exponencialmente nas últimas décadas. O filo Porifera produz uma grande diversidade de famílias de metabólitos (KORNPROBST, 2005), fazendo deste grupo de animais marinhos os principais na produção de compostos químicos bioativos (SIPKEMA et al., 2005; POMPONI, 2006; MEHBUB et al., 2014; ANJUM et al., 2016). As atividades biológicas das substâncias químicas de esponjas marinhas são diversas, sendo alguns compostos já comercializados pela indústria farmacêutica, como o Ara-A e o Ara-C, provenientes de nucleosídeos isolados de *Tectitethya crypta* (de Laubenfels, 1949), os quais atuam como agentes antitumorais e antivirais (PROKSCH et al., 2002). Grande parte desta diversidade está associada à comunidade holobionte que vive nas esponjas, sendoesta comunidade a responsável pela produção de uma grande variedade de substâncias químicas (PIEL, 2004), enquanto as esponjas produzem outros metabólitos (FLATT et al., 2005; TERNON et al., 2016).

As esponjas atuam em diversos tipos de interação ecológica (WULFF, 2006b, 2012). Em algumas associações interespecíficas, as esponjas podem ser beneficiadas (WILKINSON, 1978; SILVA *et al.*, 2017), prejudicadas (GUIDA, 1976; BO *et al.*, 2012; PAWLIK *et al.*, 2018) ou a interação pode não afetar os poríferos (CROCKER e REISWIG, 1981; MONTENEGRO-GONZÁLEZ e ACOSTA, 2010). A alta diversidade na produção de compostos químicos se reflete na grande capacidade competitiva, defensiva e evolutiva das esponjas nos ambientes bentônicos (PROKSCH, 1994; THACKER *et al.*, 1998; HILL *et al.*, 2005; PAWLIK, 2011; RIBEIRO *et al.*, 2013).

Devido à simplicidade morfológica, grande capacidade adaptativa e representarem a base do reino Animalia, as esponjas formam um grupo essencial para a compreensão evolutiva dos caracteres nos animais. Neste sentido, diversos estudos já foram realizados com o objetivo de elucidar pontos fundamentais como: i) gênese das células e suas interações celulares (PANCER *et al.*, 1998; HASELEY *et al.*, 2001; DEGNAN *et al.*, 2005), ii) formação do sistema nervoso ou sensorial (LEYS e DEGNAN, 2001; LUDEMAN *et al.*, 2014; LEYS, 2015) e imunológico (HILDEMANN *et al.*, 1979; MÜLLER e MÜLLER, 2003), iii) produção de biominerais a partir da sílica (POLINI *et al.*, 2012; WANG *et al.*, 2013), iv) funcionamento das vias metabólicas (GENTA-JOUVE e THOMAS, 2012), v) identificação e produção de substâncias químicas com funções medicinais (SIPKEMA *et al.*, 2005; SILVA *et al.*, 2006; PERDICARIS *et al.*, 2013), entre outros.

Apesar de tantos estudos já terem sido realizados com esponjas marinhas, até hoje a classificação do grupo não é bem resolvida. Este problema se deve à combinação da

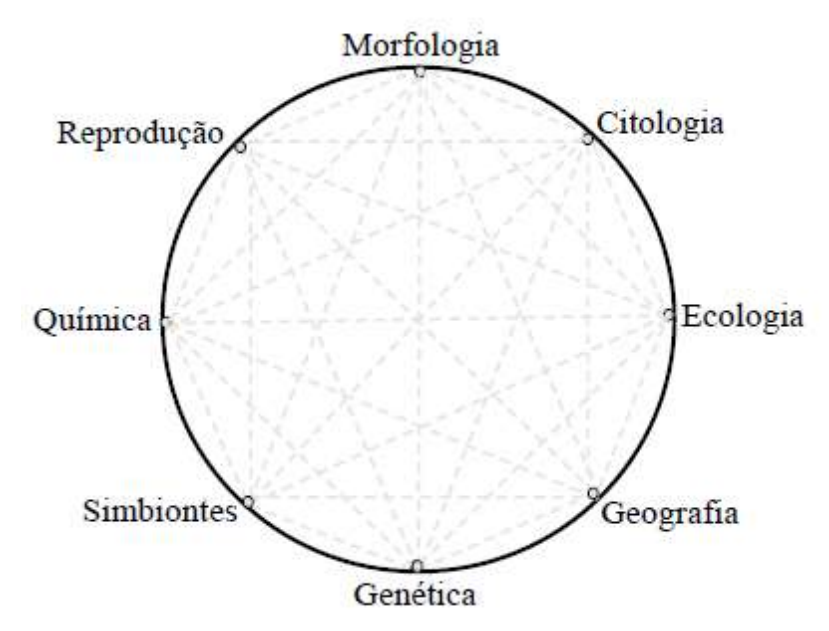
simplicidade morfológica das espécies aliada à alta plasticidade morfológica em resposta às variáveis ambientais. Para resolver tal problema, os especialistas têm utilizado diferentes ferramentas em conjunto para elucidar caracteres diagnósticos, e assim, identificar as espécies com maior robustez. Essa abordagem é chamada de taxonomia integrativa (DAYRAT, 2005; Figura 3). Os principais estudos de taxonomia integrativa utilizando esponjas são realizados por meio da sistemática molecular (genética), como por exemplo Gerasimova *et al.* (2008) e Melis *et al.* (2016). Estudos integrando ecologia (WULFF, 2006c), citologia (MURICY *et al.*, 1996; ERESKOVSKY *et al.*, 2014), reprodução (LÉVI, 1956; AYLING, 1980; ERESKOVSKY, 2004), geografia (HAJDU e DESQUEYROUX-FAÚNDEZ, 2008; AZEVEDO *et al.*, 2015), microrganismos (RÜTZLER e SMITH, 1993) e química (BERGQUIST e WELLS, 1983; IVANISEVIC *et al.*, 2011a,b) também já foram utilizados para realizar a redescrição ou identificação de novas espécies, assim como para elucidar relações filogenéticas através de ferramentas distintas (BOURY-ESNAULT *et al.*, 2013).

Em 2002, Hooper e van Soest organizaram, com o auxílio de aproximadamente 40 especialistas, a identificação das espécies baseada, quase que exclusivamente, em caracteres morfológicos no *Systema Porifera*. Entretanto, os autores elucidaram a necessidade de revisão de diversos grupos ali inseridos, uma vez que estes eram considerados para- ou polifiléticos. Sendo assim, nos últimos 15 anos, diversos estudos combinando principalmente dados morfológicos e genéticos foram desenvolvidos para redefinir a filogenia de grupos dentro do Filo Porifera (BORCHIELLINI *et al.*, 2004; NICHOLS, 2005; ERPENBECK e WÖRHEIDE, 2007; DOHRMANN *et al.*, 2008; LAVROV *et al.*, 2008; GAZAVE *et al.*, 2012; VOIGT *et al.*, 2012; MORROW *et al.*, 2013; REDMOND *et al.*, 2013; THACKER *et al.*, 2013; MORROW e CÁRDENAS, 2015).

Um dos grupos dentro de Porifera a ser testado quanto à robustez da taxonomia integrativa é a Ordem Suberitida Chombard & Boury-Esnault, 1999, porque este grupo contém gêneros que causam histórica confusão na sistemática das esponjas devido ao fato da definição do grupo ser realizada majoritariamente pela ausência de caracteres, o que é um grande problema na classificação, especialmente quanto à família Halichondriidae (ver detalhes em ERPENBECK *et al.*, 2006a, 2012). Além disso, a ordem foi criada com base na combinação de caracteres morfológicos e genéticos e, ainda assim, os seus grupos internos não são tidos como monofiléticos. A ramificação precoce do gênero *Homaxinella* em relação ao restante dos membros da ordem, o agrupamento do gênero *Terpios* (Família Suberitidae) com a família Halichondriidae, a ausência de *Topsentia* dentro da família Halichondriidae e a

indefinição do posicionamento do gênero *Ulosa* (ver detalhes em MORROW *et al.*, 2012; REDMOND *et al.*, 2013; THACKER *et al.*, 2013), são exemplos da problemática filogenética no grupo.

Figura 3 – Esquema com algumas das áreas utilizadas nos estudos de taxonomia integrativa em esponjas marinhas.



Legenda: As linhas pontilhadas representam rotas de conexão entre as mais distintas áreas do conhecimento, todas elas tendo o mesmo peso para a taxonomia.

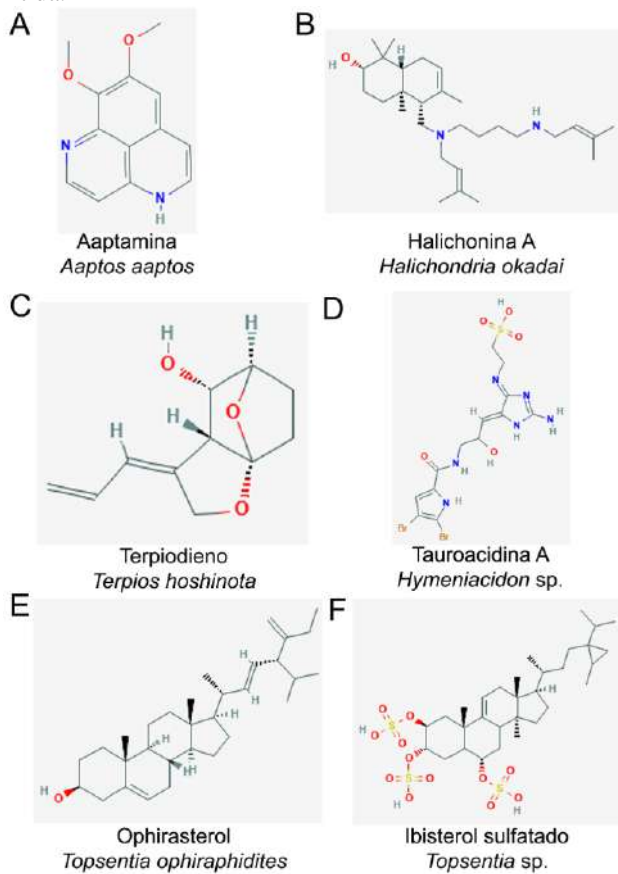
Fonte: Cárdenas et al. (2012). Adaptado pelo autor, 2019.

A ordem Suberitida também chama atenção dos espongólogos devido à capacidade de produzir diversos exemplos de esteróis e alcalóides, tais como aaptamina, taurocidina, halichonina, ofirasterol, ibisterol sulfatado, etc. (Figura 4), inclusive com atividade citotóxica, antiviral e antitumoral (HIRATA e UEMURA, 1986; FEDOREEV *et al.*, 1988). Atualmente, esta é asegundaordem de esponjas estudadas na busca por novos compostos bioativos, somente atrás de Dictyoceratida (MEHBUB *et al.*, 2014).

A espongofauna caribenha é considerada como uma das mais bem conhecidas do mundo, sendo representada por cerca de 800 espécies, segundo comunicação pessoal com a pesquisadora Dra. Maria Cristina Díaz, em 2013. No Brasil, o número de esponjas está em torno de 600 espécies (MURICY, 2017). Estas regiões estão inseridas em dois reinos biogeográficos definidos por Spalding e colaboradores (2007), a partir de dados sobre as características climáticas, geológicas e oceanográficas em águas rasas, bem como o endemismo das espécies marinhas. O Caribe e as regiões Norte e Nordeste do Brasil estão alocadas no Reino Biogeográfico do Atlântico Tropical, enquanto as regiões Sudeste e Sul do Brasil integram o Reino Biogeográfico da América do Sul Temperada. O compartilhamento

das características abióticas também é observado no padrão de distribuição das espécies (MILOSLAVICH *et al.*, 2010, 2011), levando a uma similaridade faunística entre o Caribe e o Brasil.

Figura 4 – Alguns exemplos de substâncias químicas das classes dosesteróis e alcalóides já descritos em espécies da ordem Suberitida.



Fonte: PUBCHEM. Adaptada pelo autor, 2019.

Recentemente, van Soest (2017) evidenciou tal similaridade para a fauna de poríferos da Guiana Francesa, onde o autor identificou 39 espécies de esponjas compartilhadas entre o litoral do Brasil e o Mar do Caribe, 36 espécies são exclusivas do Caribe e 13 do Brasil, sugerindo que a região amazônica seja representada por uma fauna transitória, enquanto a espongofauna do Caribe pode ser considerada como uma fonte de biodiversidade. Especificamente para a ordem Suberitida, apenas nove espécies são compartilhadas entre o Caribe e o Brasil (ver Tabela 1).

 $Tabela\ 1-Esp\'{e}cies\ da\ ordem\ Suberitida\ compartilhadas\ entre\ o\ litoral\ Caribe\ e\ do\ Brasil.$ 

Família	Gênero	Espécie	ANTr	PNBr	ASTr	ASTeQ
Halichondriidae	Ciocalypta Bowerbank,	alba Carvalho, Carraro,		X		X
Gray, 1867	1862	Lerner & Hajdu, 2003				
	Halichondria Fleming,	magniconulosa	X	X	X	X
	1828	Hechtel, 1965				
	Hymeniacidon	heliophila (Wilson, 1911)	X	X	X	X
	Bowerbank, 1858					
	Topsentia Berg, 1899	ophiraphidites	X	X	X	X
		(de Laubenfels, 1934)				
Suberitidae	Aaptos	bergmanni de	X		X	
Schmidt, 1870		Laubenfels, 1950				
	Suberites Nardo, 1833	aurantiacus	X	X	X	X
		(Duchassaing &				
		Michelotti, 1864)				
	Terpios Duchassaing &	belindae Rützler &	X	X	X	
	Michelotti, 1864	Smith, 1993				
		fugax Duchassaing &	X	X	X	X
		Michelotti, 1864				
		manglaris	X			X
		Rützler & Smith, 1993				

Legenda: Atlântico Noroeste Tropical (ANTr), Plataforma Norte do Brasil (PNBr), Atlântico Sudoeste Tropical (ASTr) e Atlântico Sudoeste Temperado Quente (ASTeQ).

Fonte: O autor, 2019.

#### 2 MATERIAL E MÉTODOS

#### 2.1 Área de Estudo

O estudo foi realizado em águas rasas (até 30 m) de diferentes regiões do Oceano Atlântico Ocidental, abarcando as províncias biogeográficas do Atlântico Noroeste Tropical (ANTr), Plataforma Norte do Brasil (PNBr), Atlântico Sudoeste Tropical (ASTr) e Atlântico Sudoeste Temperado Quente (ASTeQ), sendo estas baseadas no sistema biogeográfico marinho de áreas proposto por Spalding e colaboradores (2007) para regiões costeiras. Apesar de ter obtido material comparativo de diversos locais do mundo, incluindoamostras frescas de *Terpios gelatinosus* (Bowerbank, 1866) em Mônaco (França) para este trabalho, apenas a região citada acima é mostrada no mapa (Figura 5). A figura 5A aponta que o limite norte de coleta de espécimes foi o Golfo do México, enquanto outros espécimes foram obtidos nasPequenas Antilhas, no Mar do Caribe, principalmente na ilha da Martinica. No Brasil, as coletas foram realizadas nas regiões Nordeste e Sudeste. O limite setentrional de coleta de espécimes foi na ilha de São Luís, no estado do Maranhão (MA), sendo também amostradas localidades dos estados do Ceará (CE), Rio Grande do Norte (RN), Pernambuco (Arquipélago de Fernando de Noronha, FN), Bahia (BA) e Rio de Janeiro (RJ), o limite austral.

O Golfo do México (Figura 5B) é o maior do mundo com 1,6 milhões de km², cercado pela América do Norte e Central, recebendo águas do mar do Caribe e com grande interesse para a indústria petrolífera. Os recifes de Cayo Arcas e a lagoa de Chelem estão localizados ao sul do golfo, próximos ao Banco de Campeche, localizado na Península de Yucatan. Esta parte do golfo difere das porções superiores devido às características oceanográficas, abarcando grande quantidade de espécies endêmicas (BELANGER *et al.*, 2012; ROBERTSON e CRAMER, 2014). Os recifes de Cayo Arcas podem se estender até a profundidade de 25 m, sendo abundante em organismos bentônicos e com mais de 160 espécies de peixes descritas (ver ROBERTSON *et al.*, 2016).

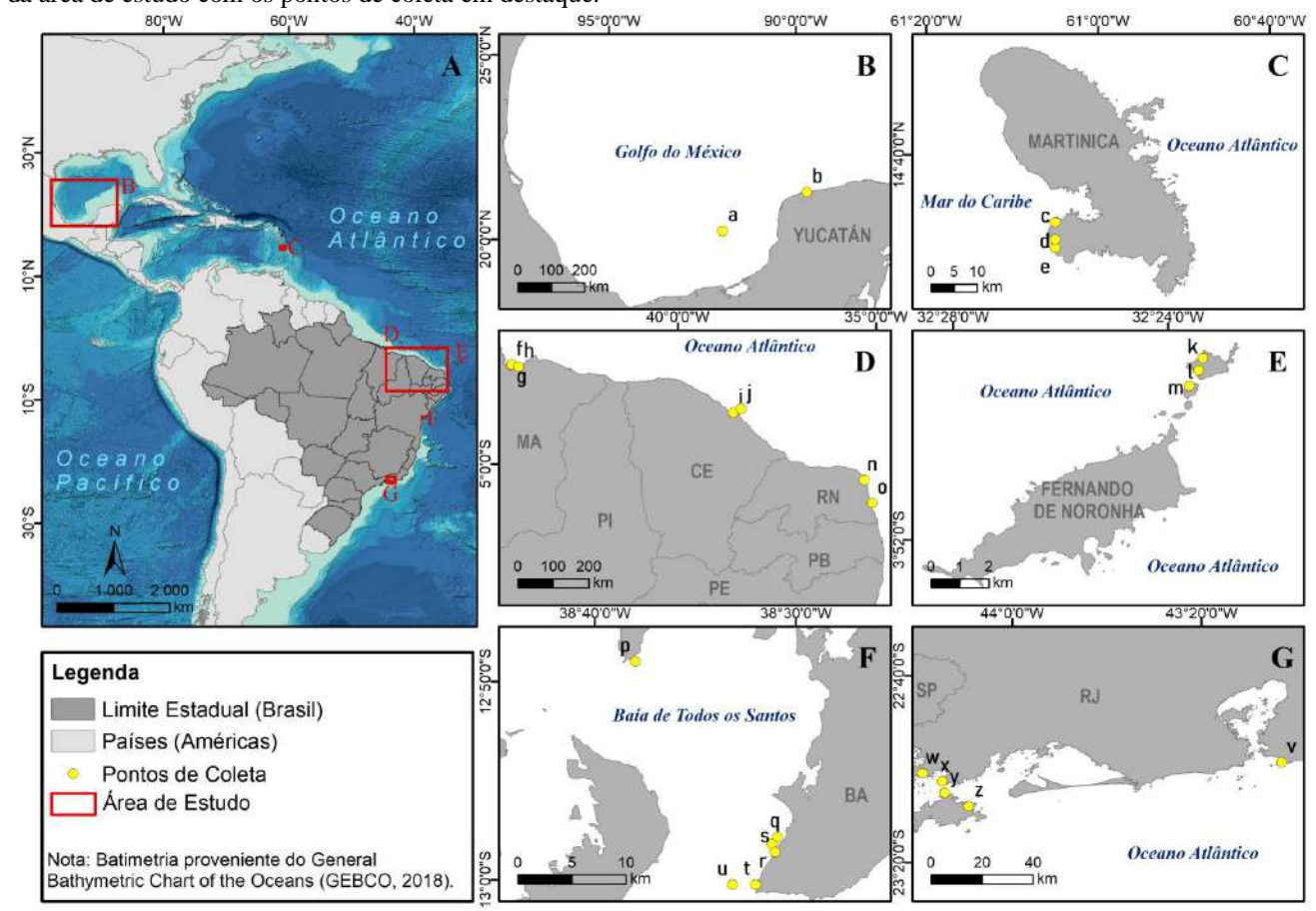


Figura 5 - Representação da área de estudo com os pontos de coleta em destaque.

Legenda: a) Arrecife de Cayo Arcas, b) Laguna de Chelem, c) Grotte Chauve-Souris, d) Plage Anse d'Arlet, e) Anse d'Arlet, f) Praia do Meio, g) Praia de Araçagi, h) Praia de Panaquatira, i) Dois Coqueiros, j) Pedra da Risca do Meio, k) Enseada das Cagarras, l) Ressurreta, m) Ilha do Meio, n) Maracajaú, o) Pirangi do Sul, p) Ilha dos Frades, q) Quebramar norte, r) Quebramar leste, s) Deck, t) Praia da Barra, u) Boião, v) Itaipú, w) Pousada Jamanta, x) Ponta Leste, y) Lagoa Azul, z) Enseada do Abraão.

Fonte: Batimetria retirada de GEBCO, 2018.

A lagoa de Chelem, por sua vez, apresenta uma área aproximada de 15 km², tem uma forma alongada paralela a costa com conexão direta com o mar por meio de um canal artificial. A profundidade máxima na lagoa é de 1,5 m, com temperatura variando de 18 a 31°C e salinidade entre 34 e 38 ppm (VITE-GARCÍA *et al.*, 2014). Os impactos antrópicos na região têm aumentado nos últimos anos devido à presença de um porto e um forte aumento do turismo.

A ilha da Martinica (Figura 5C) é considerada um território da França, no Caribe, com aproximadamente 1100 km², cercada por águas claras e oligotróficas, com grande variedade de ecossistemas entre as profundidades de 0-50 m, totalizando uma superfície marinha de 452,22 km² (LEGRAND *et al.*, 2012; FAILLER *et al.*, 2015). As amostragens foram realizadas na região de Grande Anse, no sudoeste da ilha, ondeo fundo marinho é composto por areia de granulometria fina a grossa e com a presença de matacões (LEGRAND *et al.*, 2012) repletos de algas e fanerógamas marinhas (FAILLER *et al.*, 2015). Os costões rochosos da região são dominados por esponjas, tanto em diversidade quanto em biomassa e os corais, hermatípicos ou ahermatípicos, também estruturam a paisagem (PÉREZ *et al.*, 2017). Cavernas submarinas também são habitats comuns na região, criando um ambiente diverso e assim possibilitando a presença de espécies com estratégias de vida diferentes, tais como hidróides e esponjas hipercalcificadas, as quais assentam em pequenas rochas ou nas paredes verticais da caverna (PÉREZ *et al.*, 2017).

O litoral setentrional da região Nordeste (NE) do Brasil (Figura 5D) compreende os estados do Maranhão, Piauí, Ceará eparte do Rio Grande do Norte, sendo denominado como a Costa Semi-Árida do Brasil (DINIZ e OLIVEIRA, 2016). O litoral maranhense possui clima e condições oceanográficas transitórias, pois a parte ocidental se assemelha à região amazônica com grande aporte de sedimentos provenientes de rios e a formação de baías, enquanto a porção oriental possui praias arenosas extensas e um clima semi-árido, mais similar ao restante do litoral norte da região Nordeste (MUEHE, 1998). Neste estado, a variação de maré pode passar de 8 m, enquanto a temperatura da água tem média de 29 °C. No estado do Ceará, as poças de maré, na maré baixa, permitem a formação de ambientes repletos de afloramentos rochosos de origem quartzítica, facilmente quebráveis, enriquecidas com óxidos de ferro e estratificadas, porém com idade geológica desconhecida (FREITAS *et al.*, 2009). Nestes ambientes, as poças de maré podem chegar a mais de 1 m de profundidade, repletas de reentrâncias, onde uma grande diversidade de esponjas se fixa. Outro ambiente muito diverso no estado é o Parque Estadual Marinho da Pedra da Risca do Meio (PEMPRM), criado em 1997. Este compreende uma das poucas Unidades de Conservação Marinhas do Estado do

Ceará, com uma área de 33,20 km² distante aproximadamente 10 milhas náuticas de Fortaleza, na direção 60° NE (SOARES *et al.*, 2011). O PEMPRM é repleto de afloramentos rochosos de arenito "riscas" com 1 a 3 m de altura, porém pouco se sabe sobre suas características geológicas. Nesta região, a profundidade varia de 17 a 30 m, com temperatura média de 27°C e visibilidade de 30 m. Atualmente, cerca de 115 peixes recifais são encontrados na região, e apesar da quase inexistência de estudos relacionados à diversidade bentônica da região, SALANI *et al.* (2006) descreveram a esponja *Sigmaxinella cearense* Salani, Lotufo & Hajdu, 2006 para a PEMPRM.

O Arquipélago de Fernando de Noronha (FN) (Figura 5E)está a uma distância de 360 km da cidade de Natal (RN). Porém, FN pertence ao estado de Pernambuco. O arquipélago é datado com idades geológicas de 1,7 a 12 MAA devido a formação de montes submarinos originados por um *hot spot* vulcânico (CORDANI, 1970). Sua área emersa é de aproximadamente 18 km² e representa a parte não erodida de um edifício vulcânico cuja base encontra-se a 4000 m de profundidade (CORDANI, 1970). O arquipélago se estende desde a plataforma continental brasileira até o Oceano Atlântico, na direção oeste-leste. Atualmente, a área de FN divide-se em duas Unidades de Conservação: Área de Proteção Ambiental (APA), área relativa às atividades antrópicas, e Parque Nacional Marinho (PARNAMAR), todo o restante do arquipélago, restrita a visitação. A fauna de poríferos da região foi previamente estudada por Moraes (2011). A heterogeneidade de habitats marinhos, tais como poças de maré, grutas, cavernas profundas, matacões, paredes verticais e manguezais permitem a presença de diversas espécies de organismos bentônicos e pelágicos (MORAES, 2011).

No litoral leste da região Nordeste do Brasil, o estado do Rio Grande do Norte possui recifes de corais inseridos na Área de Proteção Ambiental dos Recifes de corais (APARC-RN), se estendendo desde a região de Maracajaú até Pirangi do sul. As praias da região geralmente são calmas, com a formação de piscinas naturais na maré baixa. Geralmente, o mês de abril é chuvoso, enquanto o restante do ano é ensolarado. Com relação àespongofauna do litoral potiguar, pouco se sabe, sendo o maior estudo na região realizado na região *offshore* (MURICY *et al.*, 2008).

No estado da Bahia, a Baía de Todos os Santos (BTS) é considerada a segunda maior baía do Brasil (Figura 5F), com área de 1223 km² e profundidade média de 9,8 m. A principal forçante física atuante sobre a circulação oceânica é a maré, a qual não apresenta grande variação. A temperatura dentro da baía é maior do que na entrada devido à influência de águas oceânicas (CIRANO e LESSA, 2007; HATJE e DE ANDRADE, 2009). A entrada da baía possui um fundo de sedimento marinho predominantemente silicoso, enquanto a porção

interna é caracterizada por areia transgressiva carbonática nos arredores da Ilha dos Frades e uma variação transgressiva à regressiva de fundos lamosos na saída dos rios (LESSA *et al.*, 2000). A BTS tem sido registrada como uma das regiões com maior diversidade de poríferos no Brasil, sendo a maior parte das espécies descritas para a praia da Barra, os Quebramares e a região de Madre de Deus (ver HAJDU *et al.*, 2011).

Na região Sudeste do Brasil, as esponjas do estado do Rio de Janeiro (Figura 5G) foram amostradas em duas áreas distintas: i) costão rochoso da praia de Itaipú, Niterói e ii) Baía da Ilha Grande (BIG). A praia de Itaipú é frequentemente utilizada por banhistas e pescadores, sendo caracterizada como calma e recebendo influência da baía de Guanabara. A variação de maré é pequena, cerca de 1,4 m, com correntes fracas de até 10 cm/s. O fundo marinho é composto por rocha pré-cambriana com a presença areia datada para o quaternário (detalhes em SALVADOR e SILVA, 2002). O fundo marinho da enseada de Itaipú é modelado de acordo com a entrada e saída de água da Lagoa de Itaipú e, sobretudo, pela ação dos ventos e ondas provenientes de frentes frias e tempestades (MUEHE e SUCHAROV, 1981). A enseada de Itaipú é dominada por areia fina, mas nas proximidades do costão rochoso e das ilhas do Pai, Mãe e Menina o domínio de sedimento médio com grânulos que podem variar de 8-50% da área é notório (SALVADOR e SILVA, 2002). O costão rochoso é dominado pelo mexilhão Perna perna (Linnaeus, 1758), fonte de renda para pescadores, e pela a esponja Hymeniacidon heliophila (Wilson, 1911) a qual já foi alvo de estudos de ecologia química (RIBEIRO et al., 2010, 2012). Por sua vez, a Baía da Ilha Grande (BIG) é uma região com grande diversidade marinha, sendo a porção continental uma área de alta exploração portuária e turística. A região da BIG possui um relevo bastante recortado, formando diversas enseadas, pontas, lajes e ilhotas (CREED et al., 2007). A temperatura na região varia de 20 a 30 °C e a salinidade média é de 35 ppm, com baixa circulação de correntes de fundo e com deposição de sedimento siltoso médio (ver detalhes em CREED et al., 2007). A espongofauna da região tem sido registrada desde a expedição do CALYPSO para águas profundas (BOURY-ESNAULT, 1973) e mais recentemente para águas rasas (MURICY e HAJDU, 2006; FORTUNATO, 2015).

#### 2.2 Coleta e preservação dos espécimes

Os espécimes de Suberitida analisados neste estudo estão listados no Apêndice A. Grande parte dos espécimes aqui trabalhados foi coletada especificamente para este projeto,

porém exemplares disponíveis na coleção de Porifera do Museu Nacional (MNRJ), da Universidade do Estado do Rio de Janeiro (UERJPOR) da Universidade Federal de Pernambuco (UFPEPOR), da Universidad Nacional Autónoma de México (UNAM) e da Station Marine d'Endoume (Marselha) também foram utilizados como material comparativo. Alguns espécimes foram coletados por colaboradores nas Pequenas Antilhas, no âmbito do projeto PACOTILLES (2015) e na França (Mônaco). As coletas foram realizadas por mergulho de apnéia, SCUBA ou na região entre-marés entre o mês de abril de 2015 e dezembro de 2017. Todas as amostras que ainda não haviam sido tombadas foram registradas na coleção MNRJ.

Um pedaço de cada indivíduo coletado foi preservado separadamente em etanol 95% e RNAlater, para análises morfológicas e genéticas, respectivamente, enquanto o restante do material foi congelado para análises químicas. Todos os espécimes trabalhados foram triados e identificados, no mínimo, para estudos de taxonomia morfológica. Nos capítulos a seguir, a metodologia específica para cada tipo de análise estará detalhada.

Todos as coletas e transporte de material biológico foram autorizadas por órgãos fiscais responsáveis. Autorizações foram concedidas no âmbito dos Projetos MARRIO e PACOTILLES (internacionais) e também nas expedições TAXPO e TAXPOMOL (nacionais). As novas famílias, gêneros e espécies aqui descritas não seguem o Artigo 9° da Comissão Internacional de Nomenclatura Zoológica e, por isso, não tem efeito para princípios de prioridade e homonímia.

# 3 A TAXONOMIA MORFOLÓGICA E AS SUAS LIMITAÇÕES NA ORDEM SUBERITIDA<sup>1</sup>

# 3.1 Introdução

Os atuais representantes da ordem Suberitida têm sido realocados em diferentes grupos de Porifera desde o século XIX (BOWERBANK, 1864, 1866, 1874; GRAY, 1872; SCHMIDT, 1866, 1870, 1880; SOLLAS, 1885; RIDLEY e DENDY, 1886; TOPSENT, 1892, 1900) devido à ausência de padrão e/ou sobreposição nas características morfológicas internas e uma alta variação dos caracteres externos. Essas primeiras avaliações foram baseadas exclusivamente pelos tipos de espículas e esqueletos, apesar da diagnose de Halichondriae, Suberitidinae e Aciculida ter sido baseada na ausência de caracteres (SCHMIDT, 1862; 1870; TOPSENT, 1892). No século XX, os grupos que hoje representam Suberitida continuaram sendo alvo de um grande vai-e-vem classificatório, baseado em caracteres espiculares e esqueléticos (TOPSENT, 1928; DE LAUBENFELS, 1936; DÍAZ et al., 1991, 1993; KELLY-BORGES e BERGQUIST, 1994). Adicionalmente, informações reprodutivas (LÉVI, 1951, 1953, 1973; WAPSTRA e VAN SOEST, 1987), bioquímicas e histológicas (BERGQUIST, 1978; BERGQUIST et al., 1991a; HARTMAN, 1982; VAN SOEST e BRAEKMAN, 1999) e cladística (VAN SOEST et al., 1990) já foram empregadas para compreender a organização filogenética das espécies da ordem. Portanto, a aplicação de uma taxonomia integrativa em Porifera não é uma novidade, mas sim uma necessidade.

No início do século XXI, HOOPER e VAN SOEST (2002a) organizaram as esponjas na obra *Systema Porifera*, onde diversos autores contribuíram com seus conhecimentos em prol de uma classificação robusta no filo. Estes especialistas se basearam tanto em caracteres morfológicos quanto biogeográficos e bioquímicos para definir a classificação de Porifera. Mesmo considerando este grande esforço colaborativo mundial para a definição classificatória de Porifera, os avanços nas técnicas moleculares têm evidenciado diferenças discrepantes quanto às relações filogenéticas previamente descritas (REISWIG, 2006; BORCHIELLINI *et al.*, 2004; ERPENBECK e WÖRHEIDE, 2007; GAZAVE *et al.*, 2012; WÖRHEIDE *et al.*,

\_

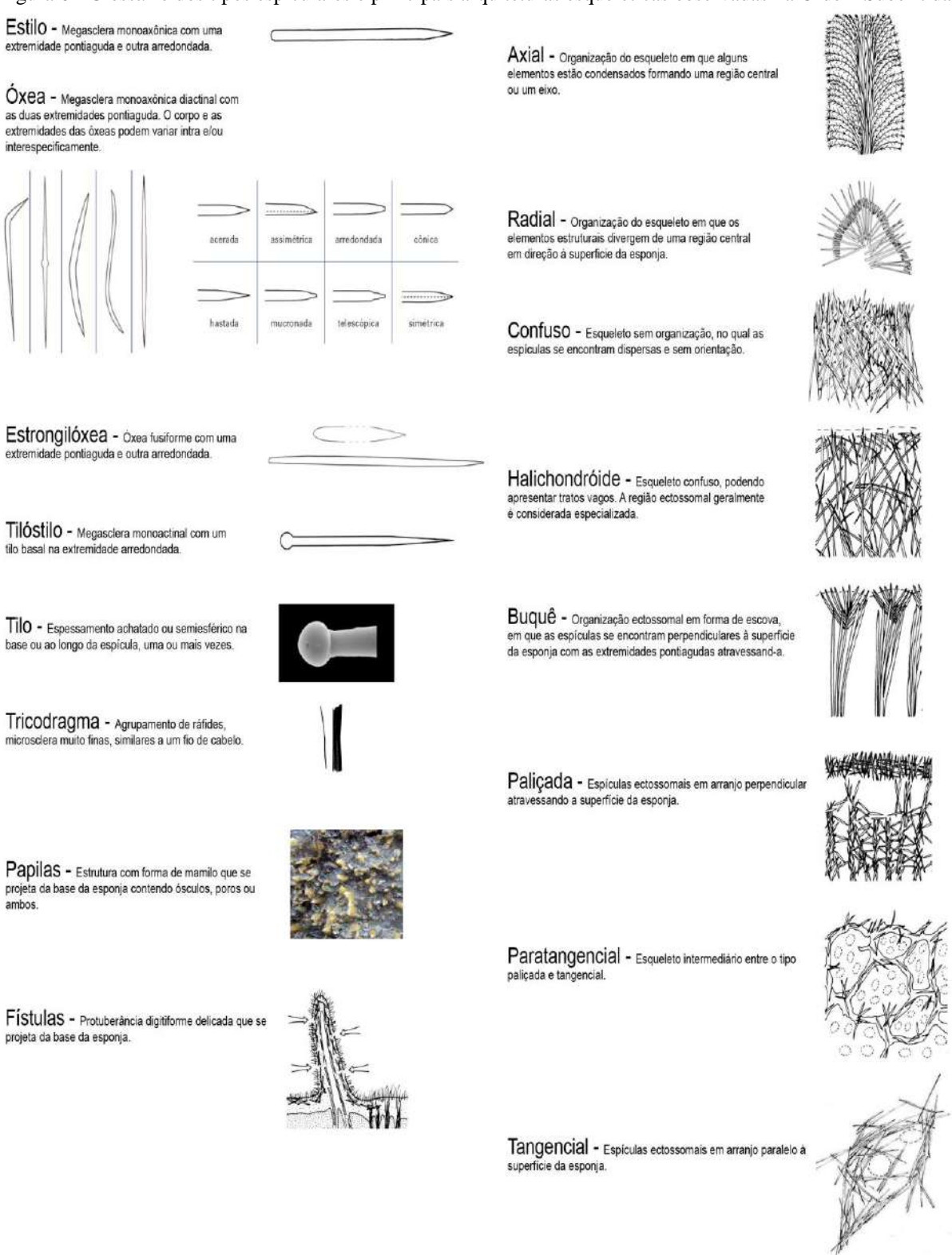
<sup>&</sup>lt;sup>1</sup> Parte deste capítulo será publicado na revista Journal of the Marine Biological Association of the United Kingdom sob autoria de Humberto F. M. Fortunato, Thierry Pérez e Gisele Lôbo Hajdu com o título "Morphological description of six species of Suberitida (Porifera: Demospongiae) from the unexplored northeastern coast of Brazil, with emphasis on two new species" (in press).

2012; KLAUTAU et al., 2013; HAJDU et al., 2013; MORROW e CÁRDENAS, 2015). As ferramentas genéticas tem sido essenciais na identificação de um sem número de espécies crípticas, as quais são geralmente identificadas de forma errônea o que dificulta a real interpretação sistemática, subestima a diversidade local e impede a identificação de espécies exóticas (BLANQUER e URIZ, 2007; DE PAULA et al., 2012; KNAPP et al., 2015; SHAFFER et al., 2019). A utilização da genética pode impedir problemas desde o nível de organismo até o nível ecossistêmico ao se tratar de preservação de espécies e conservação ambiental. Tais diferenças são observadas também dentro da ordem Suberitida, a qual ainda não pode ser considerada monofilética (CHOMBARD e BOURY-ESNAULT, 1999; ERPENBECK et al., 2005, 2012; REDMOND et al., 2013; THACKER et al., 2013; MORROW e CÁRDENAS, 2015).

Mesmo com tantas modificações na classificação de Suberitida, esta ainda é basicamente diagnosticada por ausência de caracteres. Os representantes da ordem não possuem microscleras, exceto tricodragmas, enquanto as megascleras podem ser óxeas, óxeas centrotiloto, estilos, estrongilóxeas e/ou tilóstilos, distribuídos de forma exclusiva ou em combinação no nível de gênero. O esqueleto ectossomal pode apresentar uma reticulação desenvolvida, mas geralmente não é especializado, enquanto que o esqueleto coanossomal é normalmente confuso, radial ou halichondróide (com a possível presença de tratos ascendentes) e com a formação de buquês próximos à superfície (Figura 6, MORROW e CÁRDENAS, 2015).

A ordem Suberitida é composta por três famílias: Stylocordylidae Topsent, 1892 com um gênero e oito espécies, Suberitidae Schmidt, 1870 com 10 gêneros e 194 espécies e Halichondriidae Gray, 1867 com 15 gêneros e 289 espécies (Tabela 2, VAN SOEST *et al.*, 2019). A maior parte das espécies da ordem é restrita aos mares temperados e alguns gêneros têm distribuição exclusiva em águas frias, sejam mares profundos ou regiões polares. Há ainda um grande número de espécies endêmicas da Oceania, enquanto que na região Tropical Ocidental Atlântica, apenas 10% das espécies de Suberitida são observadas. Apenas os gêneros analisados no presente estudo terão as suas definições informadas adiante.

Figura 6 - Glossário dos tipos espiculares e principais arquiteturas esqueléticas observadas na Ordem Suberitida.



Fonte: As ilustrações foram modificadas das publicações de Boury-Esnault e Rützler (1997), Díaz *et al.*, 1993 e Hajdu *et al.* (2011), e a foto da papila foi feita pelo autor, 2019.

Tabela 2 – Representação da ordem Suberitida em termos de classificação, apontando o número de espécies distribuídas na região Tropical Ocidental Atlântica (Golfo do México, Caribe e Brasil).

Família	Gênero	Espécies
Stylocordylidae Topsent, 1892	Stylocordyla Thomson, 1873*	2
Suberitidae Schmidt, 1870	Aaptos Gray, 1867*	7
	Caulospongia Kent, 1871*	
	Homaxinella Topsent, 1916*	
	Plicatellopsis Burton, 1932*	
	Protosuberites Swartschewsky, 1905*	1
	Pseudospongosorites McCormack & Kelly, 2002*	1
	Pseudosuberites Topsent, 1896*	
	Rhizaxinella Keller, 1880*	
	Suberites Nardo, 1833*	6
	Terpios Duchassaing & Michelotti, 1864*	3
Halichondriidae Gray, 1867	Amorphinopsis Carter, 1887*	
	Axinyssa Lendenfeld, 1897*	4
	Ciocalapata de Laubenfels, 1936	
	Ciocalypta Bowerbank, 1862*	
	Cryptax de Laubenfels, 1954	
	Epipolasis de Laubenfels, 1936	,
	Halichondria Fleming, 1828*	1.
	Hymeniacidon Bowerbank, 1858*	
	Johannesia Gerasimova, Erpenbeck & Plotkin, 2008	*
	Laminospongia Pulitzer-Finali, 1983	
	Sarcomella Schmidt, 1868	
	Spongosorites Topsent, 1896*	
	Topsentia Berg, 1899*	
	Uritaia Burton, 1932	
	Vosmaeria Fristedt, 1885*	

Legenda: Negrito – gêneros com representantes avaliados morfologicamente neste estudo; \* gêneros utilizados nas reconstruções filogenéticas.

Fonte: O autor, 2019.

Dentro do contexto exposto, a família Stylocordylidae é diagnosticada por van Soest (2002a), como esponjas com forma de crescimento em forma de haste globular ou oval e achatada no topo. O esqueleto é radial com arquitetura ectossomal tangencial e as espículas óxeas centrotiloto, com estilos e estrôngilos modificados. A reprodução é vivípara sendo que as larvas são mantidas no corpo até se tornarem adultos jovens (BERGQUIST, 1972). A distribuição é cosmopolita, com predomínio de registros de águas frias (polares ou profundas) (VAN SOEST, 2002a). A família é representada exclusivamente pelo gênero *Stylocordyla* Thomson, 1873, sendo a espécie tipo *Stylocordyla borealis* (Lovén, 1868).

A diagnose da família Suberitidae é de esponjas com formas de crescimento variável, tais como globular, ramosa, hastada, maciça ou incrustante. O esqueleto pode ser estritamente radial, ter uma forte orientação axial ou ser confuso em espécies com crescimento maciço, enquanto não há um córtex reconhecível e o ectossoma geralmente é arranjado em buquês na superfície. Para espécies incrustantes, a orientação das espículas é paralela ou perpendicular

ao substrato. As espículas são tilóstilos com modificações nos tilos, em nível genérico ou específico, mas óxeas e ráfides em aglomerados (tricodragmas) também podem ser observadas na família (VAN SOEST, 2002b). As estratégias de reprodução assexuada, por meio de gêmulas, e sexuada com fertilização externa, estratégia ovípara (ERESKOVSKY, 2010). A distribuição é cosmopolita, com predomínio de registros de regiões temperadas (VAN SOEST, 2002b).

O gênero *Aaptos* é definido pela presença de esqueleto radial, formado por espículas do tipo estrôngilos em até três categorias, sendo a menor localizada na superfície da esponja em paliçada e ausência de microscleras (VAN SOEST, 2002b). A espécie tipo do gênero é *Aaptosa aptos* (Schmidt, 1864).

O gênero *Protosuberites* é diagnosticado por esponjas incrustantes com canais osculares visíveis, o esqueleto é formado por tilóstilos com o tilo voltado para a base e as pontas agudas para a superfície da esponja, sozinhos ou em grupos, geralmente paralelos e um esqueleto ectossomal consistindo de buquês de tilóstilos menores (VAN SOEST, 2002b). A espécie tipo do gênero é *Protosuberites prototipus* Swartchevsky, 1905.

O gênero *Suberites* é diagnosticado por esponjas maciças, compactas e com superfície aveludada. As espículas são do tipo tilóstilos em duas categorias de tamanho, sendo a maior delas distribuída de forma confusa no coanossoma e agrupado em direção à superfície de forma subradial, terminando em feixes plumosos (buquês) de tilóstilos de menor dimensão, no ectossoma. Microestrôngilos centrotilotos espinados são raros, mas o único tipo de microsclera possível neste gênero (RÜTZLER e SMITH, 1993; VAN SOEST, 2002b). A espécie tipo do gênero é *Alcyonium domuncula* Olivi, 1792.

O gênero *Terpios* é definido por esponjas finamente incrustantes, com apenas uma categoria de tilóstilos, sendo o esqueleto representado por uma baixa densidade espicular e pouca especialização. A simbiose com cianobactérias é comum, gerando colorações brilhantes às espécies do gênero (RÜTZLER e SMITH, 1993; VAN SOEST, 2002b). A espécie tipo do gênero é *Terpios fugax* Duchassaing & Michelotti, 1864.

Por sua vez, os representantes da família Halichondriidae podem ter a forma de crescimento maciça, lobada, digitiforme, lobular, laminar ou incrustante, com a adição de papilas ou fístulas em alguns gêneros. O esqueleto ectossomal apresenta formação tangencial de espículas entrecruzadas, que é facilmente destacável devido a espaços subectossomais, ou um arranjo paratangencial ou em paliçada, quando o esqueleto ectossomal não é facilmente destacável. O esqueleto coanossomaltípico é o halichondróide, mas espículassoltas e aleatoriamente dispostas no corpo da esponja são muito comuns. Há pouca ou nenhuma

presença de espongina ligando os tratos espiculares. As espículas características da família são óxeas e estilos, mas subtilóstilos, estrongilóxeas, estrôngilos e tricodragmas podem ser observados, exclusivos ou em combinação (ERPENBECK e VAN SOEST, 2002). A família é representada por espécies com a estratégia ovípara e/ou vivípara (ERESKOVSKY, 2010). A distribuição é cosmopolita, com predomínio de espécies em ambientes costeiros das regiões temperada e tropical (ERPENBECK e VAN SOEST, 2002).

O gênero *Amorphinopsis* é definido por espécies com a forma de crescimento incrustante ou maciço com ramos irregulares saindo da base, uma combinação de estilos e óxeas como espículas, esqueleto ectossomal tangencial com espículas entrecruzadas em feixes e coanossoma confuso (ERPENBECK e VAN SOEST, 2002). A espécie tipo do gênero é *Amorphinopsis excavans* Carter, 1887. Com exceção de *Amorphinopsis atlantica* Carvalho, Hajdu, Mothes & van Soest, 2004 que é endêmica do litoral brasileiro, as outras 16 espécies são exclusivas do Oceano Índico.

O gênero *Halichondria* possui exclusivamente óxeas ou modificações (oxeotos e estilotos), em ampla variação de tamanho, esqueleto ectossomal tangencial, subectossoma com espaços, permitindo o fácil destaque do ectossoma e coanossoma do tipo halichondróide. Os ósculos estão frequentemente elevados em forma de cone (ERPENBECK e VAN SOEST, 2002). A espécie tipo do gênero é *Spongia panicea* Pallas, 1766.

O gênero *Hymeniacidon* é diagnosticado por esponjas com crescimento incrustante, maciço ou lobado com papilas irregulares e superfície rugosa. As espículas são exclusivamente estilos ou estilotos que não passam de 500 µm de comprimento. O ectossoma é geralmente paratangencial e não é facilmente destacável, enquanto o coanossoma varia de confuso a levemente plumoso (ERPENBECK e VAN SOEST, 2002). A espécie tipo do gênero é *Spongia perlevis* Montagu, 1818.

O gênero *Topsentia* é diagnosticado como Halichondriidaede com corpo maciço, compacto e pouca espongina, sem coloração vibrante. O esqueleto é confuso, sem grande especialização ectossomal e formado exclusivamente por óxeas de diferentes categorias de tamanho (ERPENBECK e VAN SOEST, 2002). A espécie tipo do gênero é *Anisoxya glabra* Topsent, 1898.

De acordo com as definições dos grupos acima mencionados é notória a sobreposição de caracteres nos gêneros e famílias. Além disso, poucas são as características diagnósticas que podem ser utilizadas em nível de gênero. Por estes motivos, a identificação de espécies da ordem Suberitida por meio de caracteres morfológicos ainda é complexa. Mesmo assim, um olhar mais detalhado quanto as terminações das espículas, a estrutura esquelética

subectossomale coanossomal e das características externas de cada gênero podem ser capazes de separar os grupos de Suberitida, uma vez que estes caracteres já foram informativos em outras ordens, como Poescilosclerida.

## 3.2 Objetivos

### Objetivo geral:

a) Identificar e descrever espécies de Suberitida a partir de caracteres morfológicos.

# Objetivos específicos:

- a) Redescrever espécies de Suberitida já conhecidas para a região de estudo;
- b) Descrever novas espécies de Suberitida para o Atlântico Tropical Ocidental;
- c) Determinar caracteres diagnósticos para melhor delimitação de grupos de Suberitida, acima do nível de espécie.

#### 3.3 Material e Métodos

# 3.3.1 Preparação morfológica

## 3.3.1.1 Dissociação espicular

A dissociação espicular foi realizada com adição de ácido nítrico e aquecimento para dissolver um pedaço de tecido de esponja com tamanho aproximado de um grão de arroz, seguindo a metodologia desenvolvida por Rützler (1978). Um pedaço da esponja foi triado para eliminação de epibiontes em lupa e acondicionado em uma lâmina. Algumas gotas de ácido nítrico (63%) foram pingadas sobre a amostra para digerir o tecido da esponja. Após a completa digestão do tecido, a lâmina foi lavada com água destilada para a limpeza da lâmina.

Por fim, algumas gotas de álcool foram pingadas sobre a lâmina, a qual foi colocada no fogo para combustão do álcool e obtenção exclusiva das espículas limpas. Nessa metodologia, as amostras foram dissolvidas pelo ácido e posteriormente duas lavagens com água destilada e álcool foram realizadas. Com este preparo, as lâminas ficaram significativamente mais limpas e puderam ser utilizadas também para estudos de microscopia eletrônica de varredura (MEV). O MEV utilizado para a visualização das espículas de forma detalhada está disponível no laboratório multidisciplinar - Laboratório de Microscopia Eletrônica de Varredura do Instituto de Química (LABMEV) — da UERJ. O microscópio é do tipo USM — 6510 LV e a metalização foi realizada no equipamento DENTON VACUUM DESK V. A metalização foi realizada com carbono por 10 min e corrente de 15 mA, em alto vácuo. A aceleração de voltagem variou de 15-30 kV, a distância de trabalho foi feita em 17 mm e o diâmetro do feixe de elétron (em inglês, *spot size* SS) foi estabilizado em 20.

#### 3.3.1.2 Protocolo de corte perpendicular e tangencial

Os cortes perpendiculares e tangenciais foram realizados para identificar o tipo de estrutura esquelética presente em cada animal. Duas metodologias foram realizadas para o corte perpendicular: I) a esponja ficou embebida por 30 min em Xilol para desidratar e depois foi armazenada em parafina. Após 24 h, cortes finos foram realizados, a fim de obter tanto o ectossoma quanto o coanossoma da esponja. Esses cortes foram embebidos novamente em Xilol para dissolver a parafina, por 12 h. Por fim, os cortes foram acondicionados em lâminas, as quais foram cobertas por Bálsamo do Canadá e lamínula para preservação Hajdu *et al.* (2011); II) em vez de utilizar parafina, os cortes das esponjas foram congelados por 48 h. Em seguida, cortes finos foram realizados no gelo e, consequentemente, na esponja para observação da arquitetura esquelética das esponjas. Estes cortes foram embebidos em Bálsamo do Canadá para preservação.

O corte tangencial, por sua vez, ilustra a organização espicular na parte mais externa do tecido da esponja e foi obtido com o destaque do ectossoma. Isto se faz observando a reticulação ectos somal em lupa e com auxílio de uma lâmina e um bisturi. Para preservação das lâminas adicionou-se Bálsamo do Canadá e lamínula.

## 3.3.1.3 Micrometria das espículas

Em microscópio ótico, a forma, o tamanho e a organização das espículas no esqueleto foi observada e medida, utilizando o software ToupView. Sempre que possível, 100 espículas de cada tipo foram medidas para cada indivíduo apresentando o valor mínimo, média, desvio padrão e máximo, os quais serão evidenciados nas tabelas do Capítulo 1 na seguinte forma: (mínimo-média(desvio padrão)-máximo), primeiro para o comprimento das espículas e depois para a largura. Quando as 100 espículas não foram encontradas, ao menos 30 foram medidas, com exceção das espículas raras, as quais foram medidas todas as encontradas. Através de uma distribuição de frequência, por meio de histogramas, os dados foram agrupados em classes de ocorrência para definir o número de categorias de cada tipo de espícula. A regra de Sturges (dados paramétricos) e a densidade de Kernel (dados não-paramétricos) foram testadas e os números de classes obtidos por ambas foram similares, logo qualquer um dos testes pode ser aplicado para definir classes de tamanho espicular. Gráficos de dispersão comparando o comprimento e a largura das principais espículas das esponjas de cada gênero foram feitas para comparar as espécies, tanto as trabalhadas aqui quanto as espécies descritas pelo Atlântico não trabalhadas.

## 3.3.1.4 Identificação das espécies

Em primeiro lugar, a descrição morfológica externa das esponjas foi realizada, seguindo da descrição dos caracteres morfológicos observados por microscopia e, depois, a utilização de guias e chaves de identificação disponíveis na literatura (HOOPER e VAN SOEST, 2002a; MURICY *et al.*, 2008; HAJDU *et al.*, 2011; MORAES *et al.*, 2011; ZEA *et al.*, 2014) e artigos de revisão de espécies para o OATO (DÍAZ *et al.*, 1991, 1993, RÜTZLER e SMITH, 1993, CARVALHO *et al.*, 2013).

#### 3.4 **Resultados**

Um total de 174 indivíduos foi avaliado, os quais foram distribuídos em 32 UTOs (Unidade Taxonômica Operacional), sendo, pelo menos, cinco espécies tratadas como novas: *Halichondria* sp. nov., *Hymeniacidon* sp. nov., *Rhaphidostyla* sp. nov., *Suberites* sp. nov. e *Topsentia* sp. nov. (Tabela 3). O gênero *Rhaphidostyla* foi ressuscitado com a descrição desta nova espécie. Os gêneros mais representativos foram *Hymeniacidon* com 36 indivíduos e três UTOs e *Halichondria* com 34 indivíduos e oito UTOs.

As principais características das espécies são descritas e uma discussão é feita para cada uma delas. As espécies que não foram tratadas como espécies são tratadas como morfotipos, pois os caracteres diagnósticos para definí-las como espécie, utilizando exclusivamente a taxonomia alfa, não foram robustos.

Tabela 3 – UTOs identificados através de caracteres morfológicos e as suas distribuições.

UTOs	N°	França	Golfo do	Caribe	Caribe Sul		Brasil	
	inds	Mediterrâneo	México	Antilhas	Continental	N-NE	NE-L	SE-S
Aaptos sp. 1	5			X		X		
Aaptos sp. 2	4						X	
Aaptos sp. 3	1							X
Amorphinopsis atlantica	12				X		X	X
Amorphinopsis sp.	1				X			
Halichondria cebimarensis	1							X
Halichondria marianae	11				X	X	X	X
Halichondria melanadocia	9			X	X	X	X	
Halichondria tenebrica	1							X
Halichondria sp. nov.	1							X
Halichondria sp. 1	1				X			X
Halichondria sp. 2	5					X		
Halichondria sp. 3	3			X	X			X
Halichondria sp. 4	2							X
Hymeniacidon caerulea	11		X	X	X	X		
Hymeniacidon heliophila	22		X	X	X			X
Hymeniacidon sp. nov.	3					X		
Rhaphidostyla sp. nov.	6						X	X
Suberites aurantiacus	22		X	X	X	X	X	X
Suberites sp. nov.	1					X		
Suberites sp. 1	1					X		
Suberites sp. 2	1							X
Suberites sp. 3	1						X	
Terpios belindae	4				X	X	X	X
Terpios fugax	20		X	X	X	X	X	X
Terpios gelatinosus	2	X						
Terpios manglaris	2				X	X		X
Topsentia cf. bahamensis	4		X	X				
Topsentia ophiraphidites	4			X			X	
Topsentia sp. nov.	10					X	X	
cf. Terpios	1	X						
cf. Topsentia	1			X				

Legenda: N- Norte, NE- Nordeste, L- Leste, SE- Sudeste e S- Sul. N° inds- número de indivíduos. Fonte: O autor, 2019.

Reino Animalia Linnaeus, 1758

Filo Porifera Grant, 1836

Classe Demospongiae Sollas, 1885

Ordem Suberitida Chombard & Boury-Esnault, 1999

Família Suberitidae Schmidt, 1870

Gênero Aaptos Gray, 1867

Espécie tipo. Aaptos aaptos (Schmidt, 1864) (tipo por designação original)

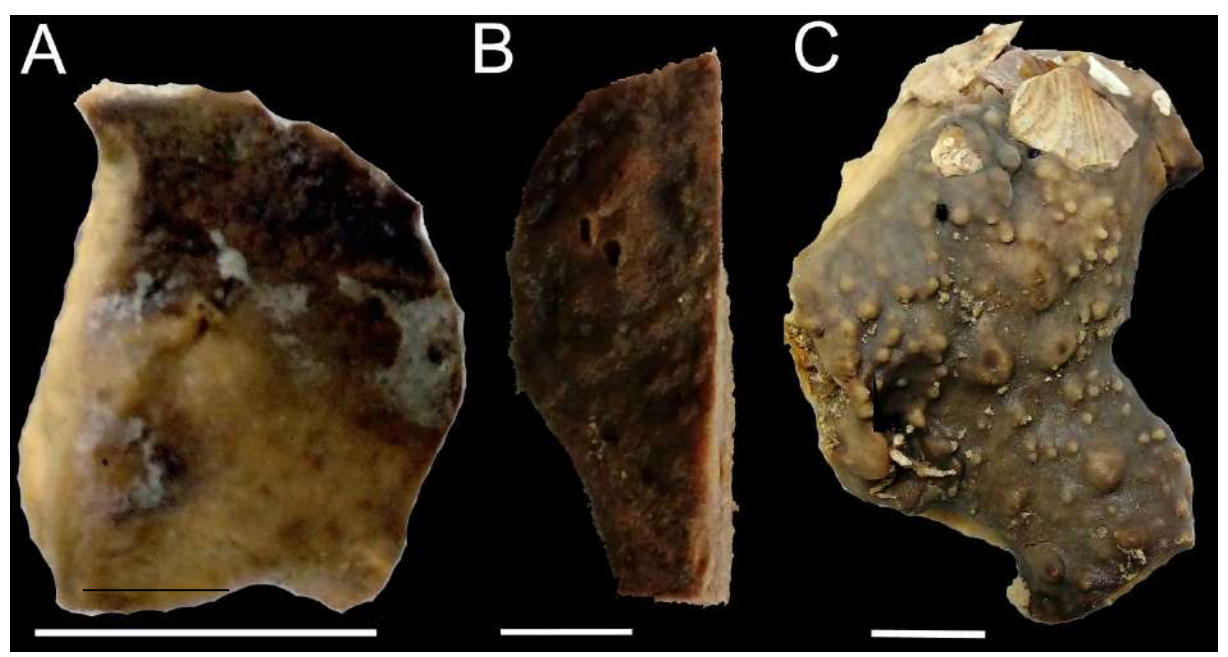
# Aaptos sp.1

(Figuras 7, 8, 9 e 10 e Tabela 4)

**Material examinado.** MNRJ: 7676, 7687, 7692a, 7692b e 21677.

**Descrição.** Os espécimes descritos se compunham de pequenos fragmentos. As esponjas apresentam forma irregular à maciça, superfície irregular variando de lisa a rugosa e consistência firme e pouco compressível. Os ósculos são arredondados com uma leve proeminência (1,5-2 mm). A cor varia de preta a marrom escuro ou cinza por fora e amarela clara a branca por dentro (Figura 7A).

Figura 7 - Fotografias após a coleta de espécimes de Aaptos spp. na zona econômica exclusiva do Brasil.



Legenda: A) *Aaptos* sp.1 (MNRJ 7676) Atol das Rocas, B) *Aaptos* sp. 2 (MNRJ 8343) Baía de Todos os Santos (Bahia) e C) *Aaptos* sp. 3 (MNRJ 7500) Rio de Janeiro. As escalas representam 1 cm.

Fonte: O autor, 2019.

Espículas. As estrongilóxeas são encontradas em duas categorias de tamanho com as pontas telescópicas ou mucronadas e estilos em uma categoria com pontas aceradas (Figura 8A).

Esqueleto. O esqueleto é radial com feixes ascendentes compostos por estrongilóxeas de diferentes tamanhos, cujas terminações arredondadas estão presentes na região coanossomal e as terminações pontiagudas se encontram na ectossomal. Os feixes coanossomais terminam em buquês espessos. Espículas aleatoriamente distribuídas no coanossoma são comuns (Figura 9A).

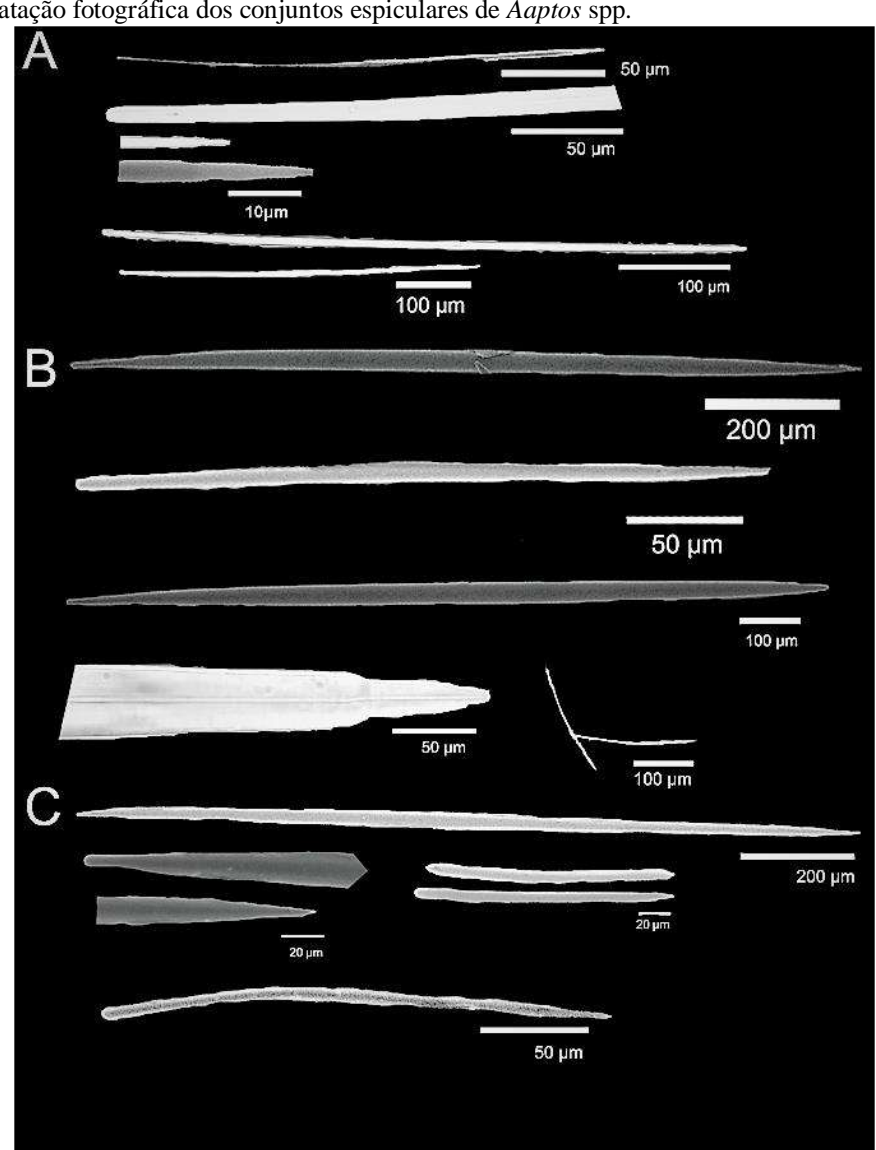


Figura 8 - Retratação fotográfica dos conjuntos espiculares de Aaptos spp.

Legenda: A) Aaptos sp.1, B) Aaptos sp. 2 e C) Aaptos sp. 3.

Nota: As primeiras ilustrações se referem as espículas estrongilóxeas e posteriormente as suas terminações, geralmente telescópicas (A e B) ou agudas (C), em escala. As últimas espículas de cada morfotipos são os estilos (A e C) e óxeas (B e C), também em escala.

Fonte: O autor, 2019.

**Ecologia.** As esponjas são encontradas apenas em piscinas de maré.

**Distribuição.** Atlântico Tropical Ocidental – Caribe (Martinica) e Brasil (Atol das Rocas, Rio Grande do Norte).

Comentários. Aaptos sp. 1 possui semelhanças com duas espécies descritas para a Bacia Potiguar, Rio Grande do Norte: Aaptos hajdui Carvalho, Silva & Pinheiro, 2013 e Aaptos potiguarensis Carvalho, Silva & Pinheiro, 2013. Entretanto, A. hajdui tem forma de crescimento globular ou subesférica e cavidades na região ectossomal que não são observadas no morfotipo aqui presente, enquanto A. potiguarensis não possui estrongilóxeas com terminações telescópicas ou mucronadas como em Aaptos sp. 1. A presença de duas categorias de estrongilóxeas não foi evidenciada para estas espécies (CARVALHO et al., 2013). Aaptos sp. 1 também se diferencia de todas as espécies registradas para o Caribe e o Golfo do México (ver abaixo Tabela 4) com base no tipo e tamanho das espículas. Até o momento, as únicas espécies descritas para o Atol das Rocas são Aaptos glutinans Moraes, 2011 e Aaptos aaptos (Schmidt, 1864), ambas por Moraes (2011). A primeira possui duas categorias de estilos e tem seu crescimento variando de incrustante a maciça se aglutinando em cascalho grosso, enquanto a segunda possui duas categorias de estrongilóxeas e duas de estilos. Porém, a descrição de A. aaptos por Moraes (2011) não evidencia as duas categorias de estilos, sugerindo que a espécie foi identificada de forma errada. Talvez, Aaptos sp. 1 e o espécime descrito por Moraes (2011) como A. aaptos sejam representantes da mesma espécie.

> Aaptos sp. 2 (Figuras 7, 8, 9 e 10 e Tabela 4)

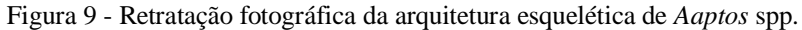
**Material examinado.** MNRJ: 8324, 8340, 8343 e 21663.

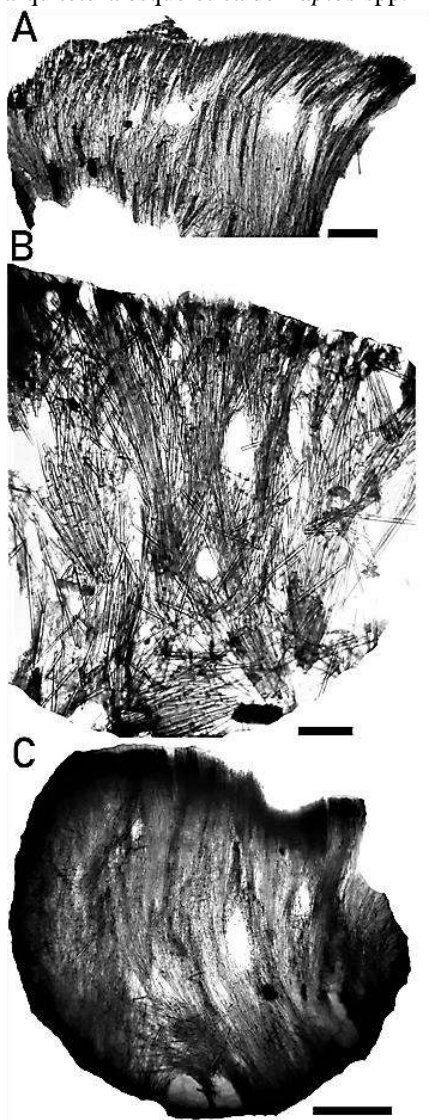
**Descrição.** As esponjas têm a forma variando de subesférica a maciça, com aproximadamente 15 cm de diâmetro. A consistência é firme e pouco compressível e a superfície é irregular e híspida. Os ósculos são visíveis, com média de 2 mm de diâmetro. A coloração externa varia de marrom a amarela, manchada, e creme por dentro. A esponja pode adquirir coloração marrom escuro após a fixação em etanol (Figura 7B).

**Espículas.** As estrongilóxeas podem ser encontradas em uma ou duas de tamanho e são as principais megascleras com uma ponta afunilada e outra variando de arredondada a aguda. Os estilos e óxeas (raras) complementam o esqueleto (Figura 8B).

**Esqueleto.** O esqueleto é radial com tratos ascendentes. O esqueleto coanossomal é denso e pode ser um pouco confuso. O arranjo ectossomal não é especializado e se confunde com as terminações dos densos feixes de megascleras coanossomais que alcançam a superfície em

forma de buquês. O esqueleto ectossomal é composto por estilos pequenos dispostos perpendicularmente à superfície, praticamente formando uma paliçada, enquanto que as óxeas podem estar tanto no ectossoma quanto no coanossoma (Figura 9B).





Legenda: A) *Aaptos* sp.1 (MNRJ 7687) Atol das Rocas, B) *Aaptos* sp. 2 (MNRJ 8343) Baía de Todos os Santos (Bahia) e C) *Aaptos* sp. 3 (MNRJ 7500) Rio de Janeiro. As escalas representam 200 μm. Fonte: O autor, 2019.

**Ecologia.** *Aaptos* sp. 2 são observadas no infralitoral consolidado da Baía de Todos os Santos e na porção oceânica, sobretudo em regiões de sedimento fino. Diferentes invertebrados bentônicos e algas são observadas sobre e dentro das esponjas.

Distribuição. Brasil (Bahia).

**Comentários.** Este morfotipo se diferencia das espécies já descritas e para *Aaptos* sp. 1 pela possível presença de óxea e uma terceira categoria de estrongilóxeas, ambas raras. Até o

momento *Aaptos bergmanni* de Laubenfels, 1950 é a única espécie do gênero descrita para o litoral baiano (MENEGOLA e PEIXINHO, 2017). A descrição original de *A. bergmanni* aponta a presença exclusiva de estrongilóxeas maiores do que 950 μm, claramente diferenciando-a dos espécimes aqui analisados. Boury-Esnault (1973) descreveu *A. bergmanni* para o litoral de Pernambuco, a mais de 70 m de profundidade, exclusivamente com estilos fusiformes, com valores máximos de 760 μm. Por isso, a identificação desta espécie para o Brasil é confusa, provavelmente errônea e carece de revisão. Adicionalmente, é possível que o espécime descrito como *Aaptos* sp. 2 corresponda a mesma espécie descrita por Hajdu *et al.* (2011) para a região da Baía de Todos os Santos como *Aaptos* sp.

Aaptos sp. 3
(Figuras 7, 8, 9 e 10 e Tabela 4)

Material examinado. MNRJ: 7500.

**Descrição.** A esponja possui forma maciça espessa, com aproximadamente 10 cm de diâmetro. A consistência é firme e pouco compressível e a superfície é lisa, mas com a presença de verrugas pequenas em toda a extensão apical da esponja. Os ósculos são visíveis, com cerca de 2 mm de diâmetro. O animal após a fixação apresenta coloração externa marrom na porção superior e amarela na base e creme no interior (Figura 7C).

**Espículas.** As estrongilóxeas estão divididas em duas categorias de tamanho e os estilos e as óxeas em uma categoria de pequena dimensão (Figura 8C). Na Figura 10, observa-se claramente que os tamanhos médios das estrongelóxeas deste espécime são muito superiores às categorias I e II dos demais.

**Esqueleto.** O esqueleto é radial com reticulação no coanossoma, apresentando tratos ascendentes. O arranjo ectossomal é formado por buquês estreitos e densos (Figura 9C).

**Ecologia.** Diversos organismos podem ser encontrados sobre a esponja, tais como moluscos e algas.

Distribuição. Brasil (Rio de Janeiro).

**Comentários.** Este morfotipo se diferencia dos demais aqui apresentados, pois as estrongilóxeas ultrapassam os 2000 µm com pontas agudas em vez de telescópicas e pela abundância de óxeas. Além disso, esta é o único morfotipo de *Aaptos* encontrado abaixo do Nordeste do Brasil. Possivelmente, o espécime descrito como *Aaptos* sp. 3 seja a mesma espécie descrita por *Aaptos* sp. por Muricy e Hajdu (2006) para o Sudeste do Brasil.

Tabela 4 – Comparação espicular entre diferentes espécies de *Aaptos* spp.

Voucher	Espécie	Localidade	Estrongilóxeas	Estilos e Óxeas (Ox)
	A. aaptos	Mar Mediterrâneo	I) 490–705–955 x 10–16–23	I) 270–318–354 x <1
			II) 1053– <u>1502</u> –1911 / 12– <u>29</u> –31	II) 364– <u>388</u> –509 / 5– <u>7</u> –8
	A. bergmanni	Caribe e NE do Brasil	>950 / 15	150 / 2,5
	A. duchassaingi	Golfo do México, Caribe	>800 x 25	n.r.
	A. pernucleata	Golfo do México, Caribe	I) >800	I) 187- <u>231</u> -270 x 2-8, 111
			II) 470- <u>333</u> -551 x 18- <u>16</u> -21	II) 312- <u>332-</u> 416 x 13-16
MNRJ 7757	A. glutinans	Atol das Rocas, RN	925- <u>1096</u> -1375 / 7- <u>10</u> -14	I) 172- <u>238</u> -296 / 2- <u>4</u> -7
				II) 240- <u>355</u> -570 / 3- <u>6</u> -12
UFPEPOR 62	A. hajdui	Bacia Potiguar, RN	649– <u>1076,7</u> –1475 / 10– <u>19,7</u> –30	252– <u>342,7</u> –524 / 2,4– <u>3,4</u> –7,2
UFPEPOR 45	A. potiguarensis	Bacia Potiguar, RN	301– <u>793,7</u> –1562 / 8– <u>20,6</u> –43	220– <u>350</u> –590 / 3,7– <u>7,4</u> –11
MNRJ 7676	Aaptos sp. 1	Atol das Rocas, RN	I) 263,5- <u>526,7</u> (24,5)-847,2 / 2,8- <u>6,5</u> (0,4)-12,7	104,9- <u>236,0</u> (64,9)-443,1 / 1,2- <u>3,1</u> (1,5)-8,5
			II) 969,4- <u>988,6(9,7)-1000,3 / 5,3-6,6(0,6)-7,3</u>	
MNRJ 7687	Aaptos sp. 1	Atol das Rocas, RN	I) 396,9- <u>619,0</u> (26,6)-820,2 / 3,6- <u>8,4</u> (0,6)-12,7	160,1- <u>236,8</u> (74,6)-457,9 / 1,4- <u>3,8</u> (2,0)-9,0
			II) 843,3- <u>952,5</u> (14,5)-1120,5 / 7,5- <u>11,9</u> (0,5)-16,8	
MNRJ 7692a	Aaptos sp. 1	Atol das Rocas, RN	I) 377,7- <u>616,9</u> (22,5)-789,0 / 4,8- <u>10,1</u> (0,6)-16,2	187,8- <u>247,5</u> (49,3)-393,1 / 3,0- <u>4,5</u> (1,4)-9,6
			II) 802,8- <u>1116,9</u> (43,4)-1416,0 / 9,0- <u>13,6</u> (0,9)-24,7	
MNRJ 7692b	Aaptos sp. 1	Atol das Rocas, RN	I) 295,7- <u>472,8</u> (19,9)-979,5 / 3,0- <u>7,9</u> (0,5)-15,0	127,1- <u>232,6</u> (46,1)-349,7 / 1,2- <u>2,7</u> (1,6)-9,5
MNDI 21677	4 4	Montinios	II) 886,6- <u>1034,2</u> (31,6)-1168,4 / 8,5- <u>12.8</u> (1,8)-23,7	01 0 196 1(61 1) 207 2 / 2 0 7 1(2 0) 15 1
MNRJ 21677	Aaptos sp. 1	Martinica	I) 598,0- <u>664,8</u> (61,4)-772,9 / 8,1- <u>18,6</u> (4,8)-26,0 II) 985,8-1190,5(155,8)-1375,9 / 29,7-34,0(6,2)-47,7	91,0- <u>186,1</u> (61,1)-297,2 / 3,0- <u>7,1</u> (3,9)-15,1
MNRJ 8340	Aaptos sp. 2	BTS, BA	I) 963,8- <u>1190,3</u> (133,6)-1373,9729,7- <u>34,0</u> (6,2)-47,7 I) 229,4-421,1(287,8)-1162,474,0-10,5(10,3)-38,2	219,9-311,6(63,7)-538,9 / 3,4-6,0(1,2)-8,8
WINKS 6540	Aupios sp. 2	D13, DA	II) 1212,2- <u>1322,9</u> (92,8)-1526,7 / 18,9- <u>34,2</u> (7,4)-48,5	219,9- <u>311,0(03,7)</u> -330,97 3,4- <u>0,0(</u> 1,2)-6,6
MNRJ 8343	Aaptos sp. 2	BTS, BA	I) 302,4-495,9(243,8)-1127,0 / 10,8-13,2(6,1)-22,0	172,6- <u>264,4</u> (62,1)-438,3 / 2,4- <u>4,8</u> (2,2)-11,6
WINKJ 6545	Aupios sp. 2	B13, BA	II) 1149,8-1382,7(135,5)-1663,1 / 8,5-27,6(11,7)-48,1	172,0- <u>204,4</u> (02,1)-436,37 2,4- <u>4,6</u> (2,2)-11,0
MNRJ 21663	Aaptos sp. 2	BTS, BA	864,8-1254,4(276,3)-2195,0 / 9,0-21,4(8,5)-39,0	281,0-555,8(203,7)-856,4 / 6,0-8,5(2,9)-15
MNRJ 8324	Aaptos sp. 2	Ondina, BA	618,6-1086,8(246,1)-1579,8 / 7,5-20,7(8,6)-42,6	232,2-286,0(34,9)-297,8 / 6,0-6,4-(0,5)-7,0
1.11.11.0021	110pros sp. 2	Chaile, Di	210,0 <u>1000,0</u> (210,1) 1017,011,0 <u>20,1</u> (0,0) 12,0	Ox) $139,3-\frac{171,6}{20,9}$ ; $178,7/3,6-\frac{3,8}{3,1}$ ; $179,3-\frac{171,6}{3,1}$ ; $179,3-171,6$
			I) 611,0-1153,1(201,0)-1557,2 / 7,6-15,2(3,8)-24,2	116,0-209,4(79,2)-452,3 / 2,0-5,0(2,4)-13,5
MNRJ 7500	Aaptos sp. 3	Ilhas Cagarras, RJ	II) 1617,7- <u>1741,6</u> (197,2)-2192,7 / 18,1- <u>23,1</u> (6,0)-35,4	Ox) $140,0-\underline{160,5}(35,0)-185,0/4,0-\underline{6,0}(2,5)-10,0$

Legenda: NE= Nordeste, RN= Rio Grande do Norte, BTS= Baía de Todos os Santos, BA= Bahia, RJ= Rio de Janeiro.

Nota: A micrometria é representada em mínimo-<u>média</u>(desvio padrão)-máximo (n= 50, exceto óxeas raras +/-10). As medidas são dadas em μm.

Fonte: O autor, 2019.

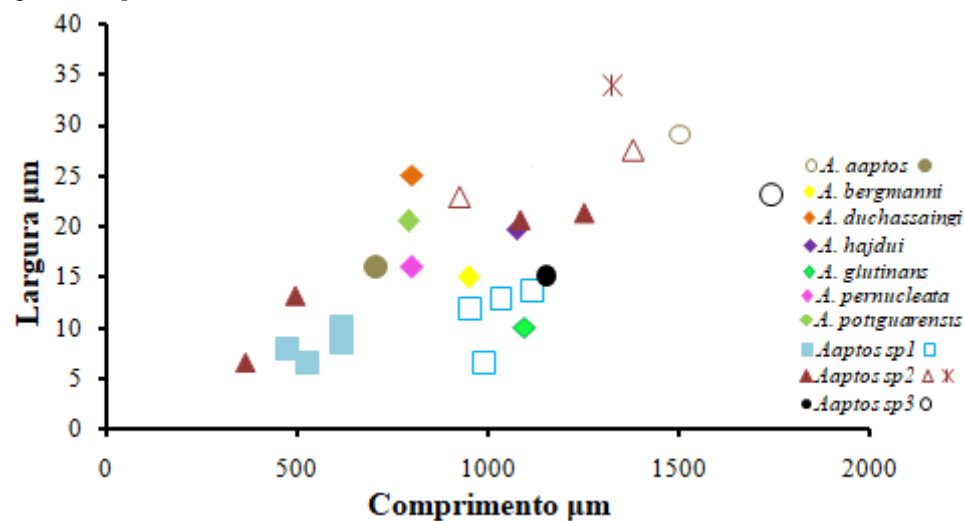


Figura 10 – Relação entre as médias do comprimento (μm) e da largura (μm) das estrongilóxeas observadas no gênero *Aaptos*.

Legenda: Símbolo losango indica espécies com apenas uma categoria de estrongilóxeas. Espécies com duas ou três categorias de espículas são representadas por símbolos fechados (menor categoria) e abertos (maior categoria). No morfotipo *Aaptos* sp. 2, a 3ª categoria de estrongilóxeas é identifica pelo \*. Fonte: O autor, 2019.

# Gênero Suberites Nardo, 1833

Espécie tipo. Suberites domuncula (Olivi, 1792) (tipo por designação original)

Suberites aurantiacus (Duchassaing & Michelotti, 1864) (Figuras 11, 12, 13 e 14 e Tabela 5)

**Material examinado.** MNRJ: 15061, 15701, 16247, 20788, 21340, 21397, 21402, 21405, 21430, 21584, 21585, 21601, 21665, 21668, 21758, 21808, 21818, 21819, 21820, 21821, 21822, 21917

**Descrição.** A esponja tem forma maciça com ramificações simples e cilíndricas que se unem na base formando lobos achatados. Os espécimes no Rio de Janeiro ultrapassavam 10 cm de comprimento, enquanto os do Nordeste não chegavam aos 10 cm. A consistência é firme, mas flexível, compressível. A superfície é irregular e levemente híspida, com ósculos dispersos e pequenos. A coloração externa é verde, mas espécimes alaranjados foram observados no Nordeste. Internamente a esponja é sempre amarela (Figura 11D).

**Espículas.** Os tilóstilos são encontrados em duas categorias (Figura 12C), possivelmente uma exclusiva do coanossoma e outra do ectossoma. O tilo é semiesférico e pode ter uma proeminência na porção superior e não é lobado. O corpo do tilóstilo é geralmente fino e reto (Figura 13; Tabela 5).

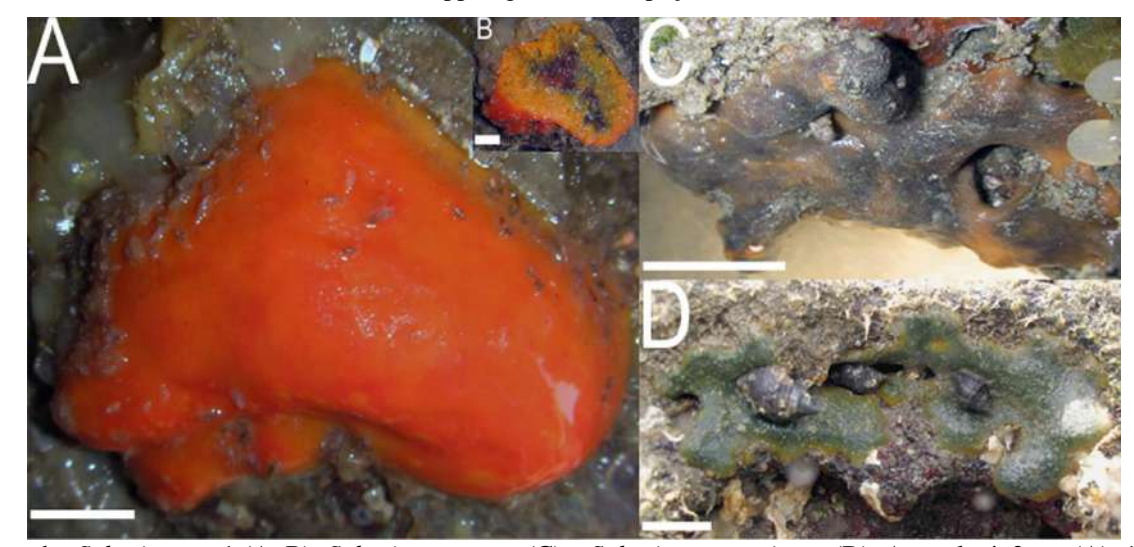


Figura 11 – Anatomia externa de Suberites spp. registradas em poças de maré no Maranhão.

Legenda: Suberites sp. 1 (A, B), Suberites sp. nov. (C) e Suberites aurantiacus (D). A escala é: 2 cm (A), 1 cm (B-D).

Fonte: O autor, 2019.

**Esqueleto.** O esqueleto ectossomal não possui especialização, exceto pela presença de buquês amplos. O esqueleto coanossomal possui feixes ascendentes que terminam em buquês de tilóstilos que atravessam a pinacoderme. Malhas grosseiras na porção basal do coanossoma podem ser visualizadas. De uma forma geral, o esqueleto coanossomal tende para confuso (Figura 14D).

**Ecologia.** Estas esponjas se estabelecem em substratos rochosos, pequenos fragmentos de rocha e conchas, e em manguezais na Baía de Todos os Santos e no Caribe (HAJDU *et al.*, 2011; PÉREZ *et al.*, 2017) e costões rasos no Sudeste e Sul do Brasil. A espécie costuma ser abundante na zona entremarés, sendo considerada bioindicadora de ambientes fortemente impactados por petróleo.

**Distribuição.** Atlântico Tropical e Subtropical Ocidental - Desde o Golfo do México até o estado de Santa Catarina, na região Sul do Brasil. A espécie também foi citada para o Pacífico Central (Havaí), onde é considerada uma espécie invasora, e Pacífico Tropical Oriental (Panamá).

Comentários. Apesar da variação na coloração externa da espécie ser descrita como comum, o padrão de cor verde externamente e amarelo na base foi encontrado desde o Golfo do México até o estado do Paraná, Brasil e apenas um indivíduo laranja foi observado no estado da Bahia. O padrão de ectossoma amplo também se manteve constante no gradiente latitudinal. A separação dos tilóstilos em duas categorias de tamanho, como sugerido por Rützler e Smith (1993), foi obtida visualmente e por análise da freqüência das espículas. De uma forma geral, *S. aurantiacus* se assemelha ao tipo *S. domuncula*, quanto à presença de

57

tilóstilos em duas categorias de tamanho, um coanossoma ligeiramente confuso com tendência a radiação na porção periférica e finalizando em um ectossoma formando buquês. Por outro lado, as espécies se diferenciam muito quanto ao tamanho dos tilóstilos maiores e a forma das espículas, sempre curvas no tipo e retas na espécie Tropical. Reconstruções filogenéticas de Suberitida, frequentemente têm separado *Suberites domuncula* de *S. aurantiacus* (REDMOND *et al.*, 2013; THACKER *et al.*, 2013; IDAN *et al.*, 2018), sugerindo que a última faça parte de um gênero distinto.

Suberites sp. nov.

(Figuras 11, 12, 13 e 14 e Tabela 5)

Material examinado. MNRJ: 21343

**Descrição.** A esponja tem crescimento incrustante espesso, com a possível formação de lobos. A superfície é aveludada a levemente rugosa em algumas partes. A consistência é firme, cartilaginosa e pouco compressível. Externamente a cor é roxa na região apical e alaranjado na base e internamente amarela (Figura 11C).

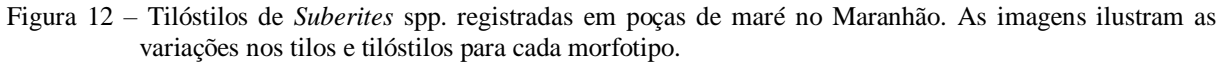
**Espículas.** Os tilóstilos são divididos em duas categorias com a segunda ultrapassando os 1500 μm. O tilo é esférico e o corpo do tilóstilo pode ter um alargamento no meio (Figura 12B).

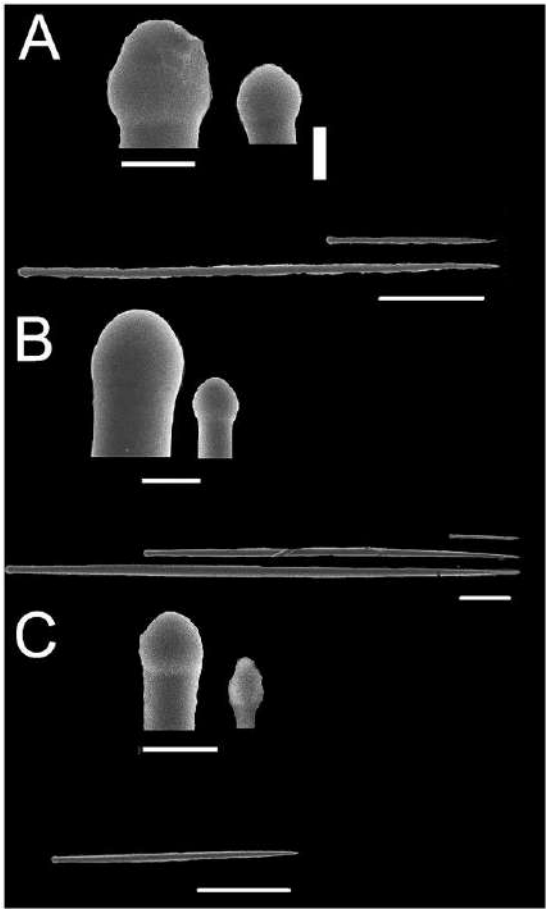
**Esqueleto.** O esqueleto coanossomal é um pouco confuso, com a presença de espículas agrupadas em feixes ou isoladas. Os feixes ectossomais terminam no ectossoma formando um buquê de espículas aberto e curto (Figura 14B e C).

**Ecologia.** O espécime foi encontrado na região intertidal, em uma poça de maré. O ambiente era semiescuro.

Distribuição. Brasil (Maranhão).

Comentários. Na poça de maré em que *Suberites* sp. nov. foi encontrada, também foram observados espécimes de *S. aurantiacus*, todos com a coloração verde. Apesar de já terem sido fotografados espécimes de *S. aurantiacus* roxos, principalmente em regiões de mangue, o tamanho das espículas de *Suberites* sp. nov. diferencia este morfotipo da espécie mencionada. Nenhuma outra espécie de *Suberites* do Atlântico ocidental e Caribe possuem espículas ultrapassando os 1500 μm. A combinação de espículas maiores do que 1500 μm, a cor roxa, os buquês curtos e abertos diferem este morfotipo de todos os seus congêneres.





Legenda: Suberites sp. 1 (A), Suberites sp. nov. (B) e Suberites aurantiacus (C). A escala para os tilos é de 10 µm e para os tilostilos 100 µm.

Fonte: O autor, 2019.

## Suberites sp. 1

(Figuras 11, 12, 13 e 14 e Tabela 5)

#### Material examinado. MNRJ: 21500

**Descrição.** O espécime coletado possui forma maciça ovalada a subesférica. A superfície é lisa e pouco rugosa. A consistência é carnosa, pouco compressível. Externamente a cor é laranja brilhante e internamente amarela (Figura 11A e B).

**Espículas.** Os tilóstilos são encontrados em duas dimensões, sendo a segunda categoria menor do que 700 μm. O tilo é esférico e o corpo do tilóstilo pode tem um alargamento no meio (Figura 12A, 13, Tabela 5).

Tabela 5 – Tabela comparativa do tamanho e forma das espículas de diferentes espécies de <i>Suberites</i> spp.							
Espécies	Local	Tilóstilo I		Tilóstilo II		Tilo	
			Largura	Comprimento	Largura	Largura	
S. domuncula <sup>1</sup>	Mediterrâneo e	100-350	4-8	250-480	5-8	n.r.	Semiesférico
	Atlântico						
Suberites sp.	Maranhão	208,5- <u>432,1</u> (149,9)-790,2	4,8- <u>11,4</u> (4,2)-21,6	860,7- <u>1322,3</u> (322,2)-1991,3	17,2- <u>27,7</u> (7,7)-45,8	5,3-33,9	Semiesférico
nov. <sup>2</sup>							
S. aurantiacus <sup>2</sup>	Golfo do México	78,2- <u>225,3</u> (67,8)-377,9	1,2- <u>5 0</u> (1,5)-10,6	318,4- <u>455,6(</u> 95,5)-730,7	3,7- <u>7,2</u> (2,2)-12,9	2,5-15,7	Semiesférico com
							proeminências lobulares
S. aurantiacus <sup>2</sup>	Caribe	137,6- <u>261,4</u> (66,1)-387,4	2,4- <u>4,8</u> (1,7)-8,6	412,8- <u>548,2</u> (112,1)-824,0	6,0- <u>10,9</u> (3,3)-18,3	4,0-19,8	Semiesférico
S. aurantiacus <sup>2</sup>	Maranhão	140,0-210,5(55,5)-386,5	2,4-6,9(1,7)-12,2	376,2-551,1(138,6)-830,9	$4,9-\overline{10,5}(3,5)-20,7$	3,1-18,3	Semiesférico com
			<del></del> -	<del></del>	<del></del> -		proeminência no ápice
S. aurantiacus <sup>2</sup>	Bahia	171- <u>283,1</u> -558	2- <u>4,2</u> -6	598- <u>842,2</u> -1278	6- <u>9,5</u> -12	3-14	Semiesférico com
				<del></del>			proeminência no ápice
S. aurantiacus <sup>2</sup>	Rio de Janeiro	153- <u>355,82</u> -557	2- <u>5,1</u> -10	593- <u>658,5</u> -778	6- <u>9,9</u> -12	3-14	Semiesférico com
							proeminência no ápice
S. aurantiacus <sup>3</sup>	Bahia	121-833	5-15	n.r.		5-15	Semiesférico com
							proeminência no ápice
S. aurantiacus <sup>4</sup>	Rio de Janeiro	115-940	n.r.	n.r.	n.r.	n.r.	Semiesférico com
							proeminência no ápice
S. aurantiacus <sup>5</sup>	Caribe	130-750	2-19	n.r.	n.r.	n.r.	Semiesférico com
							proeminência no ápice
Suberites sp.1 <sup>2</sup>	Maranhão	151,9- <u>242,9</u> (66,0)-401,0	3,4- <u>6,9</u> (2,6)-13,8	437,2- <u>566,9</u> (76,4)-635,0	5,6- <u>12,1</u> (5,0)-20,7	3,0-11,8	Semiesférico ou com
-							proeminência no ápice
Suberites sp.2 <sup>2</sup>	Rio de Janeiro	222,0- <u>357,2</u> (121,5)-613,1	3,6- <u>7,1</u> (4,1)-16,7	911,6- <u>1013,4</u> (79,9)-1107,0	6,0- <u>10,4</u> (5,1)-18,0	5,4-10,8	Semiesférico
Suberites sp.3 <sup>2</sup>	Abrolhos, Bahia	148,0- <u>265,0</u> (54,7)-356,9	4,3- <u>6,7</u> (1,5)-9,0	371,1- <u>418,2</u> (22,6)-452,7	4,6- <u>7,0</u> (1,3)-9,7	5,4-10,8	Cilíndrico, forma de
_							cotonete /subtilóstilo
S. carnosus <sup>6</sup>	Rio de Janeiro	230-430	6-12	n.r.	n.r.	n.r.	Cilíndrico, forma de
							cotonete
S. caminatus <sup>6</sup>	Rio de Janeiro	240-600	3-12	n.r.		n.r.	Semiesférico
S. crispolobatus <sup>7</sup>	Guiana	186- <u>266</u> -396	3- <u>5,9</u> -10	456- <u>724</u> -858	9- <u>11,4</u> -14	n.r.	Semiesférico com
							proeminência
S. distortus <sup>8</sup>	Caribe	n.r.	n.r.	n.r.	n.r.	n.r.	n.r.
S. heros <sup>8</sup>	Caribe	n.r.	n.r.	n.r.	n.r.	n.r.	n.r.
S. lobatus <sup>9</sup>	Caribe	200-300	3-4	650-850	10-15	n.r.	n.r.
S. paradoxus <sup>10</sup>	EUA	220-300	7	280-350	8	n.r.	n.r.

Legenda: <sup>1</sup>van Soest, 2002b (holótipo); <sup>2</sup>presente estudo; <sup>3</sup>Hajdu *et al.*, 2011; <sup>4</sup>Muricy e Hajdu, 2006; <sup>5</sup>Pulitzer-Finali, 1981; <sup>6</sup>Boury-Esnault, 1973; <sup>7</sup>van Soest, 2017; <sup>8</sup>Schmidt, 1870; <sup>9</sup>Wilson, 1902; <sup>10</sup>Wilson, 1931. N= 50; n.r.= não registrado.

Fonte: O autor, 2019

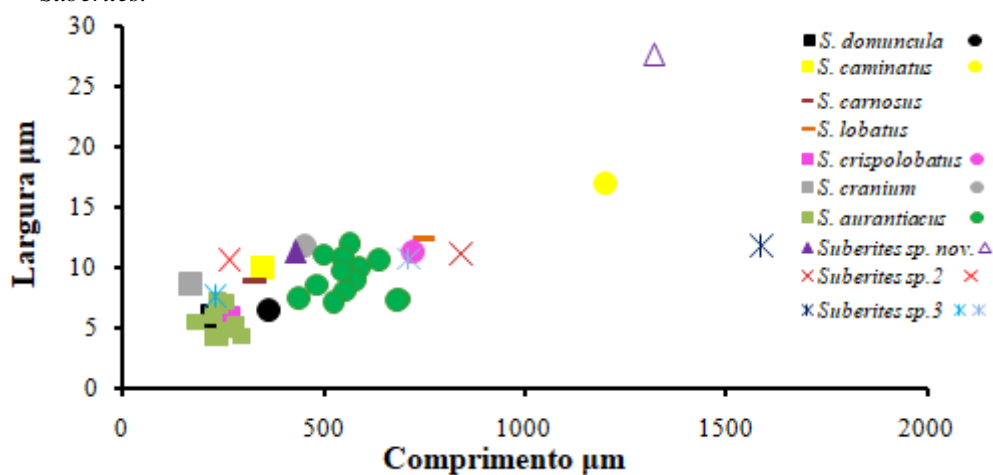


Figura 13 – Relação entre as médias do comprimento (μm) e da largura (μm) dos tilóstilos observadas no gênero *Suberites*.

Legenda: Símbolo quadrado indica tilóstilo menor e círculo tilóstilo maior para espécies com dois tamanhos de espículas. Os traços indicam espécies com apenas uma categoria de tilóstilos. X e \* de diferentes cores são referentes às diferentes categorias de tamanho dos tilóstilos dos morfotipos do Chile ainda serem descritos. O triângulo se refere à *Suberites* sp. nov., aberto é a maior categoria e fechado a menor.

Fonte: O autor, 2019.

**Esqueleto.** O esqueleto ectossomal não tem especialização, exceto pela formação de plumas de tilóstilos longas e estreitas e quase sobrepostas. A porção mais basal do coanossoma tem uma leve reticulação que forma tratos ascendentes em direção ao ectossoma. Há uma clara diferenciação entre o coanossoma e o início da formação dos buquês ectossomais (Figura 14A).

**Ecologia.** A esponja foi encontrada no teto de uma rocha, voltada para o chão. Este ambiente é ligeiramente escuro e a esponja estava completamente fora d'água.

#### Distribuição. Brasil (Maranhão).

Comentários. Suberites sp. 1 se diferencia de todas as demais espécies de Suberites spp. do Atlântico ocidental no que se refere a combinação de características espiculares e anatomia externa, aproximando-se mais de S. aurantiacus. Por mais que haja uma grande variação de cores descrita para a segunda espécie, a coloração laranja brilhante não é observada em S. aurantiacus (ver MURICY e HAJDU, 2006). Além disso, Suberites sp. 1 possui um buquê longo e pequeno e espículas menores do que 700 µm, enquanto S. aurantiacus apresenta um buquê amplo e espículas ultrapassando os 800 µm. Em comparação com as outras espécies registradas para o Brasil, Suberites sp. 1 difere em diversas características tais como habitat, forma, e ausência de (sub)tilóstilos, como registrado em S. carnosus (BOURY-ESNAULT, 1973) e o tamanho das espículas em S. caminatus Ridley & Dendy, 1886. O morfotipo aqui descrito também se diferencia das espécies caribenhas, Suberites lobatus (Wilson, 1902), a qual tem crescimento incrustante, S. crispolobatus van Soest, 2017 que tem cor cinza

amarronzada, possui crescimento ramoso e vive em águas mesofóticas (50-85 m) e, por fim, *S. distortus* Schmidt, 1870 que tem uma forma arredondada. Infelizmente, a comparação com *Suberites heros* Schmidt, 1870 não é possível devido à falta de caracteres na descrição da espécie. *Suberites paradoxus* de Chesapeake Bay (EUA) difere do morfotipo descrito tanto na forma de crescimento laminar repleto de areia em seu interior quanto no tamanho das espículas, que só alcançam 350 μm. Com relação à espécie tipo *S. domuncula*, esta possui tilóstilos curvos com, no máximo, 500 μm (VAN SOEST, 2002b) muito diferentes dos apresentados pelas espécies de *Suberites* do Atlântico Sul. Diante das características mencionadas, este morfotipo pode se tratar de uma nova espécie, porém a similaridade com *S. aurantiacus* em diversas características impede a tomada de decisão utilizando exclusivamente dados morfológicos. A comparação destes resultados com os dados moleculares permitirá uma visão mais ampla sobre a variação desta espécie.

# Suberites sp. 2

#### (Figura 15 eTabela 5)

#### Material examinado. MNRJ: 3882

**Descrição.** Pequenofragmento, apenas a dissociação foi realizada. O espécime parece ser maciço com a superfície microhíspida e irregular. A consistência é pouco compressível. *In vivo*, laranja e fixado bege.

**Espículas.** Os tilóstilos são encontrados em duas categorias (Figura 15; Tabela 5), seguindo do tilo mais grosso para a ponta mais fina. O tilo é esférico, sem proeminências. Estas podem ser vistas apenas no pescoço do tilóstilo. As pontas podem ser aceradas ou não.

**Esqueleto.** O esqueleto ectossomalé formado por uma pluma de tilóstilos pequenos e o esqueleto coanossomal é confuso com tratos espiculares (quase radiais) em direção à pinacoderme.

**Ecologia.** A esponja foi encontrada em costão rochoso, no infralitoral.

Distribuição. Brasil (Rio de Janeiro).

Comentários. Suberites sp. 2 se diferencia de todas as demais espécies de Suberites spp. do OATO quanto ao tamanho mínimo da menor da categoria de tilóstilos. Ao mesmo tempo, a cor *in vivo*, a distribuição, a forma e superfície e a forma e tamanho médio dos tilóstilos sugere que este espécime seja enquadrado como Suberites aurantiacus. A decisão de manter este espécime como um morfotipo é devido ao tamanho diminuto do fragmento, o qual não

permite aprofundar na diagnose do indivíduo. Caso haja sucesso nos estudos genéticos, a identificação do espécime poderá ser realizada por sistemática morfológica.

Figura 14 – Anatomia interna de Suberites spp. encontradas em poças de maré no Maranhão.

Legenda: As imagens ilustram as variações nos buquês e na forma do coanossoma de cada morfotipo. *Suberites* sp. 1 (A), *Suberites* sp. nov. (B-C) e *Suberites aurantiacus* (D). A escala é de 100 μm. Fonte: O autor, 2019.

# Suberites sp. 3

(Figura 15 eTabela 5)

#### Material examinado. MNRJ: 8641

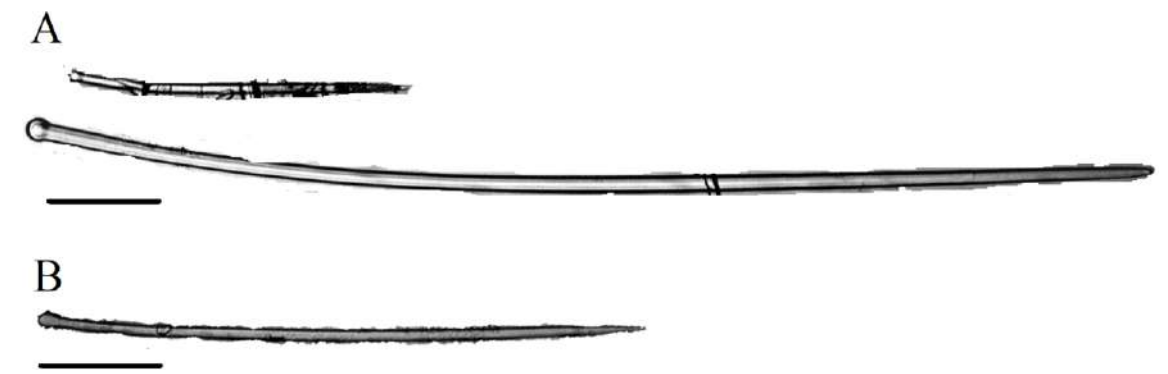
**Descrição.** Pequenos fragmentos quebradiços, apenas a dissociação foi realizada. O espécime coletado possui superfície ligeiramente irregular. Externamente a cor é laranja.

**Espículas.** Os tilóstilos são encontrados em duas dimensões, ligeiramente curvos, finos e com tendência a formar subtilóstilos. A ponta é acerada e o tilo é em forma de cotonete (Figura 15; Tabela 5). Uma micróxea foi observada na lâmina.

**Esqueleto.** Cortes anatômicos não foram possíveis de ser realizados devido ao tamanho diminuto dos fragmentos obtidos.

**Ecologia.** Os fragmentos de esponja estão diretamente fixados em pequenos fragmentos de rodolitos.

Figura 15 – Representação dos (sub)tilóstilos de Suberites sp. 2 e Suberites sp 3, em microscopia ótica.



Legenda: (A) Suberites sp. 2, (B) Suberites sp. 3. A escala é de 100 μm.

Fonte: O autor, 2019.

## Distribuição. Brasil (Abrolhos, Bahia).

Comentários. Suberites sp. 3 se diferencia de todas as demais espécies de Suberites spp. por manter a coloração amarelada após a fixação. A pequena variação de tamanho dos tilóstilos, espículas finas e o tilo cilíndrico em vez de esférico sugerem que este espécime seja mais próximo de S. carnosus. Contudo, S. carnosus descrita para o Brasil por Boury-Esnault (1973) é muito diferente do tipo da espécie, descrita para a Irlanda e apresentando uma forma de ameixa com ósculo central (JOHNSTON, 1842; ACKERS et al., 1992). Sendo assim, S. carnosus do Brasil não deve ser tratada como é uma Suberites, assim como Suberites sp. 3. Estudos moleculares podem auxiliar na classificação deste morfotipo.

## Gênero Terpios Duchassaing & Michelotti, 1864

Espécie tipo. *Terpios fugax* Duchassaing & Michelotti, 1864 (tipo por designação subsequente)

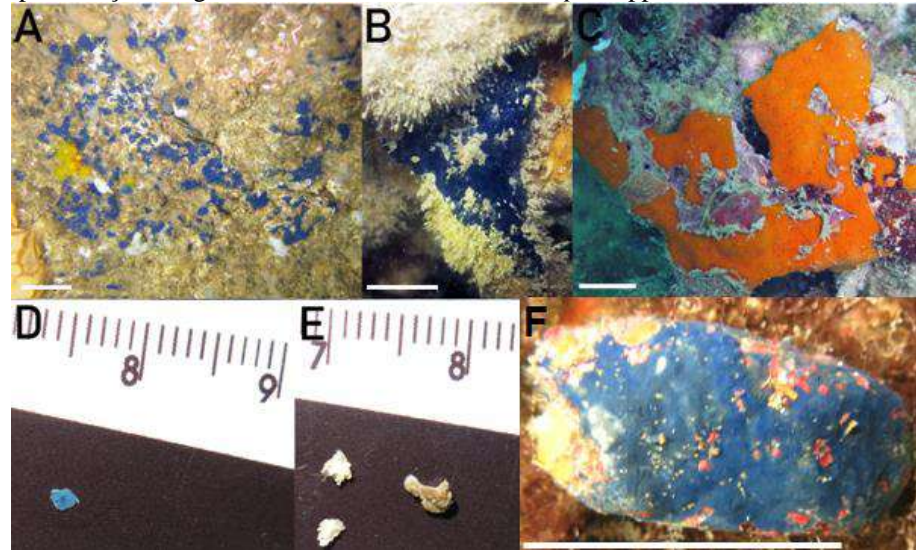
Terpios fugax Duchassaing & Michelotti, 1864 (Figuras 16, 17, 18 e 19 e Tabela 6 e 7)

**Material examinado.** MNRJ: 2536, 18940, 20065, 20078, 21630, 21631, 21632, 21633, 21638, 21639, 21679a, 21696, 21700, 21701, 21708, 21798, 21937, 21940, 21946, LGMAR 1469

**Descrição.** As esponjas são finamente incrustantes, com dimensões frequentemente inferiores a 25 cm², sem a presença de subcanais (Figura 16A, B e F). A superfície é microhíspida, levemente áspera ao toque. A consistência é macia. Os ósculos são pequenos (< 1 mm), mas visíveis a olho nu. A cor em vida e após a fixação em etanol é azul-cobalto.

**Espículas.** Os tilóstilos são as únicas espículas encontradas. O tilo é arredondado e multilobado (Figura 17A; Tabela 6).

Figura 16 - Representação fotográfica da anatomia externa de Terpios spp.



Legenda: *Terpios fugax* (A, B e F), *Terpios belindae* (C), *Terpios gelatinosus* (D) e cf. *Terpios* (E). A escala é de 1 cm em cada imagem.

Fonte: O autor, 2019.

**Esqueleto.** O esqueleto tem baixa densidade espicular. O ectossoma não é especializado. O coanossoma possui vagos feixes espiculares, os quais protrudam a pinacoderme da esponja. A maior parte das megascleras se encontra dispersa no coanossoma (Figura18A).

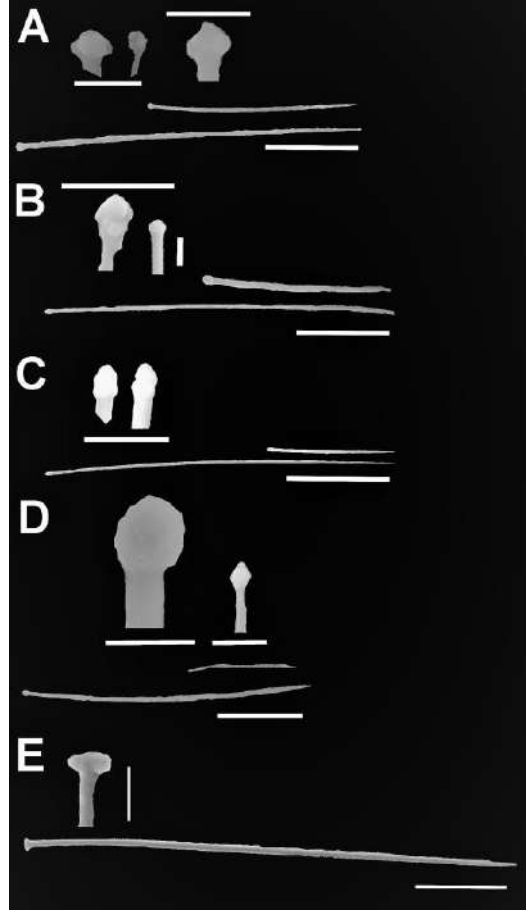
**Ecologia.** A espécie é relativamente comum no entremarés e infralitoral consolidado de toda a costa do Brasil com preferência por ambientes abrigados da iluminação intensa, mas facilmente encontrada em paredes verticais. Na Martinica, por sua vez, a espécie é observada mais facilmente na entrada e dentro de cavernas ou fendas.

**Distribuição.** Atlântico Tropical e Subtropical Ocidental - Desde o Golfo do México até a região Sul do Brasil. Provavelmente, todos os registros fora do Oceano Atlântico são errôneos.

Comentários. Terpios fugax é uma espécie que se difere das demais distribuídas no Atlântico Tropical Ocidental pela presença de tilóstilos pequenos (<500 μm), tilos multilobados levemente achatados (Tabela 7) e coloração azul cobalto que se mantém após fixação. No Atlântico, a espécie mais parecida com T. fugax é T. manglaris, cujo tilo é achatado, em forma de cabeça de prego e quadrilobado Rützler e Smith (1993), bem diferente de fugax. Outras espécies incrustantes, azuis contendo tilóstilos já foram descritas como T. fugax para todo o mundo. Porém, diante das observações e modificações propostas aqui, todos os registros de T. fugax fora do OATO também devem ser revistos, pois, provavelmente, são

identificações errôneas. Um exemplo disto é a descrição de *T. fugax* do Oceano Pacífico Centro-Ocidental que possui tilóstilo com quatro ou cinco lobos muito proeminentes (DE LAUBENFELS, 1954), diferindo da descrição do tipo e que possivelmente se trata de outra espécie.

Figura 17 – Tilóstilos de *Terpios* spp. do Brasil e da Martinica, *Terpios gelatinosus* e cf. *Terpios* (Mônaco), com detalhe para os tilos de cada indivíduo.



Legenda: *Terpios fugax* do Atlântico Tropical Ocidental (A), *Terpios gelatinosus* de Mônaco (B e C), cf. *Terpios* de Mônaco (D) e *Terpios belindae* do Panamá e da Bahia (E). A escala dos tilos é de 10µm e dos tilóstilos 100 µm.

Fonte: O autor, 2019.

Terpios gelatinosus (Bowerbank, 1866)

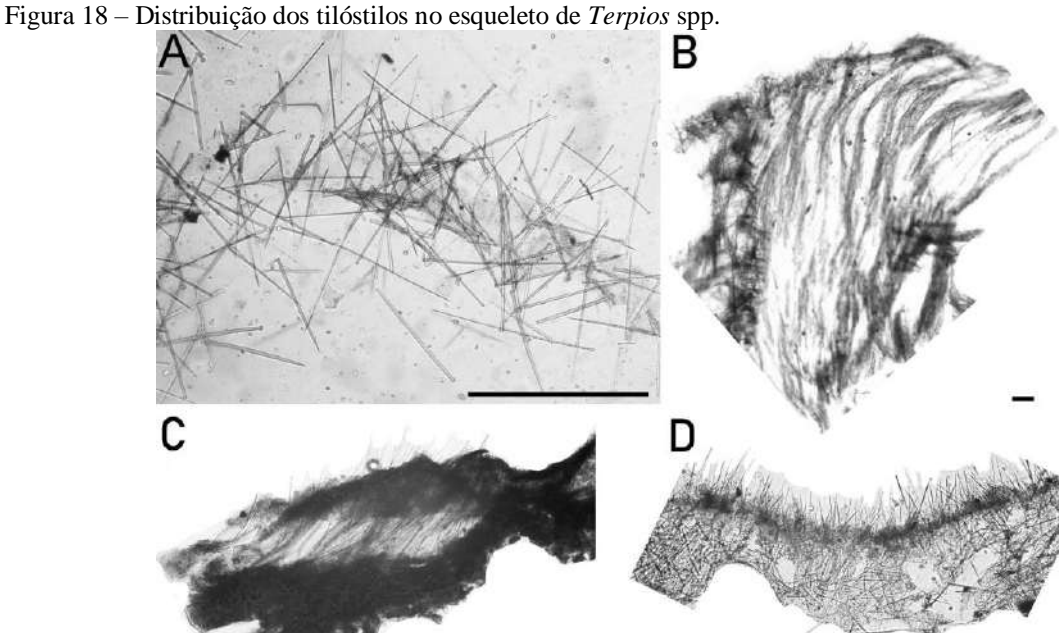
(Figuras 16, 17, 18 e 19 e Tabela 6 e 7)

# Material examinado. MNRJ: 21814, 21815

**Descrição.** As esponjas são finamente incrustantes e de pequenas dimensões. A superfície é lisa e microhíspida. Os ósculos são pequenos e não visíveis a olho nu. A consistência é macia (Figura 16D). A cor em vida e após a fixação em etanol é azul-cobalto, mastambém pode ser amarelo-alaranjada, segundo Ackers *et al.*(1992).

Espículas. Os tilóstilos podem ter duas categorias de tamanho com tilos cilíndricos e multilobados (Figura 17B e C; Tabela 6 e 7). As espículas são retas ou levemente curvas.

**Esqueleto.** O esqueleto tem baixa densidade espicular. O esqueleto ectossomal é tangencial. O esqueleto coanossomalé confuso e possui vagos feixes espiculares que se cruzam em todas as direções (Figura 18C).



Legenda: Terpios fugax (A), Terpios belindae (B), Terpios gelatinosus (C) e cf. Terpios (D). A escala é de 200

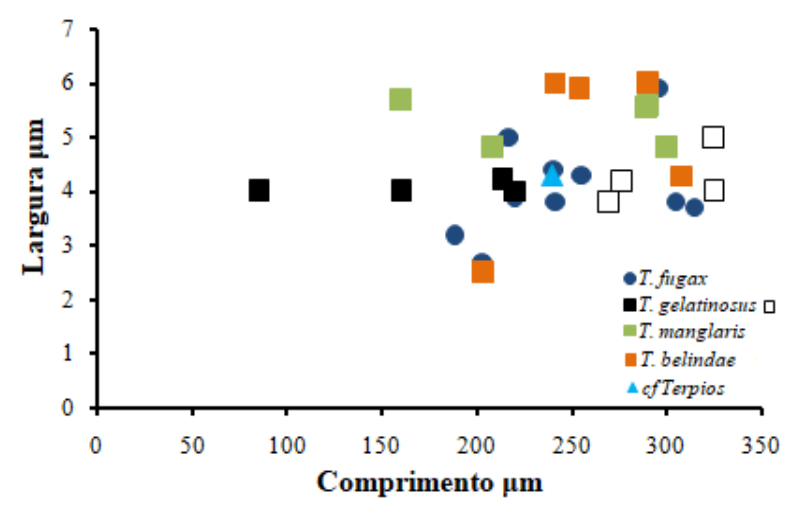
Fonte: O autor, 2019.

Ecologia. Infralitoral, na parte inferior de rochas e outros organismos. Em Mônaco, a espécie só é observada na entrada de cavernas ou fendas. Nestas regiões, os individuos são encontrados apenas no infralitoral (10-50 m).

**Distribuição.** Nordeste Atlântico e Mar Mediterrâneo.

Comentários. Terpios gelatinosus era considerada um sinônimo júnior de T. fugax, porém diferenças quanto à largura do tilóstilo e forma do tilo e a distribuição geográfica separam as espécies em duas (ACKERS et al., 1992; VOULTSIADOU-KOUKOURA e VAN SOEST, 1993). Entretanto, uma publicação formal com a descrição da espécie nunca foi realizada. Talvez, esta definição ainda não tenha sido feita porque T. gelatinosus também pode ser amarelo-alaranjado e, por isso, é difícil distinguir esta espécie de Protosuberites epiphytum (Lamarck, 1815) ou Pseudosuberites sulfureus (Bowerbank, 1866). Em adição aos caracteres morfológicos, uma comparação será realizada no capítulo de filogenia desta tese. O posicionamento filogenético de espécimes de T. gelatinosus do Mediterrâneo (IDAN et al., 2018) será comparado com os *T. fugax* trabalhados nesta tese. Sendo assim, *T. fugax* é considerada exclusiva do Atlântico Ocidental, enquanto *T. gelatinosus* é uma espécie do Mar Mediterrâneo, Mar Celta e Nordeste do Atlântico.

Figura 19 – Relação entre as médias do comprimento (μm) e da largura (μm) dos tilóstilos observadas no gênero *Terpios*.



Legenda: Símbolo círculo indica a distribuição de tamanho dos tilóstilos na espécie tipo *T. fugax*. Os quadrados se referem às demais espécies trabalhadas e que podem apresentar duas categorias de tilóstilos. O quadrado fechado indica a menor categoria e o quadrado aberto a maior. Cada cor condiz com uma espécie. O triângulo azul destaca um espécime similar a *T. fugax*, mas que não se insere neste gênero, apesar de apresentar média de tamanho semelhante.

Fonte: O autor, 2019.

# cf. *Terpios* (Figuras 16, 17, 18 e 19 e Tabela 6 e 7)

#### Material examinado. MNRJ: 21813

**Descrição.** O espécime é incrustante e a consistência é macia. A superfície é irregular e microhíspida e os ósculos não são visíveis. A cor em vida é azul e após a fixação é bege esbranquiçada (Figura 16E).

**Espículas.** Os tilóstilos são as únicas espículas encontradas. O tilo é globoso com um lobo no ápice (Figura 17A; Tabela 6).

**Esqueleto.** O esqueleto tem baixa densidade espicular, possui vagos feixes espiculares e os tilóstilos protrudam a pinacoderme da esponja (Figura 18D).

**Ecologia.** Entrada de cavernas ou fendas, no infralitoral (10-50 m).

Distribuição. Mar Mediterrâneo.

Comentários. Este espécime é muito parecido com *Terpios gelatinosus*, porém a forma do tilo arredondado o assemelha ao gênero *Protosuberites*. Outra característica que diferencia

68

este espécime do gênero Terpios é a perda de cor após a fixação. Análises filogenéticas

podem ajudar na classificação do espécime.

Terpios belindae Rützler & Smith, 1993

(Figuras 16, 17, 18 e 19 e Tabela 6 e 7)

Material examinado. MNRJ: 4057, 6726, 8370, 15781, 15821

**Descrição.** A esponja tem crescimento incrustante com poros visíveis e ósculos levemente

levantados, quase formando fístulas. A consistência é macia e a superfície é microhíspida. A

cor é laranja vivo, mas se desfaz após a fixação (Figura 16C).

Espículas. Os tilóstilos são encontrados em apenas uma categoria com tilo muito achatado e

lobado (Figura 17E).

Esqueleto. O ectossoma não tem especialização, exceto a formação de alguns buquês

ectossomais. O coanossoma possui baixa densidade espicular, com espículas geralmente sem

organização (Figura 18B).

**Ecologia.** A esponja se fixa em substrato duro, seja rocha ou corais.

Distribuição. Atlântico Tropical e Subtropical Ocidental - Desde o Caribe (Panamá) até o

Sudeste do Brasil (Rio de Janeiro).

Comentários. Terpios belindae é laranja e com possível formação de fístulas e isso a

diferencia de todas as demais espécies do gênero distribuídas pelo Oceano Atlântico Tropical

Ocidental. Além disso, esta é a única espécie do OATO que não tem uma razão constante

entre o tamanho médio do comprimento e da largura dos tilóstilos (ver Figura 19). Neste

trabalho, o limite austral de distribuição da espécie é ampliada até o Rio de Janeiro.

Anteriomente, no Brasil, a espécie era restrita ao estado do Amapá (MOTHES et al., 2006).

Terpios manglaris Rützler & Smith, 1993

(Figura 19 e Tabela 6 e 7)

Material examinado. MNRJ: 308, 1094

**Descrição.** A esponja tem crescimento incrustante com subcanais que terminam em ósculos.

A cor é azul cobalto in vivo.

Espículas. Os tilóstilos têm uma pequena variação de tamanho que não permite dividir em

duas categorias. O tilo geralmente é achatado e quadrilobado.

Tabela 6 – Comparação do tamanho dos tilóstilos e cor de diferentes espécies do gênero Terpios encontradas no Oceano Atlântico, Mar do Caribe e Mar Mediterrâneo.

Espécies	Locais	Tilóstilo		Tilo (cabeça)		Cor
		Comprimento	Largura	Comprimento	Largura	
T. fugax*1	Ilhas Virgens	315	3,7	5,3	3,3	Esverdeada
$T. fugax^2$	Caribe	150-460	2,5-5	4-6	5-8	Azul ou verde brilhante
T. fugax**	Martinica	105- <u>257,9</u> (57,1)-360	3-6 <u>,3</u> (2,1)-13	5- <u>6,5</u> (2)-12	5- <u>8,7</u> (2,2)-12	Azul brilhante
T. fugax**	Bahia	116,2- <u>246,0</u> (75,7)-409,3	2,7- <u>4,5</u> (0,7)-6	3,5- <u>5,7</u> (1,8)-13,2	3,6- <u>6,7</u> (1,5)-9,1	Azul brilhante
T. fugax**	Ceará	148,6- <u>268,7</u> (42,9)-327,4	3,0- <u>4,8</u> (0,8)-6,2	3,8-5,6(1,2)-8,7	4,8- <u>6,8</u> (0,8)-8,3	Azul brilhante
T. cf. fugax**	Mônaco	80- <u>257,9</u> (91,5)-440	2- <u>4,0</u> (0,9)-8	3- <u>5,1</u> (1,4)-13	3- <u>5,4</u> (1,0)-10	Azul escuro brilhante
$T. \text{ cf. } fugax^3$	Grécia	250-400	4-6			n.r.
T. fugax**	Rio de Janeiro	94,4- <u>189,0</u> (60,3)-320,5	1,7- <u>3,2</u> (1,4)-7,2		2,4- <u>5,4</u> (1,9)-9,7	Azul escuro brilhante
T. gelatinosus*4	Irlanda	Possivelmente duas categor	rias: grande variação	de tamanho		Esverdeada, mas perdeu a cor no álcool
T. cf. gelatinosus**	Mônaco	100- <u>239,8</u> (83,1)-392	2- <u>4,3</u> (1,1)-7	4- <u>5,2</u> (0,5)-6	4- <u>5,5</u> (1,0)-8	Azul, mas perdeu a cor no álcool
T. manglaris <sup>2</sup>	Belize	140-460	2,5-7	2,5-7	4,5-10	Azul cobalto
T. manglaris <sup>5</sup>	Santa Catarina	104,5- <u>276,3</u> -475,0	4,6- <u>6,4</u> -12,3	4,6- <u>7,</u> 0-11,5	5,8- <u>9,8</u> -12,9	Azul
T. manglaris**	Bahia	123,5- <u>203,2</u> (38,8)-288,5	1,7- <u>2,5</u> (0,9)-4,9		3,8- <u>6,0</u> (1,3)-9,2	Azul
$T. belindae^2$	Caribe	140-430	3-9	3-8	5-12,5	Vermelha a marrom
T. belindae**	Abrolhos	74,6-358,7	2,4-6,8		5,0-12,7	Laranja
T. belindae**	Rio de Janeiro	79,4- <u>241,2</u> (71,4)-367,7	1,2- <u>6,0</u> (1,8)-13,7		5,4-8,4(1,9)-13,7	Laranja

Legenda: \*Holótipo, \*\*presente estudo, referências: ¹Duchassaing e Michelotti, 1864; ²Rützler e Smith (1993); ³Voultsiadou-Koukoura e van Soest, 1993; ⁴Bowerbank, 1866; ⁵Lerner *et al.* (2005).A medida das 100 espículas está apresentada em μm como mínimo-<u>média</u>(desvio padrão)-máximo. n.r.= não registrado. Fonte: O autor, 2019.

Tabela 7 – Comparação das características do tilo de diferentes espécies do gênero *Terpios* encontradas no Oceano Atlântico, Mar do Caribe e Mar Mediterrâneo.

Espécies	Locais	Tilo (cabeça)
T. fugax*1	Ilhas Virgens	Variável achatado ou arredondado, irregular e com suaves protuberâncias lobulares (multilobular 4-10)
$T. fugax^2$	Caribe	Variável, frequentemente arredondado e irregular
$T. \text{ cf. } fugax^3$	Grécia	Achatado a cilíndrico e lobado
T. fugax**	Martinica	Variável, frequentemente arredondado, variando de lobado a multilobado
T. gelatinosus**	Mônaco	Cilíndrico como cabeça de cotonete e lobado, uni ou multilobado; algumas protuberâncias no pescoço
T. fugax**	Ceará	Achatado ou arredondado como cabeça de fósforo, com apenas um lobo ou multilobado
T. fugax**	Bahia	Arredondado como cabeça de fósforo, com apenas um lobo ou multilobado
T. fugax**	Rio de Janeiro	Variável, frequentemente arredondado, com apenas um lobo ou multilobado
cf. Terpios**	Mônaco	Globoso e com um lobo no ápice
T. manglaris*2	Belize	Achatado como cabeça de prego e tetra lobado
T. manglaris**	Bahia	Achatado como cabeça de prego e tetra lobado
T. manglaris**	Rio de Janeiro	Achatado como cabeça de prego e tetra lobado
$T.\ belindae*^2$	Caribe	Achatado, bi, tetra ou multilobado
T. belindae**	Bahia	Achatado, bi, tetra ou multilobado
T. belindae**	Rio de Janeiro	Achatado, bi, tetra ou multilobado

Legenda: \*Holótipo, \*\*presente estudo, referências: ¹Duchassaing e Michelotti, 1864; ²Rützler e Smith, 1993; ³Voultsiadou-Koukoura e van Soest, 1993. Fonte: O autor, 2019.

**Esqueleto.** O ectossoma é fino, com espassossubectossomais. O coanossoma é confuso, tendendo para plumoso nas proximidades do ectossoma.

Ecologia. Espécime fixado na raíz de uma árvore de mangue.

**Distribuição.** Atlântico Tropical e Subtropical Ocidental - Desde o Caribe (Panamá) até o Sul do Brasil (Santa Catarina).

Comentários. Apesar de ser azul e habitar ambientes rasos, o tilo quadrilobado da espécie é muito característico (RÜTZLER e SMITH, 1993) e com isso se difere de *T. fugax. Terpios manglaris* possui uma distribuição ampla, mas disjunta (Caribe e Brasil, Santa Catarina) (ver LERNER *et al.*, 2005). Neste estudo, registramos pela primeira vez a espécie para os estados da Bahia e do Rio de Janeiro.

# Família Halichondriidae Gray, 1867

### Gênero Amorphinopsis Carter, 1887

Espécie tipo. Amorphinopsis excavans Carter, 1887: 77 (descrição original).

Amorphinopsis atlantica Carvalho, Hajdu, Mothes & van Soest, 2004 (Figuras 20, 21 e 22 e Tabela 8)

**Material examinado.** MNRJ: 363, 12704, 20814, 21586, 21617, 21745, 21931, 21939, 21942, 21944. UFPEPOR: 1143, 1974.

**Descrição.** A esponja pode crescer de forma massiva ou incrustante. A superfície varia de lisa a irregular e é compressível. A consistência é macia e friável. Os ósculos são grandes e dispostos aleatoriamente no corpo da esponja. A cor é verde amarelada externamente e amarela no seu interior (Figura 20A e B).

**Espículas.** As óxeas e estilos são observados em combinação. As óxeas geralmente são maiores do que os estilos, mas também podem ser tão pequenas quanto os menores estilos (Figura 21B).

**Esqueleto.** O ectossoma é destacável e com notável presença de canais subdermais. O esqueleto ectossomal não possui de tratos ou reticulação definida. O esqueleto coanossomal é confuso, com forte tendência a reticulado, contendo tratos pauci e multiespiculares. A formação de um buquê próximo ao ectossoma pode ser observada (Figura 21A).

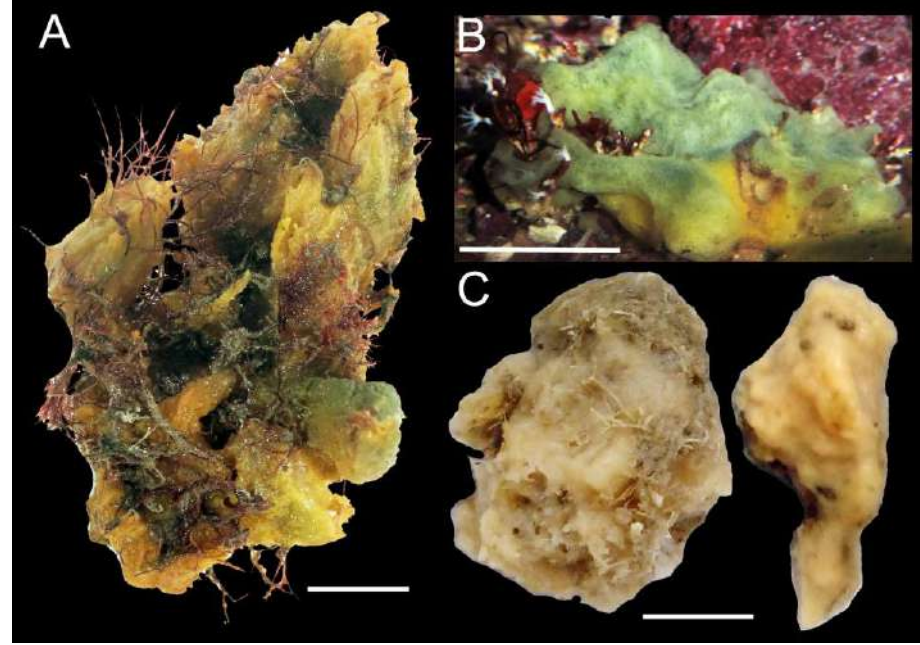


Figura 20 – Anatomia externa de Amorphinopsis spp. evidenciando a forma, cor e associação com epífitas.

Legenda: (A e B) *A. atlantica* e (C) *Amorphinopsis* sp. As escalas são de 1 cm. Fonte: O autor, 2019.

**Ecologia.** A esponja é encontrada em costão rochoso, tanto em paredes verticais quanto inclinadas. Sua presença não é muito comum. A alga *Jania* sp. se fixa no interior da esponja, sugerindo simbiose.

**Distribuição.** Endêmica do Brasil (Paraíba até São Paulo).

Comentários. A espécie é a única representante do gênero fora do Indopacífico (CARVALHO *et al.*, 2004). Santos *et al.* (2018) ampliaram a distribuição da espécie para a região Nordeste do Brasil, mais precisamente para os estados da Paraíba e Pernambuco. Os autores observaram a espécie na região intertidal, em poças de maré e em manguezais. É possível que haja espécimes de *Amorphinopsis atlantica* em outras localidades, como o estado da Bahia (comunicação pessoal com Dr. Eduardo Hajdu). Por isso, uma avaliação mais detalhada na coleção de Porifera do Museu Nacional é necessária.

Amorphinopsis sp.

(Figuras 20, 21 e 22 e Tabela 8)

Material examinado. MNRJ: 6777.

**Descrição.** O espécime observado estava dividido em dois pequenos fragmentos. A esponja é maciça. A superfície varia de lisa a crespa e é compressível. A consistência é macia. Nenhum

ósculo foi observado (Figura 20C). A cor é esverdeada *in vivo* e bege após a fixação (informações na etiqueta).

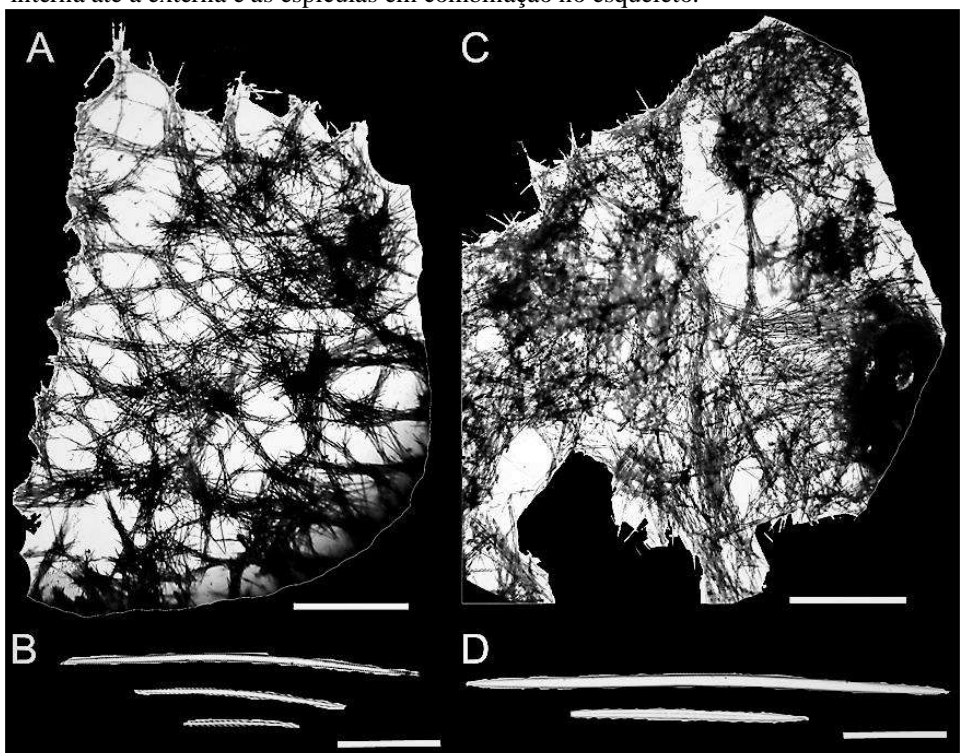
**Espículas.** As óxeas são divididas em duas categorias eos estilos em uma única categoria. As óxeas são fusiformes com pontas aceradas e podem ser menores do que os menores estilos. Os estilos são levemente curvos (Figura 21D).

**Esqueleto.** O ectossoma não possui especialização e é destacável. O esqueleto coanossomal é confuso, mas alguns tratos multiespiculares são observados (Figura 21C).

**Ecologia.** A esponja foi coletada em um naufrágio, entre 1-3 m de profundidade. A esponja cresce sobre cracas e apresenta algas como epibiontes.

Distribuição. Caribe (Trinidad e Tobago).

Figura 21 – Anatomia interna de *Amorphinopsis* spp. evidenciando a estrutura esquelética desde a porção mais interna até a externa e as espículas em combinação no esqueleto.



Legenda: (A e B) A. atlantica e (C e D) Amorphinopsis sp.. As escalas do esqueleto estão em 200  $\mu$ m e das espículas em 100  $\mu$ m.

Fonte: O autor, 2019.

Tabela 8 – Micrometria comparativa de diferentes espécies de *Amorphinopsis* e a variação nas medidas dentro de *A. atlantica*.

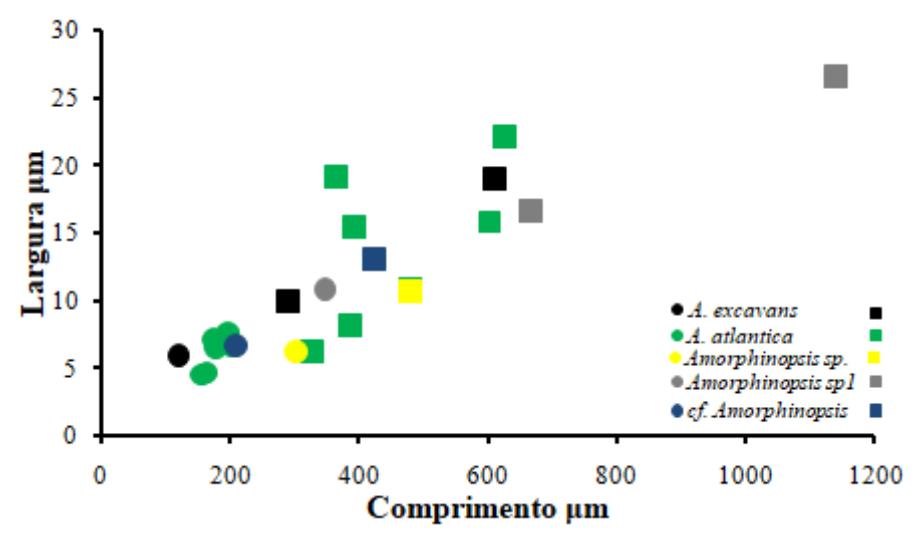
Voucher	Localidade	Estilos		Óxeas		
		Comprimento	Largura	Comprimento	Largura	
A. atlantica <sup>1</sup> *	São Paulo	143,0- <u>178,6</u> -221,0	5,0- <u>6,6</u> -8,0	155,0-3 <u>92,3</u> -825,0	8,0- <u>15,5</u> -23,0	
A. atlantica <sup>3</sup> **	São Paulo	156,0- <u>189,1</u> (16,3)-223,6	4,9- <u>7,2</u> (2,1)-16,1	314,0- <u>435,5</u> (68,1)-611,6	8,0- <u>13,4</u> (3,2)-20,9	
A. atlantica <sup>3</sup>	Rio de Janeiro	163,4- <u>196,9</u> (34,9)-274,3	3,0- <u>7,7</u> (2,8)-12,2	237,9- <u>601,9</u> (156,8)-825,6	6,2- <u>15,9</u> (5,7)-28,2	
A. atlantica <sup>2</sup>	Pernambuco	160- <u>204,0</u> -260	5- <u>6,7</u> -14	260- <u>480,0</u> -760	5- <u>11,0</u> -29	
A. atlantica <sup>2</sup>	Paraíba	142- <u>185,3</u> -228	4- <u>6,9</u> -10	450- <u>625,8</u> -787,0	12,0- <u>22,2</u> -28,0	
	Trinidad e Tobago,			I) 178,0- <u>664,4</u> (132,7)-837,5	I) 4,5- <u>16,6</u> (4,9)-26,6	
Amorphinopsis sp. 3	Caribe	205,8- <u>346,6</u> (59,7)-532,7	5,4- <u>10,9</u> (2,9)-21,9	II) 871,2- <u>1141,4</u> (191,1)-1595,7	II) 5,8- <u>26,7</u> (7,8)-43,6	
				I) 200-375	I) 8-12	
A. excavans 4*	Arquipélago Mergui, Oceano Índico	120	6	II) 520-700	II) 18-20	

Legenda: Valores: mínimo-<u>média</u>(desvio padrão)-máximo; em micrômetros; N= 30. Espécimes depositados no Museu Nacional (MNRJ), Universidade Federal de Pernambuco (UFPEPOR) e British Museum of Natural History (BMNH). Carvalho *et al.*, 2004; Santos *et al.*, 2018; presente estudo; Carter, 1887; holótipo (MNRJ 353 e BMNH 1981.10.14.3), presente estudo; MNRJ 363).

Fonte: O autor, 2019.

Comentários. Assim como a espécie tipo do gênero, *A. excavans*, *Amorphinopsis* sp. apresenta duas categorias de óxeas. Porém, as óxeas encontradas no espécime aqui descrito podem ser muito maiores do que a maior óxea registrada para o espécime tipo. Além disso, é improvável que *A. excavans* ocorra no Sul do Caribe, já que o registro da espécie é para o Oceano Índico. *Amorphinopsis* sp. se assemelha a *A. atlantica*, a única espécie do gênero fora do Índico, quanto a morfologia externa. Contudo, ambas se diferem pelo tamanho das óxeas e estilos e pelo tipo de esqueleto, muito mais reticulado em *A. atlantica* do que no morfotipo aqui descrito. Esta parece ser a segunda espécie do gênero *Amorphinopsis* para o continente americano, e a primeira para o Caribe.

Figura 22 – Relação entre as médias do comprimento (μm) e da largura (μm) das óxeas e dos estilos observados no gênero *Amorphinopsis*.



Legenda: Símbolo círculo indica a distribuição do tamanho dos estilos e os quadrados o tamanho das óxeas em diferentes espécies de *Amorphinopsis*. Cada cor se refere a uma espécie/morfotipo distinto. Fonte: O autor, 2019.

#### Gênero Halichondria Fleming, 1828

Espécie tipo. Spongia panicea Pallas, 1766: 388 (descrição original).

Halichondria (Halichondria) melanadocia de Laubenfels, 1936 (Figuras 23, 24, 25 e 26 e Tabela 9)

Material examinado.MNRJ: 1092, 1096, 1520, 1536, 2587, 21396, 21652, 21659, 21803

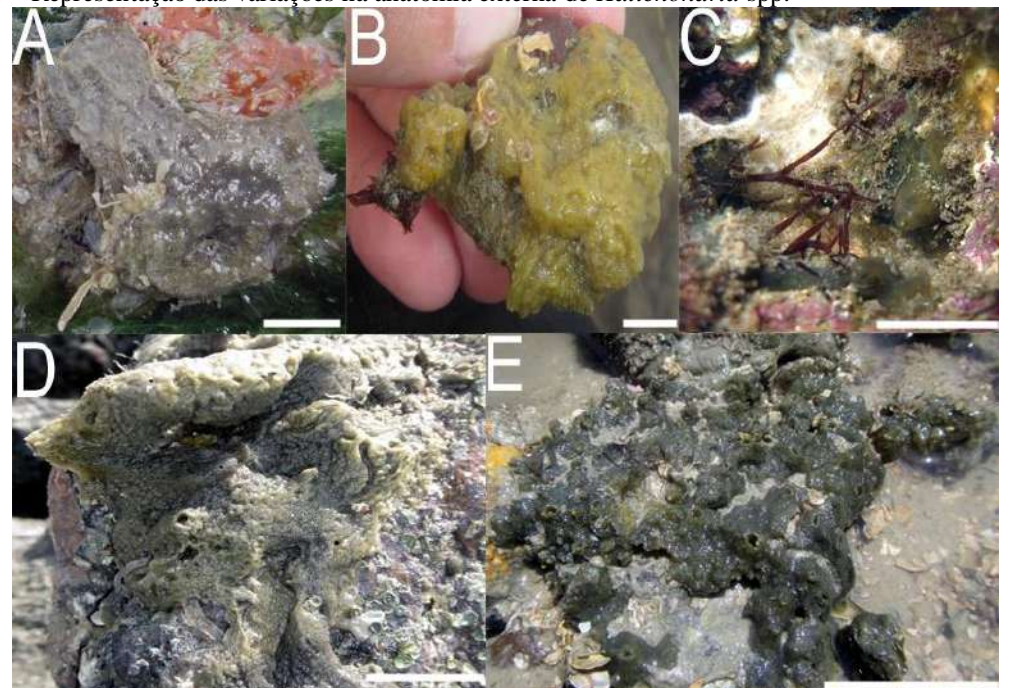
Descrição. A espécie apresenta crescimento incrustante ou maciço, com possível formação de ramos. Os ósculos são visíveis e com uma membrana perioscular circundante. A esponja é macia e compressível. A superficie é lisa, levemente conulosa e visualmente reticulada. A cor

é verde escura (musgo) quase preta externamente e verde amarelada internamente, mantendo a coloração escura no álcool (Figura 23E).

**Espículas.** Exclusivamente óxeas fusiformes, com grande variação (podendo formar duas categorias) de tamanho e pontas agudas ou arredondadas (Figura 24A).

**Esqueleto.** O esqueleto ectossomalé anisotrópico, destacável, com espículas paralelamente dispostas. O esqueleto coanossomal é desorganizado com espículas aleatoriamente dispostas, apesar de alguns tratos multiespiculares em direção ao ectossoma serem visíveis (Figura 25A).

Figura 23 - Representação das variações na anatomia externa de Halichondria spp.



Legenda: *Halichondria* sp. 1 (A), *Halichondria marianae* (B-D) e *Halichondria melanadocia* (E). Escalas são 1 cm (A-C), 2 cm (D-E).

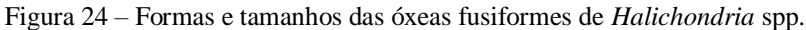
Fonte: O autor, 2019.

**Ecologia.** Os espécimes foram coletados em costões rochosos rasos e manguezais caribenhos (3-5 m), expostos parcialmente a luz. No Caribe, a espécie é fortemente relacionada com gramas marinhas (ARCHER *et al.*, 2015).

**Distribuição.** Atlântico Tropical Ocidental - Amplamente distribuída pelo Caribe e Nordeste do Brasil.

Comentários. Os espécimes aqui descritos se distinguem da descrição original, pois as óxeas foram divididas em duas categorias de tamanho, chegando a mais de 600 µm e nenhum odor foi sentido (Tabela 9). Contudo, a forma externa, a manutenção da coloração negra nos espécimes após a fixação e o esqueleto interno são idênticos à descrição de Díaz *et al.* (1993). Esta espécie também se difere dos congêneres, inclusive da recém descrita *Halichondria* 

marianae Santos, Nascimento & Pinheiro, 2018, principalmente, pela cor negra após a fixação. Aqui o espécime é revalidado para o Nordeste do Brasil, se distribuindo por toda a sua extensão costeira, desde o estado da Bahia até o do Maranhão. Apesar de haverem caracteres robustos para a identificação específica de *H. melanadocia*, reconstruções filogenéticas com os marcadores nucleares 18S e 28S têm indicado frequentemente que esta espécie se posiciona em um clado diferente do que contém a espécie tipo do gênero, *Halichondria panicea* (REDMOND *et al.*, 2013; THACKER *et al.*, 2013; GASTALDI *et al.*, 2018).





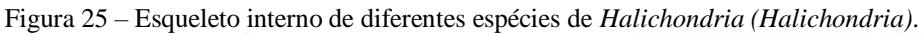
Legenda: *Halichondriamelanadocia*(A), (B) *Halichondria* sp. 1 e *Halichondriamarianae*(C). Todas as escalas são de 100 µm.

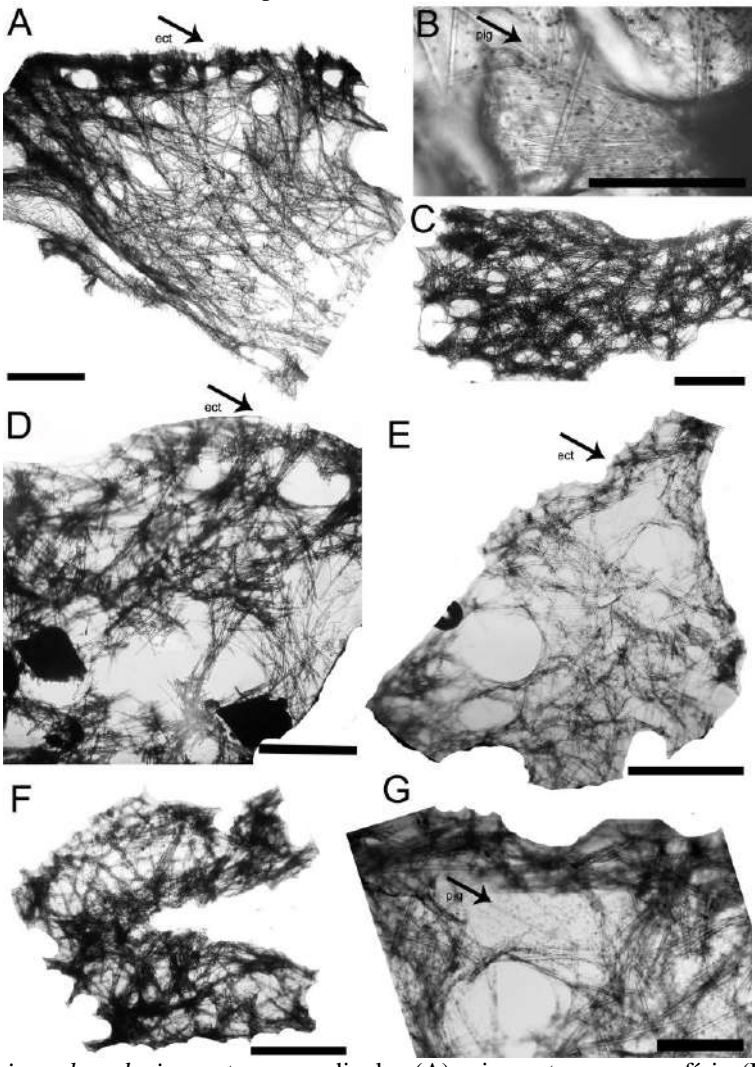
Fonte: O autor, 2019.

Halichondria (Halichondria) marianae Santos, Nascimento & Pinheiro, 2018 (Figuras 23, 24, 25 e 26 e Tabela 9)

**Material examinado.**MNRJ: 2079, 4716, 9422, 21342, 21345, 21363, 21400, 21439, 21706 **Descrição.** A esponja tem crescimento incrustanteespesso com a formação de lobos, onde os ósculos se localizam. A superfície é rugosa, ásperae destacável. A textura da esponja é firme, macia e compressível. Os ósculos variam de 1,1 - 2,7 mm em diâmetro. A cor da esponja vai de amarelo amarronzado a verde escuro *in vivo* e tende a marrom acinzentada após a fixação (Figura 23B, C e D).

**Espículas.** As óxeas são fusiformes com pontas aceradas e são observadas em duas categorias de tamanho (Figura 24C).





Legenda: *Halichondria melanadocia*: corte perpendicular (A), pigmentos na superfície (B) e corte tangencial (C), *Halichondria marianae*: corte perpendicular (D), *Halichondria* sp. 1: corte perpendicular (E), pigmentos na superfície (F) e corte tangencial (G). As siglas ect= ectossoma e pig= pigmentos. As escalas são de 200 μm.

Fonte: O autor, 2019.

Tabela 9 - Comparação entre as espécies do gênero Halichondria distribuídas entre o Caribe e a América do Sul.

Espécies	Localidade	Óxeas I		Óxeas II		Óxea	s III
_		Comprimento I	Largura (	Comprimento	Largura Co	mprimento	Largura
H. panicea <sup>1</sup>	Europa	124-482	2-15				
H. magniconulosa <sup>2</sup>	Caribe	108-369	3-7				
H. modesta <sup>2</sup>	Jamaica	120-600	4,5-12				
H. lutea <sup>2</sup>	Cuba	350-1200	3-15				
$H$ . $marianae^3$	Paraíba	90- <u>340,4-</u> 800	5- <u>11</u> -20				
H. cebimarensis <sup>4</sup>	São Paulo	330- <u>461,2</u> -620	5- <u>9,1</u> -14				
H. migottea <sup>4</sup>	São Paulo	102- <u>112,8</u> -121	3- <u>4,9</u> -6	194- <u>214,5</u> -233	2- <u>2,8</u> -4	262- <u>329,8</u> -42	17 8- <u>7,1</u> -10
H. sulfurea <sup>4</sup>	São Paulo	107- <u>276,9</u> -446	8- <u>8,7</u> -12				
H. tenebrica <sup>4</sup>	São Paulo	116- <u>368,0</u> -650	5- <u>10,2</u> -17				
H. elenae <sup>5</sup>	Argentina	185-458	5,1-19				
H. melanadocia <sup>2</sup>	Caribe	100-450	2-10				
H. melanadocia*	Caribe	105,2- <u>169,6</u> (2,4)-270,9	2,4- <u>4,8</u> (1,5)-12,6	220,5- <u>428,5</u> (47,6)-505,1	1,8- <u>7,0</u> (2,4)-13,8		
	Nordeste,	122,2- <u>215,7</u> (44,9)-296,4	1,5- <u>5,0</u> (1,9)-13,4	308,4- <u>447,7</u> (63,2)-654,3	1,8- <u>7,6</u> (2,4)-19,5		
	Brasil						
H. marianae*	Panamá,	145,2- <u>281,1</u> (98,3)-477,1	3,4- <u>7,2</u> (3,1)-15,2	525,3- <u>681,1</u> (87,8)-834,4	6,0- <u>16,4</u> (4,5)-26,3		
	Caribe						
	Nordeste,	130,2- <u>285,2</u> (74,7)-489,1	1,7- <u>7,3</u> (3,0)-17,5	302,7- <u>624,9</u> (93,0)-856,8	2,7- <u>13,9</u> (4,1)-150,7		
	Brasil						
Halichondria sp. 1*	Maranhão	244,5- <u>411,3</u> (188,9)-925,7	4,8- <u>12,4</u> (5,1)-26,8	1114,2- <u>1286,6</u> (144,7)-1560,1	21,7- <u>32,3</u> (7,2)-45,9		
Halichondria sp. 2*	Rio de	85,7- <u>313,2</u> (136,7)-506,7	2,4- <u>7,8</u> (3,1)-16,3	513,2- <u>605,3</u> (76,6)-766,8	6,5- <u>14,9</u> (5,0)-26,6		
	Janeiro						
Halichondria sp. 3*	Caribe e	448,5- <u>618,7</u> (131,0)-824,6	9,6- <u>21,8</u> (8,8)-33,0	1097,4- <u>1302,2</u> (184,0)-1758,2	16,2- <u>38,5</u> (15,3)-		
	Sudeste				65,7		
Halichondria sp. 4*	Sudeste	101,6- <u>149,2</u> (30,1)-246,2	3,1- <u>5,9</u> (1,3)-9,4	259,0- <u>323,6</u> (35,7)-412,5	3,5- <u>8,9</u> (2,1)-13,9		
Halichondria sp. no	v.* Sudeste,	80,8- <u>135,8</u> (31,7)-187,3	1,3- <u>4,5</u> (2,3)-10,2				
	Brasil						

Legenda: \*presente estudo. As medidas estão em micrômetros (n= 50). ¹Erpenbeck e van Soest, 2002; ²Díaz et al., 1993; ³Santos et al., 2018; ⁴Carvalho e Hajdu, 2001; ⁵Gastaldi et al., 2018; \*presente estudo.

Fonte: O autor, 2019.

80

Esqueleto. O esqueleto é tipicamente halicondróide. O esqueleto ectossomal é tangencial e

destacável e o esqueleto coanossomal possui óxeas em confusão na porção central com alguns

tratos ascendentes nas regiões periféricas (Figura 25C).

**Ecologia.** Os espécimes foram coletados em poças de maré e mangue.

Distribuição. Atlântico Tropical Ocidental - Panamá (Caribe) e Nordeste (MA, até PE) e

Sudeste (RJ) do Brasil.

Comentários. Os espécimes aqui analisados mostraram diferenças sutis quanto a descrição de

Santos et al. (2018), tais como cor, forma e a divisão de duas categorias de óxeas, em vez de

uma apenas. Porém, de forma geral, a espécie se diferencia de seus congêneres do Atlântico

Tropical Ocidental e tem a sua distribuição ampliada para o Caribe e também para os estados

do Maranhão, Ceará, Alagoas e Rio de Janeiro. As características morfológicas da espécie são

muito parecidas com as de H. melanadocia e, por isso, a classificação desta espécie deve ser

realizada com base em ferramentas adicionais, tais como citologia, reprodução, genética e

química.

Halichondria sp. 1

(Figuras 23, 24, 25 e 26 e Tabela 9)

Material examinado. MNRJ: 21339

**Descrição.** O espécime tem crescimento incrustante espesso, com 4,0 x 2,0 cm de tamanho. A

superfície é irregular e majoritariamente rugosa, em algumas partes também é reticulada. A

consistência é macia e compressível. Apenas um ósculo foi observado (0,2 mm), no mesmo

nível da superfície da esponja. A cor *in vivo* e após a fixação é acinzentada (Figura 23A).

Espículas. Exclusivamente óxeas levemente curvas, divididas em duas categorias de tamanho

(Figura 24B), ambas com grande variação (Figura 26).

Esqueleto. O ectossoma é destacável (não facilmente) e possui reticulação regular, com

espículas entrecruzadas em um arranjo (para)tangencial. O coanossoma é tipicamente

halichondróide, com espículas agrupadas, mas a maior parte dispersa e sem organização.

Pouca espongina está presente na esponja (Figura 25B).

Ecologia. O espécime foi coletado em uma poça de maré, parcialmente fora d'água.

**Distribuição.** Brasil (Maranhão).

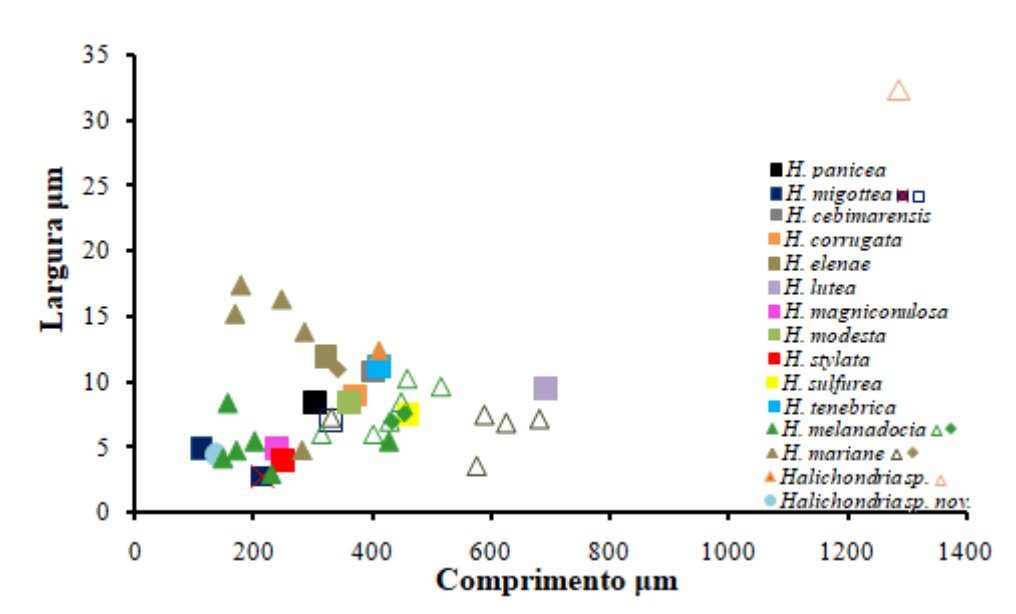


Figura 26 – Relação entre as médias do comprimento (μm) e da largura (μm) das óxeas observados no gênero *Halichondria*.

Legenda: Símbolo quadrado de cor diferente indica espécies usadas como comparação. Destas, apenas *Halichondria migottea* possui mais de uma categoria de óxeas, sendo quadrado fechado para a categoria menor, quadrado com X vermelho para a média e quadrado aberto para a maior. Os espécimes aqui descritos são indicados pelo símbolo triângulo fechado quando as óxeas são de categoria menor e aberto de categoria maior. Espécimes sem divisão de categorias são representados por losango fechado. A espécie nova é representada por círculo fechado.

Fonte: O autor, 2019.

Comentários. Halichondria sp. 1 se difere dos seus congêneres distribuídos no Oceano Atântico Tropical pela presença de óxeas maiores do que 1200 µm. Halichondria marianae é a espécie mais parecida com o espécime aqui descrito, preferencialmente quanto a forma do esqueleto (sub)ectossomal. As outras quatro espécies do gênero registradas para o Brasil são exclusivas da região Sudeste e diferem de Halichondria sp. 1 em diversos caracteres anatômicos internos e externos: Halichondria cebimarensis é azul e maciça com espículas menores do que 800 µm em uma categoria, H. migottea possui espículas menores do que 200 μm e divididas em três categorias de tamanho, H. sulfurea é amarela in vivo com óxeas de tamanho equivalente a menos da metade do daquelas observadas em Halichondria sp. 1 e, por fim, H. tenebrica se difere das demais por ter hábito incrustante e cor arroxeada (ver descrições em CARVALHO e HAJDU, 2001). Diante de todas as características expostas, Halichondria sp. 1 muito provavelmente é uma nova espécie, com a morfologia externa muito semelhante à de H. marianae (SANTOS et al., 2018). O maior problema com relação a este morfotipo é que apenas um espécime mostrou uma variação espicular acima do normal, chegando a mais de 1500 µm. A partir da obtenção dos dados moleculares, uma definição poderá ser tomada para este morfotipo.

82

Halichondria sp. 2

(Figura 27 e Tabela 9)

Material examinado. MNRJ: 21600, 21603, 20616 e 21754

Descrição. Morfotipo com superfície irregular, ósculos pouco visíveis e consistência macia.

Coloração marromapós a fixação (Figura 27A).

Espículas. Óxeas fusiformes e ligeiramente curvas com pontas aceradas em duas categorias

de tamanho (Figura 27B).

Esqueleto. O esquieto esquieto

coanossomal é tipicamente halichondróide.

Ecologia. Intertidal. Sob ou sobre rochas em costões rochosos e sobre raízes de árvores de

mangue. Preferencialmente em ambientes com pouca exposição à luz.

**Distribuição.** Rio de Janeiro, Brasil.

Comentários. Halichondria sp. 2 possui características externas similares a vários

congêneres, porém é exclusiva do Rio de Janeiro e nenhuma outra espécie exclusiva do

Sudeste do Brasil possui coloração marrom após a fixação. Além disso, as médias das duas

categorias de óxeas não convergem com as de nenhuma outra espécies. Estudos genéticos são

necessários para melhor entender o posicionamento deste morfotipo.

Halichondria sp. 3

(Figuras 27 e Tabela 9)

**Material examinado.** MNRJ: 15744, 21678 e 21799

Descrição. Morfotipo com superfície irregular e áspera. O crescimento é incrustante espesso e

os ósculos são visíveis, quase vulcaniformes. A consistência é dura e frágil, quebradiça. A

coloração é amarela ou branca in vivo e esbranquiçada ou bege após a fixação (Figura 27C).

Espículas. Óxeas fusiformes e levemente curvas. As espículas estão em duas categorias de

tamanho, sendo a maior, muito maior do que a menor categoria (Figura 27D).

Esqueleto. A pinacoderme é destacável (não facilmente) e o esqueleto ectossomal é

reticulado. O esqueleto halichondróide está presente.

**Ecologia.** Ambientes ciáfilos (cavernas e fendas).

Distribuição. Caribe e Rio de Janeiro, Brasil

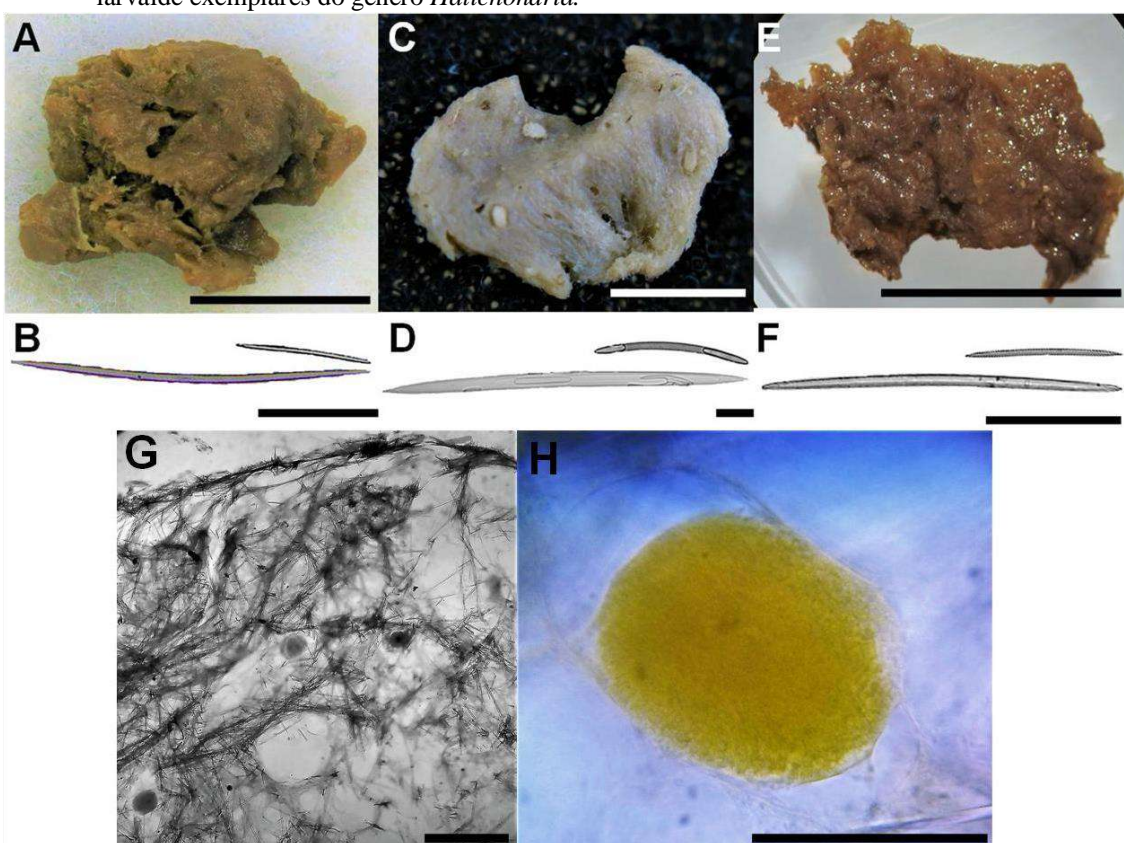


Figura 27 – Anatomia externa, conjunto espicular (óxeas), organização esquelética e posicionamento e forma larvalde exemplares do gênero *Halichondria*.

Lagenda: A) Anatomia externa e B) óxeas de *Halichondria* sp. 2; C) Anatomia externa e D) óxeas de *Halichondria* sp. 3; E) Anatomia externa e F) óxeas de *Halichondria* sp. 4; G) estrutura esquelética e H) larva de MNRJ 21602, representante de *Halichondria* sp. 4. As escalas de A,C e E são 1 cm, B, D, F e H 100 μm e G 300 μm.

Fonte: O autor, 2019.

Comentários. *Halichondria* sp. 3 possui uma combinação única de duas categorias de espículas com grande amplitude de tamanho, coloração esbranquiçada e esqueleto ectossomal destacável e reticulado. O morfotipo se assemelha ao congênere de Cuba, *H. lútea* Alcolado, 1984, porém o último possui óxeas com menores dimensões. Análises genéticas também são necessárias para definiar a classificação deste morfotipo, principalmente comparando os espécimes do Caribe e do Rio de Janeiro, haja visto a grande distância entre as localidades.

Halichondria sp. 4 (Figuras 27 e Tabela 9)

Material examinado. MNRJ: 62, 21602

84

Descrição. O espécime tem crescimento maciço com possível formação de lobos. A

superfície é irregular e rugosa. A consistência é macia. O ósculo é proeminente,

ocasionalmente no topo dos lobos. A cor após a fixação é marrom avermelhada (Figura 27E).

Espículas. Óxeas fusiformes com pontas aceradas em duas categorias de tamanho (Figura

27F).

Esqueleto. O esqueleto ectossomal é pouco destacável e tangencial. Há espaço entre a

pinacoderme e o interior da esponja. O esqueleto coanossomal é halichondróide sem a

protrusão de espículas, com poucos feixes pauciespiculares a multiespiculares (45-50 μm). Há

câmaras (285-510 µm) na base do esqueleto (Figura 27G).

Ecologia. Costões rochosos. As larvas ovais (Figura 27H) de cor laranja (162,1 x 189,1 μm)

envolvidos por uma membrana transparente indicam que o indivíduo MNRJ 21602 é uma

esponja do sexo feminino com embriões e ovos na porção subectossomal. O posicionamento

não linear sugere desenvolvimento assincrônico de uma espécie que apresenta reprodução

sexuada e desenvolvimento vivíparo. Os ovos são vistos com um núcleo, enquanto os

embriões possuem um folículo na fase de blástula e não são observados de forma agregada.

Distribuição. Sudeste do Brasil.

Comentários. O tamanho das óxeas de *Halichondria* sp. 4 divididas em duas categorias

aproximam este morfotipo de H. melanadocia. Apesar de não ter informação da cor dos

espécimes in vivo, a coloração após a fixação e a consistência dos indivíduos diferem

daquelas encontradas no congênere. Assim, o morfotipo foi mantido e necessita de análises

moleculares para uma classificação mais correta.

Halichondria sp. nov.

(Figuras 28 e Tabela 9)

Material examinado. MNRJ: 21596

**Descrição.** A esponja tem crescimento incrustante fino. A superficie é irregular e reticulada e

os ósculos não foram observados. A cor é azul petróleo in vivo e bege após a fixação (Figura

28A e B).

**Espículas.** As óxeas estão em confusão junto com diversas espículas exógenas (Figura 28D).

Esqueleto. A densidade espicular é muito baixa. O ectossoma é tangencial, sem protrusão

espicular e o coanossoma é praticamente inexistente, a não ser pela presença de alguns tratos

pauciespiculares. O interior da esponja é repleto de material exógeno, incluindo espículas

diversas, aleatoriamente distribuídas no coanossoma (Figura 28C).

**Ecologia.** O espécime foi encontrado sob pequenas rochas e cobrindo um pedaço de concha há ~1 m de profundidade.

Distribuição. Brasil (Rio de Janeiro).

Comentários. A presença de espículas exógenas no esqueleto distingue o morfotipo aqui descrito das demais espécies de *Halichondria*. A espécie que este morfotipo mais se assemelha é com *H. cebimarensis*, somente pela cor. No restante, a última se difere por possuir crescimento maciço e espículas a partir de 330 µm, enquanto as óxeas da nova espécie não ultrapassam 200 µm (Tabela 9). Nenhuma outra espécie de *Halichondria* registrada no Brasil possui óxeas exclusivamente pequenas e esqueleto paucispicular como *Halichondria* sp. nov.

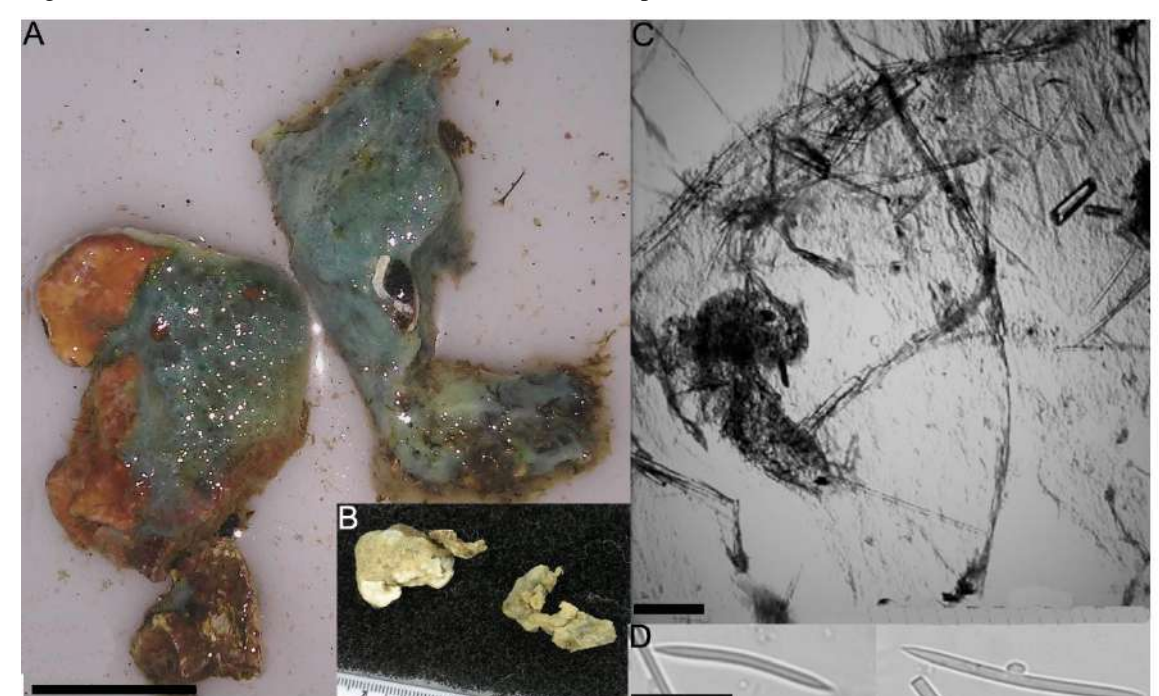


Figura 28 – Anatomia externa e interna de Halichondria sp. nov.

Legenda: (A) crescendo sobre um substrato calcáreo antes e (B) após a fixação, (C) imagem do esqueleto da esponja em corte perpendicular, evidenciando um fina camada ectossomal e um coanossoma pobre em espículas, exemplificação das (D) óxeas observadas na espécie. A escalas são (A) 1 cm, (C) 200 μm e (D) 100 μm.

Fonte: O autor, 2019.

## Gênero Hymeniacidon Bowerbank, 1858

Hymeniacidon heliophila (Wilson, 1911) (Figura 29 e 30 e Tabela 10)

**Material examinado.** MNRJ: 5094, 21598, 21770 até 21789 e 21800.

**Descrição.** A esponja tem hábito incrustante ou maciço com a formação de fístulas cônicas espaçadas. Os ósculos são envoltos por uma membrana, na extremidade fistular. A superfície é rugosa e híspida. A consistência é macia, compressível. A cor da esponja é laranja (Figura 29A).

**Espículas.** Estilos finos e levemente curvos, podendo apresentar variação para subtilóstilos (Figura 29C). A variação de tamanho das espículas do tipo (sub)estilo é pequena e são geralmente menores do que 500 μm (Figura 30).

**Esqueleto.** O esqueleto ectossomal é composto por espículas dispersas. O esqueleto coanossomal é confuso sem grande especialização. Porém, pode haver formação de feixes espiculares ascendentes, agrupados por espongina, promovendo uma estrutura quase reticulada próxima à superfície (Figura 29B).

**Ecologia.** A esponja é frequentemente observada com a base repleta de grãos de areia, ocorrendo desde a zona entre-marés até 15 m de profundidade (MURICY e HAJDU, 2006). A população de uma localidade de Niterói, no estado do Rio de Janeiro, possui atividade química contra competidores bentônicos e peixes de águas rasas (RIBEIRO *et al.*, 2010, 2012).

**Distribuição.** Atlântico Tropical e Subtropical Ocidental - Desde os Estados Unidos até o Sudeste do Brasil.

Comentários. Externamente, a esponja é facilmente reconhecida pela sua coloração laranja, presença de fístulas rugosas e hábito de crescimento incrustante espesso ou maciço no intertidal. Internamente, a variação no tamanho dos estilos e no tipo de esqueleto é quase inexistente, com exceção da possível modificação de estilos para subtilóstilos em espécimes caribenhos (DÍAZ et al., 1993; VAN SOEST, 2017). Recentemente, GASTALDI et al. (2018) evidenciaram que H. heliophila pode ser muito parecida com a espécie tipo, H. perlevis, a partir de dados moleculares. Muitos trabalhos no Brasil se referem a esta espécie como affinis (exemplo em LÔBO-HAJDU et al., 2004), tendo em vista que a espécie não parece ser monofilética e pode demonstrar diferenciação no tipo de espícula, dependendo da região biogeográfica em que a população se insere. Portanto, estudos populacionais em todo o gradiente de distribuição da espécie ainda são necessários para inferir a real identidade de H. heliophila.

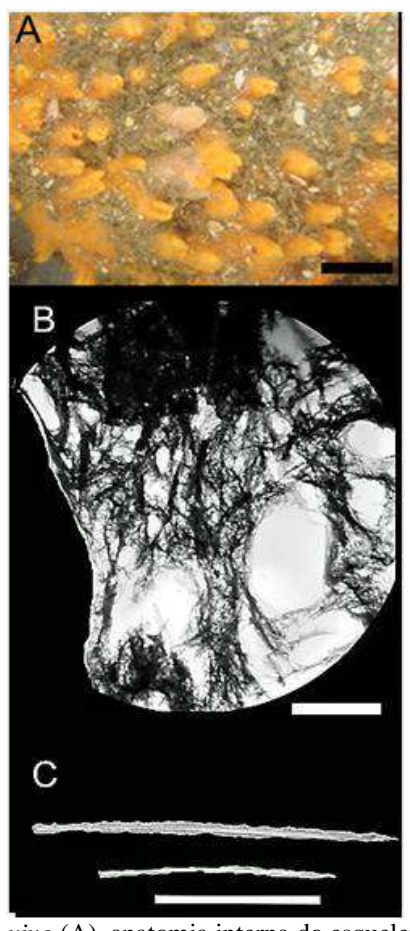


Figura 29 - Caracteres anatômicos externos e internos de Hymeniacidon heliophila.

Legenda: Espécime no infralitoral, *in vivo* (A), anatomia interna do esqueleto (B) e os estilos (C). As escalas são de 1 cm (A), 200 μm (B) e 100μm (C). Fonte: O autor, 2019.

(Figura 30 e 31 e Tabela 10)

Hymeniacidon caerulea Pulitzer-Finali, 1986

Material examinado. MNRJ: 18768, 21672, 21681, 21801, 21804, 21817.

**Descrição.** A esponja varia de incrustante a maciça, sem a presença de fístulas. A superfície é lisa e a consistência é macia, compressível. A cor é azul *in vivo* e após a fixação é tende a azul-esverdeada (Figura 31A e C).

**Espículas.** Estilos finos e levemente curvos (Figura 31D).

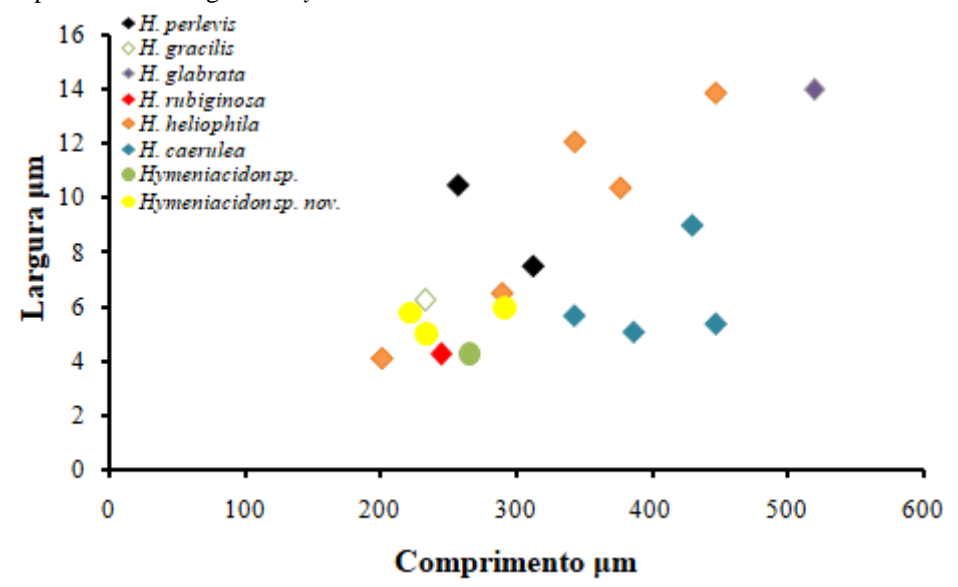
**Esqueleto.** O esqueleto ectossomal é destacável, porém tanto o esqueleto ectossomal quanto coanossomal é confuso e sem tratos definidos. A espécie possui espaços subectossomais (Figura 31B).

**Ecologia.** A esponja é frequentemente observada sobre corais e algas calcáreas e, na Martinica, em costões rochosos verticais.

**Distribuição.** Golfo do México, Caribe e Norte do Brasil (Foz do Amazonas).

Comentários. A esponja se diferencia das demais espécies do gênero pela cor azul e manutenção desta após a fixação. Apesar da média ser abaixo de 500 µm, como é comum para o gênero, muitas espículas são longas, excedendo o tamanho máximo representado na diagnose do gênero. *Hymeniacidon caerulea* e *H. glabrata* são as únicas espécies do gênero a possuir estilos frequentemente maiores do que o descrito na diagnose. Além disso, os espécimes aqui avaliados não contém fístulas, característico de *Hymeniacidon*. Portanto, *H. caerulea* deve ser alocada em um novo gênero.

Figura 30 – Relação entre as médias do comprimento (μm) e da largura (μm) dos estilos observados em alguns representantes do gênero *Hymeniacidon* distribuídos no Oceano Atlântico.



Legenda: Losango representa espécies conhecidas na literatura e círculo novas espécies/morfotipo. Cada cor representa uma espécie/morfotipo diferente.

Fonte: O autor, 2019.

*Hymeniacidon* sp. nov. (Figura 30 e 32 e Tabela 10)

Material examinado. MNRJ: 21346, 21360, 21390.

**Descrição.** A esponja tem uma base maciça e fístulas cônicas cobrindo toda a porção apical do corpo, sem a presença de ósculos visíveis. A superfície é rugosa e enrugada. A consistência é macia e friável. A cor é amarela pálida (Figura 32A).

**Espículas.** Estilos finos e levemente curvos (Figura 32C).

**Esqueleto.** O esqueleto ectossomal não é facilmente destacável nem definido, mas tende a formar uma crosta paratangencial, com cavidades subectossomais. O coanossoma é confuso, mas tratos multiespiculares estão presentes, assim como uma condensação de tratos axiais longitudinais, em especial nas fístulas (Figura 32B).

Tabela 10 – Comparação dos tipos e tamanhos das espículas e cores de *Hymeniacidon* spp. e *Rhaphidostyla* spp.

Espécies	Localidade	Estilos		Óxeas		Cor
		Comprimento	Largura	Comprimento	Largura	
H. perlevis <sup>1</sup>	Argentina	110-404	5-16			Amarela
H. glabrata <sup>2</sup>	Caribe	240-800	4-24			Amarela pálida
H. heliophila³	EUA e Caribe	130-450	3-10			Laranja ou amárela
H. heliophila <sup>6</sup>	Flórida	110,1- <u>224,8</u> (59,4)-303,1	1,7- <u>3,7</u> (1,3)-6,6			Laranja ou amárela
H. heliophila <sup>6</sup>	Rio de Janeiro	106,9- <u>414,2</u> (62,5)-566,6	1,2-11,5(1,9)-11,5			Laranja
H. caerulea <sup>4</sup>	Caribe	232- <u>429,6</u> (122,6)-613	4,8- <u>9,0</u> (3,8)-16,6			Azul
H. caerulea <sup>6</sup>	Foz do Amazonas	191,4- <u>386,2</u> (102,1)-563,9	3,0- <u>5,1</u> (1,7)-8,5			Azul
H. caerulea <sup>6</sup>	Martinica	124,1- <u>376,5</u> (87,5)-620,5	2,7- <u>5,0</u> (3,0)14,5			Azul
H. caerulea <sup>6</sup>	Golfo do México	329,1- <u>342,4</u> (68,0)-453,0	4,3- <u>5,7</u> (1,7)-7,8			Azul
Hymeniacidon sp. <sup>6</sup>	Rio de Janeiro	150,4- <u>197,0</u> (19,0)-284,5	1,9- <u>4,1</u> (1,2)-6,5			Amarela
Hymeniacidon sp. nov.6	Maranhão	128,5- <u>248,7</u> (91,0)-495,9	1,9- <u>5,6</u> (1,8)-10,9			Amarela pálida
H. gracilis <sup>5</sup>	Oceano Pacífico	200,0- <u>233,3</u> (18,3)-260,0	3,7- <u>6,3</u> (1,7)-8,7			Branca
Rhaphidostyla kitchingi <sup>6</sup>	Irlanda			133,0-216,5(23,2)-269,0	2,0- <u>2,0</u> (0,6)-5,0	Bege esbranquiçada
						a acinzenada
Rhaphidostyla sp. nov.6	Bahia	190,8- <u>219,0</u> (10,6)-238,6	4,1- <u>5,5</u> (0,8)-6,9	102,8- <u>169,3</u> (29,5)-262,3	3,2- <u>6,8</u> (1,8)-9,3	Branca
Rhaphidostyla sp. nov.6	Rio de Janeiro	168,4- <u>209,3</u> (15,2)-235,6	2,9- <u>4,7</u> (0,8)-6,0	100,5- <u>159,9</u> (29,9)-222,2	4,3- <u>6,7</u> (1,5)-10,1	Branca

Legenda: Valores: mínimo-média(desvio padrão)-máximo; em micrômetros; N= 50. Espécimes depositados no Museu Nacional (MNRJ). <sup>1</sup>Gastaldi *et al.*, 2018; <sup>2</sup>Burton, 1954; <sup>3</sup>Díaz *et al.*, 1993; <sup>4</sup>Valderrama e Zea, 2013; <sup>5</sup>Núñez-Pons *et al.*, 2017, <sup>6</sup>presente estudo.

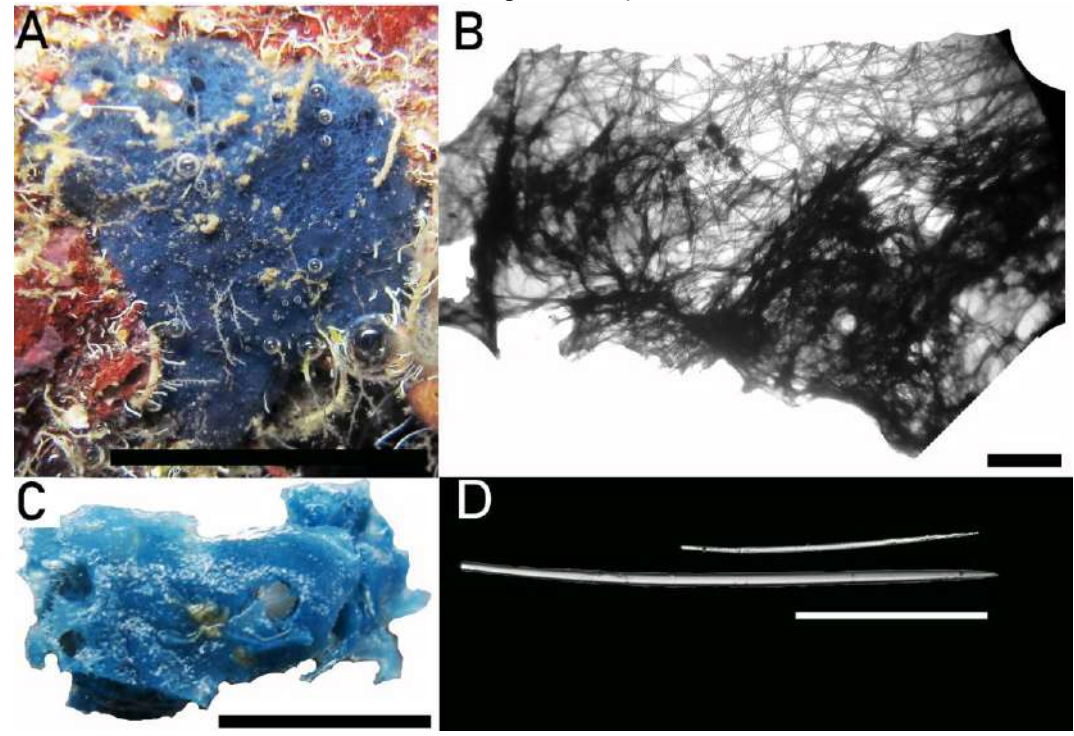


Figura 31 – Anatomia externa e interna de dois exemplares de Hymeniacidon caerulea do Caribe.

Legenda: (A) *in vivo*, (C) após a fixação, (B) a anatomia interna com o esqueleto halichondróide e (D) os estilos finos. As escalas das esponjas *in situ* e *ex situ* estão em 1 cm, o esqueleto em 200 μm e os estilos em 100 μm.

Fonte: O autor, 2019.

**Ecologia.** A esponja é observada em poças de maré, com a base frequentemente coberta por areia.

## Distribuição. Maranhão, Brasil.

Comentários. Este é o único representante do gênero encontrado no Nordeste do Brasil até o momento. A espécie possui uma anatomia interna e externa comum ao do gênero. No Brasil, *Hymeniacidon* sp. nov. é parecida em muitas características com *H. heliophila*, exclusiva da região Sudeste e *H. perlevis* (registro duvidoso). Porém, a esponja se diferencia dos congêneres pela presença de fístulas uniformemente arranjadas em todo o corpo sem ósculos no ápice. Esta nova espécie também se difere de outras duas espécies registradas para o Caribe, *H. caerulea* e *H. glabrata*, pois ambas possuem espículas maiores do que 500 µm e possuem um tipo de crescimento sem a formação de fístulas cônicas e uniformes.

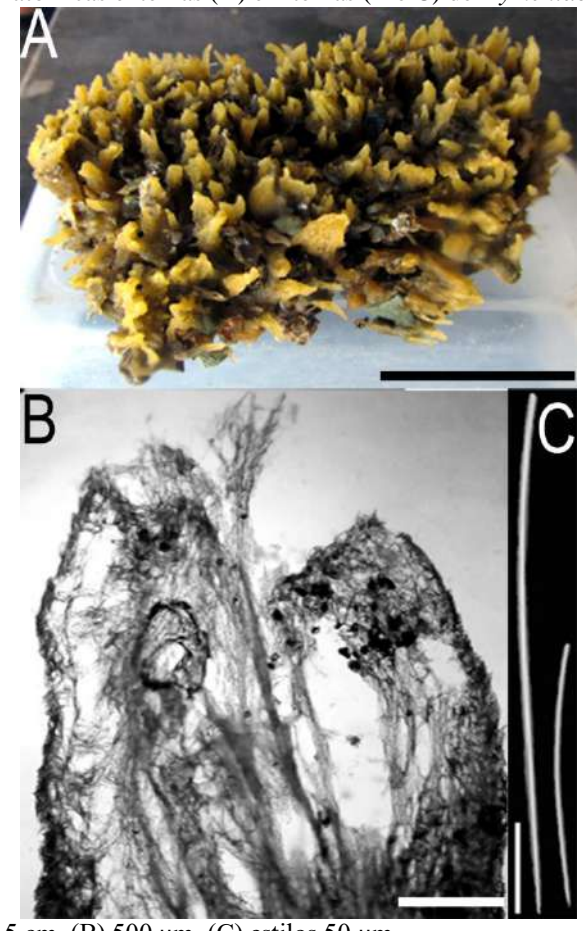


Figura 32 – Características anatômicas externas (A) e internas (B e C) de Hymeniacidon sp. nov.

Legenda: As escalas são (A) 5 cm, (B) 500 μm, (C) estilos 50 μm. Fonte: O autor, 2019.

*Rhaphidostyla* sp. nov. (Figuras 33 e Tabela 10)

**Material examinado.** UERJPOR: 65, 190, 198, 215, 218, 343, 351, 393, MNRJ: 2575, 19469.

**Descrição.** A espécie apresenta crescimento variando de incrustante a maciça com fístulas bifurcadas, medindo mais de 5 x 3 cm na base e 3 x 2 cm nas fístulas. Os ósculos são protegidos por uma membrana perioscular e estão distribuídos de forma irregular no corpo, muitas vezes posicionados no ápice de fístulas. A superfície é macia e irregular, com canais subdermais conspícuos. A consistência é macia e elástica. A esponja parece esfarelar facilmente, principalmente após a fixação. Os estilos são maiores do que as óxeas, mas estas são geralmente mais largas. A coloração é branca (Figura 33A, B, C e D).

**Espículas.** Estilos e óxeas sem especificidade quanto ao posicionamento no interior da esponja. Os estilos são retos ou levemente curvos, podendo variar para subtilóstilos ou

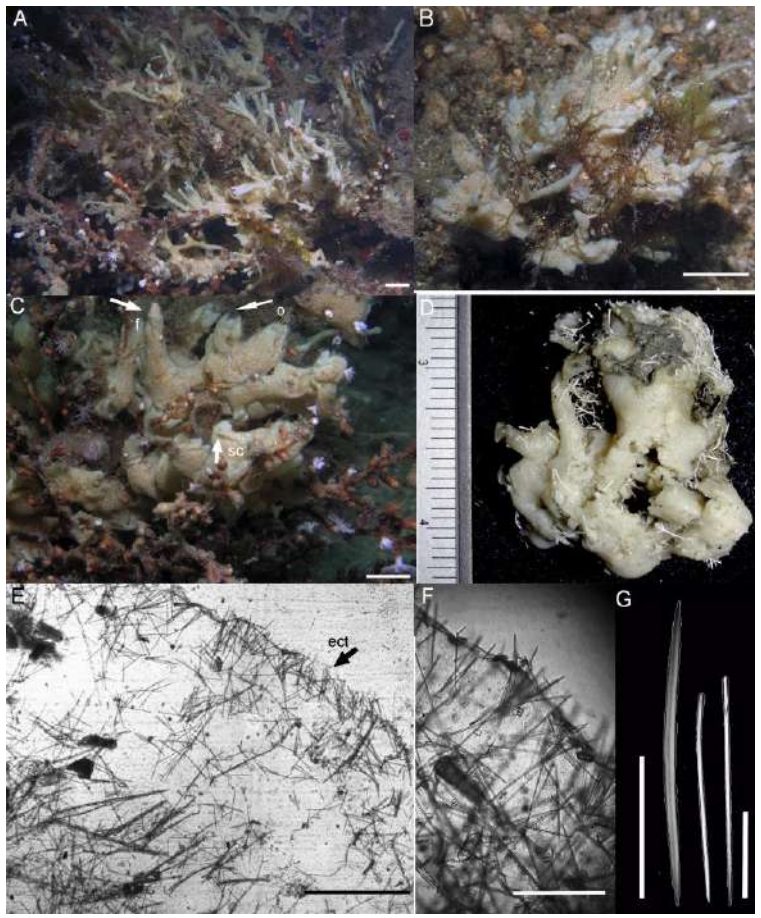
rabdóstilos, em poucos casos. As óxeas são robustas e levemente curvas com terminações aceradas, pontiagudas ou hastadas (Figura 33G).

Esqueleto. O esqueleto ectossomal é composto por uma fina camada de estilos paralelos a superfície e facilmente destacável, estando alguns deles em forma de tufos e em profusão à superfície. Na região subdermal há uma mistura de estilos e óxeas tangencialmente dispostas à superfície. O esqueleto coanossomal é composto de espículas aleatoriamente orientadas e sem a formação de tratos e malhas robustas. A arquitetura é do tipo halicondróide com poucos tratos pauci ou multiespiculares ascendentes e ausência de espongina. A presença de grãos de areia no coanossoma dá a impressão de que a esponja seja facilmente esfarelada (Figura 33E e F).

Ecologia. A espécie pode ser encontrada em grande quantidade em baías, nas proximidades de regiões portuárias, nos estados do Rio de Janeiro e Bahia. Os espécimes são observados expostos à luz ou dentro de fendas, se fixando em pedaços de corais, moluscos e pequenos pedaços de rocha entre 2-15 m de profundidade. Diversos endobiontes *Amphiroa brasiliana* Decaisne 1842 and *Hypnea cervicornis* J. Agardh, 1851 (Figura 33B e D) e *Ophiactis savignyi* (Müller & Troschel, 1842) foram observados nos espécimes coletados. A espécie está comumente sobrecrescendo o octocoral *Carijoa riisei* (Duchassaing & Michelotti, 1860) (Figura 33A e C), e em menor quantidade, em interação com os corais invasores *Tubastraea coccínea* Lesson, 1829 and *T. tagusensis* Wells, 1882 e o ofiúro exótico *Ophiothela mirabilis* Verrill, 1867.

**Distribuição.** Brasil (Baía de Todos os Santos, Bahia e Rio de Janeiro).





Legenda: A, B e C ilustram associações com o octocoral *Carijoa riisei* e com algas verdes e vermelhas; Despécime preservado com forma maciça e fístulas e repleto de epífitos, E- corte coanossomal; F- detalhe de tufos atravessando o ectossoma; G- óxea e estilos. f= fístula, o- ósculo e sc= subcanal. Escalas: A, B e C 2 cm, D- escala em régua (cm), E 200 μm, F 50 μm e G 100 μm.

Fonte: Fotos em campo Dr. Eduardo Leal Esteves, fotos em laboratório, o autor, 2014. Prancha, 2019.

Comentários. Este morfotipo se trata de uma nova espécie devido ao seu conjunto de caracteres morfológicos únicos. A espécie possui uma combinação de óxeas e estilos que se assemelha aos gêneros Amorphinopsis, Ciocalapata, Ciocalypta e Laminospongia. O último gênero possui crescimento lamelar, completamente diferente do morfotipo aqui estudado. O gênero Ciocalapata não forma fístulas e o esqueleto tem tratos trabeculares, enquanto a espécie aqui descrita pode apresentar papilas ou fístulas e os tratos ou malhas não são robustos ou trabeculares. Já o gênero Ciocalypta se diferencia deste pela presença de uma superfície com projeções fistulares transparentes, possuindo um eixo espicular central de estilos e óxeas em duas categorias de tamanho e com tratos secundários robustos (ERPENBECK e VAN SOEST, 2002), ausentes na espécie aqui descrita. Apesar de Amorphinopsis se enquadrar nos tipos de espículas presentes na espécie aqui estudada, o tipo

de crescimento, a forma do esqueleto e os tamanhos dos estilos e das óxeas são pouco similares.

Análises moleculares preliminares com o marcador 18S evidenciaram uma similaridade destes indivíduos com *Rhaphidostyla kitchingi* (Burton, 1935) da Irlanda, atualmente considerada um sinônimo júnior de *Hymeniacidon*. Paralelamente, ambas as espécies se mostraram distantemente relacionadas das demais espécies de *Hymeniacidon*, sobretudo *H. perlevis*, espécie tipo. Ambas as espécies são muito parecidas morfologicamente, com exceção da ausência de óxeas na espécie irlandesa (BURTON, 1935). Devido às similaridades morfológicas e moleculares, propõe-se que o gênero *Rhaphidostyla* Burton, 1935 seja ressuscitado e que a nova espécie seja incluída neste gênero. A hipótese de ser uma espécie introduzida pode ser testada, uma vez que as populações são esparsas e densas. Porém, a característica espicular potencializa a possibilidade desta espécie ser nova para a ciência.

Embora HOOPER *et al.*, (1997) tenha descrito *Hymeniacidon gracilis* (Hentschel, 1912) para a Austrália contendo coloração laranja-avermelhada pálida, recentemente esta espécie foi descrita para o Havaí com uma morfologia muito parecida com a de *Rhaphidostyla* sp. nov., inclusive com a coloração branca (NÚÑEZ-PONS *et al.*, 2017). A grande diferença entre *H. gracilis* e *Rhaphidostyla* sp. nov. é que a primeira apresenta exclusivamente estilos que não ultrapassam 400 μm. Assim, *H. gracilis* de diferentes localidades devem ser comparadas em nível morfológico para identificar se existe cromovariação na espécie e reconstruções filogenéticas devem ser realizadas para saber se a espécie pertence ao gênero ressuscitado ou se mantém no gênero original, *Hymeniacidon*.

# Gênero Topsentia Berg, 1899

Espécie tipo: Anisoxya glabra Topsent, 1898b: 234 (by original designation).

Topsentia cf. bahamensis Díaz, van Soest & Pomponi, 1993 (Figuras 34, 35 e 36 e Tabela 11)

Material examinado. MNRJ: 21684a, 21684c, 21802, 21816.

**Descrição.** A esponja é amorfa, mas pode haver espécimes maciços e com projeções fistulares, fusionadas pela base. A superfície é híspida e irregular. A consistência é dura, mas quebradiça, apenas levemente compressível nas porções maciças. A cor externa em vida é branca ou bege e após fixação é bege (Figura 34C e E).

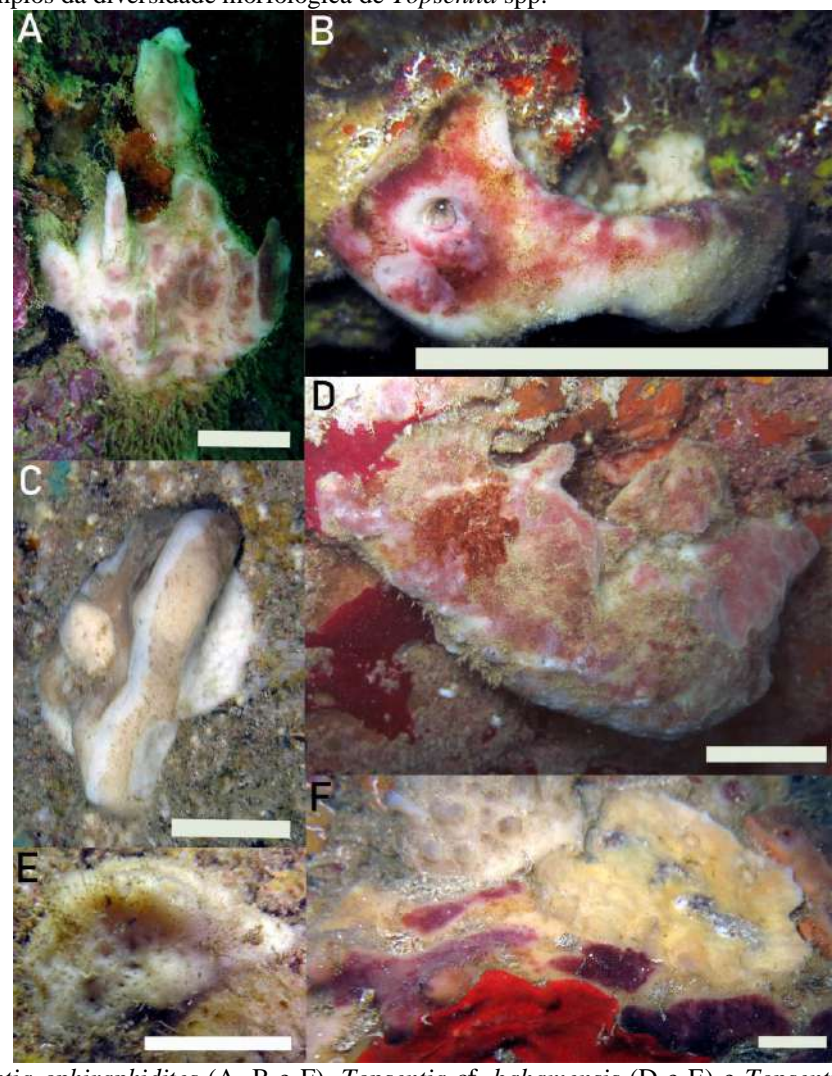


Figura 34 – Exemplos da diversidade morfológica de Topsentia spp.

Legenda: *Topsentia ophiraphidites* (A, B e F), *Topsentia* cf. *bahamensis* (D e E) e *Topsentia* sp. nov. (C). A escala é de 2 cm.

Fonte: O autor, 2019.

**Espículas.** As óxeas não são malformadas, fusiformes e divididas em duas categorias de tamanho (Figura 35B). A presença de óxeas em diferentes categorias de tamanho é muito comum neste gênero (Figura 36).

**Esqueleto.** O esqueleto ectossomal não tem e o esqueleto coanossomal é denso e confuso, com pouca espongina, formado por óxeas distribuídas aleatoriamente. Às vezes, pode haver tratos ascendentes (Figura 33B).

**Ecologia.** A espécie é encontrada em substratos duros com alguma proteção à luz e à ação de ondas.

**Distribuição.** Golfo do México, Bahamas e Pequenas Antilhas (Caribe).

**Comentários.** A espécie apresenta apenas óxeas com grande variação de tamanho, um esqueleto confuso, sem formação nítida de tratos e pouca espongina, caracterizando-a no gênero *Topsentia* (ERPENBECK e VAN SOEST, 2002). As óxeas malformadas, em duas

96

categorias de tamanho e a ausência de ofirráfides nos espécimes aqui descritos diferem *T.* cf. *bahamensis* dos seus congêneres caribenhos, *T. ophiraphidites* e *T. pseudoporrecta*. A espécie aqui descrita está sendo caracterizada como *confer* (cf.), pois não possui projeções fistulares, nem esqueleto com arranjo tendendo a radial, como descrito no tipo (DÍAZ *et al.*, 1993). Estes mesmos autores descreveram a espécie *T. pseudoporrecta* para grandes profundidades (>200 m) na região caribenha, contendo uma base subesférica, projeção oscular em forma de cavidade, oposto de *T. bahamensis*.

Topsentia ophiraphidites (de Laubenfels, 1934) (Figuras 34, 35 e 36 e Tabela 11)

Material examinado.MNRJ: 8345, 21684, 21684b, 21684d.

**Descrição.** Esponja maciça, ora com projeções fistulares ou lobulares grossas, fusionadas pela base, com cerca de 20 cm de diâmetro. A superfície é microhíspida com relevo irregular. Os ósculos são pequenos (1 mm), dispersos, normalmente situados no topo de pequenas projeções vulcaniformes. A consistência é dura, mas quebradiça, apenas levemente compressível nas porções maciças. A cor externa em vida é branca ou cinza (menos comum) com manchas vinho, creme ou cinza-amarronzada na superfície. Internamente, a coloração é branca e após a fixação em álcool, a esponja torna-se bege, com a maioria das manchas desaparecendo por completo (Figura 34).

Espículas. As óxeas são curvas e pode haver estrongilóxeas na região central. Tanto as óxeas grandes quanto as pequenas parecem malformadas, sinuosas e são encontradas em duas ou três categorias de tamanho. Há óxeas ofirráfides que formam quase um trapézio (Figura 35C). Esqueleto. O esqueleto ectossomal não tem especialização e não é destacável, apesar de apresentar tufos de óxeas pequenas justapostas e atravessando a superfície. O esqueleto coanossomal é denso e confuso, com pouca espongina, formado por óxeas distribuídas aleatoriamente e, às vezes, formando feixes vagos sob a superfície (Figura 35E e F).

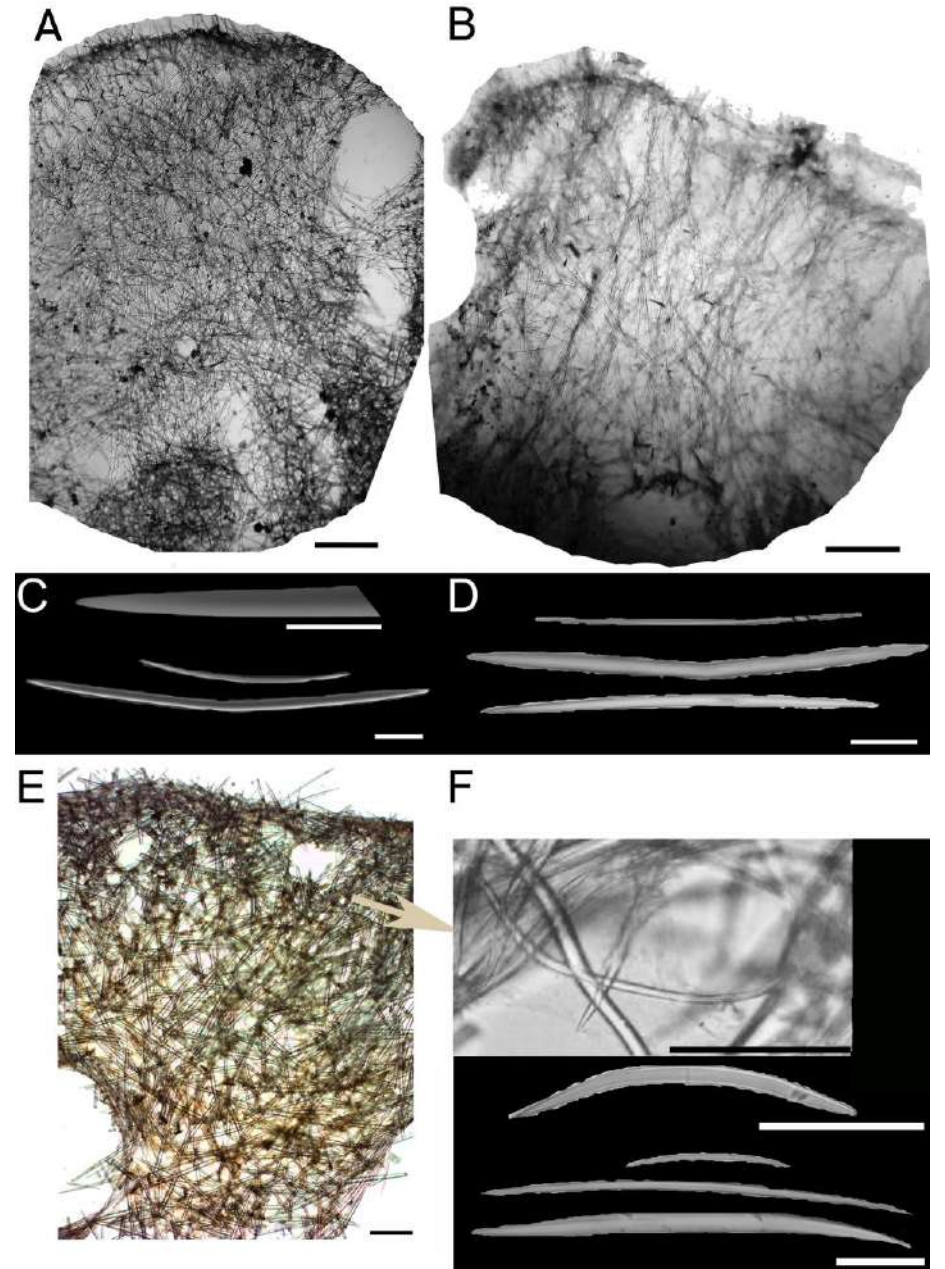


Figura 35 – Ilustração da arquitetura esquelética e da forma das espículas encontradas em *Topsentia* spp.

Legenda: Topsentia sp. nov.(A e C), Topsentia cf.bahamensis (B e D) e Topsentia ophiraphidites (E e F). Escalas dos esqueletos estão em 200 µm, das óxeas em 100 µm e da extremidade de uma óxea em 25  $\label{eq:mmm} \mu m \mbox{ (C)}.$  Fonte: O autor, 2019.

Tabela 11 – Comparação espicular de *Topsentia* spp. do Atlântico, Mar do Caribe, Golfo do México e o tipo do Mar Mediterrâneo.

Espécimes	Local	Óxea I	Óxea II	Óxea III	Óxea sinuosa
T. glabra	Açores,				Ausente
	Mediterrâneo <sup>1</sup>	500-930 / 13-20	100-200 / 3-6		
T. pseudoporrecta	Caribe Central <sup>2</sup>	260-480 / 7-12	475-900 / 10-25	1000-1800 / 25-60	Ausente
T. bahamensis	$Bahamas^2$	200- <u>300</u> -500 / 6-9-13	500- <u>650</u> -800 / 8- <u>19</u> -32		Ausente
T. cf. Bahamensis	Martinica*	143,0- <u>264,6</u> (96,5)-461,4 /	528,0- <u>682,4</u> (91,3)-888,9 / 9,9-		Ausente
		6,8- <u>7,9</u> (2,6)-16,2	<u>19,5</u> (5,8)-31,8		
T. cf. Ophiraphidites	Caribe <sup>2</sup>	160-400 / 4-10	350-800 / 6-20	600-1100 / 15-40	Ausente
	Maranhão <sup>3</sup>	110-390 / 2,5-10	370-1300 / 5-27,5(40)		Ausente
	Bacia Potiguar <sup>4</sup>	172- <u>356</u> -618			Ausente
	Fernando de				Ausente
	Noronha <sup>5</sup>	300- <u>514</u> -740/6-9-14			
	BTS, Bahia <sup>6</sup>	239-1126 / 7-30			Ausente
T. ophiraphidites	B. Camamu,				Presente
	Bahia <sup>7</sup>	194,2- <u>236,1</u> -260,7 / 5,3-6,3-8	279,3- <u>377,6</u> -473,5 / 8- <u>10,4</u> -13,3	650- <u>809,7</u> -980 / 20- <u>26,7</u> -40	
	Martinica*	193,2- <u>301,4</u> (72,1)-475,5 /	411,2- <u>617,3</u> (125,3)-877,5 / 6,0-	942,8- <u>1061,6</u> (231,9)-1469,7	Presente
		4,3- <u>8,4</u> (2,6)-15,0	<u>17,3</u> (6,5)-32,0	/ 30,9- <u>38,4</u> (13,3)-61,2	
	Bahia*	118,5- <u>259,1</u> (66,3)-375,0 /	454,6- <u>651,7</u> (69,7)-723,6 / 3,4-	793,5- <u>867,9</u> (140,6)-1260,0 /	Presente
		4,2- <u>7,1</u> (1,8)-9,0	<u>15,0</u> (4,1)-21,0	20,1- <u>23,4</u> (3,6)-32,2	
Topsentia sp. nov.	Golfo do	237,2- <u>321,0</u> (61,3)-440,6 /	461,6- <u>593,6</u> (80,8)-728,6 / 9,7-	761,6- <u>853,8</u> (86,5)-1010,6 /	Ausente
	México*	4,8- <u>10,8</u> (2,7)-15,0	<u>16,8</u> (4,8)-26,6	15,5- <u>20,9</u> (6,2)-32,3	
	Fernando de	122,2- <u>300,6</u> (58,0)-376,6 /	236,3- <u>421,6</u> (70,9)-772,4 / 3,0-	497,4- <u>642,2</u> (84,6)-904,5 /	Ausente
	Noronha*	2,2- <u>3,8</u> (1,4)-8,8	<u>7,5(2,7)-17,6</u>	3,5- <u>12,6</u> (4,4)-27,6	
	Ceará*	255,0- <u>447,2</u> (126,5)-871,9 /	1094,3- <u>1131,6</u> (91,6)-1304,6 /		Ausente
		3,0- <u>9,2</u> (4,0)-25,8	18,1- <u>27,2</u> (6,4)-35,5		
	Bahia*	I)138,6- <u>323,0</u> (118,5)-520,6/	577,4- <u>731,6</u> (109,8)-1003,1 /		Ausente
		2,4- <u>5,6</u> (2,1)-11,9	3,0- <u>13,0</u> (4,7)-24,9		

Legenda: As medidas são apresentadascomo mínimo-<u>média</u>(desvio padrão)-máximo, em micrômetros (μm) e como comprimento / largura. \*presente estudo, ¹Topsent, 1898, ²Díaz *et al.*, 1993, ³Mothes *et al.*, 2004, ⁴Muricy *et al.*, 2008, ⁵Moraes, 2011, ⁶Hajdu *et al.*, 2011 e ¬Lage, 2013. Fonte: O autor, 2019.

**Ecologia.** A espécie é encontrada em substratos duros com alguma proteção à luz, entre 5-25 m de profundidade e em ambientes com baixo hidrodinamismo. Espécimes do gênero já foram coletados a mais de 50 m de profundidade na região amazônica. Diversos epibiontes foram encontrados, especialmente animais com crescimento incrustante. A coloração na superficie é provavelmente devido a associação com cianobactérias.

**Distribuição.** Atlântico Tropical Ocidental, desde o Caribe até o estado da Bahia (Brasil), incluindo as ilhas oceânicas, exceto o Arquipélago de São Pedro e São Paulo.

Comentários. Os espécimes aqui descritos são similares os demais registrados por de Laubenfels (1954) e Díaz *et al.* (1993), no Caribe devido à presença de óxeas fusiformes e estrongilóxeas com grande variação de tamanho, deformadas e sinuosas. Estas últimas são características de *T. ophiraphidites*, em especial, quando observadas nas menores espículas (Figura 35D). A espécie tem sido descrita para todo o litoral nordeste brasileiro (ver Tabela 11), porém a maioria das identificações deve tratar de outra espécie, com exceção de Lage (2013). As óxeas sinuosas, ofirráfides, só foram encontradas para uma amostra da Bahia no tocante e Lage foi a única autora a descrever tais óxeas, no Brasil. Mothes *et al.* (2004) e Muricy *et al.* (2008) encontraram óxeas, estrongilos e estrongilóxeas nos exemplares maranhenses e potiguares, diferenciando-os das espículas características de *T. ophiraphidites*. Por sua vez, Hajdu *et al.*(2011) e Moraes (2011) descreveram exclusivamente óxeas, com grande variação de tamanho, para espécimes da Bahia e das Ilhas Oceânicas Brasileiras, respectivamente. As amostras de *Topsentia*, sem óxeas sinuosas, mas similares, anatomicamente, a *T. ophiraphidites*, estão descritas abaixo como *Topsentia* sp. nov.

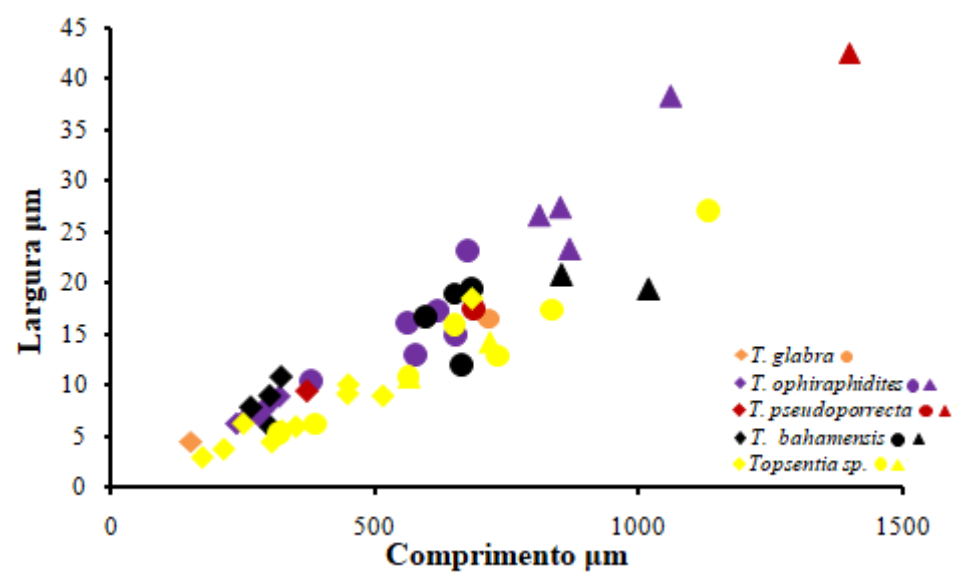
*Topsentia* sp. nov. (Figuras 34, 35 e 36 e Tabela 11)

**Material examinado.**MNRJ: 20224, 21714, 21727, 21728, 21729, 21730, 21731, 21734, 21736, 21737.

**Descrição.** A esponja é maciça com projeções fistulares ou lobulares fusionadas pela base. A superfície é microhíspida com relevo irregular e quase lisa. Os ósculos são pequenos, dispersos, normalmente situados no topo de pequenas projeções vulcaniformes. A consistência é dura, mas quebradiça. A cor é externa em vida, branca ou cinza (menos comum) com manchas vinho e creme na superfície. Internamente a coloração é esbraquiçada (Figura 32). No álcool torna-se bege, com a maioria das manchas desaparecendo por completo.

**Espículas.** Óxeas curvas fusiformes grossas ou finas, em duas ou três categorias de tamanho. Não há óxeas sinuosas (Figura 33).

Figura 36 – Relação entre as médias do comprimento (μm) e da largura (μm) das óxeas observados no gênero *Topsentia*.



Legenda: Cada símbolo representa uma categoria de tamanho diferente para as óxeas em *Topsentia* spp. Losango indica a menor categoria, círculo a média e triângulo a menor. Cada cor representa uma espécie/morfotipo diferente.

Fonte: O autor, 2019.

**Esqueleto.** Esqueleto ectossomal sem especialização, formado por óxeas pequenas justapostas e atravessando a superfície. Esqueleto coanossomal denso e confuso, óxeas distribuídas aleatoriamente (Figura 35).

**Ecologia.** As esponjas habitam áreas protegidas da luz e de forte hidrodinamismo. Invertebrados de táxons são encontrados sobre ou dentro dos espécimes.

**Distribuição.** Ceará, Fernando de Noronha e Bahia, Brasil.

**Comentários.** Topsentia sp. nov. se difere de T. ophiraphidites pela ausência de pequenas óxeas sinuosas, a qual é denominada ofirráfide, e que é o caráter diagnóstico da segunda espécie. Além disso, muitas óxeas finas foram observadas no morfotipo aqui descrito, o que não ocorre em T. ophiraphidites. A ausência de ofirráfides já foi evidenciada em alguns trabalhos no nordeste do Brasil (MURICY et al., 2008; HAJDU et al., 2011; MORAES, 2011). No Brasil, T. ophiraphidites tem a sua distribuição mantida apenas para o estado da Bahia, Baía de Todos Santos Baía de Camamu. tanto na os quanto na

#### 3.5 Discussão

A ordem Suberitida é aceita, mas a sua definição ainda permanece em debate porque a descrição do grupo é considerada insatisfatória. Basicamente, as esponjas são identificadas pelos tipos espiculares e como eles se distribuem no esqueleto, adicionados a caracteres externos, como forma de crescimento, tipo de superfície, consistência e cor (ver exemplos em DE VOS et al., 1991). Esta confusão se dá porque as famílias Stylocordylidae, Suberitidae e Halichondriidae formam um grupo monofilético (ver Capítulo 3 e referências em CHOMBARD e BOURY-ESNAULT, 1999; MORROW e CÁRDENAS, 2015), mas, morfologicamente, estas famílias possuem características muito distintas, sendo inclusive diagnosticadas por ausência de caracteres. Um exemplo clássico é a diagnose de Suberitidae como sendo um grupo representado pela ausência de um córtex reconhecível (VAN SOEST, 2002b) ou pela presença de poucos caracteres, como esqueleto ectossomal tangencial e coanossomal confuso e ausência de microscleras em Halichondriidae (ALVAREZ e HOOPER, 2010). Entretanto, as diagnoses atuais das famílias não condizem com as descrições de todos os representantes de cada uma dessas famílias (VAN SOEST et al., 1990). Neste exemplo, os autores evidenciaram que a diagnose de Halichondriidae só era bem aplicada para o gênero tipo, ou seja, para o gênero Halichondria. Mesmo assim, reconstruções filogenéticas com marcadores nucleares têm indicado parafilia no gênero (REDMOND et al., 2013; THACKER et al., 2013; GASTALDI et al., 2018). Esta parafilia sugere que as espécies H. marianae e H. melanadocia (Atlântico Tropical Ocidental), H. magniconulosa (Caribe) e H. okadai (Japão) descritas como Halichondria e que formam um complexo de espécies, provavelmente, não são do gênero Halichondria, pois estão pouco relacionadas com o clado onde a espécie tipo H. panicea se insere. Os demais gêneros da família, naquele momento ainda tratada como ordem Halichondrida, apresentam características adicionais e, algumas vezes, opostas às da diagnose do grupo. Assim, a reexaminação dos holótipos de todos os gêneros é fundamental para que se tenha uma real clareza dos caracteres morfológicos diagnósticos dos gêneros de Suberitida.

Neste capítulo foi possível redescrever espécies e descrever novas espécies, utilizando exclusivamente características morfológicas. Por outro lado, alguns morfotipos foram discriminados, porém a identificação específica não foi possível de ser realizada devido à sobreposição de caracteres com espécies já conhecidas. Sendo assim, pode-se dizer que existem características diagnósticas para os representantes de Suberitida e por isso a

redefinição de alguns grupos é necessária. Dentre as 29 descrições e redescrições, cinco se tratam de novas espécies, sendo um gênero ressuscitado para alocar uma delas. Algumas espécies foram mantidas como sp., porque as diferenças ainda não são robustas o suficiente para definí-las como novas espécies ou alocar em espécies já existentes e, por isso, a taxonomia integrativa é fundamental (BOURY-ESNAULT et al., 2013). Esta decisão poderia ser tomada ao observar as relações de tamanho das principais espículas de cada gênero, como indicado nos gráficos de dispersão, mas a classificação taxonômica baseada exclusivamente na análise do tipo e tamanho das espículas de Porifera já se mostrou muito equivocada, principalmente em gêneros contendo espículas com ampla variação de tamanho e diferentes categorias de tamanho. Para dimensionar tal equivoco basta comparar os grupos existentes no Systema Porifera (HOOPER e VAN SOEST, 2002a) com a última proposta de Morrow e Cárdenas (2015) que levaram em consideração a taxonomia integrativa. Diversas descrições foram consideradas como cf., pois ainda são necessárias mais comparações, sobretudo com espécimes da região tipo de cada espécie. Em 2016, por exemplo, Erpenbeck e colaboradores afirmaram que a taxonomia de Porifera só faz sentido se for feita quando comparada ao material tipo. A partir da comparação com o tipo, pode-se definir neste estudo que o morfotipo cf. Terpios não se trata de uma espécie do gênero Terpios, uma vez que o tilóstilo globoso e a perda de cor após a fixação não são característicos do gênero (RÜTZLER e SMITH, 1993). Grande parte dos UTOs que são considerados como possíveis novas espécies de Suberitida foram coletados em habitats de fácil acesso, como poças de maré e costões rochosos rasos (<5 m). Assim, fica evidente que a diversidade de Porifera ainda é subestimada nas regiões tropicais do continente americano e que ainda existem diversas esponjas esperando para serem descritas em áreas que despendem de baixo custo energético e financeiro.

Para a família Suberitidae, três gêneros foram identificados neste estudo: *Aaptos*, *Suberites* e *Terpios*. *Aaptos* sp. 1, *Aaptos* sp. 2 e *Aaptos* sp. 3 possuem características morfológicas singulares em combinação, porém as características morfológicas normalmente utilizadas na descrição de poríferos, como tipo de espícula, arquitetura esquelética, forma de crescimento e cor, variam pouco dentro do gênero (KELLY-BORGES e BERGQUIST, 1994). Exemplos desta pouca variação de caracteres pode ser evidenciada pela presença de espículas mucronadas ou telescópicas encontradas em *Aaptos* sp. 1, mas que também podem ser vistas em espécies registradas por Carvalho *et al.* (2013) e por Moraes (2011) para a Bacia Potiguar e para o Atol das Rocas, mesma localidade do morfotipo aqui analisado. O último autor, descreveu esta espécie como *Aaptosa aptos* (Schmidt, 1864), contudo, após uma

revisão para o Brasil, Carvalho et al. (2013) definiram que a espécie não ocorre no país. Para Aaptos sp. 2, a presença de óxeas pode ser considerado um forte caráter diagnóstico, pois nenhuma outra espécie de Aaptos descrita para o Brasil até o momento possui esta espícula em seu conjunto esquelético. Entretanto, as óxeas observadas no esqueleto do morfotipo não são abundantes, o que gera uma dúvida quanto a sua real existência. Por fim, o morfotipo 3 está localizado no Rio de Janeiro e possui estrongilóxeas maiores do que 2000 µm com pontas são agudas e não telescópicas, diferenciando-se das demais espécies. Possivelmente, este morfotipo se trata de Aaptos sp., como descrita por Muricy e Hajdu (2006) para a região Sudeste. Solé-Cava et al. (1981) descreveram Aaptos aaptos para o estado do espírito Santo, também na região Sudeste. Porém, a inexistência da menor categoria de estrongilóxeas e os estilos maiores do que do tipo de A. aaptos (ver revisão em KELLY-BORGES e BERGQUIST, 1994) indica que esta identificação foi errônea. Adicionalmente, os exemplares avaliados por Solé-Cava et al. (1981) não possuem espículas maiores do que 1600 μm, diferenciando-a também do morfotipo Aaptos sp. 3. Sendo assim, é possível que mais três espécies de Aaptos sejam descritas para o litoral brasileiro, somando-se às já descritas A. aglutinans, A. bergmanni, A. hajdui e A. potiguarensis.

A maior representação do gênero Suberites é dada em águas frias com apenas 10% de suas espécies distribuídas nas águas tropicais ocidentais do Atlântico. No presente estudo, a ampla distribuição de Suberites aurantiacus por toda a região Tropical e Subtropical Atlântica foi corroborada. A espécie possui, desde o Golfo do México (RÜTZLER et al., 2009) até o estado de Santa Catarina (MURICY et al., 2015), no Brasil, o mesmo padrão morfológico com crescimento maciço, superfície rugosa e aveludada, cor verde externamente e esqueleto quase radial composto por tilóstilos em duas categorias de tamanho e buquês abertos. A única exceção para a espécie, evidenciada em espécimes para o Caribe (COLLIN et al., 2005) e Brasil (MURICY e HAJDU, 2006), é a de que a típica coloração verde externamente pode variar desde vermelho até roxo, sendo a cor amarela internamente invariável. A variação de cor existente em S. aurantiacus é um caráter que deve ser levado em consideração, mas não pode ser superior às características esqueléticas da espécie. Aqui, Suberites sp. nov. e Suberites sp. 1 se enquadram na variação de cor de S. aurantiacus, porém divergem, especialmente, na forma dos buquês ectossomais. Além disso, Suberites sp. nov. possui tilóstilos muito maiores do que S. aurantiacus, o que difere ambas as espécies, em definitivo. O tipo de buquê ectossomal é um caráter que nunca foi levado em consideração na taxonomia alfa do gênero, a qual elenca majoritariamente a presença de tilóstilos em duas categorias de tamanho e a forma do corpo, como características diagnósticas (RÜTZLER e SMITH, 1993).

Porém, a cor é um caráter tão plástico em Porifera, que algumas espécies podem apresentar cores diferentes, mas o mesmo genótipo (LÓPEZ-LEGENTIL *et al.*, 2010). Diferentes morfotipos da espécie *S. diversicolor* da Indonésia possuem duas linhagens genéticas distintas Becking *et al.* (2013), evidenciando plasticidade fenotípica no primeiro caso e cripticismo no segundo. Portanto, para resolver a taxonomia de *Suberites*, é fundamental que detalhes morfológicos sejam levados em consideração, sendo os principais deles, a forma do buquê e o tipo de tilo que caracteriza cada espécie.

Terpios fugax é a espécie tipo do gênero e que tem uma distribuição exclusiva para o Oceano Atlântico, nas Américas Central e Sul (DUCHASSAING e MICHELOTTI, 1864; RÜTZLER e SMITH, 1993; MURICY e HAJDU, 2006; PÉREZ et al., 2017). Contudo, diversos autores registraram, erroneamente, a espécie para o litoral da Europa (STEPHENS, 1915; TOPSENT, 1934, BOURY-ESNAULT, 1971; BOURY-ESNAULT e LOPES, 1985; CRUZ, 2002), África (LÉVI, 1952) e para o Oceano Índico (THOMAS, 1985). O equívoco na identificação da espécie se dá pela sua cor azul em crostas extremamente finas, fixadas em substratos duros. Esta é uma característica quase que exclusiva em Porifera. O que diferencia T. fugax dos seus congêneres azuis, T. manglaris no Atlântico Ocidental e T. gelatinosus na Europa e Atlântico Oriental é a forma do tilo, nos tilóstilos. Os tilos dos espécimes aqui descritos para T. fugax se assemelham muito com a variação apresentada por Rützler e Smith (1993) para o Caribe. O mesmo pode ser dito para o único exemplar de T. manglaris obtido neste estudo, o qual apresentou um tilo achatado e quadrilobado como descrito pelos autores supracitados. Por sua vez, os três exemplares obtidos do mar Mediterrâneo possuem particularidades que indicam ser espécies diferentes. MNRJ 21813 possui tilo globoso e perde a cor após a fixação, caracterizando-se como fora de Terpios. Possivelmente, este morfotipo se refere a uma *Protosuberites*, mas a classificação só será realizada após a filogenia. Por sua vez, MNRJ 21814 e 21815 não perdem a cor azul e possuem tilo alongado e multilobado aproximando-se a T. gelatinosus. As reconstruções filogenéticas com esta espécie contam histórias diferentes ao compararmos os dados de 28S de Morrow et al. (2012) e de Idan e colaboradores (2018) e, portanto, uma definição não pode ser tomada. Porém, é possível que T. gelatinosus seja uma espécie separada de T. fugax. Por outro lado, os espécimes com tilos cilíndricos em vez de multilobados e que se mantém na cor azul, correspondem a uma nova espécie de Suberitidae. Além das espécies de cor azul, aqui foram analisados espécimes de Terpios na coloração laranja para o Nordeste e Sudeste do Brasil, os quais representam a espécie T. belindae, cujos tilos são achatados e multilobados (RÜTZLER e SMITH, 1993). Sendo assim, a distribuição da espécie previamente descrita inicialmente para Belize e,

posteriomente, para o estado do Amapá (MOTHES *et al.*, 2006), agora amplia-se até o Rio de Janeiro, incluindo o Parque Nacional Marinho dos Abrolhos, no estado da Bahia.

Com relação à família Halichondriidae, 15 UTOs representando quatro ou cinco gêneros foram descritos no presente estudo. Esta dúvida se deve ao fato de a presença de Topsentia em Halichondriidae ser extremamente duvidosa. Até o momento, Amorphinopsis atlantica era a única representante do gênero localizada no Oceano Atlântico (CARVALHO et al., 2004; VAN SOEST et al., 2019). De acordo com o tamanho das espículas (óxeas e estilos) parece que existe uma nova espécie de Amorphinopsis para as Américas, desta vez para o sul do Caribe. A definição deste espécime como uma nova espécie só não foi realizada com base nos caracteres morfológicos, porque os fragmentos obtidos na coleção de Porifera do MNRJ são muito pequenos, impossibilitando a descrição minuciosa dos caracteres externos, apesar da estrutura esquelética apontar grandes diferenças com relação ao congênere da América do Sul atlântica, o qual possui apenas uma categoria de óxeas com valores máximos de 825 µm (CARVALHO et al., 2004; SANTOS et al., 2018), enquanto o novo morfotipo possui duas categorias de óxeas ultrapassando 1500 µm. O espécime analisado aqui, se enquadra em *Amorphinopsis* por apresentar o conjunto espicular com duas categorias de óxeas e uma categoria menor de estilos em um esqueleto levemente confuso como as características descritas para a espécie tipo A. excavans (CARTER, 1887) no Oceano Índico e uma morfologia externa similar a de A. atlantica.

De acordo com as características morfológicas, foi constatada a presença de *Halichondria melanadocia* para os estados do Maranhão, Pernambuco e Bahia e para o Caribe. *Halichondria marianae* é outra espécie do gênero que observada em ambas as regiões. A segunda espécie, por exemplo, foi diagnosticada pela presença da combinação de óxeas maiores do que 500 μm e coloração verde escura (SANTOS *et al.*, 2018), diferenciando-a de *H. melanadocia* que é descrita com óxeas chegando a 450 μm e cor preta acinzentada externamente e verde amarelada internamente (DE LAUBENFELS, 1936; DÍAZ *et al.*, 1993). Neste estudo, foram tratados como *H. melanadocia* os espécimes cujas espículas não ultrapassaram 700 μm e que apresentavam coloração verde escura a preta, com o interior verde amarelado. Aqui, todos os espécimes tiveram duas categorias de óxeas, assim como foi observado em um espécime do Caribe por (DÍAZ *et al.*, 1993). Já *H. marianae* foi descrita pela observação de óxeas fusiformes em duas categorias de tamanho e ultrapassando os 800 μm, tanto no Nordeste do Brasil quanto no Caribe. Além disso, foram observados espécimes na cor verde e amarela. Grande parte dos representantes deste gênero é de difícil identificação morfológica, pois apresentam um conjunto espicular pouco variável (DÍAZ *et al.*, 1993;

ALVAREZ e HOOPER, 2010), aumentando o poder diagnóstico para os caracteres fenotípicos, os quais podem variar grandiosamente de acordo com as condições ambientais. Embora a dispersão das médias das óxeas não tenha se mostrado uma ferramenta útil na diferenciação de espécies de *Halichondria*, sugere-se que as diagnoses das espécies deste gênero sejam mais minuciosas, evidenciando especificidades quantitativas, aliadas às qualitativas. Ambas as espécies precisam ter as suas diagnoses revistas, adicionando-se as medidas máximas e mínimas de ambas as categorias espiculares e evidenciando toda a variação externa das espécies.

Ainda com relação ao gênero Halichondria, o único espécime encontrado para o Maranhão com cor acinzentada e superfície rugosa, Halichondria sp. 1se distingue das demais espécies de Halichondria distribuídas pelo Atlântico Ocidental pela presença de óxeas em duas categorias, sendo a segunda superior a 1200 µm. Devido à presença desta espécie, a dispersão das médias das óxeas não se mostrou uma estratégia boa o suficiente para diferenciar as espécies. A única espécie encontrada na região que possui óxeas maiores do que 1000 µm é H. lútea de Cuba. Porém, ambas as espécies se diferenciam quanto à forma de crescimento, cor e habitat (DÍAZ et al. 1993). No Brasil, H. marianae é a espécie mais similar ao morfotipo sp. 1 descrito aqui, mas grandes diferenças internas e externas são observadas. Por fim, Halichondria sp. nov.encontrada na Baía da Ilha Grande, Rio de Janeiro, não possui muitos caracteres diagnósticos de Halichondria, mas ao mesmo tempo suas características morfológicas a tornam uma espécie totalmente diferente das demais já descritas para a região Sudeste do Brasil (CARVALHO e HAJDU, 2001). De acordo com vanSoest et al. (2019), existem 15 espécies válidas de *Halichondria* (*Halichondria*) para o Oceano Atlântico Tropical e Subtropical. Destas, nove espécies são restritas para a região Tropical (Mar do Caribe, Golfo do México e Flórida), quatro são exclusivas para a região costeira do Brasil (Sudeste) e H. marianae e H. melanadocia são compartilhadas entre estas regiões (Caribe e Nordeste brasileiro). A identificação das espécies de Halichondria precisa ser feita através da separação de categorias de espículas e com o auxílio de ferramentas moleculares para que se possa distinguir variação interpopulacional de interespecífica.

Hymeniacidon é um gênero amplamente distribuído com mais de 50 espécies existentes, sendo a sua maior representatividade em águas temperadas (VAN SOEST *et al.*, 2019). Para o OATO, Mar do Caribe e Golfo do México, apenas três espécies são descritas. Apesar de *Hymeniacidon heliophila* ser considerada amplamente distribuída na região (desde os EUA até o Sudeste do Brasil), as espículas dos espécimes do Rio de Janeiro são exclusivamente estilos, assim como na diagnose do gênero (ERPENBECK e VAN SOEST,

2002), mas diferindo dos possíveis subtilóstilos descritos para os espécimes dos EUA e Caribe (DÍAZ et al., 1993; VAN SOEST, 2017). Esta diferença indica que possivelmente os espécimes de H. heliophila do Brasil representam uma espécie distinta. Recentemente, em uma revisão da espécie tipo do gênero, H. perlevis, Gastaldi e colaboradores (2018) elucidaram a existência de lobos nos estilos de indivíduos da Argentina e indicaram o agrupamento desta espécie com H. sinapium e H. heliophila, por meio de uma filogenia com a subunidade da citocromo c oxidase (COX1). A partir do exposto é possível, algumas hipóteses podem ser criadas: i) H. heliophila do Sudeste do Brasil representa uma nova espécie dentro do gênero, contendo exclusivamente estilos curtos, ii) H. perlevis da Argentina, assim como H. heliophila do Caribe, ambas com capacidade de produzir subtilóstilos como megascleras, são representantes de um novo gênero e iii) se as duas hipósteses anteriores forem refutadas por dados morfológicos e moleculares comparando indivíduos das localidades tipo de cada espécie, a diagnose do gênero Hymeniacidon deve ser modificada. Apesar de faltarem dados comparativos das espécies de localidades tipo, é muito provável que a diagnose do gênero tenha que ser modificada para espécies contendo estilos e subtilóstilos, já que essas espécies parecem formar um complexo de espécies fortemente relacionado.

Ainda sobre o gênero *Hymeniacidon*, neste estudo uma nova espécie foi identificada para o estado do Maranhão, apresentando um corpo coberto por fístulas cilíndricas. *Hymeniacidon caerulea* foi observada tanto em águas caribenhas quanto brasileiras, sendo este o primeiro registro da espécie para o litoral do Brasil. A espécie foi registrada no corredor de esponjas marinhas, localizado abaixo da foz do Rio Amazonas (COLLETTE e RÜTZLER, 1977; MOURA *et al.*, 2016), ambiente que forma um complexo sistema recifal e faz desta região, uma faixa transitória entre as faunas caribenhas e brasileiras. A dispersão dos valores médios dos estilos indica baixa amplitudade no tamanho dessas espículas e indica que a grande maioria das espécies analisada possui uma média de espículas com valores menores do que 500 μm, como descrito na diagnose do gênero (ERPENBECK e VAN SOEST, 2002). Sendo assim, qualquer espécie sem papilas e contendo uma média dos estilos maior do que 500 μm ou em mais de uma categoria deve ser descrita em um gênero distinto.

Rhaphidostyla sp. nov. foi registrada para as baías de Todos os Santos (Bahia) e Ilha Grande (Rio de Janeiro). Este morfotipo possui cor branca, presença de fístulas bifurcadas e estilos e óxeas como megascleras, mas sem localização específica no esqueleto, aproximando-o de Halichondriidae (preferencialmente, Amorphinopsis, Ciocalapatae Ciocalypta) e distingue de Myxillidae e Raspaillidae (VAN SOEST et al., 1990). Contudo, análises

filogenéticas com o marcador nuclear 18S apontaram a similaridade da espécie com *Hymeniacidon kitchingi*, porém ambas em um ramo muito longo, indicando alta taxa de mutação presente nestas espécies atualmente. A ressurreição do gênero *Rhaphidostyla* Burton, 1935 deve ser realizada para alocar *R. kitchingi* e a nova espécie de *Rhaphidostyla* aqui descrita. Diante de tantas contradições aquele gênero, a alta similaridade morfológica entre as espécies e o baixo grau de variação esquelético entre as espécies (DÍAZ *et al.*, 1993; ERPENBECK e VAN SOEST, 2002) fica evidente que estudos filogenéticos são essenciais para compreender o posicionamento das espécies de *Hymeniacidon* e delimitar sua variação morfológica dentro da família Halichondriidae.

Dentro do gênero *Topsentia*, três morfotipos foram evidenciados de acordo com a forma e tamanho das óxeas e estrutura esquelética. *Topsentia* cf. *bahamensis*, foi diagnosticada por apresentar espículas robustas, em duas ou três categorias de tamanho, sendo as óxeas ora lisas ora deformadas e com esqueleto confuso, corroborando a diagnose do tipo encontrado na região caribenha (DÍAZ *et al.*, 1993). As projeções fistulares descritas para os espécimes tipos, não foram observadas nos indivíduos descritos aqui, sendo esta a maior diferença encontrada. Espécimes de *Topsentia ophiraphidites* foram encontrados tanto do Caribe quanto no Brasil, corroborando descrições prévias (DE LAUBENFELS, 1934; DÍAZ *et al.*, 1993). Contudo, na Amazônia Azul, outro morfotipo de *Topsentia* foi encontrado, o qual foi aqui determinado como *Topsentia* sp. nov. A maior diferença morfológica entre ambos os morfotipos é que *T. ophiraphidites* possui óxeas pequenas sinuosas, ou seja, muito deformadas, as quais não são observadas em *Topsentia* sp. nov. A dispersão do tamanho das espículas no gênero mostra claramente a diferenciação no tamanho das espículas de categorias distintas, sendo esta uma forma adicional na descrição de espécies do gênero.

A decisão de separar *T. ophiraphidites* do Brasil e do Caribe em dois morfotipos distintos se dá pelo fato das pequenas óxeas modificadas, serem chamadas ofirráfides e darem o nome à espécie. Exemplares de *T. ophiraphidites* parecem se distribuir pela região caribenha e nas baías do estado da Bahia, Nordeste do Brasil (DÍAZ *et al.*, 1993, LAGE, 2013), enquanto *Topsentia* sp. nov. é encontrado ao longo do litoral nordestino do Brasil e nas ilhas oceânicas brasileiras (MURICY *et al.*, 2008; HAJDU *et al.*, 2011; MORAES, 2011). Estudos experimentais com *Topsentia* sp. nov. e *T. ophiraphidites* são necessários para testar a hipótese de crescimento e modificação no tipo espicular em ambientes com diferentes concentrações de sílica. Isto se faz necessário devido a capacidade de esponjas, como a poecilosclerida *Crambe crambe* (Schmidt, 1862), produzirem espículasaltamente deformadas e compactas, do tipo desma, em ambientes com altas concentrações de sílica, assim como,

suprimir tal espícula em ambientes com menor disponibilidade deste composto (MALDONADO et al., 1999).

Apesar da identificação de diversas espécies ter sido realizada com sucesso neste estudo, a necessidade de utilizar a taxonomia integrativa em Suberitida é evidente. Isso se dá porque a maioria dos gêneros possui caracteres diagnósticos pouco variáveis, como esqueleto confuso, mas com possível formação de tratos, sem muita definição, em Halichondriidae (ERPENBECK e VAN SOEST, 2002), e a formação de um esqueleto radial ou tendendo para radial com terminações em buquês ou em uma paliçada, em Suberitidae, mas sem uma definição de córtex desenvolvido (VAN SOEST, 2002b). Por outro lado, a maioria dos caracteres normalmente utilizados na diagnose das espécies de Suberitida é plástica, tais como a forma de crescimento e a cor nos gêneros Suberites, Halichondria e Hymeniacidon. O tipo espicular, que geralmente é diagnóstico de gêneros, não pode ser utilizado sozinho em Suberitida, uma vez que a diagnose da ordem aponta a ausência de microscleras, mas centrotilotos e tricodragmas podem ser encontrados em Stylocordyla, Epipolasis, Suberitese Rhizaxinella (VAN SOEST, 2002a,b). Além disso, óxeas e estilos, em conjunto, são comuns nos gêneros Amorphinopsis, Ciocalapata, Ciocalypta e Laminospongia (Halichondriidae), enquanto, Vosmaeria pode ter tilóstilos em adição às óxeas (ERPENBECK e VAN SOEST, 2002). Ou seja, o conjunto espicular e a sua distribuição no esqueleto em Suberitida não são suficientes para identificar espécies. Por isso, o detalhamento nos caracteres morfológicos externos e internos aliado aos estudos citológicos e reprodutivos e a utilização de ferramentas moleculares, como realizado em Ereskovsky et al. (2014), é fundamental para a descrição das espécies desta ordem.

# 4. A UTILIZAÇÃO DA METABOLÔMICA EM PROL DE UMA TAXONOMIA INTEGRATIVA EM SUBERITIDA<sup>2</sup>

# 4.1 Introdução

As esponjas são exímias produtoras de substâncias químicas, apresentando uma grande diversidade de substâncias (KORNPROBST, 2005). Em 2016, Blunt e colaboradores, em sua revisão anual sobre Produtos Naturais Marinhos, apontaram os poríferos como os maiores produtores de compostos químicos do ambiente marinho, dado corroborado por Ióca *et al.*, (2018), em uma revisão para o Brasil. O interesse pela química das esponjas teve início com Bergmann e Freeney (1950) descrevendo novos nucleosídeos para esponjas e desde então a descoberta de novos metabólitos parece não ter fim. Hoje se sabe que grande parte dos produtos químicos tóxicos produzidos por esponjas, são provenientes de microrganismos associados (HENTSCHEL *et al.*, 2006) e a elucidação da origem dos compostos ainda é a principal barreira no estudo de metabólitos em esponjas marinhas. Porém, estudos metagenômicos (YANG *et al.*, 2011) e a excitação de células específicas em esponjas podem ser capazes de elucidar a real origem do composto químico (TERNON *et al.*, 2016).

A classe de substâncias químicas mais estudada em Porifera é a dos esteróis, um álcool secundário ligado a um composto tetracíclico (três anéis hexagonais e um pentagonal) e uma cadeia lateral ligada ao C<sub>17</sub> (BERGMANN, 1949, 1962; SICA *et al.*, 1978; MAKARIEVA *et al.*, 1983; BERGQUIST *et al.*, 1991b; SARMA *et al.*, 2005). Por sua vez, os alcalóides também são comuns nestes invertebrados e podem ser provenientes de aminoácidos, terpenos e esteróis (NAKAMURA *et al.*, 1987; KOBAYASHI *et al.*, 1997; OHNO *et al.*, 2011) e normalmente possuem sufixo –ína, em sua nomenclatura.

Nas últimas décadas, a quantidade de esteróis isolados em esponjas marinhas tem sido pequena e as novas classes de compostos químicos que vêm ganhando espaço é a de terpenos e peptídeos. Junto com os alcalóides, essas três classes representam mais de 50% das novas substâncias descritas (MEHBUB *et al.*, 2014). Estes autores evidenciaram que as atuais

\_

<sup>&</sup>lt;sup>2</sup> Parte deste capítulo será publicado na revista Metabolomics sob autoria de Humberto F. M. Fortunato, Stephane Greff, Gisele Lôbo Hajdu e Thierry Pérez com o título "*Untargeted metabolomics analysis evidenced* putative chemomarkers and plastic pollutants in spiculate marine sponges (Porifera: Suberitida)" (in press).

Suberitida, antigas ordens Halichondrida e Hadromerida, representam juntas, o segundo maior grupo de esponjas estudadas na busca por novos compostos na última década.

Assim como apresentam grande diversidade morfológica, as Suberitida também produzem metabólitos de distintas classes (Tabela 12; as massas exatas foram calculadas no ChemCalc (PATINY e BOREL, 2013). Os esteróis, os alcalóides e os terpenos representam as classes de substâncias mais comumente encontradas, enquanto que os ácidos graxos não são tão comuns na ordem (KORNPROBST, 2005). Diante de toda a diversidade de metabólitos presentes nos poríferos, os esteróis e os alcalóides têm sido considerados como os mais abundantes e, ainda, com possível função taxonômica (BERGQUIST *et al.*, 1991a; BARNATHAN *et al.*, 2004; KORNPROBST, 2005). Erpenbeck e van Soest (2007) informaram que poucos compostos parecem ter potencial quimiotaxonômico em Porifera, dificultando a ação desta ferramenta na sistemática. Contudo, nos últimos anos, técnicas de espectrometria de massa em tandem vêm elucidando vias metabólicas e compostos específicos em tecido orgânico, favorecendo a utilização deste tipo de técnica na identificação de compostos químicos, inclusive na taxonomia (DA SILVA *et al.*, 2015).

A família Halichondriidae é rica em esteróis polimetilados e trisulfatados (ex: topsentinol e ophirasterol), sesqui e diterpenos nitrogenados (ex: isonitrila), os quais são compartilhados com a família Axinellidae (POMPONI *et al.*, 1991; KORNPROBST, 2005). Neste grupo, diversos metabólitos apresentam atividades antiinflamatórias, antitumorais e antivirais (MIOSO *et al.*, 2017), sendo os poliéteres ácido ocadáico (TACHIBANA *et al.*, 1981) e as halichondrinas (HIRATA e UEMURA, 1986) altamente tóxicos. Porém, halichondrina B possui baixa concentração nas esponjas, impossibilitando a sua comercialização (SIPKEMA *et al.*, 2005). Os representantes da família Halichondriidae possuem uma forte relação com microbiontes (DUCKWORTH e POMPONI, 2005; XUE e ZHANG, 2009), os quais produzem compostos bioativos (THOMAS *et al.*, 2010). Dentro desta família, os gêneros *Halichondria*, *Hymeniacidon* e *Topsentia* são relativamente bem estudados, enquanto o conhecimento sobre a química de *Amorphinopsis* é praticamente nulo (PATEL, 2010; BLUNT e MUNRO, 2016).

Tabela 12 – Algumas substâncias químicas já isoladas de diferentes gêneros de Suberitida. (continua)

Gênero	ID*	Substância	Classe	Formula	Massa (g/mol)	Referências
Aaptos	L728	Aaptamina	Alcalóide	$C_{13}H_{12}N_2O_2$	228.0898	Nakamura <i>et al.</i> , 1982
	L18677	Ciliatamida A	Polipeptídeo	$C_{26}H_{39}N_3O_3$	427.2835	Nakao <i>et al.</i> , 2008
	L18678	Ciliatamida B	Polipeptídeo	$C_{24}H_{37}N_3O_3$	415.2835	Nakao <i>et al.</i> , 2008
	L18679	Ciliatamida C	Polipeptídeo	$C_{25}H_{37}N_3O_3$	441.2991	Nakao <i>et al.</i> , 2008
	L6257	Aaptosina	Alcalóide	$C_{13}H_{12}N_2O_2$	228.0898	Rudi e Kashman, 1993
	L20110	Aaptanona	Alcalóide	$C_{13}H_{10}N_2O_4$	258.0640	Utkina <i>et al.</i> , 2009
Halichondria	L23935	Halichroma A	Alcalóide	$C_{18}H_{16}N_2O$	276.1262	Abe et al., 2012
	L21813	Franknolídeo A-C	Esterol	$C_{29}H_{39}ClO_{11}P$	629.1918	Zhang et al., 2010
	L15763	Halichonadina A	Sesquiterpeno	$C_{31}H_{52}N_2O$	468.4080	Ishiyama et al., 2005
	L15764	Halichonadina B	Sesquiterpeno	$C_{17}H_{29}NO_2$	279.2198	Ishiyama et al., 2005
	L15765	Halichonadina C	Sesquiterpeno	$C_{16}H_{25}N$	231.1987	Ishiyama et al., 2005
	L15766	Halichonadina D	Sesquiterpeno	$C_{15}H_{27}N$	221.2143	Ishiyama et al., 2005
	24853965	Halichonadina E	Sesquiterpeno	$C_{31}H_{52}N_2O$	468.4080	Kozawa et al., 2008
	L14021	Halichondramina	Alcalóide	$C_{32}H_{56}N_2$	468.4443	Chill et al., 2002
	10010725	Halichondramida	Macrolídeo	$C_{44}H_{60}N_4O_{12}$	836.4207	Kernan e Faulkner, 1987
		Halistanol	Esterol	$C_{29}H_{52}O_3$	448.3917	Fusetani et al., 1981
		Hilindramida	Macrolídeo	$C_{27}H_{34}N_2O_5$	466.2467	Kanazawa et al.,1993
	5488895	Halichondrina B	Macrolídeo	$C_{60}H_{86}O_{19}$	1110.576	Hirata e Uemura, 1986
	44581723	Homohalichondrina B	Macrolídeo	$C_{61}H_{86}O_{19}$	1122.576	Hirata e Uemura, 1986
	101451497	Norhalichondrina A	Macrolídeo	$C_{59}H_{82}O_{21}$	1126.535	Hirata e Uemura, 1986
Hymeniacidon	L4893	Manzacidina A	Alcalóide	$C_{12}H_{14}BrN_3O_4$	343.0168	Kobayashi <i>et al.</i> , 1991
	L4894	Manzacidina B	Alcalóide	$C_{12}H_{14}BrN_3O_5$	359.0117	Kobayashi <i>et al.</i> , 1991
	L4895	Manzacidina C	Alcalóide	$C_{12}H_{14}BrN_3O_4$	343.0168	Kobayashi <i>et al.</i> , 1991
	L1069	1,9-dimetil-6-imino-8-oxopurina	Alcalóide	$C_7H_9N_5O$	179.0807	Ciminoet al., 1985
	L21723	Monamphilectina A	Alcalóide	$C_{26}H_{39}N_3O_2$	425.3042	Avilés e Rodriguéz, 2010
	3035462	Hymenialsidina	Alcalóide	$C_{11}H_{10}BrN_5O_2$	323.0017	Ciminoet al., 1982
	L2414	Hymenidina	Alcalóide	$C_{11}H_{11}Br_2N_50$	386.9331	Kobayashi <i>et al.</i> , 1986
	L831	3β-hidroximetil-24-methl-A-nor-5-α-colestanol	Esterol	$C_{28}H_{48}O$	400.0735	Teshimaet al., 1980
	L10156	Tauroacidina A	Alcalóide	$C_{13}H_{16}Br_2N_6O_5S$	525.9270	Kobayashi <i>et al.</i> , 1997

Tabela 12 – Algumas substâncias químicas já isoladas de diferentes gêneros de Suberitida. (conclusão)

Gênero	ID*	Substância	Classe	Formula	Massa (g/mol)	Referências
Hymeniacidon	L10157	Tauroacidina B	Alcalóide	$C_{13}H_{17}BrN_6O_5S$	448.0164	Kobayashi et al., 1997
	101720684	9-isocyanopupukeanana	Sesquiterpeno	$C_{15}H_{25}N$	219.1987	Burresonet al., 1975
Suberites		Suberitenona A	Sesterterpeno	$C_{27}H_{40}O_4$	428.2926	Shin et al., 1995
		Suberitenona B	Sesterterpeno	$C_{27}H_{42}O_5$	446.3032	Shin et al., 1995
		Caminatano	Sesterterpeno	$C_{25}H_{46}$	346.3599	Díaz-Marrero <i>et al.</i> , 2003
		Caminatal	Sesterterpeno	$C_{27}H_{38}O_5$	442.2719	Díaz-Marrero <i>et al.</i> , 2003
		19-episuberitenona	Sesterterpeno	$C_{27}H_{42}O_4$	352.2766	Díaz-Marrero <i>et al.</i> , 2004
Terpios	L18739	Terpiosídeo A	Glicolipídeo	$C_{55}H_{107}NO_{14}$	1005.7691	Costantino et al., 2008
	L21374	TerpiosídeoB	Glicolipídeo	$C_{73}H_{137}NO_{28}$	1475.9327	Costantino et al., 2010
	L906	$5\alpha$ -24-norcolestan-3 $\beta$ -ol	Esterol	$C_{26}H_{46}O$	374.3548	Deseth et al., 1979
	L14335	Terpiodieno	Álcool	$C_{11}H_{14}O_3$	194.0943	Teruya et al., 2002
	L15312	Nakiterpiosinona	Esterol	$C_{27}H_{29}BrCl_2O_7$	614.0474	Teruya et al., 2004
	L14827	Nakiterpiosina	Esterol	$C_{27}H_{31}BrCl_2O_7$	616.0631	Teruya et al., 2003
Topsentia	L14991	Ophirasterol	Esterol	$C_{31}H_{50}O$	438.3861	Calderón et al., 2004
	L22227	24-etil-24-metilcolesterol	Esterol	$C_{30}H_{52}O$	428.4018	Echigo et al., 2011
	L8225	Ophirapstanol trisulfatado	Esterol	$C_{31}H_{53}N_3O_{12}S_3$	755.2791	Gunasekera et al., 1994
	L17480	24R-isopropenilcolesta-5,22E-dien-3β-ol	Esterol	$C_{30}H_{48}O$	424.3705	Echigo et al., 2006
		Topsentiasterol A-B	Esterol	$C_{30}H_{43}O_{16}S_3Na_3$	801.1488	Fusetani et al., 1994
	91935892	Topsentiasterol E	Sterol	$C_{31}H_{48}O_{13}S_3Na_3$	725.2340	Fusetani et al., 1994
		Topsentina A	Alcalóide	$C_{20}H_{14}N_4O$	326.1168	Bartik <i>et al.</i> , 1987
		Topsentina B1	Alcalóide	$C_{20}H_{14}N_4O_2$	342.1116	Bartik <i>et al.</i> , 1987
		Topsentina B2	Alcalóide	$C_{20}H_{14}N_4O_2Br$	407.0300	Bartik <i>et al.</i> , 1987
		Topsentinol K	Esterol	$C_{30}H_{52}O_3$	460.3926	Dai et al., 2010
		Topsentinol K trisulfatado	Esterol	$C_{30}H_{49}O_{12}S_3Na_2$	743.2181	Dai et al., 2010
		Topsentinol L	Esterol	$C_{30}H_{52}O_3$	460.3920	Dai et al., 2010
		Topsentolídeo A	Lipídeo	$C_{20}H_{28}O_3$	339.1927	Luo et al., 2006
	44512489	Axisonitrila-3	Sesquiterpeno	$C_{16}H_{25}N$	231.1987	Alvi et al., 1991

Legenda: As informações foram obtidas através de busca em artigos e nas plataformas MarinLit e PubChem, com acesso entre 31/08/2016 e 15/02/2019. \*Identificação (ID) com L= dados provenientes do MarinLit, sem L=dados provenientes do PubChem e sem ID= dados provenientes de artigos científicos.

Fonte: O autor, 2019.

Na família Suberitidae, por sua vez, encontra-se o alcalóidea aptamina, o qual é considerado um marcador químico, para o nível de família (BERGQUIST *et al*, 1991a; VAN SOEST, 2002b), e com potente ação bioativa (NAKAMURA *et al.*, 1982; SHEN *et al.*, 1999; YU *et al.*, 2014). Esta família se caracteriza pela presença de sesterterpenos (DÍAZ-MARRERO *et al.*, 2004) e carotenóides aromáticos (KORNPROBST, 2005), mas ausência de triterpenos. Os esteróis majoritários são da classe dos estanóis (MISHRA *et al.*, 1996), seguidos pelos peroxiesteróis (BARNATHAN, 1993) e esteróis halogenados (GAO *et al.*, 2010). A terceira família da ordem, Stylocordylidae, ainda tem a sua química desconhecida.

Atualmente, vivemos a era das ômicas, ramos da bioquímica que identificam e quantificam toda a estrutura molecular dos organismos, através do desenvolvimento de tecnologias ultramodernas (Figura 37). O funcionamento molecular está relacionado com a transcrição do DNA em um RNAm, o qual é traduzido em uma proteína. Esta é responsável pela transformação dos metabólitos, o produto final do metabolismo celular (VILLAS-BÔAS e GOMBERT, 2006). Assim, o transcriptoma, o proteoma e o metaboloma são reflexos das informações genéticas codificadas. A genômica se dedica a identificar a sequência completa do DNA de um indivíduo, podendo relacionar as características genéticas com processos evolutivos (GIBSON e MUSE, 2004; SEEHAUSEN *et al.*, 2014), através do sequenciamento de nova geração. A proteômica mapeia todas as proteínas expressas em um indivíduo e a transcriptômica é o conjunto de todos os RNAm transcritos por um organismo (VILLAS-BÔAS e GOMBERT, 2006). Estas áreas cresceram muito rapidamente com a criação de novas tecnologias, máquinas e softwares (ANDERSON e ANDERSON, 1998; HEGDE *et al.*, 2003; WANG *et al.*, 2016).

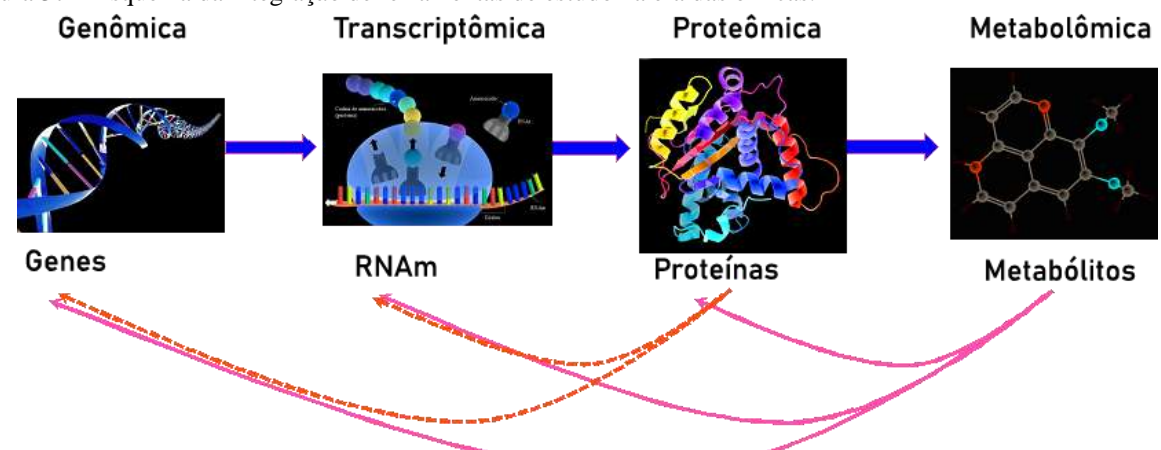


Figura 37 – Esquema da integração de ferramentas de estudo na era das ômicas.

Fonte: Modificado de Villas-Bôas e Gombert (2006), pelo autor, 2019.

A metabolômica é outra ferramenta das ômicas já bem estabelecida e que foca no mapeamento quali-quantitativo de metabólitos de baixo peso molecular dentro da célula, tecido ou fluido (FIEHN, 2002; KELL, 2004; VILLAS-BÔAS e GOMBERT, 2006), evidenciando o que está acontecendo atualmente em um indivíduo, uma vez que se encontra no final do processo de expressão molecular (VILLAS-BÔAS e GOMBERT, 2006). Os grandes benefícios desta ferramenta é que podem ser utilizadas desde o nível específico até o nível ecossistêmico (BUNDY et al., 2009), gerando grande quantidade de dados utilizando pouco material biológico ou ambiental e possibilitando a identificação de eventos evolutivos. Por outro lado, por mais avançada que esteja a tecnologia, a interpretação dessa gigantesca quantidade de dados ainda é um obstáculo a ser vencido. Neste sentido, diversos programas em plataformas on-line e programas de linhas de comando têm sido desenvolvidos nos últimos anos (KATAJAMAA et al., 2006; XIA et al., 2009; DE LIVERA e BROWNE, 2014; WANG et al., 2016), mas melhorias e definições quanto aos limites dos parâmetros a serem utilizados ainda são necessárias.

A metabolômica pode ser realizada de duas formas, de acordo com a proposta de Fiehn (2002): 1) Análises alvo – análise de um pequeno grupo específico de metabólitos, 2) Perfil metabólico – análise de todos os metabólitos ou produtos derivados detectados em um indivíduo. Na metabolômica, aassinatura metabólica, o código de barras metabólico, tem o objetivo de realizar uma rápida classificação dos compostos para caracterização fenotípica, mas sem a identificação destes compostos. Normalmente, os estudos metabolômicos utilizam técnicas de cromatografia acopladas a detectores químicos, como a ressonância magnética nuclear (RMN; DONA et al., 2016) ou espectrometria de massas de ionização (em inglês, ESI-MS; DEMARQUE et al., 2016) para realizar a identificação dos metabólitos. Porém, ambas as técnicas possuem limitações e o ideal é que fossem aplicadas em conjunto. A técnica de RMN é simples e não degrada a amostra, mas pode contamina a mesma com solventes deuterados, possui baixa sensibilidade e seletividade, o que compromete a interpretação dos dados, caso os sinais não sejam detectados antes da análise como solventes. A técnica de MS também necessita de pouca quantidade de material, proporcionando análises rápidas e com alta sensibilidade, permitindo a identificação de uma assinatura química da amostra, incorporando os compostos de baixa concentração. No entanto, a supressão de ionização dos sinais obtidos é um problema quando a técnica é empregada de forma isolada (CANUTO et al., 2018). Em uma revisão recente, QUINN e colaboradores (2017) afirmam que as análises de espectrometria de massas (MS) são amplamente utilizadase que podem ter diversas utilidades, inclusive na identificação em massa de compostos químicos com

potencial medicinal. Estes autores definem que o método de MS com alvo detecta íons específicos e/ou transições do precursor para o produto, enquanto o método sem alvo obtém o espectro de massa de todos osíons detectados na amostra.

A técnica de espectrometria de massa em tandem (MS/MS ou MS2) é um método de MS que combina diversos analisadores de massa em um instrumento permitindo a filtragem e a fragmentação de um íon precursor, assim como de seus fragmentos, para a identificação de compostos químicos (QUINN *et al.*, 2017). Porém, até o momento, apenas 1,8% dos metabólitos detectados em análises de metabolômica sem alvo são identificadas, limitando a utilidade dos dados obtidos com a técnica de MS (DA SILVA *et al.*, 2015). Porém este problema também é encontrado quando se utiliza da técnica deressonância, uma vez que a base de dados comparativos em NMR também não é grande para o Filo Porifera.

A utilização de redes espectrais tem aumentadona última década, pois eleva a razão entre parâmetros detectados e identificados. O benefício da utilização de espectros de MS2 se dá, poiseles são comparados contra outros espectros, as redes espectrais relacionam, antes da identificação final e estas relações são feitas por consenso e não por identificação individual de cada espectro. Sendo assim, a probabilidade de identificar os compostos aumenta, fazendo das redes espectrais, uma ferramenta mais eficiente e confiávelna identificação metabólica (GUTHAUS et al., 2012). Diversos estudos têm integrado as informações biológicas e químicas às redes espectrais (CLINE et al., 2007; DOCKSTADER et al., 2011; GUTHAUS et al., 2012; WATROUS et al., 2012; WANG et al., 2016; OLIVON et al., 2017a; DÜHRKOP et al., 2019), por meio de diferentes plataformas on-line que têm sido criadas para facilitar a observação, interpretação (SHANNON et al., 2003; XIA et al., 2015) e compilação de bibliotecas informativas (DENNIS et al., 2005; SMITH et al., 2005; HORAI et al., 2010; KIM et al., 2019; DOMINGO-ALMENARA et al., 2019).

A utilização da metabolômica como uma ferramenta auxiliar a taxonomia de Porifera vêm mostrando resultados relevantes, sobretudo para a classe Homoscleromorpha (IVANISEVIC *et al.*, 2011a; PÉREZ *et al.*, 2011), em uma nova onda da quimiossistemática. As espécies destes trabalhos foram descritas com a utilização de diferentes técnicas, sendo uma delas o *fingerprint*, o código de barras metabólico ou assinatura metabólica. Assim, os autores conseguiram corroborar as informações anatômicas e moleculares de diferentes espécies do Mar Mediterrâneo. Após estes estudos, eles concluíram que a utilização daassinaturametabólicapode auxiliar na identificação de espécies, inclusive aquelas que possuem plasticidade fenotípica e, assim, gerar dados robustos para a filogenia do grupo.

Quando a assinatura metabólica e a química de produtos naturais são comparadas, fica clara a superioridade da primeira técnica em relação à segunda, uma vez que aassinatura metabólica permite o rápido acesso a uma grande quantidade de metabólitos, indicando com maior precisão a quantidade de compostos compartilhados pelas espécies, favorecendo os estudos filogenéticos (BOURY-ESNAULT et al., 2013). Um bom exemplo disto foi observado quando se comparou o estudo de Loukaci et al. (2004) com o de Ivanisevic et al. (2011a), onde o primeiro apontou uma clara diferença entre os compostos com maior intensidade para duas espécies irmãs, enquanto que o segundo registrou as diferenças nos metabólitos, mas também evidenciou uma similaridade de 95% em todo o metaboloma das espécies. Mais recentemente, os perfis químicos também se mostraram efetivos na sistemática de diferentes seres vivos, tais como plantas terrestres (GALLON et al., 2018), bactérias marinhas (BAUERMEISTER et al., 2018), zoantídeos (CACHET et al., 2015; COSTA-LOTUFO et al., 2018) e corais pétreos (SANTACRUZ et al., 2019). Sendo assim, a metabolômica se fixa como uma ferramenta de grande potencial taxonômico, quando aplicada juntamente com a morfologia, e pode auxiliar na compreensão da produção química das esponjas marinhas e evidenciar compostos sinapomórficos.

# 4.2 Objetivos

#### Objetivo geral:

 a) Relacionar o conjunto metabólico de Suberitida com as características morfológicas de espécies distribuídas no Brasil e na Martinica.

## Objetivos específicos:

- a) Realizar os perfis químicos das espécies;
- b) Quantificar e qualificar os metabólitos por meio de análises multivariadas e fragmentação iônica;
- c) Interpretar o relacionamento dos íons detectados como VIPs para a utilização na taxonomia;
- d) Avaliar a bioatividade dos compostos químicos com possível importância econômica.

#### 4.3 Material e Métodos

# 4.3.1 Extração química

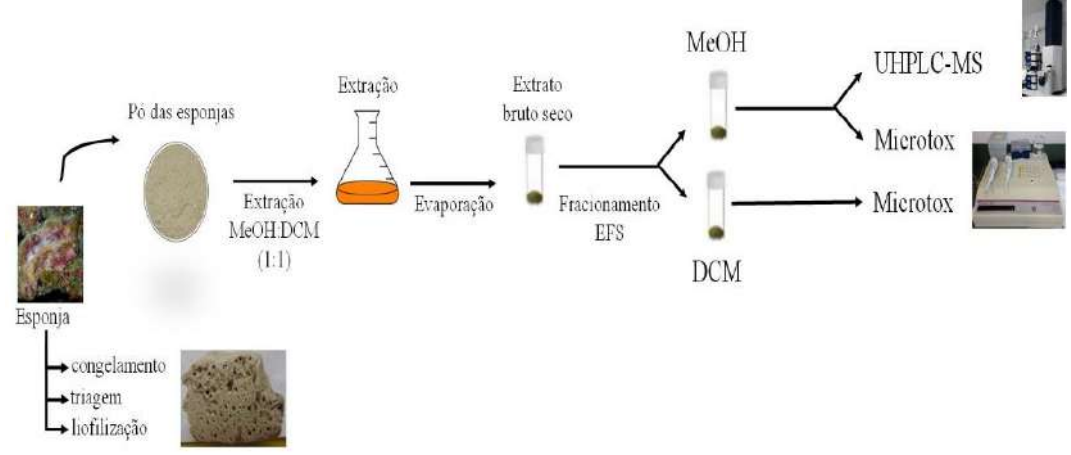
As 52 amostras utilizadas para o estudo químico foram congeladas, liofilizadas, transformadas em pó e tiveram amassa seca medida. Testes piloto foram realizados para saber a quantidade necessária de peso seco de cada amostra a fim de obter a concentração mínima necessária para a realização das análises metabolômicas e de bioatividade. Estes testes foram realizados usando 100 mg do pó das amostras, como desenvolvido pelo programa MALLABAR (Métabolomique Appliquée à L'étude de LA Biodiversité mARine; Tabela 13). Os códigos estão relacionados com a espécie e condição de coleta (local; local + estação do ano exclusivamente para *H. heliophila*): Am – Amorphinopsis atlantica; Hm – Halichondria melanadocia; Hh – Hymeniacidon heliophila; Hy- Rhaphidostyla sp. nov.; Hc – Hymeniacidon caerulea; To – Topsentia spp.; Tf – Terpios fugax; Dr – Dragmacidon reticulatum; Gc – Geodia corticostylifera; Ge – Geodia sp.1; GeB – Geodia sp.2; Nc – Neopetrosia carbonaria (Ordem Haposclerida); aff. Top – aff. Topsentia; Ba – Bahia; Ce – Ceará; FN – Fernando de Noronha; Mar – Martinica; RJ – Rio de Janeiro; v – verão; i – inverno.

De acordo com os resultados do teste piloto, a utilização de 100 mg de material foi suficiente para adquirir a quantidade necessária de extrato para as análises e por isso o protocolo MALLABAR foi seguido. O pó das amostras foi extraído em uma mistura de (Metanol:Diclorometano [MeOH:DCM]; 1:1) para obtenção do máximo de metabólitos possível com um amplo espectro de polaridade. Iniciou-se a extração com a adição de 2 mL de solvente, o qual foi levado ao ultrassom por 2 min. Em seguida, o sobrenadante foi retirado e colocado em frasco com 100 mg de sílica C<sub>18</sub> (C<sub>18</sub> Polygoprep 60–50, Macherey–Nagel® sem tampa) para absorver o extrato e nãoproduzirumagraxa. Este processo foi repetido mais duas vezes para completar 6 mL de solvente e deixou-se evaporar à temperatura ambiente (Figura 38).

A segunda etapa da extração foi desenvolvida em fase sólida (Strata C18–E, 500 mg, 6 mL, Phenomenex®), com o objetivo de retirar os sais do extrato e fracionar o extrato nas porções polar e apolar. Nesta metodologia, metabólitos muito polares podem ser eluídos simultaneamente com os sais (IWASAKI *et al.*, 2012). Iniciou-se a etapa com a lavagem das

seringas com 10 mL MeOH e condicionamento com 10 mL água deionizada. Em seguida, o fracionamento da fase polar foi realizado com a adição de 5 mL MeOH, enquanto o fracionamento da fase apolar foi obtido ao adicionar 5 mL DCM (CH<sub>2</sub>Cl<sub>2</sub>). Por fim, o material foi evaporado e assim obtivemos os extratos orgânicos das esponjas na fase polar e apolar.

Figura 38 – Fluxograma do processo de extração para as análises de metabolômica e bioatividade.



Fonte: Modificado de Greff, 2016, pelo autor, 2019.

Fotos: O autor.

As amostras extraídas em DCM foram testadas em análises de bioatividade por Microtox. O mesmo foi feito com as amostras em MeOH, mas primeiro estas foram reduzidas a 1 mg.mL<sup>-1</sup> e colocadas na máquina UHPLC/MS para a obtenção dos cromatogramas das amostras (assinaturas metabólicas). As análises cromatográficas foram realizadas com o sistema UHPLC Thermo Scientific<sup>TM</sup> Diomex Ultimate 3000 acoplado em um espectrômetro de massa (em inglês, MS) de alta resolução Q-Tof Bruker Impact II<sup>TM</sup>. A coluna utilizada foi Acclaim RSLC C18 (2.1 mm x 150 mm, 2,2 µm, ThermoScientific®) mantida a 40°C, com volume de injeção de 2 µL. Uma mistura de água pura com acetato de nitrila foi utilizada: Aágua pura + 10 mM formato de amônio + 0.1% ácido fórmico; B- ACN:água pura + (95:5) + 10 mM formato de amônio + 0.1% ácido fórmico. A aplicação do solvente variou com o tempo, sendo aplicado nas seguintes proporções, em %: A:B até 2 min (90:10); até 14 min (0:100); até 17 min (90:10). Os extratos de MeOH foram injetados randomicamente de acordo com as suas características (espécie, local, estação do ano) para diminuir o efeito de memória na máquina. O pool (todas as amostras juntas em um frasco) foi adicionado a cada seis amostras para manter a calibração interna constante (abaixo de 2 ppm) devido a mudança no espectrômetro de massa ao longo do tempo.

Tabela 13 – Informações gerais sobre a quantidade de material utilizado e extrato obtido. (continua)

MNRJ	Código	Massa seca inicial (g)	Extrato obtido (mg)	Extrato de MeOH seco final (mg)	Extrato de DCM seco final (mg)
21730	ToFN1	25,8	34,3	3,4	0,2
21728	ToFN2	21,2	30,5	5,4	0,6
21729	ToFN3	15,1	29,5	5,8	0,6
21731	ToFN4	15,3	31,3	6,1	0,7
21733	ToFN5	19,4	32,5	6,0	0,6
21734	ToFN6	32,9	31,2	6,4	0,8
21736	ToFN7	89,6	28,1	6,3	0,6
21714	ToBA1	26,9	14,5	1,4	0,6
20224	ToCE1	12,9	14,3	1,1	0,7
21684d	ToMar1	14,8	16,4	1,4	0,7
21684	ToMar2	7,2	21,1	1,9	1,2
21630	TfBA1	0,2	10,8	1,4	0,9
21638	TfBA2	0,2	8,3	1,5	0,7
21639	TfBA3	0,2	8,3	0,8	0,5
21696	TfCE1	0,3	21,2	1,6	0,8
21672	HcMar1	0,6	24,5	2,0	0,9
21679f	HcMar2	0,3	27,4	1,6	0,6
21679g	HcMar3	0,9	20,0	1,7	0,8
21745	AmRJ1	12,6	27,2	1,4	1,2
21652	HmBA1	0,7	11,7	1,6	0,5
21659	HmBA2	0,6	34,7	3,6	1,7
19469	HyRJ1	50,6	25,5	2,9	1,5
UERJOR65	HyBA1	36,7	21,0	0,9	0,8
21770	HhRJv1	1,2	37,8	2,9	1,9
21771	HhRJv2	1,6	31,3	2,7	2,1
21772	HhRJv3	1,1	36,5	3,7	2,9
21773	HhRJv4	0,6	15,8	3,8	2,9
21774	HhRJv5	1,3	38,7	3,4	2,4
21775	HhRJv6	0,7	21,7	1,8	1,2
21776	HhRJv7	1,0	34,0	3,6	2,8
21777	HhRJv8	0,9	26,9	2,9	2,3
21778	HhRJv9	0,8	25,9	2,1	1,7
21779	HhRJv10	1,8	36,0	2,8	2,3
21780	HhRJi1	0,5	26,3	2,2	2,2
21781	HhRJi2	0,4	29,4	2,6	2,2
21782	HhRJi3	0,8	24,7	2,5	2,0
21783	HhRJi4	0,7	39,0	2,3	2,1
21784	HhRJi5	0,4	38,1	4,0	3,2
21785	HhRJi6	0,4	30,1	3,0	3,0
21786	HhRJi7	0,5	31,2	2,4	2,1

Tabela 13 – Informações gerais sobre a quantidade de material utilizado e extrato obtido. (conclusão)

Amostras	Código	Massa seca	Extrato	Extrato de MeOH	Extrato de DCM
		inicial (g)	obtido (mg)	seco final (mg)	seco final (mg)
21787	HhRJi8	0,8	25,8	2,9	2,8
21788	HhRJi9	1,2	34,4	2,4	2,0
21789	HhRJi10	0,6	27,8	4,0	0,7
21674	NcMar1	0,6	23,9	1,3	1,2
21682	NcMar2	0,7	25,4	1,1	0,7
21675	NcMar3	1,3	18,5	2,5	1,1
21710	DrCE1	7,1	18,0	1,0	0,4
21711	DrCE2	2,3	13,6	1,9	0,8
21712	GcCE1	3,9	17,7	1,3	0,7
21713	GcCE2	3,9	41,2	3,9	3,4
21651	Ge	40,3	9,9	1,5	0,7
21670	GeB / aff. Top	47,4	42,2	7,8	1,0

Legenda: Am- Amorphinopsis atlantica, Hm- Halichondria melanadocia, Hc- Hymeniacidon caerulea, Hhi- H. heliophila inverno, Hhv- H. heliophila verão, Hy- Rhaphidostyla sp. nov., Te- T. fugax, To- Topsentia sp. nov. (Fernando de Noronha, Ceará e Bahia), To- Topsentia ophiraphidites (Martinica), Mar-Martinica, FN- Fernando de Noronha, CE- Ceará, BA- Bahia, RJ- Rio de Janeiro. Grupos externos Dr- Dragmacidon reticulatum, Gc- Geodia corticostylifera, Ge- Geodia sp.1, GeB- Geodia sp.2, Nc-Neopetrosia carbonaria, cf. Top – aff. Topsentia.

Fonte: O autor, 2019.

#### 4.3.2 Análise metabólica por testes multivariados

As análises cromatográficas foram realizadas apenas com o modo positivo pelo Bruker Compass<sup>TM</sup> Data Analysis (versão 4.2), uma vez que o modo negativo detectou somente 10 % dos íons encontrados no modo positivo, todos em baixa concentração. Os cromatogramas foram registrados em .cdf e os dados foram processados com o pacote XCMS (SMITH *et al.*, 2006) em R (versão 3.3.0) para obter uma matriz de massa molecular (m/z) vs. tempo de retenção (s). Para tal, os dados foram normalizados (peakwidth = c (2,40), ppm = 2) sem limite de pré-filtro (PATTI *et al.*, 2012), assim toda a variação iônica foi obtida. O tempo de correção foi determinado pelo método "obiwarp", em seguida realizou-se o agrupamento (bw = 10, minfrac = 0.3, minsamp = 1), filtragem dos picos (Fillpeaks), e finalmente a geração da matriz foi exportada para Excel. Normalizações e filtragens em cada íon foram realizadas em Excel, objetivando eliminar os compostos amplamente variáveis, reduzir o ruído, remover produtos de adição, isótopos e manter os picos mais intensos (VAN DER KLOET *et al.*, 2009). Os metabólitos foram compilados no software Bruker e a partir dos cromatogramas, os íons obtidos da matriz foram comparados com as plataformas *on-line* MarinLit, PUBCHEM e

ChemSpider para identificar os principais metabólitos de cada amostra, com foco nos VIPs, os quais podem ser específicos para determinada espécie ou gênero e serem utilizados como marcadores moleculares a nível quimiossistemático.

A plataforma on-line MetaboAnalyst 3.0 (XIA et al., 2015) foi utilizada para conduzir testes estatísticos ANOVA ou teste T student e análises multivariadas, com os dados transformados em log. Os dados foram filtrados pelas intensidades médias para retirar os ruídos da amostra (HACKSTADT e MESS, 2009), foram centralizados (a intensidade média de todas as amostras foi subtraída pela intensidade de cada íon) e normalizados (divisão pelo desvio padrão relativo da intensidade do íon de todas as amostras). Desta forma, fomos capazes de observar a significância de cada composto químico, assim como sua relação com cada amostra, definindo as variáveis (Importância Variável em Projeção, em inglês VIP). Neste caso, os VIPs são interpretados como os metabólitos que mais contribuem para a discriminação das amostras de acordo com a análise de uma ou mais variáveis, sendo eles possivelmente usados para corroborar a identificação de marcadores químicos. Análises multivariadas foram realizadas através do método de ligação completa (coeficiente de Spearman) e com nível de confiança de 95%, permitindo a geração de gráficos de agrupamento por meio da Análise de Componentes Principais e Regressão de Mínimos Quadrados Parciais (em inglês, PCA e PLSDA), e dendrogramas, com o objetivo de avaliar a similaridade entre as assinaturas metabolômicas das amostras. Uma matriz foi criada para a confecção de um mapa de calorrelacionando os principais metabólitos com as amostras, utilizando o método de ligação completa com o coeficiente de correlação de Pearson.

## 4.3.3 <u>Visualização e interpretação metabólica por redes moleculares</u>

Para maior detalhamento dos picos encontrados nos cromatogramas e facilidade de quantificação dos metabólitos, nós realizamos a fragmentação dos íons por meio de um sistema de cromatografia líquida de altodesempenho acoplado à espectrometria de massas em tandem com ionização eletro *spray* (em inglês, HPLC-ESI-MS/MS). Os arquivos de dados brutos em tandem foram convertidos do formato de arquivo .raw para .mzXML pelo software Data Analysis da Bruker. Neste formato, os dados foram incorporados à plataforma de rede molecular GNPS (WANG *et al.*, 2016; Figura 39).

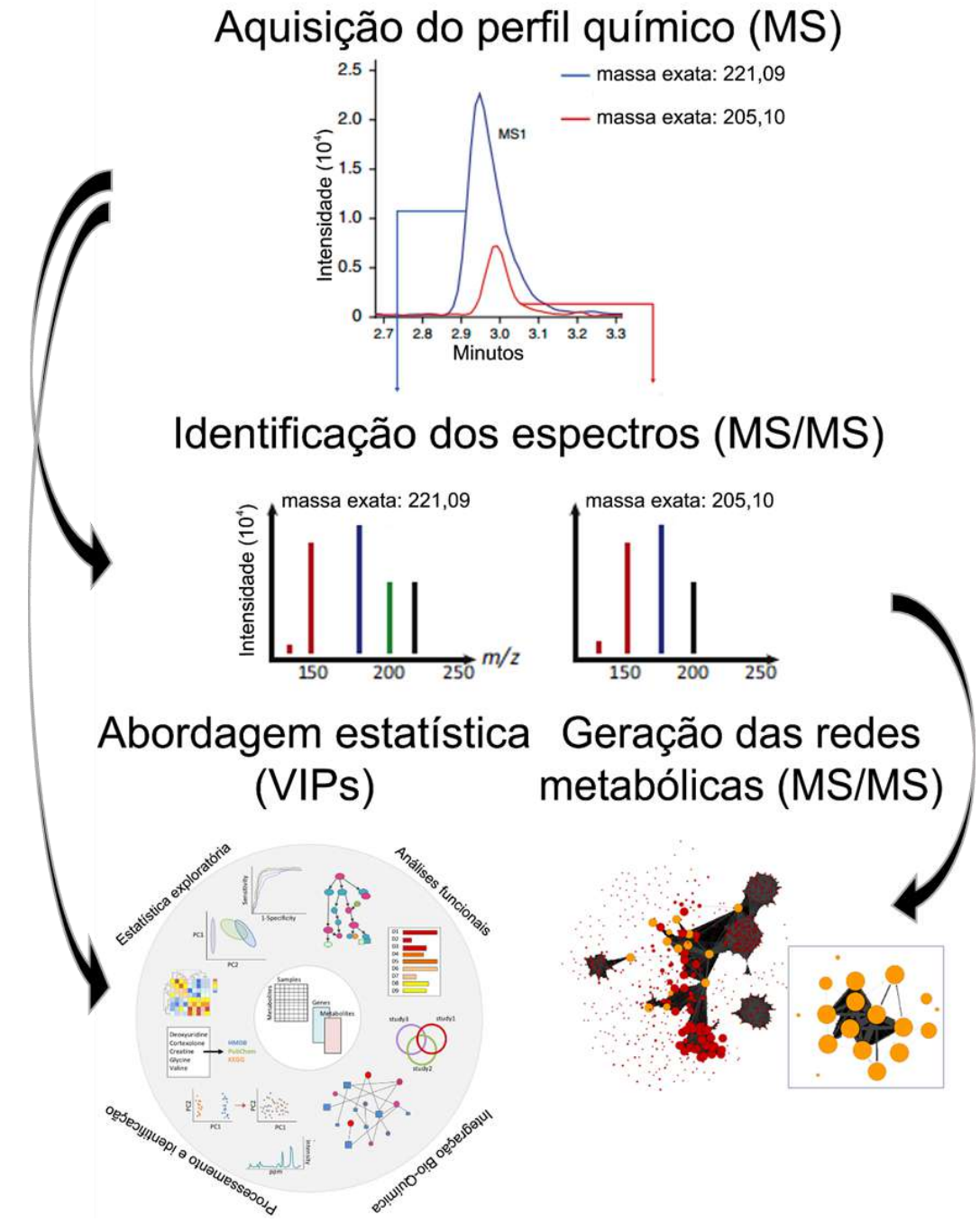


Figura 39 – Fluxograma das etapas de trabalho de metabolômica sem alvo.

Legenda: O perfil químico é obtido e metabólitos específicos (VIPs) são selecionados (MS). A identificação deles é feita através de MS/MS. O perfil químico da amostra é analisado estatisticamente e a relação entre os metabólitos é visualizada por meio de redes metabólicas.

Fonte: MS (Google imagens) e MS/MS (QUINN *et al.*, 2017), VIPs (Google imagens) e Redes metabólicas (site do Cytoscape), modificado pelo autor, 2019.

Na plataforma GNPS, os espectros MS/MS (MS2) foram combinados com o algoritmo MSCluster, considerando valores padrões para o cosseno = 0,7 para criar espectros MS2 de consenso. O valor de cosseno expressa o ângulo entre um par de espectros. Estes espectros foram utilizados para gerar redes de metabólitos, a partir de massas iniciais com uma

tolerância de íons de fragmento em tandem = 0,02 Da, íons comuns = 6 e K = 10, valores estes padrões para as análises dos parâmetros em MS e MS2. Os valores de cosseno foram utilizados para criar as bordas, as quais ligam dois nós de metabólitos, sendo representadas por uma semelhança espectral significativa, expressa como o valor de cosseno entre um par de espectros MS/MS (QUINN *et al.*, 2017). A borda é usada para auxiliar na visualização da relação entre os nós, ou seja, quanto maior a espessura da borda de cada nó, maior a relação entre os metabólitos. Assim, os nós representam os íons parentais, enquanto a espessura da borda significa a pontuação do cosseno entre dois nós (SHANNON *et al.*, 2003).

As redes metabólicas foram observadasvno software Cytoscape® a partir de redes de conexão entre metabólitos com nós e bordas individuais. O desenvolvimento das redes metabólicas tem o objetivo de visualizar e interpretar todo o conjunto químico de uma amostra detectada com a MS, tirando proveitodo poder dos dados não direcionados da MS que têm sido historicamente subutilizados (QUINN *et al.*, 2017). Assim, as redes podem agrupar famílias de compostos com íons conhecidos ou desconhecidos na literatura. Para tentar identificar os compostos químicos, a plataforma GNPS e o Cytoscape® integram diversas bibliotecas *on-line* (METLIN, METFRAG, PUBCHEM e LIPIDMAPS). Além delas, os fragmentos aqui obtidos foram comparados com a literatura (artigos e livros) para tentar identificar o máximo de compostos.

## 4.3.4 <u>Teste de bioatividade Microtox®</u>

As amostras de MeOH e DCM foram diluídas em uma solução de água do mar artificial e acetona 2% para obter uma concentração de 2 mg.mL<sup>-1</sup>, seguindo o protocolo de Martí *et al.* (2003) (ver Anexo A). Os extratos foram pesados e as soluções foram testadas contra a bactéria *Aliivibrio fisheri* (cepa NRRL B–11177), através do teste padrão de Microtox® (Microbics, Carsbad, CA, USA; MARTÍ *et al.*, 2003).

A bioatividade foi avaliada pelo valor de bioluminescência produzido pela bactéria. O metabolismo da bactéria é responsável pela produção de luz, a qual diminui em presença de agentes tóxicos (JOHNSON, 2005). A toxicidade dos compostos foi obtida a partir do EC<sub>50</sub> (μg.mL<sup>-1</sup>), uma medida de avaliação (dose-resposta) da diminuição de 50% da população exposta a determinado composto após um período de tempo. Logo, quanto mais baixo o valor de EC<sub>50</sub> maior será a bioatividade dos compostos químicos presentes na amostra.

Uma PCA foi realizada para tentar inferir as famílias de metabólitos mais tóxicas, enquanto o teste de Student inferiu diferenças estatísticas entre diferentes populações de espécies ou, no caso de *Hymeniacidon heliohila*, a mesma população em estações do ano diferentes.

#### 4.4 Resultados

# 4.4.1 Perfis cromatográficos (assinaturas metabólicas)

De uma forma geral, os perfis químicos das diferentes espécies de Suberitida e dos três grupos externos (*Dragmacidon reticulatum* Ordem Axinellida, *Geodia* spp. Ordem Tetractinellida e *Neopetrosia carbonaria* Ordem Haposclerida) analisados neste trabalho são similares (Figura 40). Mesmo assim diferenças foram observadas em nível de Ordem, Família, Gênero e Espécie. Distinções intra-específicas tanto no espaço quanto no tempo também foram observadas. Após as filtrações e normalizações foram detectados 333 íons ao longo de 960 s (16 min), sendo o composto majoritário, detectado em 657 s e contendo a provável fórmula molecular C<sub>20</sub>H<sub>34</sub>O<sub>8</sub>, com massa de 403,23, calculados pelo Bruker, através da opção "Fórmula Esperta". Outros sete picos com alta intensidade foram detectados, sendo as amostras com maior intensidade as de *Neopetrosia carbonaria* da Martinica, *Terpios fugax* da Bahia, *Topsentia* sp. nov. do Ceará e de Fernando de Noronha e *Hymeniacidon heliophila* do Rio de Janeiro, para o período do verão (Tabela 14). Dos metabólitos mais intensos, três estão diretamente relacionadas à plastificantes, o di(2-etilhexil) ftalato (em ingles, DEHP), o acetiltributilcitrato (em inglês, ATBC) e o tributilcitrato (em inglês, TBC).

Ainda na Figura 40, os metabólitos foram separados em três grandes grupos quanto à polaridade (metodologia seguida no laboratório, ver referências com esponjas (IVANISEVIC, 2011) e algas (GREFF, 2016). Até três minutos, pode-se notar claramente alguns picos de baixa e média intensidade, representando metabólitos polares. Entre três e treze minutos há uma larga faixa de compostos de média polaridade, os quais podem ser subdivididos pela intensidade e freqüência de ocorrência. Por fim, após 13 minutos compostos apolares de baixa intensidade foram obtidos. A separação das polaridades é importante para tentar discernir compostos específicos para a taxonomia e com relação à toxicidade.

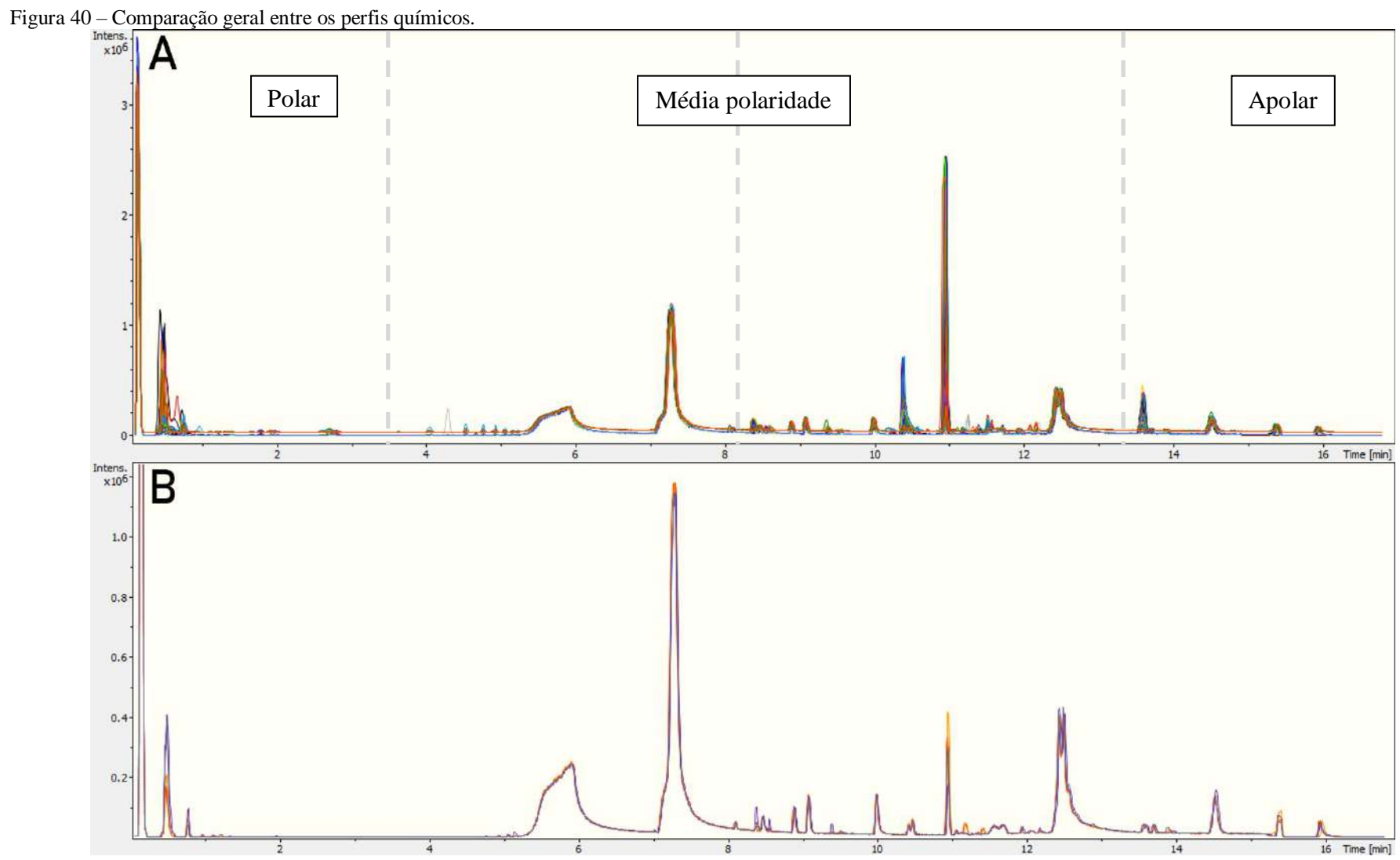
Tabela 14 – Principais picos detectados nos perfis metabólicos das espécies de Suberitida.

Amostra mais intensa	Intensidade do pico	Tempo (min)	Tempo (s)	Massa (m/z)	Erro (ppm)	mSigma	Fórmula molecular mais provável
NpMar2	$2,5 \times 10^6$	10,9	657	403,23	-1,9	87,3	$C_{20}H_{34}O_{8}$
ToCE1	$1,2 \times 10^6$	0,5	31	112,09	-1,9	4,3	$C_5H_9N_3$
NpMar2	$2,5 \times 10^5$	5,9	354	163,13	1,1	4,4	$C_8H_{18}O_3$
HhRJv7	$1,5 \times 10^6$	7,3	438	191,16	-0,5	4,6	$C_{10}H_{22}O_3$
TfBA1	$0.8 \times 10^6$	10,4	624	361,22	0,4	10,6	$C_{18}H_{32}O_7$
NpMar1	$0.4 \times 10^6$	12,5	750	384,35	-1,0	8,8	$C_{23}H_{45}NO_3$
ToFN2	$0.5 \times 10^6$	13,6	816	391,28	-0,6	16,7	$C_{24}H_{38}O_4$
HhRJv7	$2,5 \times 10^5$	14,6	876	338,34	0,5	20,2	$C_{22}H_{43}NO$

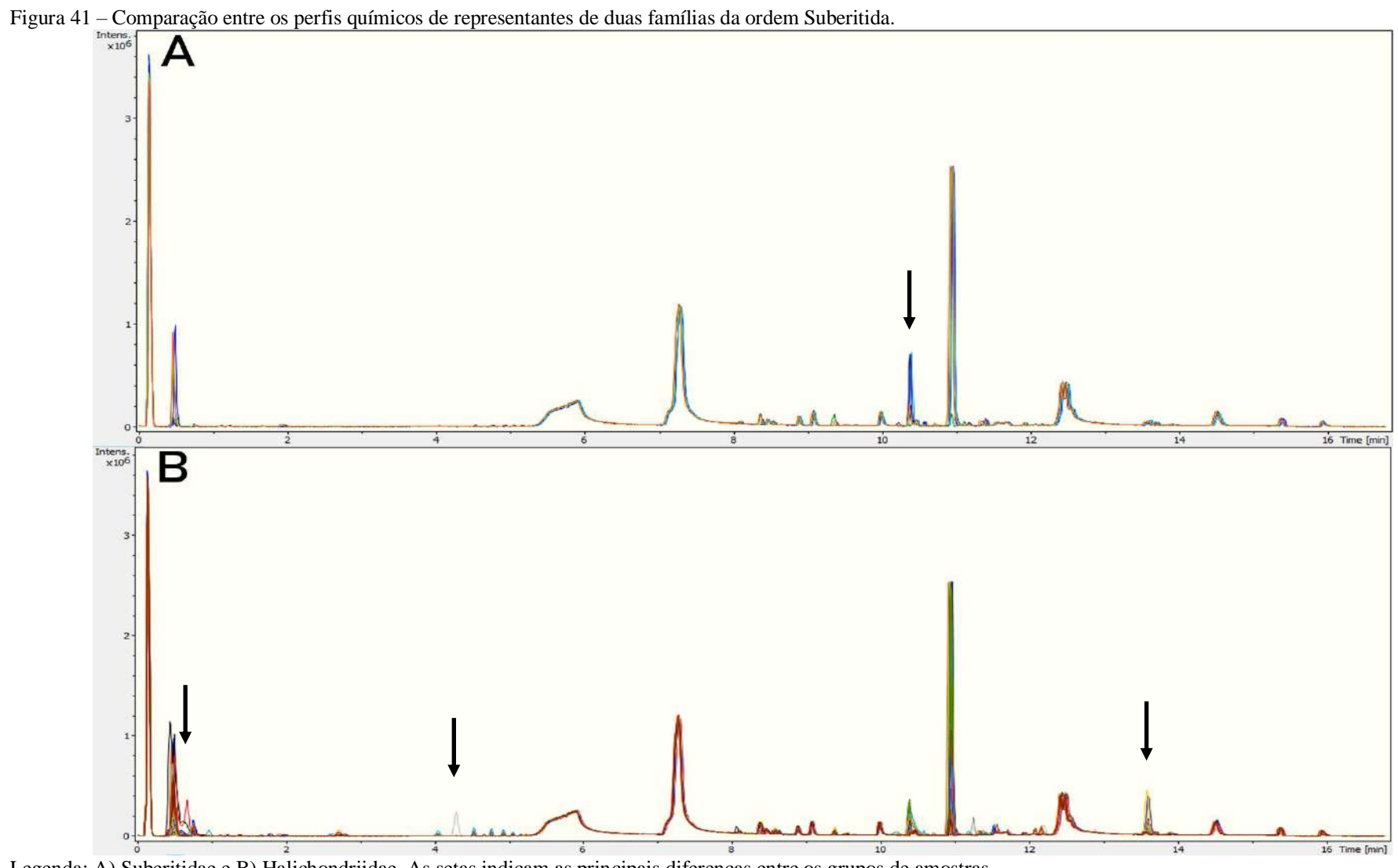
Legenda: Np- *Neopetrosia carbonaria* Martinica, Hhv- *H. heliophila* verão, TfB- *T. fugax* Brasil, ToCE- *Topsentia* sp. nov. do Ceará, ToFN- *Topsentia* sp. nov. de Fernando de Noronha. Fonte: O autor, 2019.

Apesar da similaridade geral nos perfis químicos (Figura 40), algumas especificidades podem ser observadas ao detalhar as amostras. Para a família Suberitidae, por exemplo, o poluente plástico o di(2-etilhexil) ftalato identificado nos picos em 624 s são muito mais intensos do que os observados na família Halichondriidae (Figura 41). Nesta, por sua vez, foram observados muito mais picos de baixa intensidade e de caráter polar em, mais ou menos, 30 s do que em Suberitidae. Outros dois picos que aparecem em espécies de Halichondriidae e não aparecem de forma intensa em Suberitidae são econtrados em aproximadamente 250 s e 820 s.

Diferenças entre gêneros também foram observadas neste estudo. dois picos fugiram do padrão e foram específicos para as amostras relacionadas à *Rhaphidostyla* sp. nov. O espécime da Bahia foi a única amostra cujo pico em 257 s, contendo a provável fórmula molecular C<sub>8</sub>H<sub>9</sub>NO, com massa de 136,08, enquanto o pico em 678 s foi observado também na amostra desta espécie para o Rio de Janeiro, com uma massa de 434,36 e C<sub>27</sub>H<sub>47</sub>NO<sub>3</sub>. O perfil químico desta espécie se aproximou mais do perfil de *Amorphinopsis atlantica* do que de *Hymeniacidon heliophila*, ambas coletadas no estado do Rio de Janeiro. A amostra de *A. atlantica* teve alta intensidade no pico majoritário, enquanto que as amostras de *H. heliophila* não evidenciaram nenhuma especificidade quando comparada às demais. A característica química mais parecida entre *Amorphinopsis* e a nova espécie, neste caso, corrobora a similaridade morfológica, com relação a uma característica pouco comum em Halichondriidae, a combinação espicular de óxeas e estilos verdadeiros.



Legenda: A) geral e B) grupos externos *Dragmacidon reticulatum* (cores quentes) e *Geodia* spp. (cores frias). Fonte: O autor, 2019.



Legenda: A) Suberitidae e B) Halichondriidae. As setas indicam as principais diferenças entre os grupos de amostras. Fonte: O autor, 2019.

Com o objetivo de comparar perfis químicos de espécies com ampla distribuição, espécimes com o morfotipo azul incrustante foram coletados na Bahia, Ceará e Martinica, inicialmente identificados como *Terpios fugax*. No entanto, os perfis químicos das amostras da região costeira do Brasil foram ligeiramente diferentes dos perfis caribenhos. As principais diferenças foram observadas nos picos de alta intensidade de 30 s nas amostras do Caribe e 624 s nas da Bahia. Estas diferenças aproximaram as amostras do Caribe das amostras de *Halichondria* sp. da Martinica, separando-as da família Suberitidae.

Na Bahia e na Martinica, também foram coletados espécimes com o morfotipo com cromovariação de verde musgo a preto, e morfotipovariando de incrustante espesso a maciço, primariamente identificado como *Halichodria melanadocia*. Apesar da alta similaridade dos perfis químicos, as amostras do Caribe tiveram uma intensidade superior às da Bahia, de uma forma geral. Isto pode ser claramente observado nos picos de 624 e 657 s nas amostras caribenhas. Por sua vez, as amostras brasileiras tiveram picos de baixa intensidade em 288, 498 e 708 s, os quais não foram observados nas demais amostras de *Halichondria*. Essas diferenças apontam que estes morfotipos se tratam de duas espécies diferentes.

Para as amostras de *Topsentia* spp. do Brasil e da Martinica, diferenças em nível específico foram observadas a partir dos perfis químicos. As amostras da Martinica tiveram uma intensidade menor do que as da região costeira do Brasil (Bahia e Ceará) e das ilhas oceânicas de Fernando de Noronha. Apenas metabólitos apolares, até 30 s tiveram altas intensidades nas amostras da Martinica, enquanto as amostras brasileiras tiveram picos de altas intensidades para metabólitos apolares 30 s e de média polaridade 480, 492, 660, 822 s. Utilizando as assinaturas metabólicas, notamos também diferenças sutis entre os espécimes brasileiros, porém estas não parecem indicar diferença específica. Alguns exemplos são: a amostra do Ceará teve uma intensidade muita alta em 30 s, uma amostra da Bahia teve uma intensidade discrepante em 660 s e a uma amostra de Fernando de Noronha sobressaiu em 822 s. De uma forma geral, o metabólito em 660 s teve alta intensidade, o que não foi observado nos espécimes de *Topsentia* spp., mesmo a amostra citada acima foi menor do que o comum observado.

Perfis químicos de *H. heliophila* foram realizados entre estações do ano: verão e inverno. De uma forma geral, a intensidade dos compostos químicos no inverno foi maior do que no verão, sendo isso evidenciado nos picos de 30, 660 e 822 s. Uma clara variação na diversidade de compostos químicos pode ser observada em diferentes estações do ano nesta espécie.

#### 4.4.2 Análises multivariadas

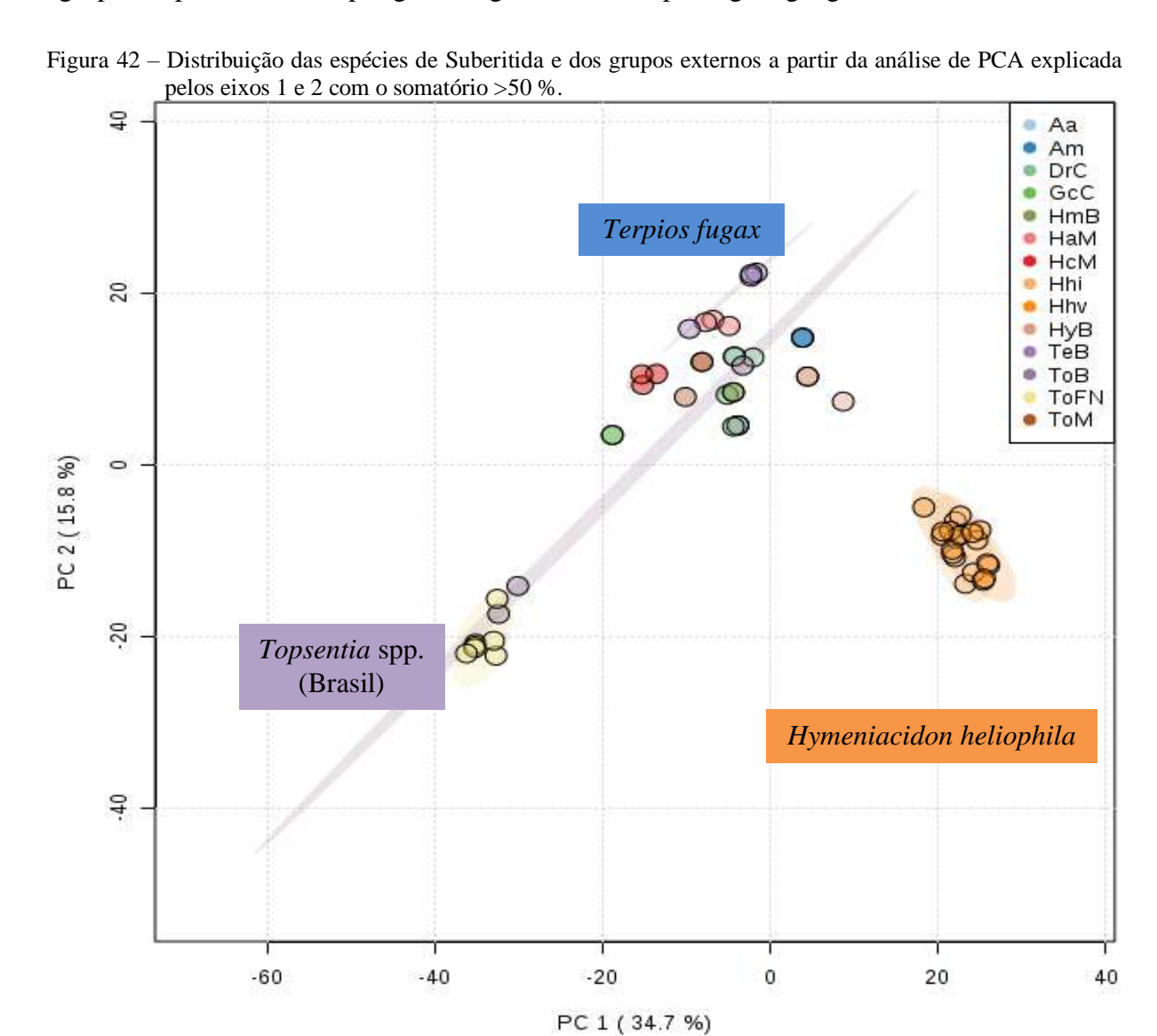
Um total de 7134 íons foi determinado para as amostras de Suberitida e as três espécies utilizadas como grupos externos (*D. reticulatum*, *G. corticostylifera* e *N. carbonaria*) antes do tratamento dos dados no R e Excel. Destes, 333 íons foram observados e utilizados na matriz massa vs. tempo para a realização de análises estatísticas. Por fim, 30 íons foram determinados como VIPs com um score acima de um (Tabela 15).

As diferenças observadas nos cromatogramas foram corroboradas com os gráficos obtidos através das análises multivariadas. Os dois primeiros eixos da PCA (Figura 42), por exemplo, explicaram mais de 50% da variação dentro e entre grupos de acordo com a presença e intensidade dos metabólitos em cada amostra. Dentro de um nível de confiança de 95%, foram identificados grupos específicos para as amostras de *Hymeniacidon heliophila*, *Hymeniacidon caerulea*, *Terpios fugax* e *Topsentia* do Brasil. As demais amostras se aglomeraram no meio do gráfico sem diferenciação óbvia. Por fim, os grupos externos tiveram respostas diferentes, uma vez que *D. reticulatum* agrupou com a maioria das Suberitida, enquanto *G. corticostylifera* e *N. carbonária* se separaram dos demais evidenciando a presença de diferentes metabólitos nas ordens.

No dendrograma observa-se a formação de cinco grupos (Figura 43). O primeiro grupo se refere às amostras de *H. heliophila* do inverno e do verão, as quais se sobrepuseram indicando pouca variação química sazonal. O segundo contém as amostras de *Topsentia* sp. nov. de Fernando de Noronha, Bahia e Ceará, as quais não possuem a espícula ofirráfide, característica de *T. ophiraphidites*. As amostras de *Topsentia* e *Geodia* spp. formaram o quarto e quinto grupos, com uma diferenciação entre *Topsentia* sp. nov. e *T. ophiraphidites* (possui ofirráfide) e *Geodia* spp. O quarto grupo foi formado por espécies de Halichondriidae, *Halichondria melanadocia* da Bahia, *Amorphinopsis atlantica* do Rio de Janeiro e *Rhaphidostyla* sp. nov. O último grupo foi formado por *H. caerulea* (Halichondriidae) da Martinica, *Terpios fugax* (Suberitidae) do Brasil e os grupos externos *D. reticulatum* (Brasil) e *N. carbonária* da Martinica. Neste grupo, a amostra de *Terpios fugax* do Ceará agrupou com *N. carbonaria* e não com as demais amostras da Bahia, indicando uma provável contaminação no processamento.

Neste estudo, o agrupamento com base em dados metabólicos corrobora as conclusões morfológicas, uma vez que o morfotipo de *Halichondria* da Bahia se separoudomorfotipoda Martinica, que é na verdade *N. carbonaria*, espécie de outra ordem. Outro exemplo é

referente a espécie *Rhaphidostyla* sp. nov., a qual não deve ser considerada no gênero *Hymeniacidon*, nem sinônimo júnior, devido à grande distância com seus congêneres aqui analisados, *H. heliophila* e *H. caerulea*. De forma geral, as amostras aqui testadas se agruparam primeiramente por grau filogenético e não por região geográfica.



Legenda: Am- Amorphinopsis atlantica, Hm- Halichondria melanadocia, Hc- Hymeniacidon caerulea, Hhi- H. heliophila inverno, Hhv- H. heliophila verão, Hy- Rhaphidostyla sp. nov., Te- T. fugax, To- Topsentia sp. nov. (Fernando de Noronha, Ceará e Bahia), To- Topsentia ophiraphidites (Martinica), M-Martinica, FN- Fernando de Noronha, C- Ceará, B- Bahia. Grupos externos Dr- Dragmacidon reticulatum, Gc- Geodia corticostylifera, Aa=Ge- Geodia sp.1, HaM=NcM- Neopetrosia carbonaria. Fonte: O autor, 2019.

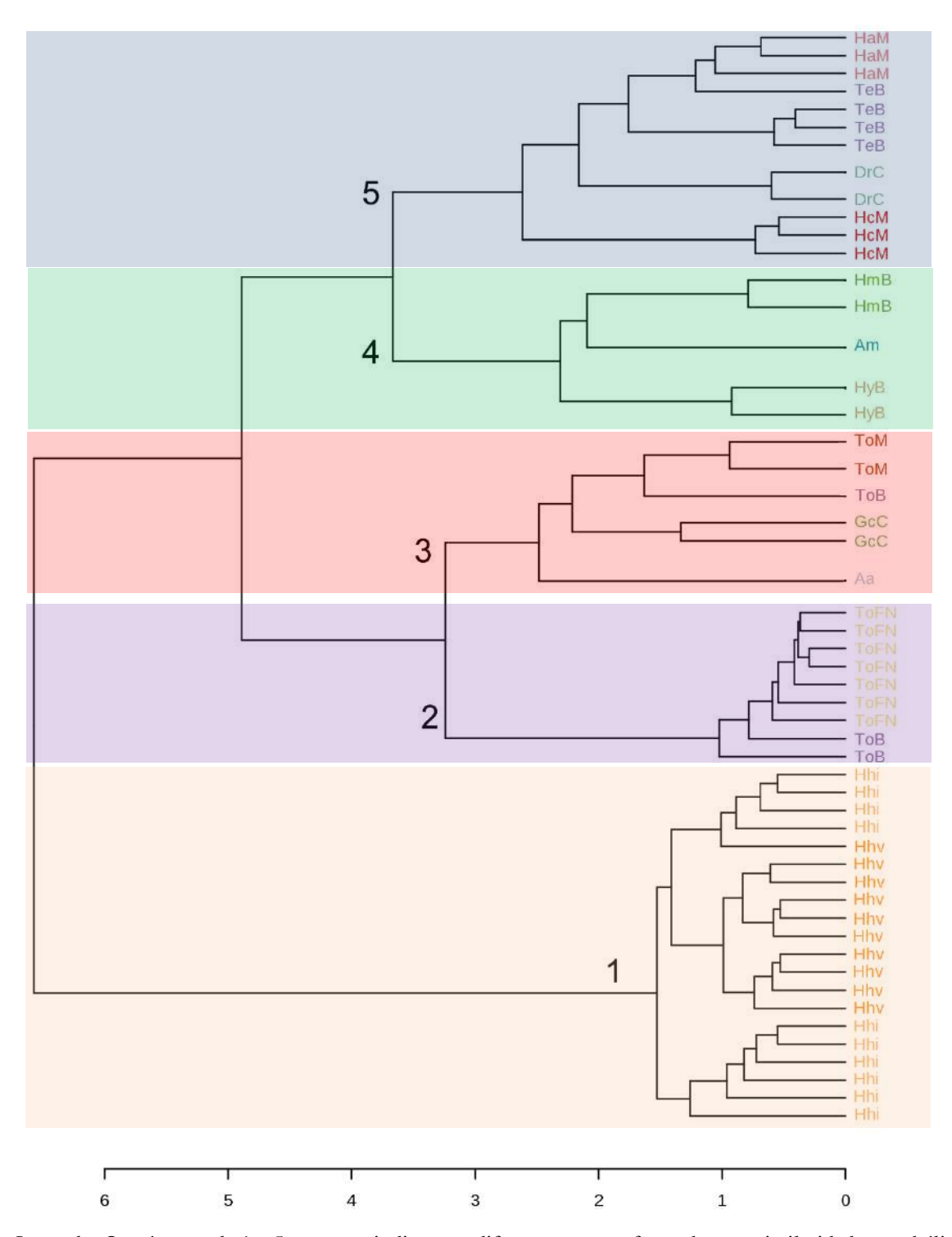


Figura 43 – Agrupamento de espécies gerado com o coeficiente de Spearman e o método de ligação completa, a partir das assinaturas metabólicas.

Legenda: Os números de 1 a 5 em cores indicam os diferentes grupos formados por similaridade metabólica (ver detalhes no texto acima). 1) Hhi- H. heliophila inverno, Hhv- H. heliophila verão, 2) ToB e ToFN-Topsentia sp. nov. (Fernando de Noronha, Ceará e Bahia), 3) Aa=Ge- Geodia sp.1 (Bahia), GcC-Geodia corticostylifera (Ceará), ToB e ToM- Topsentia ophiraphidites (Bahia e Martinica), 4) Am-Amorphinopsis atlantica, Hm- Halichondria melanadocia, HyB- Rhaphidostyla sp. nov. (Brasil) e 5) HcM- Hymeniacidon caerulea (Martinica), Te- T. fugax (Bahia), DrC- Dragmacidon reticulatum (Ceará), HaM=NcM- Neopetrosia carbonaria (Martinica).

Fonte: O autor, 2019.

Rede	e de metabólitos			* * *	MS	•	,		MS2		Amostra principal
VIP	Metabólito	Massa/tempo de retenção (mz/RT)	Massa exata	Intensidade (casos - % espectro)	Fórmula molecular	Erro (ppm)	mSigma	Aduto	Fragmento (m/z)	Fragmento (%)	•
1	Fosfocolina	M482T626	482,361	346616 - 100	$C_{24}H_{53}NO_6P$	0,7	20,9	[M+H]+	104,1073	965504	HhRJv
	PC(O-16:0/0:0)								482,3608	206620	
									184,0735	163290	
									86,0964	92906	
2	Fosfocolina	M508T638	508,3762	18676 - 75.6	$C_{26}H_{55}NO_6P$	-2,1	6,7	[M+H]+	105,1107 104,1072	52746 63348	HhRJv
	PC(O-18:1/0:0)								184,0735	15416	
									508,3769	14962	
									86,0965	4842	
3	Fosfocolina PC (O-17:0/0:0)	M497T661	496,3762	34564 - 100	$C_{25}H_{55}NO_6P$	-1,5	5,6	[M+H]+	104,1074	104510	HhRJv
	- (,	M518T653	518,3614	3315 -9.6	$C_{25}H_{54}NNaO_{6}P \\$	-0,3	9	[M+Na]+	496,3777	31672	
									184,0737	24926	
									86,0966	8900	
									497,3816	8736	
									125,0001	5204	
4	Fosfoglicerol	M485T564	485,2879	18540 - 61.85	$C_{22}H_{46}O_9P$	-1,2	16	$[M{+}H]{+}$	313,2735	102864	HhRJv
	PG(16:0/0:0)								155,0102	7932	
									173,0212	4910	
									95,0857	4684	
									98,984	3470	

	- VIPs identificados e de metabólitos		T	1 1 3	MS	(111)	,		M	Amostra principal	
VIP	Metabólito	Massa/tempo de retenção (mz/RT)	Massa exata	Intensidade (casos - % espectro)	Fórmula molecular	Erro (ppm)	mSigma	Aduto	Fragmento (m/z)	Fragmento (%)	-
5	Metil-guanina	M166T32	166,0725	186406 – 100	C <sub>6</sub> H <sub>8</sub> N <sub>5</sub> O	1	1,7	[M+H]+	166,0723	266692	HhRJi
		M331T29	331,1374	105997 - 56.86				[2M+H]+	138,0774	12084	
									125,0457	19450	
									166,0878	19340	
									151,0486	13112	
6	Adenina	M136T45	136,0618	235777 - 100	$C_5H_6N_5$	-1	7,2	$[M{+}H]{+}$	136,0612	5692	HhRJv
									119,0358	1356	
									137,0451	538	
									137,0646	498	
									91,0546	248	
									94,0424	192	
7	Quinolona	M146T345	146,0601	23644 - 12.36	C <sub>9</sub> H <sub>8</sub> NO	0,9	12,1	$[M{+}H]{+}$	118,0651	52592	HhRJi
8	n.r.	M520T453	520,3649	4132 - 5.1	$C_{31}H_{46}N_5O_2$	-0,5	14,5	$[M{+}H]{+}$	520,365	26474	HhRJv
									136,0617	2310	
									90,9763	366	
									80,9483	312	
9	Capnina	M352T546	352,2518	19925 - 22.3	$C_{17}H_{38}NO_4S\\$	-1,4	11,4	$[M{+}H]{+}$	124,0062	7048	HhRJi
		M374T547	374,2341					[M+Na]+	334,2415	5734	
									252,2684	2708	
									95,0856	2044	
									81,0696	1816	
									105,9958	1184	

	5 — VIPs identificado e <b>de metabólitos</b>		1	1 1 5	MS		3 /		MS2		Amostra principal
VIP	Metabólito	Massa/tempo de retenção (mz/RT)	Massa exata	Intensidade (casos - % espectro)	Fórmula molecular	Erro (ppm)	mSigma	Aduto	Fragmento (m/z)	Fragmento (%)	-
10	Peptídeo	M348T606	348,2746	2645 - 12.2	C <sub>18</sub> H <sub>38</sub> NO <sub>5</sub>	0	43,4	[M+H]+	71,0492	4626	HyRJ
									69,0697	3318	
									95,0858	3284	
									81,0701	2890	
									219,211	2688	
									55,054	2532	
11	Ftalato	M335T716	335,2221	32685 - 100	$C_{20}H_{31}O_4$	-1,2	5,8	$[M{+}H]{+}$	149,0233	72778	HhRJi
									57,0698	13148	
									150,027	7652	
									71,0855	7064	
									167,0334	3820	
									83,0856	2486	
12	Ácido graxo	M433T808	433,368	4609 - 22.1	$C_{28}H_{49}O_3$	-0,6	91,2		71,0853	2488	HhRJi
									95,0853	2362	
									81,0694	2234	
									57,0699	1982	
									131,0855	1570	
									147,1174	1554	
13	Esterol	M679T441	679,261	22293 - 5.8	$C_{26}H_{51}N_2O_{12}S_3\\$	-3,1	15,7	[M+NH4]+	351,3046	55112	ToFN
		M662T441	662,233	2753 - 0.6	$C_{26}H_{48}NO_{12}S_{3} \\$	-0,8	34,5	[M+H]+	369,3151	33920	GcCE
									386,3419	6254	
									255,2115	4458	
									97,1015	4132	
									404,3524	2998	

	o – VIPs identificado e <b>de metabólitos</b>		1	1 1 0	MS		3 /		M	S2	Amostra principal
VIP	Metabólito	Massa/tempo de retenção (mz/RT)	Massa exata	Intensidade (casos - % espectro)	Fórmula molecular	Erro (ppm)	mSigma	Aduto	Fragmento (m/z)	Fragmento (%)	-
14	Esterol	M642T455	642,3347	24223 - 31.8	$C_{29}H_{56}NO_{10}S_2$	-1	19,7	[M+H]+	447,384	35200	ToFN
									271,2054	11802	
									301,2526	10810	
									283,2422	10606	
									411,3626	10602	
									127,1117	10052	
15	Esterol	M693T466	693,2763	14591 - 30.15	$C_{27}H_{53}N_2O_{12}S_3\\$	0,2	22,8	[M+NH4]+	365,3206	70984	ToFN
									383,3313	53586	
									111,1168	37154	
									255,2107	19820	
									69,0696	17344	
									400,3578	10516	
16	Esterol	M723T506	723,3233	145363 - 100	$C_{29}H_{59}N_2O_{12}S_3\\$	-1,9	9,3	[M+NH4]+	283,2423	54404	ToCE
		M724T505	724,3263						395,3675	624912	ToCE
									413,3783	426098	
									430,405	121424	
17	Esterol	M730T506	728,2791	5238 - 19.0	$C_{31}H_{54}NO_{12}S_{3} \\$	1,6	15,7	[M+H]+	435,3603	8750	HcMar
									395,3677	6108	
									453,3716	3422	
									413,3771	2180	
									417,3483	588	
									533,3284	510	

Tabela 15 – VIPs identificados nos testes estatísticos aplicados pelo programa MetaboAnalyst 3.0. (continuação)

Red	e de metabólitos				MS		-		MS2		Amostra principal
VIP	Metabólito	Massa/tempo de retenção (mz/RT)	Massa exata	Intensidade (casos - % espectro)	Fórmula molecular	Erro (ppm)	mSigma	Aduto	Fragmento (m/z)	Fragmento (%)	-
18	Esterol	M737T521	737,3369	19123 - 75.6	$C_{30}H_{61}N_2O_{12}S_3$	-0,2	6,4	[M+NH4]+	409,3837	14922	ToFN
		M739T523	739,3398						427,394	10070	ToFN
									97,1009	2134	
									444,4219	2072	
									283,2437	1866	
									542,3914	976	
19	Esterol	M608T644	608,3295	4310 - 33.8	$C_{29}H_{54}NO_{8}S_{2} \\$	-1,4	23,5	$[M{+}H]{+}$	395,3682	2018	ToFN
									413,3775	1386	
									309,2793	260	
									89,0595	420	
									159,1158	382	
									241,1953	352	
20	Esterol	M735T519	735,3232	61055 - 10	$C_{30}H_{59}N_2O_{12}S_3\\$	-2,1	15,6	[M+NH4]+	97,1014	255698	ToCE
									425,3785	145566	
									407,368	130674	
									309,2581	86912	
									95,0857	85954	
									255,211	47644	
21	Esterol	M434T676	434,3629	192180 - 100	$C_{27}H_{48}NO_3$	0,8	18,8	[M+NH4]+	399,3264	46830	HyRJ
			417,3359		$C_{27}H_{45}O_3$			[M+H]+	219,2109	46754	
									381,3155	40056	
									95,0857	38278	
									269,1901	37586	
									107,0855	29210	

Red	e de metabólitos		•	1 1 0	MS	`	•		M	IS2	Amostra principal
VIP	Metabólito	Massa/tempo de retenção (mz/RT)	Massa exata	Intensidade (casos - % espectro)	Fórmula molecular	Erro (ppm)	mSigma	Aduto	Fragmento (m/z)	Fragmento (%)	-
22	Alcalóide	M614T426	612,2279	36038 - 92.15	C <sub>28</sub> H <sub>43</sub> BrN <sub>3</sub> O <sub>7</sub>	-0,4	17,1	[M+H]+	228,0016	37804	GcCE
	geodiamolídeo	M636T425	634,2107					[M+Na]+	345,0439	31802	
									268,1903	18926	
									240,1958	13498	
									197,1533	11442	
									179,1428	10552	
23	Alcalóide	M682T435	660,2151	65251 - 9.3	n.r.			$[M{+}H]{+}$	275,9882	257164	GcCE
	geodiamolídeo		682,1974		n.r.			[M+Na]+	393,0312	199738	
									268,1911	70124	
									240,1961	44332	
									321,9941	36732	
									197,1538	31348	
24	Alcalóide	M240T310	237,9972	21296 - 100	$C_9H_9BrN_3$	0	0,1	$[M{+}H]{+}$	220,971	62264	GcCE
	geodiamolídeo								195,9762	2376	
25	Alcalóide	M573T597	573,3412	12405 - 97.88	$C_{29}H_{45}N_6O_6\\$	-1,8	8,6	[M+H+]	411,2871	938	GcCE
	geodiamolídeo								313,3105	2360	
									261,0373	33020	
									243,026	908	
26	Alcalóide	M485T694	485,346	22057 - 62.3	$C_{27}H_{49}O_7$	3,1	16,7	[M+H+]	89,0596	92950	GcCE
	geodiamolídeo								133,0861	47888	
									45,0333	26654	
									283,1757	18354	
									177,1127	15934	
									239,1493	4354	

		MS							IVI	S2	Amostra principal
VIP	Metabólito	Massa/tempo de retenção (mz/RT)	Massa exata	Intensidade (casos - % espectro)	Fórmula molecular	Erro (ppm)	mSigma	Aduto	Fragmento (m/z)	Fragmento (%)	-
27	Alcalóide	M406T343	406,2144	5764 - 3.5	C <sub>23</sub> H <sub>33</sub> ClNO <sub>3</sub>	-1,8	45,6	[M+H+]	308,1765	1530	TeBA
	haliclorína								388,2016	1484	
									152,0703	1478	
									126,055	1032	
									91,0542	918	
									166,0868	778	
28	Sesquiterpeno	M365T681	343,2118	61259 - 100	$C_{18}H_{31}O_6$	-0,7	10,7	[M+H+]	98,984	1232	HcMar
			365,1935	22233 - 37.3	$C_{18}H_{30}NaO_6$	-0,4	3,9	[M+Na+]	240,2318	1014	
									45,0333	908	
									89,0599	752	
									139,0033	630	
									81,0699	496	
29	Glicolipídeo	M530T685	530,406	81372 - 100	$C_{29}H_{56}NO_7$	-0,9	7,1	[M+H+]	512,3952	8940	TeBA
									468,4048	1506	
30	n.r.	M322T193	322,0967	n.r.	$C_{17}H_{13}ClN_5$	4,9	64,8	[M+H+]	102,1282	11546	NpMar,
									194,1180	7362	TeBA
									226,9502	2306	

Legenda: Os dados moleculares foram obtidos no *software* da Bruker e a identificação dos metabólitos foi realizada através de bibliotecas *on-line*. Gc= *Geodia corticostylifera*, Hc= *Hymeniacidon caerulea*, Hh= *Hymeniacidon heliophila*, Hy= *Rhaphidostyla* sp. nov., Np= *Neopetrosia carbonaria*, Te= *Terpios fugax*, To= *Topsentia* sp. nov., BA= Bahia, CE= Ceará, FN= Fernando de Noronha, MAR= Martinica, RJ= Rio de Janeiro, i= inverno, v= verão. Fonte: O autor, 2019.

As diferenças dentro e entre os grupos citadas acima ficam ainda mais claras quando se observa o mapa de calor de amostras por íons (Figura 44). Neste caso, ainda mais grupos foram formados, pois a intensidade dos metabólitos em cada amostra foi levada em consideração e não só a presença ou ausência, como no agrupamento anterior. Assim, sete grupos foram formados para as amostras e cinco para os íons classificados como VIPs.

Olhando para os agrupamentos formados nas amostras, o 1° grupo foi formado por indivíduos de *H. heliophila*, o 2° *Topsentia* sp. nov. do Brasil, o 3° *T. fugax* do Brasil, o 4° *N. carbonaria* e *H. caerulea* da Martinica, o 5° *G. corticostylifera*, o 6° *T. ophiraphidites* e as *Geodia* sp. 1 e sp. 2, as demais amostras formaram o 7° grupo. Neste último grupo, destaca-se a presença de um íon muito forte nas amostras de *Rhaphidostyla* sp. nov. Por outro lado, *A. atlantica* e *D. reticulatum* não possuem nenhum VIP com alta intensidade e, assim como *Halichondria melanadocia* do Brasil, não possuem nenhum íon específico. Os grupos de VIPs, íons com alta intensidade, teve o primeiro grupo destinado para as amostras de *H. heliophila*, o segundo para as de *Topsentia* sp. nov. do Brasil, o terceiro para as amostras de *N. carbonaria*, *H.caerulea* da Martinica e *T. fugax* do Brasil, o quarto grupo para *T. ophiraphidites* e as espécies de *Geodia* e o quinto grupo, exclusivamente para os compostos com com alta intensidade encontrados nas amostras de *G. corticostylifera*.

## 4.4.3 Visualização e interpretação metabólica por redes moleculares

A visualização dos íons e suas relações foram realizadas no programa Cytoscape, mas apenas 14 íons foram identificados a partir de dados já conhecidos. Um total de 18 redes metabólicas foi observado com quatro grandes famílias de compostos identificadas (Figura 45). A primeira rede metabólica foi praticamente específica para as amostras de *Topsentia* sp. nov. do Brasil (cor roxa) composta por esteróis aminosulfatados. A segunda rede contém basicamente amostras de *Hymeniacidon heliophila* (cor laranja) composta por fosfocolina, um fosfolipídeo ligado por uma ponte tipo fosfodiéster a uma base nitrogenada. A terceira rede é formada por glicolipídeos, preferencialmente em amostras de *Terpios fugax* da Bahia (cor azul escuro) e *N. carbonaria* e *H. caerulea* da Martinica (cor verde e azul claro, respectivamente). Por fim, a quarta rede metabólica é específica para amostras de *G. corticostylifera* composta por substâncias halogenadas, especialmente compostos clorados e

bromados. Nesta rede foi encontrada a família de alcalóides Geodiamolídeo, os quais possuem atividade citotóxica, previamente identificada nesta espécie.

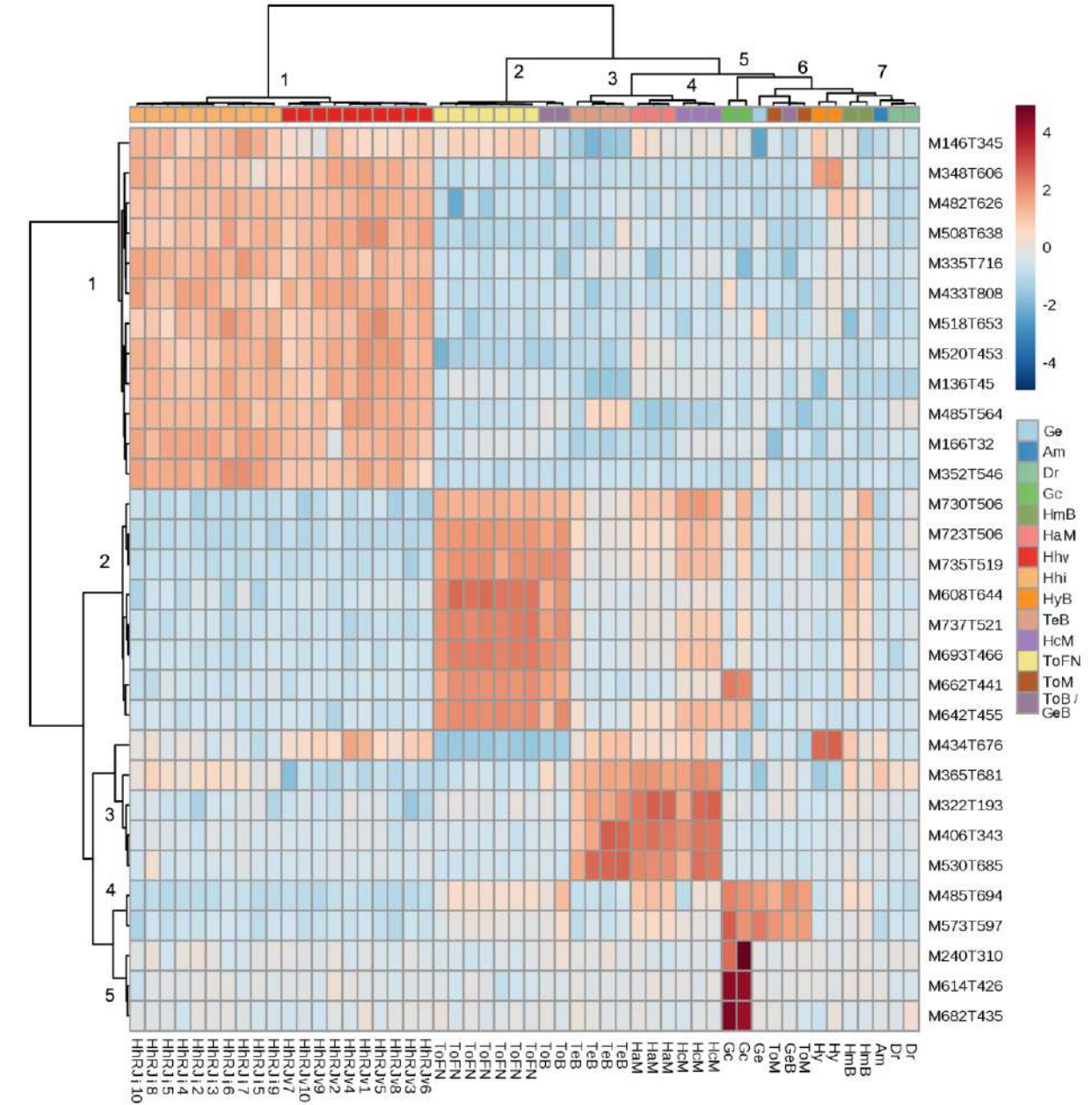


Figura 44 – Mapa de calor indicando a ordenação das espécies frente a intensidade dos metabólitos VIP.

Legenda: A coloração varia de acordo com a intensidade, onde 4 é muito intenso e -4 pouco intenso. Legenda: Am- Amorphinopsis atlantica, Hm- Halichondria melanadocia, Hc- Hymeniacidon caerulea, Hhi- H. heliophila inverno, Hhv- H. heliophila verão, Hy- Rhaphidostyla sp. nov., Te- T. fugax, To- Topsentia sp. nov. (Fernando de Noronha, Ceará e Bahia), To- Topsentia ophiraphidites (Martinica), Mar-Martinica, FN- Fernando de Noronha, CE- Ceará, BA- Bahia, RJ- Rio de Janeiro. Grupos externos Dr- Dragmacidon reticulatum, Gc- Geodia corticostylifera, Ge- Geodia sp.1, GeB- Geodia sp.2, Nc-Neopetrosia carbonaria.

Fonte: O autor, 2019.

Figura 45 – Redes metabólicas com famílias de compostos específicas obtidas a partir de fragmentos de íons precursores em análise em tandem e suas prováveis fórmulas moleculares, à direita. (continua) Number\* Compounds Fosfocolinas Esteróis C30H53NO12S3 2\* C30H57NO12S3 aminosulfatados C30H55NO12S3

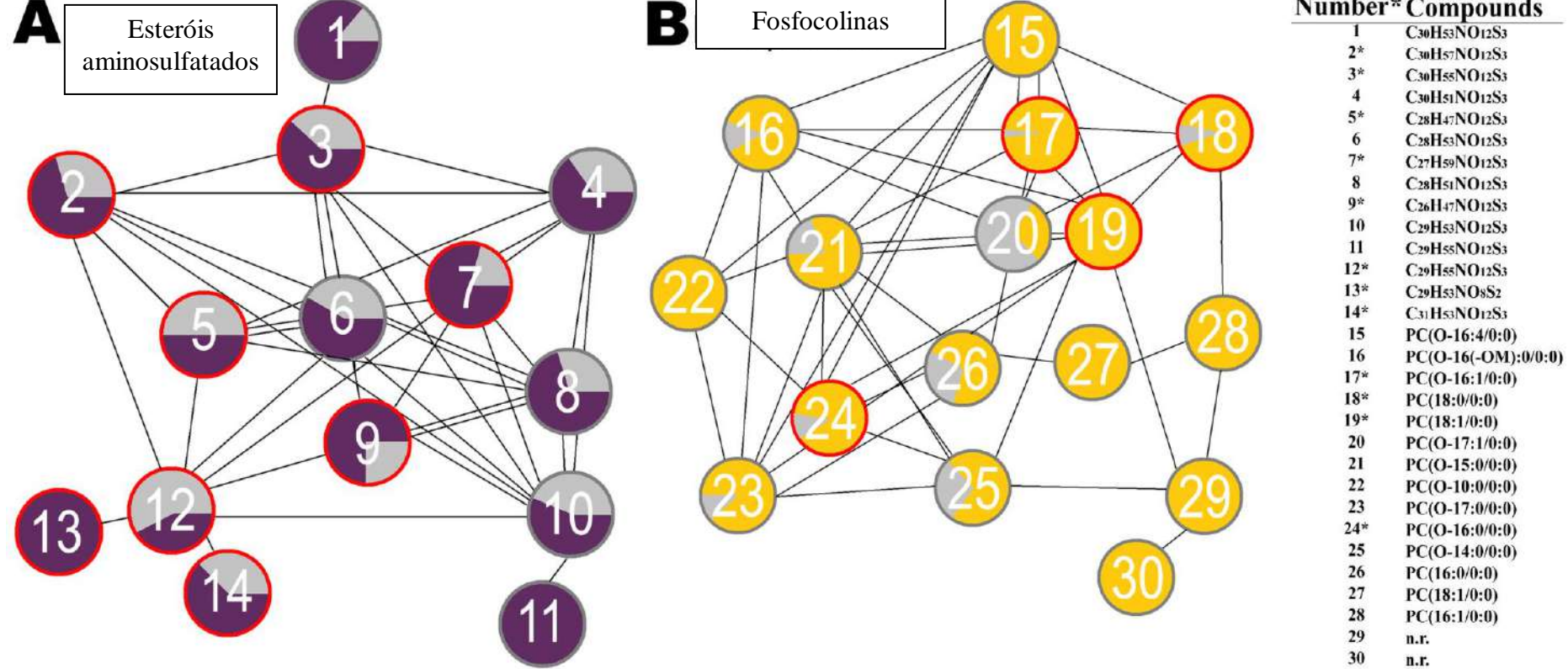
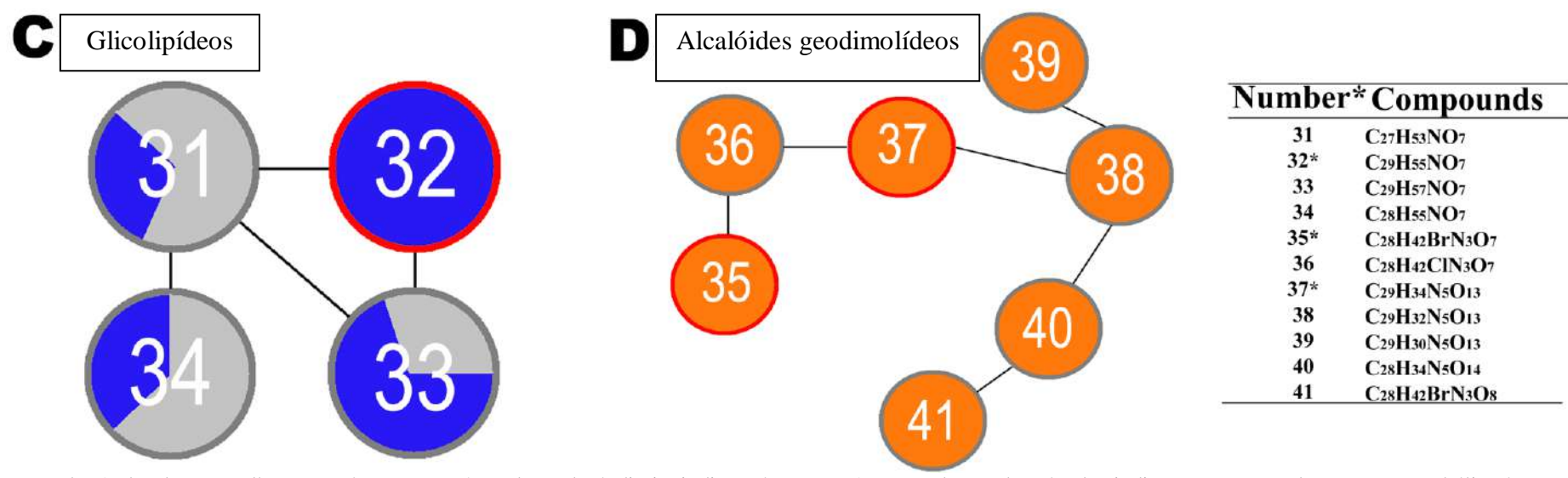


Figura 45 – Redes metabólicas com famílias de compostos específicas obtidas a partir de fragmentos de íons precursores em análise em tandem e suas prováveis fórmulas moleculares, à direita. (conclusão)



Legenda: As bordas vermelhas e os números com \* nas legendas à direita indicam íons VIP. As cores dentro dos círculos indicam o percentual em que o metabólito é expresso nas diferentes espécies, sendo a cor cinza aquela que representa outras espécies além de A) *Topsentia* sp. nov. (esteróis aminosulfatados), B) *Hymeniacidon heliophila* (fosfocolinas), C) *Terpios fugax* (glicolipídeos), D) *Geodia corcostylifera* (alcalóides do tipo geodiamolídeo). Fonte: O autor, 2019.

## 4.4.4 Toxicidade dos metabólitos pelo teste de Microtox®

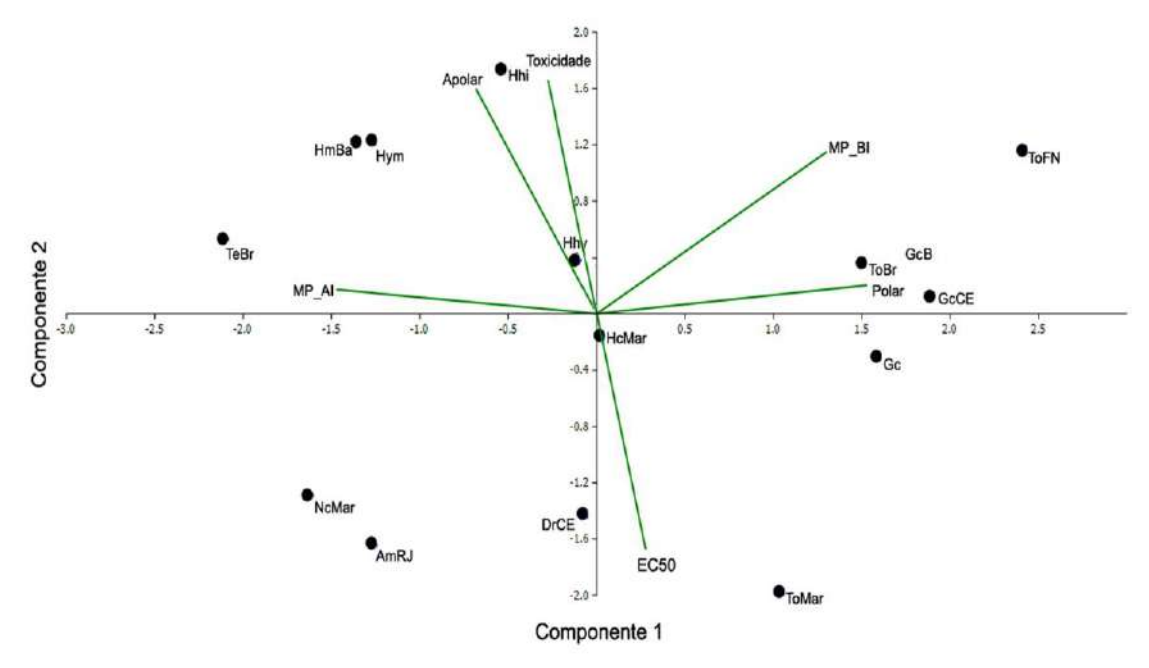
As amostras do Brasil foram mais efetivas contra a bactéria *Aliivibrio fischeri* do que as da Martinica (teste t de Student). Entretanto, apenas as amostras de *Terpios fugax* e *Halichondria melanadocia*, ambas da Bahia, obtiveram alta eficácia contra a cepa bacteriana (ΕC<sub>50</sub>= 8,6 e 8,8 μg.mL<sup>-1</sup>, respectivamente). As espécies que normalmente sofre com epibiose, como *Geodia* sp.1, *Amorphinopsis atlantica* e *Topsentia ophiraphidites*, por exemplo, não apresentaram nenhum sinal de potencial tóxico desde as amostras da Martinica até o Rio de Janeiro.

Apesar da toxicidade não ter sido alta nos gêneros *Hymeniacidon* e *Topsentia*, diferenças intraespecíficas e interespecíficas foram observadas. As amostras de *Topsentia* sp. nov. de Fernando de Noronha ( $EC_{50}=130,4~\mu g.mL^{-1}$ ) foram significativamente mais tóxicas (p= 0,031) do que as do litoral brasileiro ( $EC_{50}=212,1~\mu g.mL^{-1}$ ) e da Martinica ( $EC_{50}=408,6~\mu g.mL^{-1}$ ). Tanto as amostras de *Hymeniacidon heliophila* quanto as de *H. caerulea* apresentaram uma média de  $EC_{50}=150,0~\mu g.mL^{-1}$ . Ao se comparar as toxicidades dos compostos químicos dentro de uma mesma população de *H. heliophila*, uma diferença significativa foi observada (p= 0,013), com as amostras do inverno sendo mais tóxicas do que as do verão.

No quadrante esquerdo superior da Figura 46 notam-se as amostras e o grau de polaridade dos compostos que explicam as maiores toxicidades encontradas neste estudo. As amostras mais tóxicas são referentes a compostos apolares (após 13 minutos) e todos exemplares com maior potencial tóxico são do Brasil. Os compostos apolares foram mais relacionados com as amostras de *H. heliophila*, *Rhaphidostyla* sp. e *H. melanadocia*, enquanto as amostras de *T. fugax* se relacionaram mais com os compostos de média polaridade de alta intensidade. Já no quadrante superior da direita, os compostos de *Topsentia* spp. do Brasil e *G. corticostylifera* do Ceará parecem apresentar mais compostos polares. Nenhuma espécie se relacionou fortemente com os compostos de média polaridade de baixa intensidade. No quadrante inferior da direita, *Geodia* sp.1 se mostrou próxima dos compostos polares, enquanto *T. ophiraphidites* da Martinica foi a amostra com maior EC<sub>50</sub>. Por fim, no quadrante inferior da esquerda, *A. atlantica*, *H. caerulea*, *N. carbonaria* e *D. reticulatum* não se relacionaram positivamente com nenhum grau de polaridade e não apresentaram altos valores de toxicidade.

Tanto na PCA quanto no cromatograma de *H. heliophila*, houve diferença entre as amostras do verão e do inverno. No inverno, os compostos apolares parecem ser mais intensos do que nas amostras do verão. Este maior número de compostos apolares é o que faz as amostras do inverno serem significativamente mais tóxicas do que as do verão.

Figura 46 – Resposta ecotoxicológicadas esponjas e dos graus de polaridade dos metabólitos frente à bactéria *Aliivibrio fischeri*.



Legenda: Am- Amorphinopsis atlantica, Hm- Halichondria melanadocia, Hc- Hymeniacidon caerulea, Hhi- H. heliophila inverno, Hhv- H. heliophila verão, Hy- Rhaphidostyla sp. nov., Te- T. fugax, To- Topsentia sp. nov. (Fernando de Noronha, Ceará e Bahia), To- Topsentia ophiraphidites (Martinica), Mar-Martinica, FN- Fernando de Noronha, CE- Ceará, BA- Bahia, RJ- Rio de Janeiro. Grupos externos Dr- Dragmacidon reticulatum, Gc- Geodia corticostylifera, Gc- Geodia sp.1, GcB- Geodia sp.2 Brasil, Nc- Neopetrosia carbonaria. MP\_AI- média polaridade de alta intensidade e MP\_BI- média polaridade de baixa intensidade.

Fonte: O autor, 2019.

### 4.5 Discussão

Neste capítulo, as assinaturas químicas de diferentes espécies de esponjas foram avaliadas com o objetivo de evidenciar a diversidade química dos organismos, assim como testar se essa diversidade se distingue entre táxons e, consequentemente, testar se a metabolômica pode ser uma boa ferramenta de auxílio na taxonomia das esponjas da ordem Suberitida. Esta abordagem preterida nos primeiros anos de desenvolvimento da metabolômica, possivelmente porque a taxonomia não tem o mesmo *glamour* do que as áreas

industriais. Quando a metabolômica foi criada, diversas aplicações foram imaginadas, tais como a previsão de novas vias metabólicas, o aumento da produção de metabólitos em vias bioquímicas importantes usando a engenharia química, a investigação dos efeitos biológicos em interações interespecíficase aavaliação química entre organismos (FIEHN, 2002). Hoje, com o desenvolvimento de técnicas de análise robustas, como HPLC/MS e RMN, a discriminação de táxons é possível quando se comparam dados morfológicos com dados químicos.

Historicamente, o potencial químico do filo Porifera tem sido investigado com o objetivo de elucidar compostos com potencial bioativo, olhando especificamente para alguns grupos de substâncias, como esteróis (DE ROSA et al., 1973; MINALE e SODANO, 1974; FUSETANI et al., 1981), alcalóides (OH et al., 2006; LAVILLE et al., 2009) e mais recentemente terpenóides (NAKAMURA et al., 1984; CARLETTI et al., 2003; WEGERSKI et al., 2006; OHNO et al., 2011). Apesar de este tipo de estudo ter permitido inclusive a identificação de alguns compostos com potencial quimiossistemático (BERGQUIST et al., 1991a; VAN SOEST et al., 1996; DÍAZ-MARRERO et al., 2004), eles não demonstram a real diversidade de compostos existentes do filo, uma vez que focam em uma pequena parcela da diversidade e, normalmente, em picos representados por compostos majoritários. De forma distinta, a metabolômica permite uma visão global do conjunto de substâncias químicas presentenos indivíduos. Atráves da utilização dos perfis químicos, diferenças desde o nível de ordem até o nível de espécie foram identificadas e,embora pouca variação tenha sido registrada nos picos de alta intensidade, a metabolômica cumpriu a sua função, pois foi eficiente ao elucidar os detalhes químicos de cada espécime.

A alta diversidade de metabólitos encontrados neste estudo entra em concordância com observações pretéritas de que as esponjas representam uma fonte rica de metabólitos com uma diversidade e potencial bioativo notável (KORNPROBST, 2005; BLUNT *et al.*, 2016). Embora a identificação de compostos bioativos seja fundamental para entender a função dos metabólitos e a evolução das espécies, uma visão global permite conhecer a diversidade química de um organismo (FIEHN, 2002), indicando como este organismo está respondendo atualmente aos múltiplos fatores que atuam sobre ele, além de permitir a identificação de marcadores específicos para determinados grupos. Assim, a metabolômica ganha força nos dias atuais, pois é uma ferramenta viável para os mais diversos tipos de estudos químicos, ecológicos, sistemáticos e evolutivos.

Com o objetivo de evidenciar a diversidade total de metabólitos expressos por um indivíduo, a abordagem de metabolômica global foi capaz de elucidar não só metabólitos

primários e especializados oriundos das esponjas, como também poluentes derivados da produção de plásticos em todas as esponjas, como o di(2-etilhexil) ftalato, o acetiltributilcitrato e o tributilcitrato, comumente utilizados como aditivos na produção de cloreto de polivinil, o PVC (HAUSER e CALAFAT, 2005). Destes compostos, o DEHP é o mais tóxico, apresentando solubilidade na água do mar entre 1,16 mg/L e 0,16 mg/L (GIAM et al., 1980; HOWARD et al., 1985) e afetando juvenis do peixe Clarias gariepinus Burchell, 1822 com 80 μg/L de forma subletal (IKELE et al., 2016). O TBC e o ATBC são substitutos do DEHP e são capazes de produzir diarréia em ratos quando expostos em altas concentrações (FINKELSTEIN e GOLD, 1959). Estes compostos foram significativamente menos tóxicos do que o DEHP em um experimento de longa exposição realizado para avaliar os seus efeitos contra a fecundidade do peixe zebra Danio rerio (Hamilton-Buchanan, 1822) (MUHAMMED et al., 2018). Apesar de poucos estudos terem mostrado a presença e o efeito de microplásticosem poríferos (BAIRD, 2016; KARLSSON et al., 2017), a contaminação de esponjas marinhas por bifenilpoliclorado (PCB, em inglês) é conhecida há pelo menos duas décadas (Pérez et al., 2003). Assim como os demais poluentes, o PCB também pode ser utilizado como plastificante. A alta intensidade de DEHP, TBC e ATBC em todas espécies aqui estudadas indicam a necessidade urgente de estudos na área. Assim, a metabolômica prova ser uma ferramenta pronta para ser aplicada tanto na identificação de compostos produzidos pelas espécies, mas também como forma de detecção de poluentes.

As diferenças observadas nos perfis químicos para espécies da classe Demospongiae neste estudo seguem o que foi demonstrado para a ordem Verongiida, na qual duas novas espécies de *Hexadella* foram identificadas, por meio de perfis químicos (REVEILLAUD *et al.*, 2012). Os autores deste estudo, inclusive, adicionaram as características metabólicas na chave de identificação das espécies. Atualmente, a classe Homoscleromorpha é a que apresenta mais e melhores resultados na questão da utilização das assinaturas químicas como uma ferramenta adicional à taxonomia de Porifera, muito porque este grupo possui poucos caracteres morfológicos, sendo alguns gêneros representados pela ausência de esqueleto. Sendo assim, os espongólogos precisam criar mecanismos para encontrar caracteres sinapomórficos para descrever as espécies. Em Homoscleromorpha, diversos estudos com diferentes espécies e em distintas localidades já foram capazes de elucidar diferenças específicas quanto aos caracteres metabólicos, os quais corroboram alguns caracteres morfológicos e filogenéticos (IVANISEVIC *et al.*, 2011a; PÉREZ *et al.*, 2011; RUÍZ *et al.*, 2014). Sendo assim, é possível que a metabolômica auxilie na taxonomia de diferentes grupos de esponjas, mesmo aqueles que já possuem alguns caracteres morfológicos com sinal

filogenético. Exemplos positivos com diferentes grupos de difícil classificação já foram evidenciados, como no Reino Plantae, onde a identificação baseada em perfis químicos em nível de gênero corroborou dados filogenéticos e alguns marcadores químicos foram elucidados para diferentes gêneros da tribo Vernonieae (GALLON et al., 2018). Dois morfotipos do coral Parazoanthus axinellae (Schmidt, 1862) mostraram ter uma grande diferenciação química, corroborando a identificação morfológica (CACHET et al., 2015). Porém, o marcador mitocondrial COX1 não foi capaz de evidenciar nenhum suporte filogenético para diferenciar estes morfotipos. O mesmo problema foi evidenciado em um estudo recente com esponjas (RUÍZ, 2017), onde os VIPs foram identificados, mas o agrupamento hierárquico com as análises metabolômicas para a família Plakinidae não corroboraram as relações genéticas entre os gêneros. Por outro lado, no mesmo estudo, distinções entre os gêneros na família Oscarellidae foram observadas. Antes dos estudos de metabolômica, Erpenbeck e van Soest (2007) criticaram duramente a utilização de compostos químicos na sistemática. Porém, após os avanços na obtenção e interpretação dos dados de metabolômica, a utilização desta ferramenta na taxonomia integrativa parece trazer mais benefícios do que malefícios na sistemática do filo.

No presente estudo, a diferença na composição química das espécies foi maior do que a diferença geográfica, uma vez que não foram observados VIPs metabólicos com altas intensidades em uma população e ausência em outra. A principal diferença no nível taxonômico, em detrimento de caracteres sazonais ou geográficos, parece ser comum no Filo Porifera, uma vez que este mesmo resultado já foi observado para duas espécies de Haliclona (REVERTER et al., 2018) e para a espécie Crambe crambe (Schmidt, 1862) (TERNON et al., 2017), ou seja, não houve evidência da produção de compostos específicos para diferentes regiões geográficas. Porém, generalizações não podem ser feitas, já o que os VIPs identificados nos perfis químicos de amostras da classe Homoscleromorpha do Mediterrâneo foram diferentes daqueles obtidos em amostras do Caribe (RUÍZ, 2017). Este resultado segue o observado em outros grupos (zoantídeos e actinobactérias) no Oceano Atlântico Ocidental, os quais apontaram que as diferenças químicas foram primeiramente referentes à distribuição geográfica e posteriormente às características taxonômicas (COSTA-LOTUFO et al., 2018; BAUERMEISTER et al., 2018). Isso mostra que o metabolismo é variável de acordo com o ambiente, mas que grande parte do metaboloma se mantém constante e as diferenças em níveis hierárquicos mais baixos podem ser evidenciados, auxiliando na taxonomia.

A abordagem global utilizada aqui evidenciou metabólitos mais específicos para determinado grupo do que para outro, permitindo a separação de espécies, inicialmente

coletadas como se tratando de uma só espécie, como por exemplo os morfotipos azuis (Terpios fugax e Hymeniacidon caerulea) os morfotipos verde musgo ou preto (Halichondria melanadocia e Neopetrosia carbonaria) e Topsentia spp. Essas diferenciações somente foram possíveis devido ao desenvolvimento de técnicas analíticas de fragmentação dos íons, as análises estatísticas, principalmente as multivariadas, e as redes de metabólitos. Assim como estas técnicas foram capazes de mostrar diferenças em um estudo taxonômico, elas também têm sido empregadas com sucesso em trabalhos com diferentes propósitos. As influências ambientais e taxonômicas foram avaliadas e claramente observadas em um estudo realizado na região costeira do Brasil com os zoantídeos *Palythoa* (COSTA-LOTUFO et al., 2018). Por sua vez, alguns autores evidenciaram que o fluxograma metodológico seguindo essas técnicas permite a descoberta mais rápida de metabólitos bioativos com potencial medicinal (OLIVON et al., 2017b; QUINN et al., 2017; NOTHIAS et al., 2018; VELENOSI et al., 2019). E, de forma mais teórica, Allard e colaboradores (2016) mostraram que a integração entre essas ferramentas otimiza o fluxograma experimental, inclusive com a adição de outras técnicas, como MS/MS in-silico e Olivon et al. (2017c) apontam que um pré-processamento utilizando o programa MZ-Mine2 aumenta as chances de obter uma rede metabólica mais realista. Apesar da combinação destas ferramentas ter sido fundamental para filtrar e elucidar as principais características químicas presentes nas amostras analisadas neste estudo, o desenvolvimento de análises mais robustas, a padronização nas configurações dos programas e o desenvolvimento de uma biblioteca de metabólitos de Porifera ainda são requeridas na área para que comparações, neste grupo, possam ser realizadas em nível mundial.

Os esteróis e os alcalóides são os principais grupos de substâncias químicas encontradas nos representantes de Suberitida. Adicionalmente, os lipídeos foram comuns nas nossas amostras o que difere do conhecido na literatura (KORNPROBST, 2005). Assim, pode-se dizer que a metabolômica foi uma ferramenta importante na detecção destes compostos tão comuns e abundantes no metabolismo primário e secundário de animais.

As estruturas aminosulfatadas aqui identificadas, quase que exclusivamente, para os espécimes de *Topsentia* sp. nov. de Fernando de Noronha são compostos muito diferentes dos observados nas esponjas até o momento (KORNPROBST, 2005). Alguns exemplos de compostos aminosulfatados encontrados em esponjas são os alcalóide tauroacidina (ex. *Hymeniacidon* spp.) e dercitamida (ex. *Negombata magnifica* (Keller, 1889)), o macrolídeo latrunculina B (ex. Latrunculiidae), benzotiazol (ex. *Tedania ignis* (Duchassaing & Michelotti, 1864)) e hipotaurociamina (*Agelas* sp.), porém ophirapstanol trisulfato é o único esterol aminosulfatado já isolado em uma esponja (*Topsentia* sp., GUNASEKERA *et al.*,

1994). Hipotauriamina e tauroacidina são provenientes de classes de compostos consideradas com potencial quimiossistemático (ERPENBECK e VAN SOEST, 2007). Por outro lado, o alcalóide piridoacridina (dercitamida) e o benzotiazol provavelmente são de origem microbiana. Sendo assim, é possível que a classe de esterol aminosulfatado encontrado em *Topsentia* sp. nov. seja proveniente tanto de origem animal quanto microbiana.

Alguns esteróis sulfatados (ex., halistanol) já foram descritos para a família Halichondriidae (FUSETANI et al., 1988; KANAZAWA et al., 1992) e para o próprio gênero Topsentia (MCKEE et al., 1993), porém nenhum deles possui moléculas de nitrogênio em combinação com o esterol sulfatado. Este esterol não aminado possui atividade citotóxica e antibacteriana em Petromica citrina Muricy, Hajdu, Minervino, Madeira & Peixinho, 2001, podendo ser um composto medicinal alternativo, uma vez que os microrganismos têm se mostrado resistentes às drogas comumente utilizadas (MARINHO et al., 2012). Mais recentemente, os halistanóis sulfatados isolados de Halichondria sp. do Japão demostraram ter atividade contra as SIRT 1-3 (NAKAMURA, 2018), sirtuínas que parecem estar relacionadas no silenciamento de genes e envolvidas na preservação de tecidos (YAMAMOTO et al., 2007; DONMEZ et al., 2010). Apesar de vários testes ainda serem necessários, é possível que esta classe de esteróis seja útil no tratamento de doenças citotóxicas.

Em Porifera, as únicas estruturas combinandoao menos uma molécula de nitrogênio e enxofre foram identificadas para o gênero Polymastia, como polymastiamida (KONG e ANDERSEN, 1993), Lamellodysidea, como peptídeos dysidenina e derivados, mas este possui também moléculas de cloro (KAZLAUSKAS et al., 1977) e Amorphinopsis e Axinyssa, como as axisonitrilas sesquiterpenoídicas aminosulfatadas (WEGERSKI et al., 2006). Apesar de cada uma destas substâncias ser de uma classe de compostos diferente, inclusive as encontradas em Topsentia, todos os gêneros mencionados possuem relação íntima com microrganismos, os quais podem ser os reais produtores destes compostos aminosulfatados. Esta hipótese pode ser corroborada junto ao trabalho desenvolvido por Flatt e colaboradores (2005), onde os autores evidenciaram a presença dos peptídeos contendo nitrogênio, enxofre e cloro tanto na esponja Lamellodysidea herbacea (Keller, 1889) quanto na cianobactéria simbionte Oscillatoria spongeliae Schulze ex Gomont, 1892. De qualquer forma, este tipo de estrutura é único no filo Porifera (e seus simbiontes) e por isso merece ser estudo mais profundamente. Neste caso, o metabólito já foi reconhecido e por isso a técnica de metabolômica com alvo deve ser aplicada em combinação com a técnica de RMN. Além disso, estudos para determinar a diversidade da comunidade bacteriana nas esponjas de Fernando de Noronha, assim como extrações químicas dos principais grupos devem realizadas para identificar qual organismo produz tais esteróis.

Os lipídeos, por sua vez, são substâncias comuns aos seres vivos e geralmente são representados por pequenas moléculas formadas por carbono, hidrogênio e oxigênio que podem se diluir ou não em solução aquosa. Outros tipos de lipídeos podem conter fósforo, nitrogênio e enxofre. A estrutura não usual da camada fosfolipídica nas membranas celulares das esponjas pode ser uma das chaves para o sucesso adaptativo deste grupo aos mais distintos habitats aquáticos (DJERASSI e LAM, 1991), porém nenhuma evidência foi trazida a luz até o momento (GENIN et al., 2008). Contendo fósforo e nitrogênio, por exemplo, encontramos neste estudo as fosfocolinas que são moléculas intermediárias na síntese dos fosfolipídeos e são encontradas exclusivamente em células animais. As fosfocolinas foram identificadas majoritariamente para as amostras de Hymeniacidon heliophila do Rio de Janeiro, enquanto os glicolipídeos foram encontrados em amostras de Terpios, Halichondria e Hymeniacidon. Alguns trabalhos mostraram que as fosfocolinas podem ser os principais tipos de fosfolipídeos em esponjas (CARBALLEIRA et al., 1989; CARBALLEIRA e REYES, 1990; CARBALLEIRA e SHALABI, 1990). Estes lipídeos podem estar amplamente distribuídos em animais marinhos, atuando em diversas funções biológicas, principalmente em mecanismos de defesa adaptativa. Os fosfolipídeos, por exemplo, podem ser produzidos como moléculas de defesa contra reações inflamatórias em mamíferos (ZIMMERMANN et al., 1992), enquanto na esponja Suberites domuncula, as substâncias de fator ativador de plaquetas (em inglês, lyso-PAF) impediram o crescimento epibionte e controlaram o crescimento bacteriano (MÜLLER et al., 2004). As lyso-PAF encontradas na esponja Spirastrella abata são capazes de inibir a via metabólica do colesterol (SHIN et al., 1999) e impedir o desenvolvimento de células cancerígenas (ALAM et al., 2001). Os glicolipídeos são estruturas com longas cadeias que também possuem funções biológicas em esponjas marinhas. Até o momento, os glicoesfingolipídeos (GSL) podem apresentar forte atividade antitumoral e imunoestimulante (NATORI et al., 1993) e potencial antiinflamatório por inibir a produção de óxido nítrico (BORBONE et al., 2001). Mesmo com estas funções já identificadas, estudos específicos com os glicolipídeos ainda são necessários para evidenciar detalhadamente as funções biológicas realizadas por estes lipídeos em esponjas (COSTANTINO et al., 2010). Além disso, acredita-se que os glicolipídeos estejam envolvidos em processos de reconhecimento celular. Caso estes compostos tenham essa função, os glicolipídeos podem ser utilizados como marcadores moleculares taxonômicos, pois estes lipídeos se comportam de forma espécie-específica.

Os compostos apolares e os de média polaridade foram os principais responsáveis pelo aumento na toxicidade das amostras. Além disso, a toxicidade de amostras de acordo com a variação sazonal, mesmo dentro de um único ano, foi evidente para as amostras de Hymeniacidon heliophila. Ao contrário do observado na literatura, a toxicidade nesta espécie foi maior no período reprodutivo (inverno), quando geralmente a espécie evita gastar energia em defesa e aumenta o gasto energético em estratégias reprodutivas e crescimento dos descendentes (PEREIRA, 2009). Além disso, geralmente, os maiores valores de bioatividade em esponjas ocorre no verão ou outono (TURON et al., 1996, 2009; IVANISEVIC et al., 2011b), mas também já foram encontradas espécies com alta toxicidade no inverno e ausência de compostos tóxicos no verão (FERRETI et al., 2009). Apesar de nenhum metabólito ter sido identificado como bioativo neste estudo, esta população de H. heliophila da praia de Itaipú, em Niterói (RJ) já é reconhecida pela produção de substâncias bioativas, uma vez que estudos com o extrato bruto desta população revelou propriedade antiincrustantes e defesa química contra predadores tropicais (RIBEIRO et al., 2010, 2012). Por isso, coletar amostras desta população temporalmente é fundamental para entender a real variação dos compostos químicos e tentar elucidar as vias metabólicas produtoras de substâncias bioativas e, se possível, sintetizar compostos com atividades medicinais.

Apesar das técnicas aqui empregadas não favorecerem a identificação dos compostos bioativos, a bioatividade de algumas amostras foram notadas tanto no gradiente temporal quanto no espacial, o que é importante quando não se conhece o potencial e a diversidade metabólica das espécies (MARTÍ et al., 2003). O estudo sobre a variação intraespecífica na produção de compostos químicos é, até hoje, de grande interesse na área da Ecologia Química, porque é nesse nível de estudo que podem ser elucidadas respostas evolutivas (HAY, 1996). Variações na bioatividade de organismos marinhos ao longo de um gradiente latitudinal são comuns devido às especificidades locais, seja competição e predação ou disponibilidade de nutriente e luz. Embora haja diferença na bioatividade de compostos de uma mesma espécie em grandes zonas latitudinais (BAKUS e GREEN, 1974), esta diferença não é necessariamente estatística, quando se trata o dado metabólico globalmente (MCCLINTOCK, 1987; BECERRO et al., 2003; GREFF et al., 2017). Assim, a evidência de maior bioatividade em amostras do Brasil em relação às da Martinica a partir das análises com o Microtox contrapõem a Hipótese de Gradiente Latitudinal. Em paralelo às análises de metabolômica, o teste de bioatividade por Microtox parece ser uma boa ferramenta comparativa, permitindo a detecção de possíveis mudanças intra e interpopulacional, seja quanto a diversidade metabólica ou seu potencial bioativo.

## 5 FILOGENIA E SISTEMÁTICA MOLECULAR DA ORDEM SUBERITIDA

## 5.1 Introdução

A filogenia é um ramo da biologia que visa reconstruir a história evolutiva dos grupos a partir de relações de parentesco entre táxons. Assim, um grupo monofilético é aquele que compartilha um ancestral comum mais recente entre dois táxons do mesmo nível de classificação (BIGELOW, 1956), enquanto qualquer táxon que não compartilhe um ancestral comum mais recente é considerado um grupo merofilético e não deve ser considerado um grupo natural (BERNARDI, 1981). As diferenças moleculares obtidas nas filogenias podem ser utilizadas para adicionar suporte e resolução às sinapomorfias sugeridas na taxonomia alfa, por meio da sistemática molecular (LÔBO-HAJDU, 2006). Estas ferramentas devem ser aplicadas juntas para melhorara compreensão de grupos que apresentam poucos caracteres diagnósticos.

As características morfológicas são muitas vezes consideradas como pouco informativas, pois geralmente são anotadas como presença e ausência, o que pode subestimar a função destes caracteres, uma vez que eles estão sujeitos à convergência e paralelismo (JENNER, 2004). Por outro lado, dados moleculares são capazes de inferir diferenças tanto em nível intraespecífico quanto interespecífico, por meio da sistemática molecular. Porém, eles também estão propensos a problemas, como a convergência de ramos longos, a qual pode ser observada em filogenias reconstruídas com grupos distantemente relacionados, gerando uma interpretação errônea sobre o grupo avaliado (HILLIS e WIENS, 2000). Fato é que qualquer metodologia apresenta prós e contras, por isso o que deve ser considerado na sistemática molecular é se a técnica utilizada esta de acordo com a pergunta realizada, pois só assim os resultados indicarão caminhos verdadeiros acerca da filogenia do grupo (ver HILLIS et al., 1996). Por isso, para cada tipo de estudo é necessário empregar marcadores moleculares com taxas de mutação maiores ou menores de acordo com o problema em questão (MORITZ e HILLIS, 1996).

A inferência evolutiva do marcador nuclear 28S é relativamente bem suportada em Porifera. Este marcador possui sinal filogenético e por isso é um dos mais utilizados em reconstruções filogenéticas no filo, constituindo uma grande base de dados comparativa. Um ponto negativo nos estudos filogenéticos com 28S é que cada grupo de pesquisa utiliza um

fragmento do gene distinto, limitando a comparação. Para resolver este problema, é necessária a utilização de espécimes contendo o gene completo sequenciado, assim a comparação se torna possível. Além disso, o 28S tem demonstrado ambiguidade na classe Demospongiae, sugerindo assim uma evolução diferenciada do marcador (DE PAULA 2013). Por este motivo, BORCHIELLINI *et al.* (2000) sugeriram que a região D1-D2 fosse utilizada para recuperar relações interespecíficas, enquanto o nível D3-D5 seja aplicado em estudos no nível de família devido ao seu maior grau de conservação.

O espaçador interno transcrito ITS ("internal transcribed spacer") tem provado ser um bom marcador molecular, sendo capaz de elucidar a estrutura e a história evolutiva de grupos proximamente relacionados. Devido à alta taxa mutacional, este marcador tem sido mais utilizado em estudos de nível populacional. Porém, relações interespecíficas já foram demonstradas em esponjas marinhas de diferentes ordens, como Hymeniacidon Bowerbank, 1858 (Suberitida), Mycale Gray, 1867 (Poecilosclerida), Aplysina Nardo, 1834 (Verongida) e Geodia Lamarck, 1815 (Tetractinellida) (LÔBO-HAJDU et al., 2001, 2004). Outro benefício deste marcador é a possibilidade de observar a estrutura secundária do gene que pode ser considerada um fenótipo e, assim ser utilizada como uma estratégia molecular na separação de espécies. Estudos com fungos (RAMPERSAD, 2014) plantas medicinais (ZHANG et al., 2015), corais (GRAJALES et al., 2007), entre outros, já foram realizados neste sentido e mostraram um bom poder auxiliar à taxonomia alfa. Isto se dá porque a estrutura secundária do ITS2 possui padrões curtos e recorrentes no DNA (em inglês motifs) mais conservados, que facilitam a fixação de alinhamentos múltiplos, permitindo maior definição dos relacionamentos em níveis taxonômicos mais elevados do que o nível de gênero (KJER, 1995).

O 16S é um marcador mitocondrial conservado, pouco testado em estudos de filogenia no grupo Porifera e que apresenta resultados conflitantes. Até o momento, pode-se dizer que este marcador é capaz de evidenciar uma alta diversidade haplotípica, podendo ser uma opção para estudos de relações genéricas e específicas (LÓPEZ-LEGENTIL *et al.*, 2010; DE PAULA, 2013; VENTURA, 2014). Este marcador apresentou uma alta razão entre amostras amplificadas e sequenciadas de boa qualidade em estudos realizados com ordens de Porifera distantemente relacionadas, no Laboratório de Génetica Marinha da UERJ (DE PAULA, 2013; VENTURA, 2014, presente estudo).

O COX1 é um gene mitocondrial, mais variável do que o 16S, e amplamente utilizado em Porifera (WÖRHEIDE, 2006; WANG e LAVROV, 2007; LAVROV *et al.*, 2008; LÓPEZ-LEGENTIL e PAWLIK, 2009), permitindo grande grau de comparação. Porém, problemas

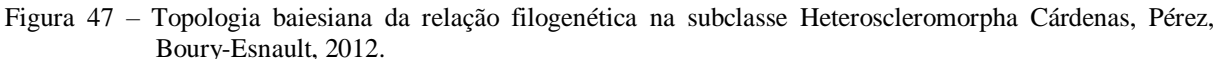
quanto a variabilidade do gene, que pode ser muito distinta dependendo dos grupos estudados (ver ERPENBECK *et al.*, 2006b; DE PAULA *et al.*, 2012) e a dificuldade técnica na amplificação das amostras (VARGAS *et al.*, 2012) são pontos negativos com relação a este marcador. Assim,aalta variabilidade deste gene pode minimizar o poder filogenético do marcador.

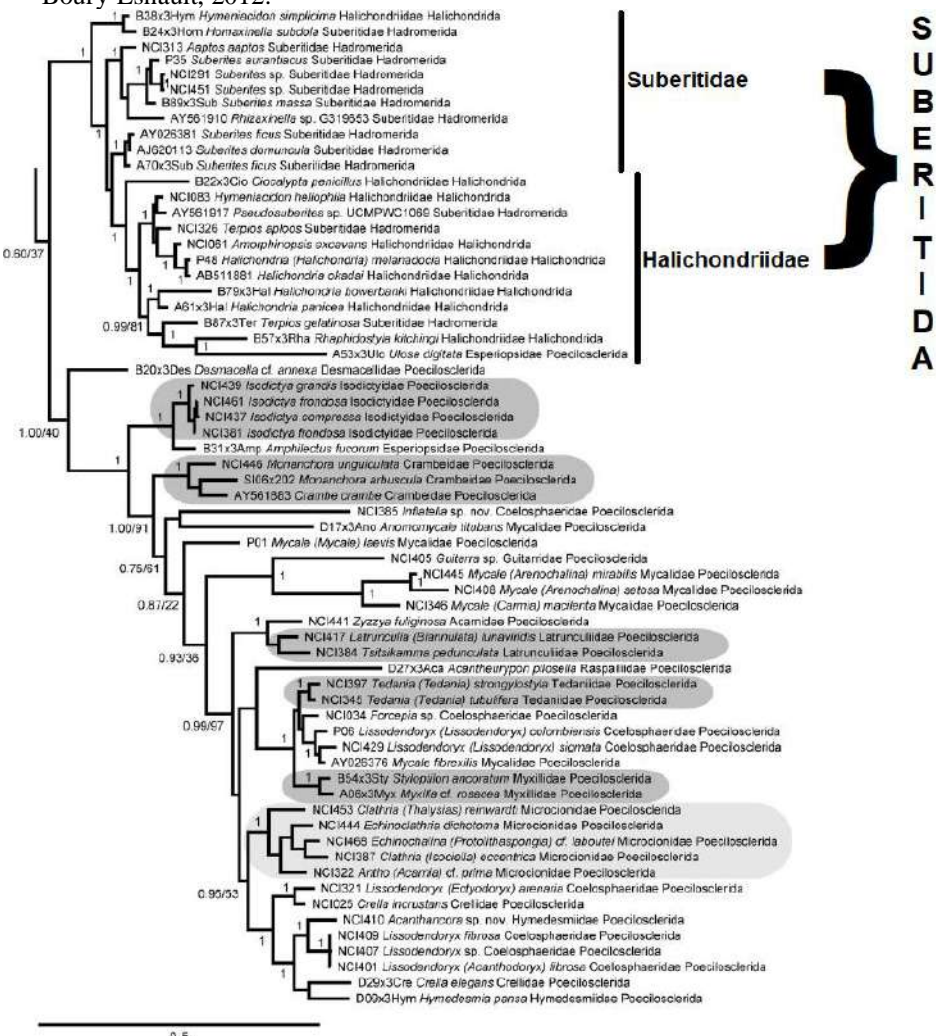
Por fim, o gene codificante para a subunidade II da citocromo c oxidase COX2 foi utilizado por ser um marcador mitocondrial com rápida substituição haplotípica, divergindo dos demais marcadores mitocondriais testados e mencionados acima. Pouquíssimos estudos com este marcador foram realizados com esponjas até o momento. No presente estudo, das sete amostras amplificadas, nenhuma foi sequenciada com sucesso, assim como no estudo realizado com o gênero *Mycale* por de Paula (2013).

Em Porifera, por exemplo, a sistemática molecular tem sido fundamental para a interpretação das relações entre os grupos. Mesmo assim, as reconstruções filogenéticas não corroboram as características fenotípicas, em alguns casos. "Lithistida", por exemplo, é caracterizada pela presença de espículas com alta concentração de sílica, as desmas, formando um esqueleto rígido (PISERA e LÉVI, 2002). Contudo, um recente estudo integrativo sugeriu que as desmas não parecem ter sinal filogenético (SCHUSTER *et al.*, 2015). Em Suberitida, diversos trabalhos não são capazes de relacionar as espécies de Halichondriidae em um grupo monofilético, seja utilizando dados morfológicos, genéticos ou químicos, em separados ou em conjunto (ERPENBECK *et al.*, 2006a,b, 2007, 2012).

Diversas relações dentro da ordem Suberitida ainda não foram devidamente compreendidas. Segundo a nova proposta de classificação de MORROW e CÁRDENAS (2015), esta ordem é considerada monofilética, mas suas maiores famílias não. A ordem é definida por poucos caracteres morfológicos e pela sinapomorfia molecular de uma deleção de um pequeno *loop* de 25 pares de base na região D2 do gene nuclear 28S (DNAr). Estes dados corroboram estudos filogenéticos prévios com o grupo, os quais conseguem agrupar as famílias Suberitidae e Halichondriidae (CHOMBARD e BOURY-ESNAULT, 1999; LAVROV *et al.*, 2008; MORROW *et al.*, 2012; REDMOND *et al.*, 2013; THACKER *et al.*, 2013). Porém, ao analisar as relações de parentesco nos níveis de gênero, muitas relações são dúbias, seja pela identificação prévia errada, seja pela necessidade de uma revisão em diversos gêneros que compõem as famílias Suberitidae e Halichondriidae. A Figura 47 expõe a polifilia nas famílias Suberitidae e Halichondriidae, assim como nos gêneros *Halichondria*, *Hymeniacidon, Suberites* e *Terpios*.

Diante de tantos benefícios que a sistemática molecular vem trazendo para a classificação de Porifera e, paralelamente, o grande número de relações filogenéticas ainda confusas, a melhor forma de estudar a taxonomia das esponjas parece ser através da integração das mais diversas ferramentas existentes. Dentro da ordem Suberitida ainda são necessários estudos específicos em níveis de família e gênero para que se possam compreender as relações filogenéticas dentro do grupo.





Legenda: Análise filogenética com o marcador nuclear 28S indica a Ordem Suberitida, representada pelas famílias Suberitidae e Halichondriidae e as demais ordens da subclasse Heteroscleromorpha. Fonte: Modificado de THACKER *et al.*, 2013, pelo autor, 2019.

## 5.2 Objetivos

## Objetivo geral:

 a) Reconstruir a filogenia da Ordem Suberitida a partir de amostras sequenciadas neste estudo e comparadas com outras já depositadas no GenBank.

## Objetivos específicos:

- a) Levantar hipóteses filogenéticas desde o nível de ordem até o nível de espécie, através da relação das espécies;
- b) Comparar o resultado das relações flogenéticas com quatro marcadores moleculares distintos;
- c) Testar a utilização da estrutura secundária do ITS2 na taxonomia;
- d) Comparar a história de relação filogenética com os resultados morfológicos e assinaturas químicas;
- e) Delimitar os grupos de Suberitida da forma integrativa e realista.

## 5.3 Material e Métodos

O processamento experimental das esponjas e o início da análise dos dados moleculares foram conduzidos no Laboratório de Genética Marinha (LGMar) da UERJ, cujas etapas principais são mostradas na Figura 48 e detalhadas nas seções abaixo. Os protocolos e as amostras utilizados nos experimentos são descritos em detalhes no Apêndices A e B.

## 5.3.1 Extração e quantificação dos ácidos nucleicos

O DNA genômico total das esponjas foi extraído de acordo com dois protocolos préestabelecidos por pesquisadores do LGMar (LÔBO-HAJDU *et al.*, 1999; SALGADO *et al.*, 2007; Anexo B): um utilizando tampão de lise contendo Hidrocloreto de Guanidina (GuHCl) e outro contendo Brometo de Cetil-Trimetil Amônio (CTAB). Brevemente, a descrição do protocolo consiste na reidratação da amostra em tris-HCl/EDTA, seguida da substituição deste solvente pelo tampão de lise. A amostra é macerada e incubada contendo proteinase K e β-mercaptoetanol. Inicia-se então um processo de remoção de qualquer matéria orgânica, exceto DNA a partir de centrifugação e utilização do solvente orgânico clorofórmio, isopropanol e etanol 70%. Por fim, a amostra é seca e ressuspendida em RNAse para quantificação dos ácidos nucleicos.

A quantificação do DNA foi feita por leitura da densidade ótica em espectrofotômetro de volumes reduzidos (Nanodrop<sup>TM</sup> 2000c, Thermo Scientific). A absorbância de ácidos nucleicos em 260 nm pode ser utilizada para estimar a sua concentração na amostra, uma vez que a uma concentração de 50  $\mu$ g/ml e a um comprimento de percurso de 1 cm, o DNA dupla fita tem absorbância (A<sub>260</sub>) igual a 1. A razão A<sub>260</sub>/A<sub>280</sub> é comumente utilizada para avaliar a contaminação de proteínas do DNA, ao passo que a razão A<sub>260</sub>/A<sub>230</sub> é um indicativo da presença de diversos contaminantes na amostra, tais como carboidratos, peptídeos, fenóis, ureia, ácido húmico e sais caotópicos, como o hidrocloreto de guanidina. Como diretriz, uma razão A<sub>260</sub>/A<sub>280</sub> com valores de 1,8 – 2,2 indicam um grau de pureza para proteínas tipicamente adequado para análise, enquanto que a razão A<sub>260</sub>/A<sub>230</sub> ideal deveria ser maior que 1,5 e idealmente próxima a 1,8.

Uma avaliação qualitativa do DNA foi feita por meio de eletroforese em gel de agarose a 0,8%, visualizados após incubação em brometo de etídeo a 0,5  $\mu$ g/ $\mu$ L (Anexo C). O protocolo se baseia na estimativa da concentração de DNA obtida por meio de uma corrida em um gel de Tris acetato/borato EDTA (por eletrovoltagem) e visualizado sob luz ultravioleta (UV) após coloração com brometo de etídio. A concentração final do DNA é avaliada pelos valores estabelecidos por Amos e Hoelzel (1991) modificado, seguindo de 1 - DNA não degradado até 6 - ausência de DNA.

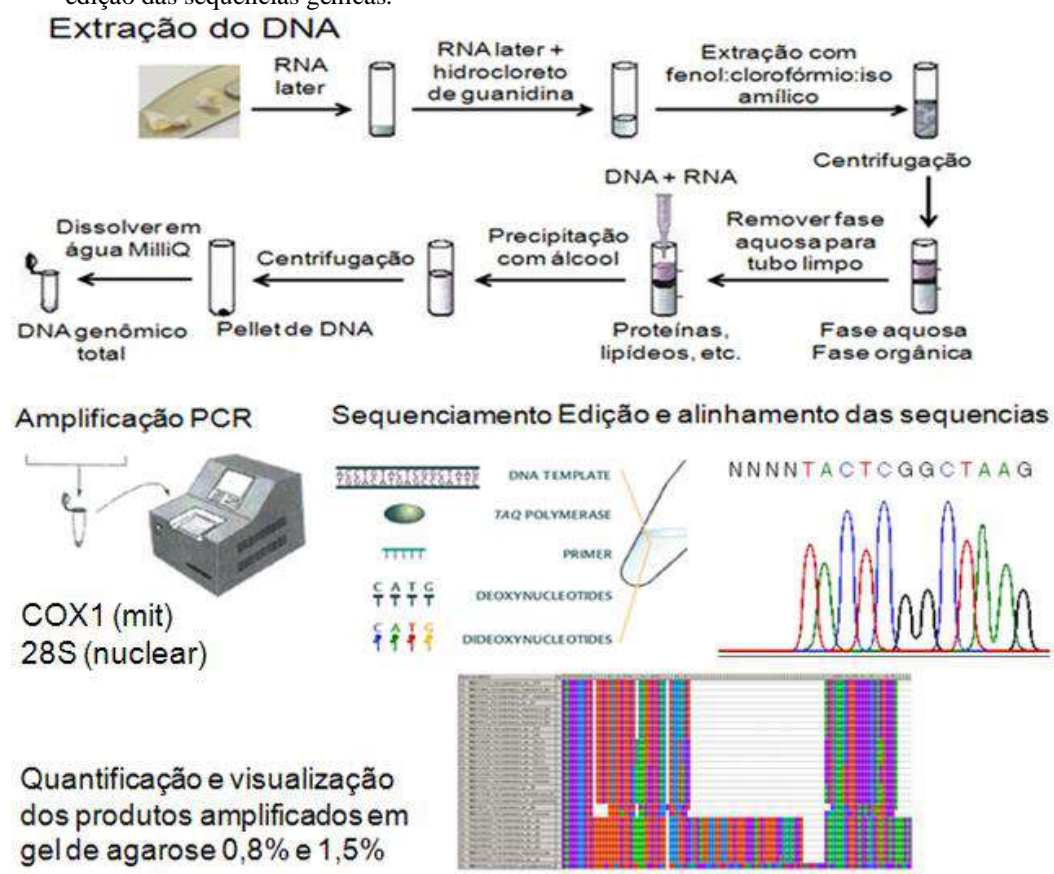


Figura 48 – Fluxograma das etapas do estudo genético das esponjas marinhas, desde a extração de DNA até a edição das sequências gênicas.

## Fonte: Adaptado de Lôbo-Hajdu *et al.*, 2004.

## 5.3.2 Marcadores moleculares e amplificação de DNA

Os marcadores moleculares nucleares e mitocondriais selecionados apresentam boa resolução para a Classe Demospongiae. A amplificação do DNA por meio da Reação em Cadeia da Polimerase (PCR) foi realizada para cinco marcadores moleculares, sendo dois nucleares (28S e ITS2) e três mitocondriais (16S, COX1 e COX2/RIM, onde RIM se refere a Região Intergênica Mitocondrial, *Intergenic Region of Mitochondrial DNA*). Os *primers* e as regiões gênicas testadas foram escolhidos devido as suas utilizações e variações já conhecidas para o Filo (Tabela 16).

Tabela 16 – Primers utilizados durante este trabalho para os diferentes marcadores moleculares.

Gene	Primers	Sequência 5' - 3'	Referência
28S	C1	ACCCGCTGAATTTAAGCAT	BORCHIELLINI et al., 2004
	D2	TCCGTGTTTCAAGACGGG	CHOMBARD et al., 1998
ITS2	SP5.8bF	AATCATCGAGTCTTTGAACG	THACKER e STARNES,
	SP28cR	CTTTTCACCTTTCCCTCA	2003
	-	-	-
	28rev	GTTAGTTTCTTTTCCTCCGCTT	LÔBO-HAJDU et al., 2004
16S	diplo-RNL-f1	TCGACTGTTTACCAAAAACATAGC	LAVROV et al., 2008
	diplo-RNL-r1	AATTCAACATCGAGGTSGGAAAC	
COX1	dgLCO-1490	TAAACTTCAGGGTGACCAAAAAATCA	MEYER (2003)
	dgHCO-2198	GGTCAACAAATCATAAAGATATTGG	
COX2	dsCOX2-f1	TGGNGCAAATCATTCNTTTATGC	D. Lavrov (comunicação
/ RIM	dsATP6-r1	CTACATTAAATTGATCAAAATANGC	pessoal)

Fonte: Referências na tabela.

A amplificação do DNA por meio da PCR foi realizada para cinco marcadores moleculares objetivando diferentes tipos de inferência evolutiva (Tabela 16). As reações foram realizadas com volume total de 30 μL, contendo: 0.75 U de DNA polimerase GoTaq (Promega), em tampão próprio contendo 1,5 mM de MgCl<sub>2</sub>, 0,133 mM de dNTP (Promega), 0,16 μM de cada primer (senso e antiseno) e cerca de 20–100 ng de DNA fita molde. Dois programas de termociclagem foram empregados distintamente para os marcadores nucleares e mitocondriais. Para a amplificação dos marcadores nucleares (28S e ITS2) foi adotado um protocolo de termociclagem baseado em Thacker et al. (2013), com touchdown, o qual diminui a iniciação off-target, e aumenta assim a especificidade das reações, que consistiu em: uma fase inicial de desnaturação em 85°C por 5 min; 10 ciclos de amplificação com desnaturação em 94°C por 45s, pareamento em 55°C por 1 min, com diminuição de 1°C por ciclo, e extensão em 72°C por 2 min; 20 ciclos de amplificação com desnaturação em 94°C por 45s, pareamento em 55°C por 1 min e extensão em 72°C por 2 min; e uma fase final de extensão em 72 °C por 10 min. Para a amplificação dos marcadores mitocondriais (COX1, 16S e COX2/RIM) foi adotado um protocolo de termociclagem com touch-up (DE PAULA, 2013), o qual maximiza a iniciação das reações quando utilizando primers heterólogos, que consistiu em: uma fase inicial de desnaturação em 92°C por 4 min; 5 ciclos de amplificação com desnaturação em 92°C por 30 s, pareamento em 44°C por 45 s e extensão em 72°C por 1 min; 35 ciclos de amplificação com desnaturação em 92°C por 30 s, pareamento em 51°C por 45 s e extensão em 72°C por 1 min; e uma fase final de extensão em 72°C por 6 min.

# 5.3.3 <u>Sequenciamento</u>, edição e alinhamento múltiplo das sequências gênicas novas e comparativas

O sequenciamento das amostras foi conduzido no Laboratório Central (LC) da Universidade Federal de Pernambuco (UFPE), na forma de prestação serviço de caráter multiusuário e interdisciplinar, no âmbito da Plataforma Tecnológica de Genômica e Expressão Gênica. Cerca de 20 μL das purificações resultantes, contendo entre 10 – 50 ng/μL de produto de PCR, foi sequenciado utilizando o kit de sequenciamento de ciclo BigDye Terminator v3.1 e sequenciador automático ABI3500 (Applied Biosystems).

A edição das sequências foi conduzida nos programas SeqMan Pro v7.1.0 (Lasergene, DNASTAR®) e MEGA 6 (TAMURA *et al.*, 2013), no sentido 5'3' e no sentido reverso. Após edição, as sequências foram comparadas por meio de algoritmo BLAST® contra o banco de dados do GenBank (<a href="http://blast.ncbi.nlm.nih.gov/">http://blast.ncbi.nlm.nih.gov/</a>), principalmente com o intuito de avaliar se as sequências obtidas pertenciam a contaminantes.

As sequências foram alinhadas no programa MAFFT v7.222 (KATOH e STANDLEY, 2013), por meio de alinhamento múltiplo, o qual é iterativo e demonstra bons resultados em testes simulados (WILM *et al.*, 2006). As sequências de 28S, 16S e COX1 foram alinhadas com o algoritmo iterativo de busca local E-INS-i, uma vez que estes alinhamentos compreenderiam sequências de diferentes tamanhos e comprimentos, incluindo sequências gênicas completas. Por sua vez, o alinhamento do ITS2 foi construído utilizando o algoritmo iterativo de busca global G-INS-i, uma vez que somente sequências completas foram incluídas nas análises.

Sequências provenientes de esponjas heteroscleromorfas foram obtidas do banco de dados público de DNA, GenBank (<a href="https://www.ncbi.nlm.nih.gov/">https://www.ncbi.nlm.nih.gov/</a>), para estender a comparação das amostras sequenciadas no presente estudo aos dados da literatura (Tabela 17). Contudo, devido a limitações computacionais, e para balancear os padrões filogenéticos entre as sequências, e a minimizar os vieses dos modelos evolutivos, as sequências obtidas foram selecionadas de forma a compreender as maiores sequências de nucleotídeos, e com a maior cobertura dos marcadores sequenciados neste trabalho, abrangendo os taxons mais divergentes, evitando quando possível pseudoreplicações dentro de cada linhagem.

Tabela 17 — Quantitativo de sequências comparativas incluídas nas análises filogenéticas de cada ordem de Heteroscleromorpha por marcador molecular.

Ordem	28S	COX1	16S	ITS2
Spongillida	-	2ª	1	=
Scopalinida	2	- [2]	0	-
Axinellida	11	19 [20]	2	-
Biemnida	3	4	0	-
Tetractinellida	7 [6]	0	1	-
Bubarida	1 [5]	7	0	-
Agelasida	10	9 [11]	2	_
Poecilosclerida	32	25 [26]	3	-
Desmacellida	1	2	0	-
Clionaida	6	5	0	-
Tethyida	9	2	1	-
Trachycladida	3	-	0	-
Polymastiida	1	6	1	-
Suberitida	21 [84]	39 [139]	3	25 [108]
incertaesedis	4 [3]	8 [11]	1	-
Total	111 [176]	128 [237]	15	25 [108]

Legenda: Números entre colchetes referentes ao quantitativo incluídos nas análises apresentadas no Apêndice B. <sup>a</sup>Uma destas pertencente a *Vetulina*, não oficialmente uma esponja Spongillida.

Fonte: O autor, 2019.

Uma vez que vários grupos antes alocados em Suberitidae e Halichondridae tem se mostrado próximos a outros não relacionados a estas famílias para o alinhamento do marcador filogenético 28S, uma ampla comparação de sequências dentro da subclasse Heteroscleromorphafoirealizadapara abranger o maior número possível de ordens. O mesmo critério foi utilizado para o marcador COX1, mesmo sendo esse um marcador com menor potencial de resolução filogenética em níveis taxonômicos superiores. Isto porque muitos grupos de Suberitida, tais como Vosmeria e Stylocordyla, não apresentavam até o momento sequências disponíveis com o marcador 28S, e devido à arguições recentes de que Ciocalypta pode não está proximamente relacionado à Suberitida (GUTEKUNST et al., 2018). Nenhuma sequência de Tetractinellida foi incluída no alinhamento final do COX1, uma vez que estas mostraram, em análises preliminares (dados não mostrados), uma taxa evolutiva muito mais elevada do que as demais. Apesar de ter um menor número de sequências comparativas, o marcador 16S também foi comparado com outras ordens da subclasse Heteroscleromorpha. Por fim, para ITS2, foram adicionadas apenas sequências de Suberitida, uma vez que tal marcador apresenta evolução muito rápida, não possuindo sinal filogéntico forte entre comparações acima do nível familiar. Para um resumo da quantidade de sequências comparativas incluídas nas análises ver Tabela 17. A lista completa das sequências comparativas (459) utilizadas neste trabalho com seus números de acesso no GenBank está registrada no Apêndice B.

## 5.3.4 Anotação e estrutura secundária do ITS2

Sequências de ITS2 representativas dos principais clados de Suberitida foram anotadas em formato XFASTA (Apêndice C) utilizando algoritmo de Modelo Escondido de Markov (HMM, *Hidden Markov Model*) como implementado no site ITS2 database (KELLER *et al.*, 2009; <a href="http://its2.bioapps.biozentrum.uni-wuerzburg.de/">http://its2.bioapps.biozentrum.uni-wuerzburg.de/</a>). A anotação das regiões 5.8S distal e 28S proximal foi possível utilizando diferentes modelos de busca com base nos diversos bancos de dados taxonômicos disponíveis e são evidenciadas pelas cores azul (5.8S) e vermelho (28S). As estruturas secundárias do ITS2 foram preditas por meio do método de busca do RNAfold. As buscas foram feitas utilizando as configurações padrão de busca, tendo sido escolhios os centróides das estruturas com valores mínimos de energia livre (MFE, *Minimum Free Energy*), para serem desenhadas com o programa forna. Ambos os programas foram implementados no servidor da internet ViennaRNA (<a href="http://rna.tbi.univie.ac.at/">http://rna.tbi.univie.ac.at/</a>).

## 5.3.5 Reconstruções filogenéticas

As relações filogenéticas entre as linhagens evolutivas foram recuperadas utilizando o método de Máxima Verossimilhança (ML, *Maximum Likelihood*) implementado no programa RaxML v8.2.4 (STAMATAKIS 2014). As buscas das árvores com melhor pontuação de ML foram conduzidas, para todos os marcadores, utilizando o modelo de Tempo Geral Reversível (GTR, *General Time Reversible*) de substituição de nucleotídeos, sob o modelo GAMMA de heterogeneidade de taxa. O suporte dos ramos foi estimado por 500 réplicas de *bootstrap* rápido.

Devido ao baixo sinal filogenético do marcador ITS2, uma árvore suporte binária foi utilizada, baseada nas relações obtidas com o marcador 28S, de forma que os táxons livres (não contidos na árvore suporte binária) sejam adicionados às melhores posições com base em sua probabilidade. Para facilidade computacional e de apresentação, somente sequência únicas foram utilizadas nas reconstruções apresentadas ao longo do texto. Para topologias com a completude das sequências alinhadas, ver Apêndice D. Para as reconstruções utilizando o marcador COX1, por se tratar de uma região codificante de proteínas, os modelos

evolutivos foram particionados de forma a tratar as primeiras e segundas posições do códon diferentemente das terceiras posições. De forma a balancear a representatividade de sequências do complexo *H. perlevis* no alinhamento do marcador COX1, somente uma sequência de cada haplótipo e/ou população por artigo foi incluída nas análises, reduzindo as sequências disponíveis no GenBank de 60 para nove, incluindo a sequência proveniente do mitogenoma de *H. sinapium* (NC\_022450). Todas as sequências obtidas no Genbank e utilizadas neste trabalho estão compiladas no Apêndice B.

### 5.4 Resultados

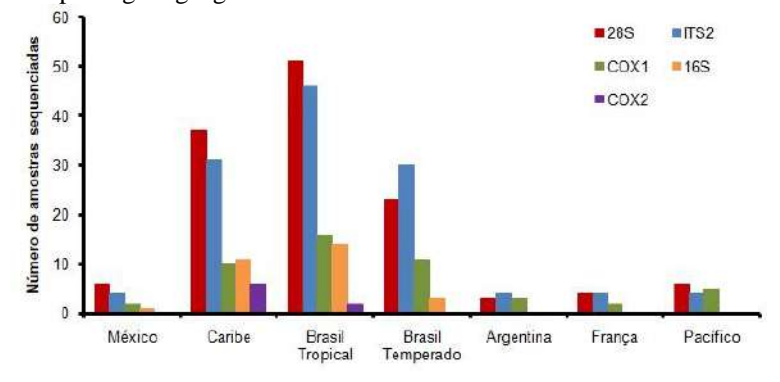
Um total de 706 amplificações foram realizadas com cinco marcadores moleculares diferentes, porém apenas 339 (48%) tiveram resultado bom o suficiente para serem sequenciadas (Figura 49). Destas, 130 foram realizadas com as subunidades rRNA 28S, 123 com ITS2, 29 com 16S, 49 com a subunidade da subunidade I dacitocromocoxidase (COX1) e oitocom a subunidade II da citocromo coxidase (COX2). A razão entre amostras amplificadas e sequenciadas de boa qualidade que foram utilizadas nas reconstruções filogenéticas variou entre os marcadores, sendo o 28S = 73%, ITS2 = 47%, 16S = 90%, COX1 = 55% e COX2 = 0%.

Após a edição, o alinhamento das sequências e a remoção completa de posições com intervalos, cada região amplificada teve um número de sítios variáveis e conservados distinto. O alinhamento do 28S produziu uma média de 820 pares de base (pb), o ITS2 275 pb, o COX1 640 pb e o 16S 665 pb, sem intervalos ou deleções.

De acordo com os resultados obtidos por meio das reconstruções filogenéticas, uma mudança profunda na Ordem Suberitida parece ser necessária. Recordando brevemente, a ordem é divida em três famílias e 28 gêneros, incluindo os duvidosos (*incertae sedis*). A partir deste estudo, haverá a proposição da criação dos gêneros *Ditylos, Solistyla e Tenebria* e ressurreição do gênero *Rhaphidostyla* Burton, 1935. O gênero *Ditylos* é representado por espécies com crescimento maciço ou incrustante espesso, tilóstilos fusiformes e separados em duas categorias de tamanho. O esqueleto coanossomal tende a reticulado, enquanto o ectossomal não apresenta especificações, a não ser pela presença de buquês de tilóstilos de menor tamanho. Geralmente, as espécies possuem cromovariação. As espécies estão distribuídas, majoritariamente, em águas rasas e mesofóticas, desde a zona equatorial até

subtropical ou temperado quente. Geneticamente, tanto o marcador nuclear 28S quanto os marcadores mitocondriais 16S e COX1 alocam o gênero em um clado separado do clado de Suberites, com alto suporte estatístico. O gênero Solistyla é representado pela espécie Solistyla caerulea, cujos estilos são frequentemente maiores do que 500 µm. A superfície é irregular e não há formação de fístulas. Geneticamente, tanto o marcador nuclear 28S quanto os marcador mitocondrial COX1 alocam o gênero em um clado separado do clado de Suberites, com alto suporte estatístico. O gênero Tenebria é composto por espécies de águas (sub)tropicais e temperadas. O crescimento varia de incrustante a maciço com a possível formação de lobos, onde os ósculos se localizam. A superfície é destacável, rugosa e híspida devido à protrusão de espículas napinacoderme. O esqueleto é formado exclusivamente por óxeas em uma ou duas categorias de tamanho. No gênero Rhaphidostyla a média do tamanho dos estilos é curta e fina. Em Rhaphidostyla sp. nov. há a adição de óxeas aos estilos. Geneticamente, tanto os marcadores nucleares 28S e ITS2 quanto o marcador mitocondrial 16S alocam o gênero em um clado separado do clado de Hymeniacidon, com alto suporte estatístico. O mesmo pode ser observado no dendograma e no mapa de calor dos metabólitos (Capítulo 2).

Figura 49 – Representação gráfica do número de novas amostras sequenciadas com marcadores nucleares e mitocondriais por região geográfica.



Fonte: O autor, 2019.

## 5.4.1 Interpretação das reconstruções filogenéticas

De uma forma geral, as árvores filogenéticas geradas com os diferentes marcadores mostraram um padrão quanto ao relacionamento das famílias, gêneros e espécies. Os gêneros *Axinyssa*, *Ciocalypta* e *Topsentia* se distribuem de forma polifilética, com alguns representantes agrupando com Suberitida e outros formando um clado distantemente

relacionado. Este clado é designida como "Topsentiida" neste trabalho. O gênero *Protosuberites* é polifilético dentro de Suberitida, enquanto os gêneros *Amorphinopsis*, *Halichondria* e *Hymeniacidon* formam um grande complexo de espécies.

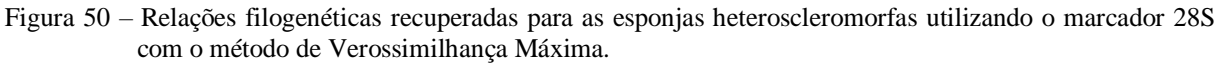
O marcador nuclear 28S (fragmento D1-D2) foi capaz de recuperar relações monofiléticas desde o nível de ordem (Figura 50) até o nível específico com alto valor de suporte (Figuras 51, 52 e 53), em média. Através deste marcador a ordem Polymastiida deve ser considerada como irmã de Suberitida. O gênero *Topsentia*, previamente considerado *incertae sedis*, foi alocado fora da ordem Suberitida e com uma baixa relação com a ordem em questão. As amostras do Brasil, do Caribe e do México formaram um clado com suporte de 100% (Figura 50-51). Possivelmente, a amostra de *Axinyssa cavernosa* (Topsent, 1897) usada como material comparativo se trata de uma *Topsentia* e deve ser reexaminada morfologicamente. Ambos os gêneros possuem características morfológicas similares que podem facilmente enganar a identificação.

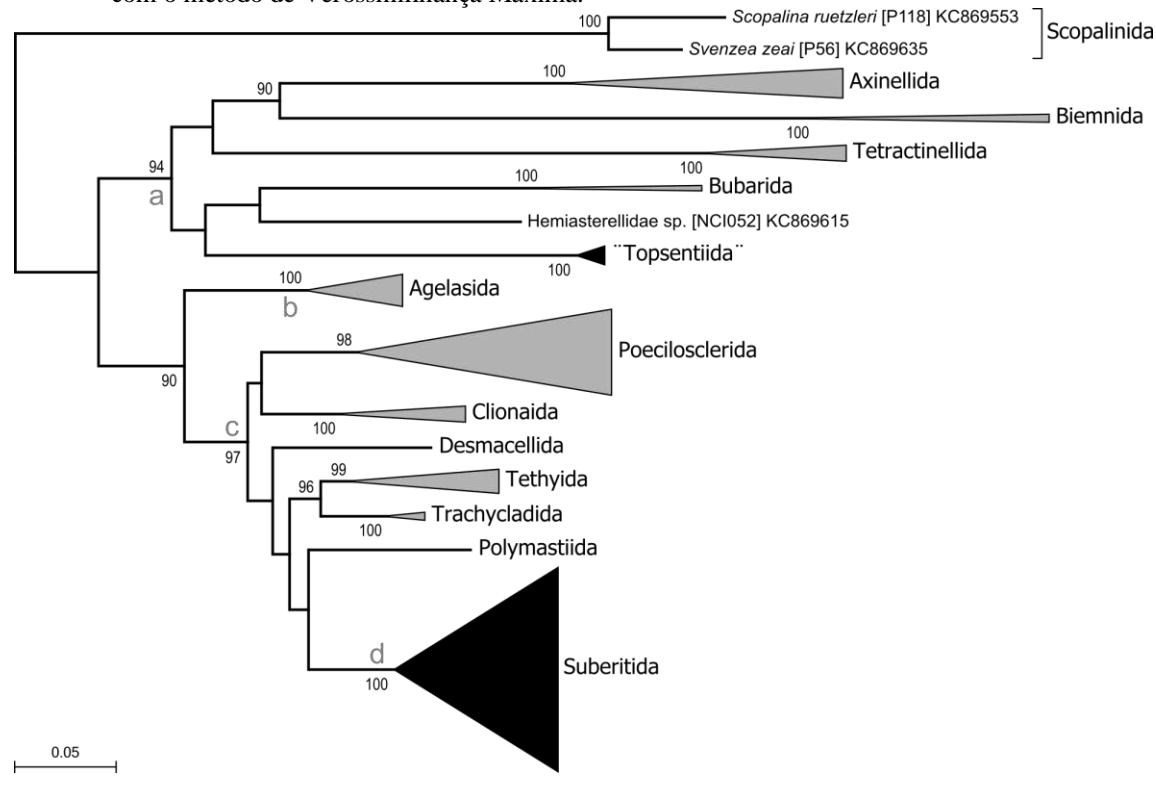
Na Figura 53, ilustra-se a reconstrução filogenética de Suberitida com o marcador 28S, com suporte de 100%. Nesta árvore observamos a presença de quatro clados.O clado A é formado por uma ramificação muito antecipada em relação às demais, contendo amostras de *Homaxinella subdola* (Bowerbank, 1866) e *Pseudosuberites sulphureus* (Bowerbank, 1866). Os representantes deste clado estão inseridos na família Suberitidae. O clado B possui 99% de suporte econtém representantes dos gêneros *Rhizaxinella*, *Aaptos* e *Ditylos* spp. Neste clado, *Rhizaxinella* é o gênero menos derivado, enquanto os outros dois gêneros são grupos-irmãos. No clado constituído por *Aaptos* spp. observa-se a presença da espécie tipo *Aaptos aaptos* se diferenciando de vários espécimes de *Aaptos* sp. 1, *Aaptos* sp. 2 e *Aaptos* sp. 3 do Brasil. Os representantes de *Ditylos*, por sua vez, se separam em três ramos, com altos valores de suporte. Além disso, estes representantes não se relacionam com a espécie tipo do gênero, sugerindo que as espécies deste clado são, a verdade, representantes de outro gênero. Os representantes deste clado estão inseridos na família Suberitidae.

O clado C é constituído exclusivamente pelo gênero *Suberites*, contendo *S. domuncula* (espécie tipo) e mais três espécies do gênero, todas de águas frias e com associação com gastrópodes. Esta associação aproxima os gêneros *Protosuberites* e *Pseudospongosorites* a este clado. Entretanto, estes gêneros não foram analisados nesta filogenia com este marcador. O representante deste clado está inserido na família Suberitidae.

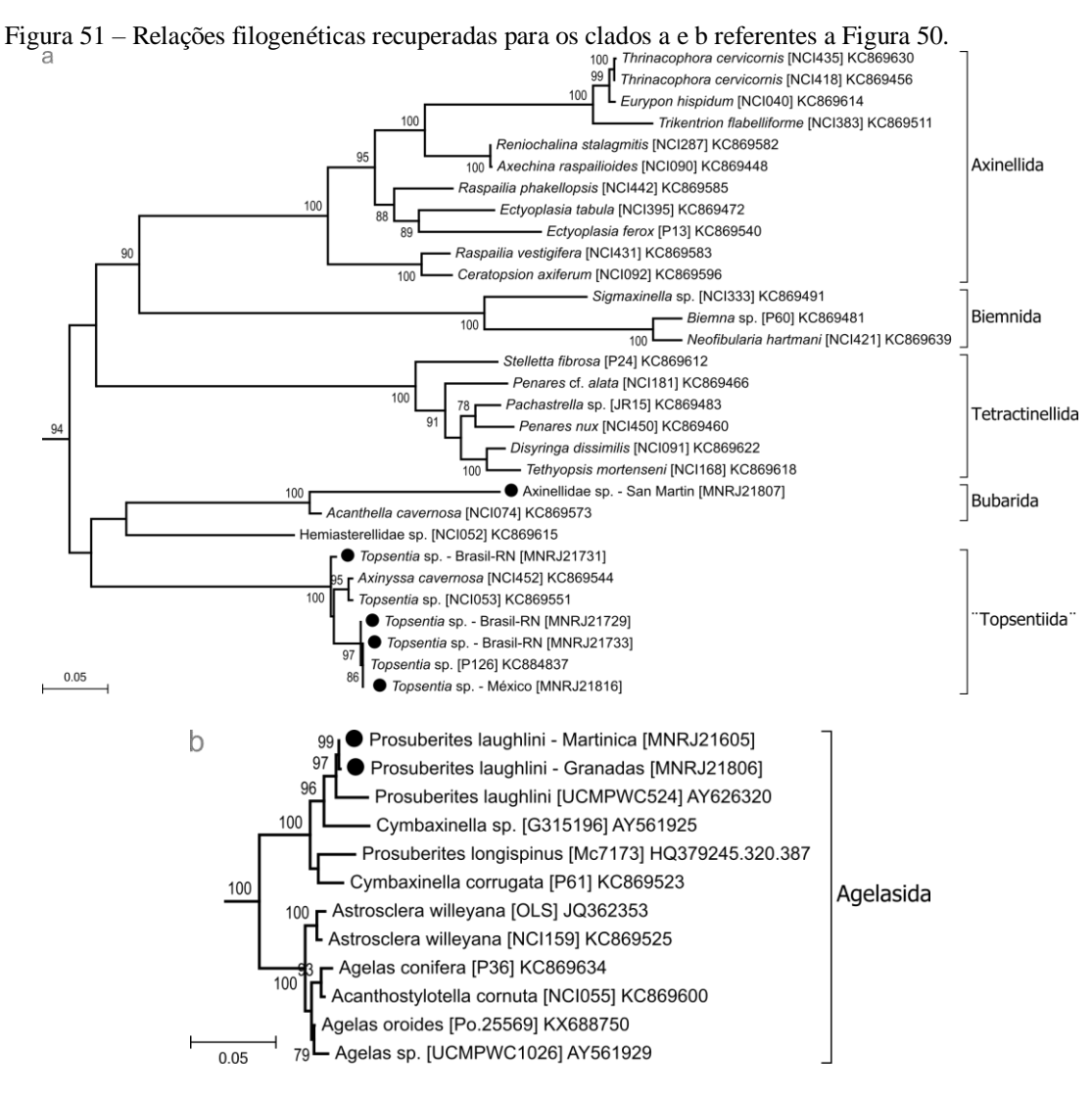
O clado D tem um suporte de 90% e inclui grande parte dos gêneros de Suberitida, sendo todas as Halichondriidae e algumas Suberitidae. O primeiro ramo que se destaca é representado pelo MNRJ 21813 cf. *Terpios* (90% de suporte). Na sequência, observa-se um

ramo longo com a espécie tipo do gênero *Ciocalypta*, *C. penicillus* Bowerbank, 1862 (76% de suporte).





Legenda: Árvore desenhada em escala. Os valores indicados correspondem ao suporte nos ramos após 500 réplicas de *bootstrap*. Os ramos terminais foram colapsados de acordo com a alocação ordinal das espécies para facilidade de comparação, e detalhadas abaixo (a-d). Os triângulos em preto contêm espécies previamente classificadas como Suberitida.



Legenda: Os círculos fechados indicam amostras sequenciadas neste trabalho, enquanto as demais foram retiradas do GenBank. Apenas valores de suporte acima de 70% estão indicados.

Fonte: O autor, 2019

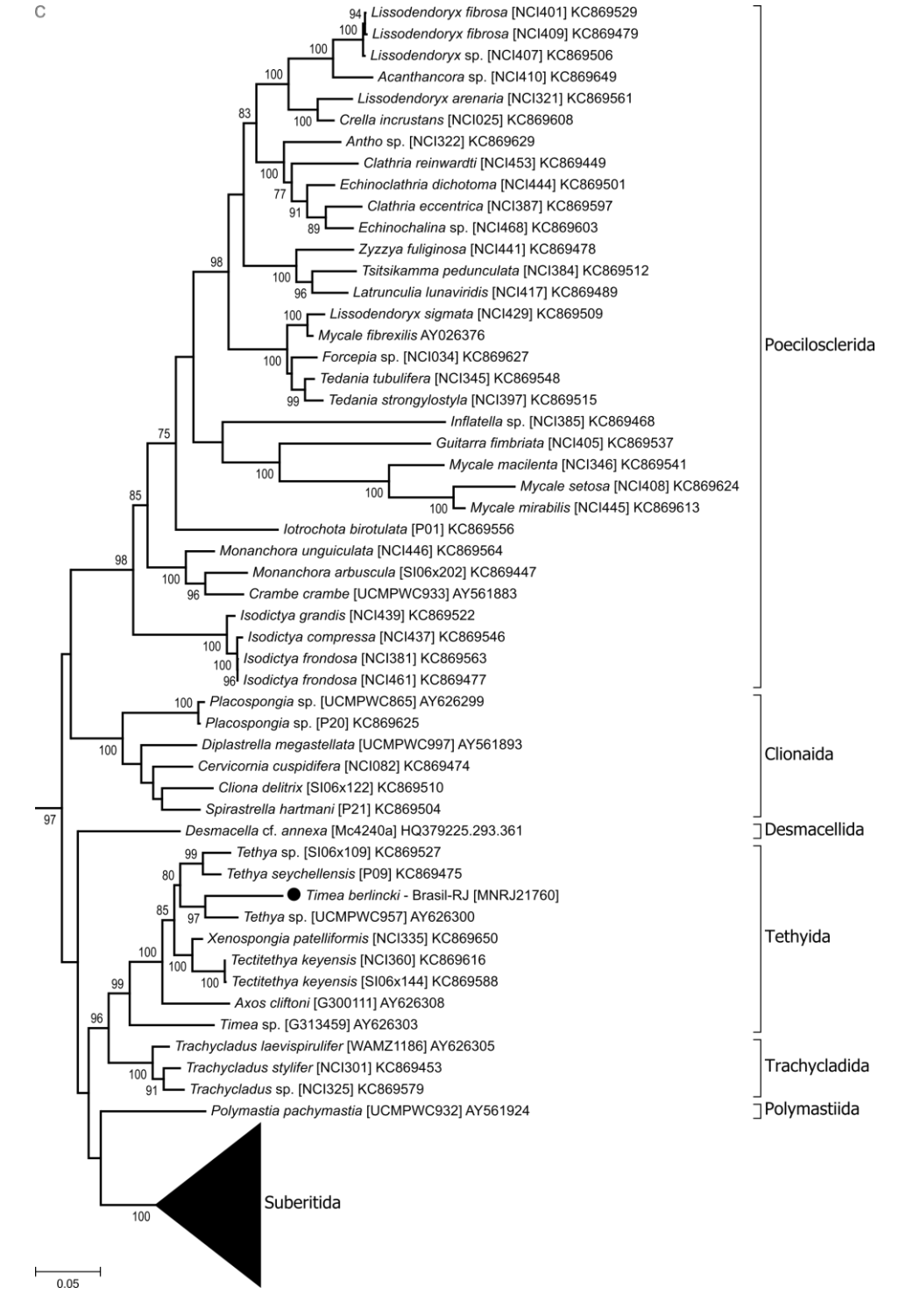


Figura 52 – Relações filogenéticas recuperadas para o clado c referente à Figura 50.

Legenda: Ver Figura 56. O círculo fechado indica amostra sequenciada neste trabalho, enquanto as demais foram retiradas do GenBank. A ordem Suberitida está colapsada e seus representantes são mostrados a seguir.

Ainda neste clado, agora com 97% de suporte, observa-se exemplares da espécie tipo de Terpios (T. fugax), Halichondria (H. panicea), Hymeniacidon (H. perlevis) e Rhaphidostyla (R. kitchingi). Estes gêneros também são representados por outras espécies, cujo parentesco não se aproxima ao da espécie tipo, como é o caso, em Terpios, de T. aaplos e T. gelatinosus. O gênero Halichondria stricto sensu tem suporte de 93% e conta com cinco espécies, incluindo a espécie tipo H. panicea e uma nova espécie do Rio de Janeiro. Enquanto isso, na extremidade inferiorda árvore, outras três espécies de Halichondria formam um complexo de espécies com suporte de 99%. Por isso, há necessidade da criação do gênero Tenebria, o qual passa a alocar T. okadai, T. melanadocia e T. marianae, por mais que essas espécies possam representar um complexo. Por sua vez, o gênero Hymeniacidon é representado em dois clados distintos, um composto pelo complexo que contém a espécie tipo H. perlevis e uma nova espécie endêmica do estado do Maranhão e o outro composto por H. caerulea. Porém, este último clado possui 100% de suporte estatístico e, portanto, há necessidade de criar o gênero Solistyla para alocar S. caerulea. Diferentes amostras de Hymeniacidon heliophila agrupam em clados distintos. O clado de Rhaphidostyla tem suporte de 100%, mas com a presença de ramos longos e tendo como grupo-irmão amostras erroneamente diagnosticadas como Terpios gelatinosus. Por fim, os ramos com as amostras de Amorphinopsis spp. se localizaram como um grupo irmão de Tenebria.

A árvore reconstruída com o ITS2 (Figura 54) utilizando exclusivamente amostras de Suberitida ilustra um padrão similar ao obtido com o 28S, mesmo com um número menor de amostras comparativas. Nesta reconstrução, os gêneros *Aaptos*, *Ditylos* e *Rhizaxinella* também formaram um clado, porém uma amostra de *Hymeniacidon heliophila*, possivelmente erroneamente identificada, agrupou neste clado. Com 100% de suporte, três ramos se separaram ao mesmo tempo: i) um espécime de *Suberites fícus* (Johnston, 1842) junto comuma amostra de *Halichondria* sp., ii) um ramo longo representado por *Ciocalypta* sp. e iii) um clado de MNRJ 21813 cf. *Terpios* do Mediterrâneo e PROERG 66, uma amostra de profundidade do Rio de Janeiro não avaliada morfologicamente. O último clado da árvore apresentou 97% de suporte contendo representantes dos gêneros *Rhaphidostyla*, *Halichondria*, *Terpios*, *Hymeniacidon*, *Amorphinopsis*, *Pseudosuberites*, *Solistyla* e *Tenebria*, todos da família Halichondriidae, aquela com maior representatividade na filogenia do ITS2.

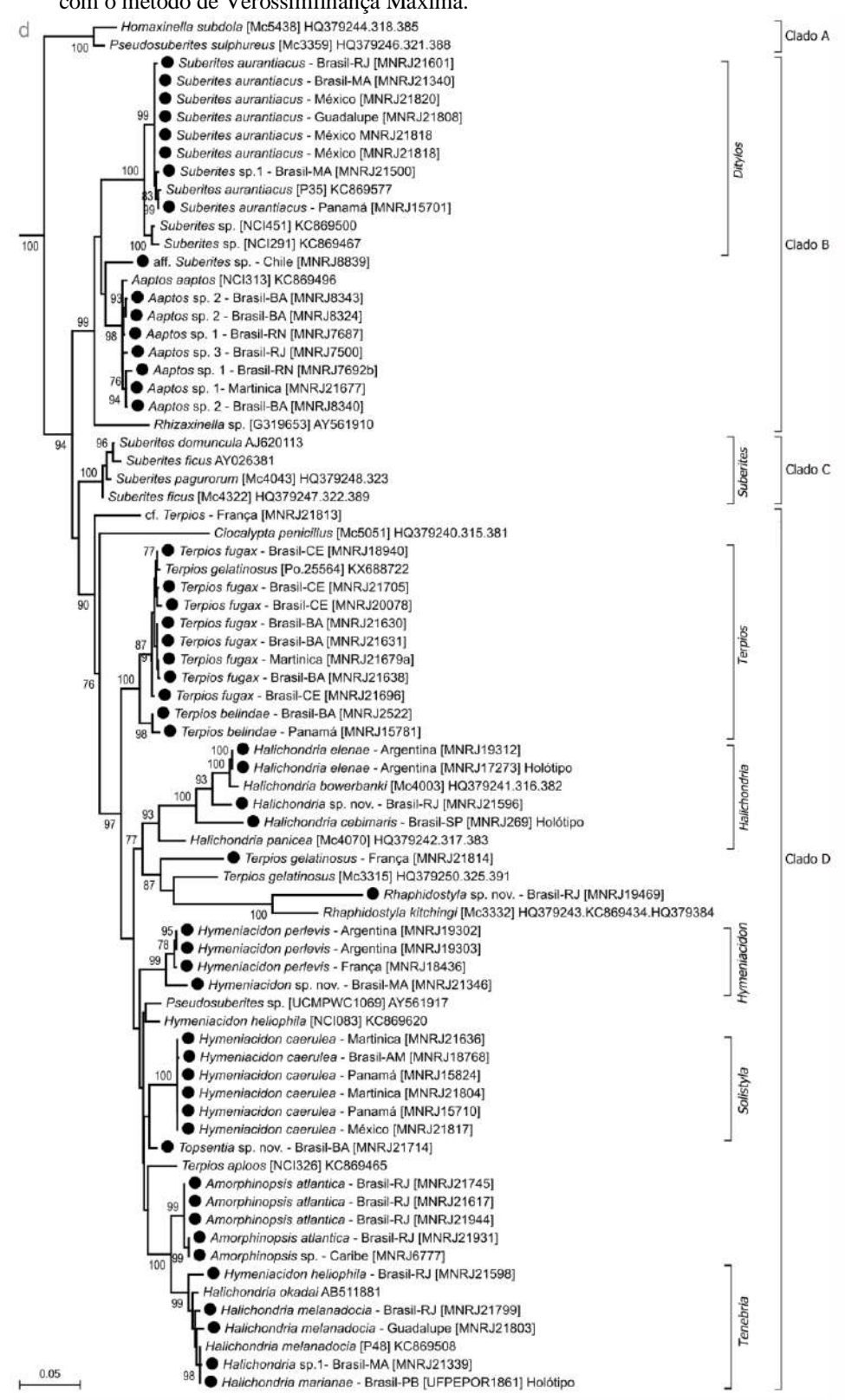


Figura 53 – Relações filogenéticas recuperadas para as esponjas suberitidas (d) utilizando o marcador 28S com o método de Verossimilhança Máxima.

Legenda: Os círculos fechados indicam amostras sequenciadas neste trabalho, enquanto as demais foram retiradas do GenBank. Apenas valores de suporte acima de 70% estão indicados. As espécies são seaparadas em novas famílias e subfamílias.

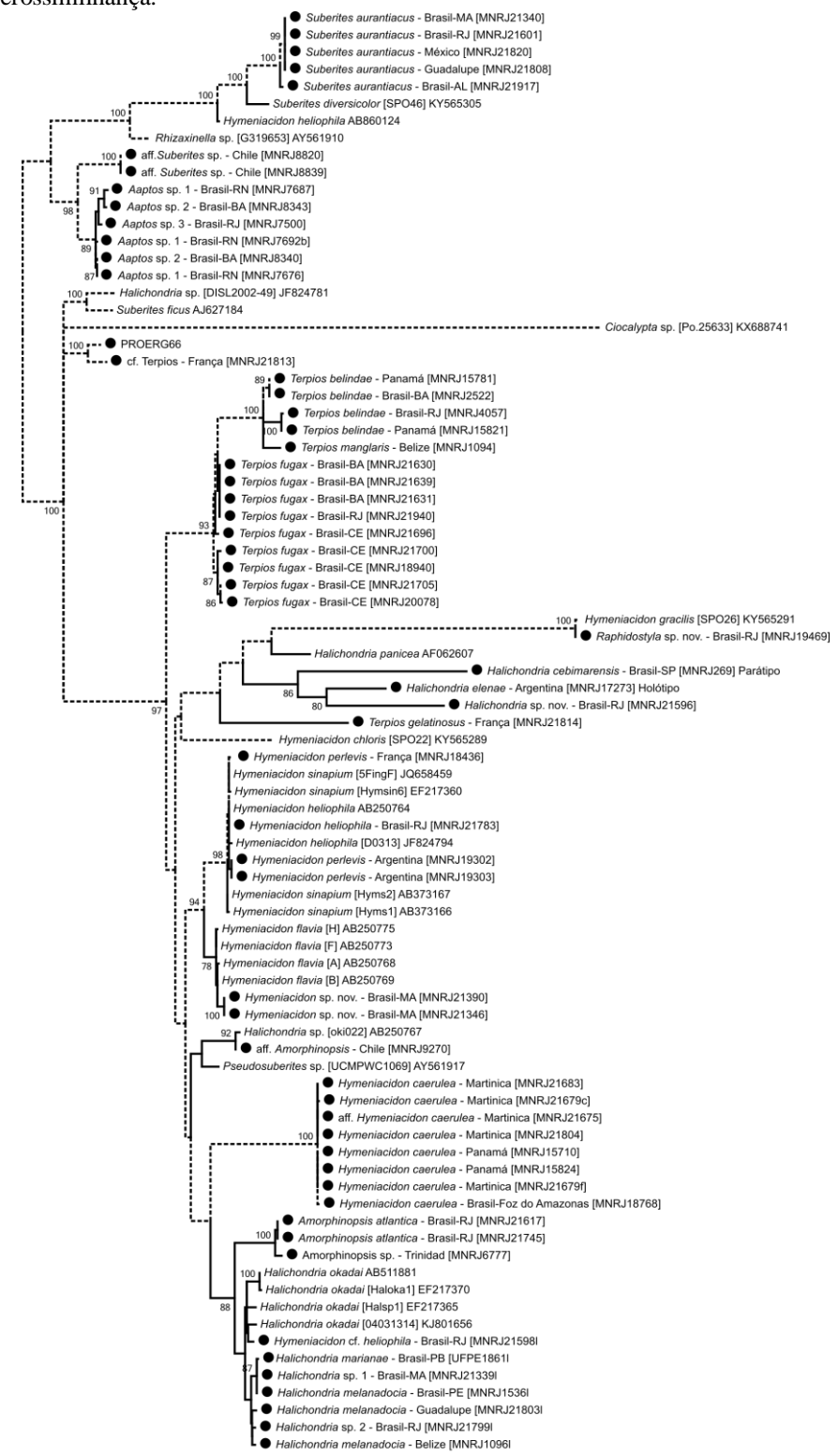
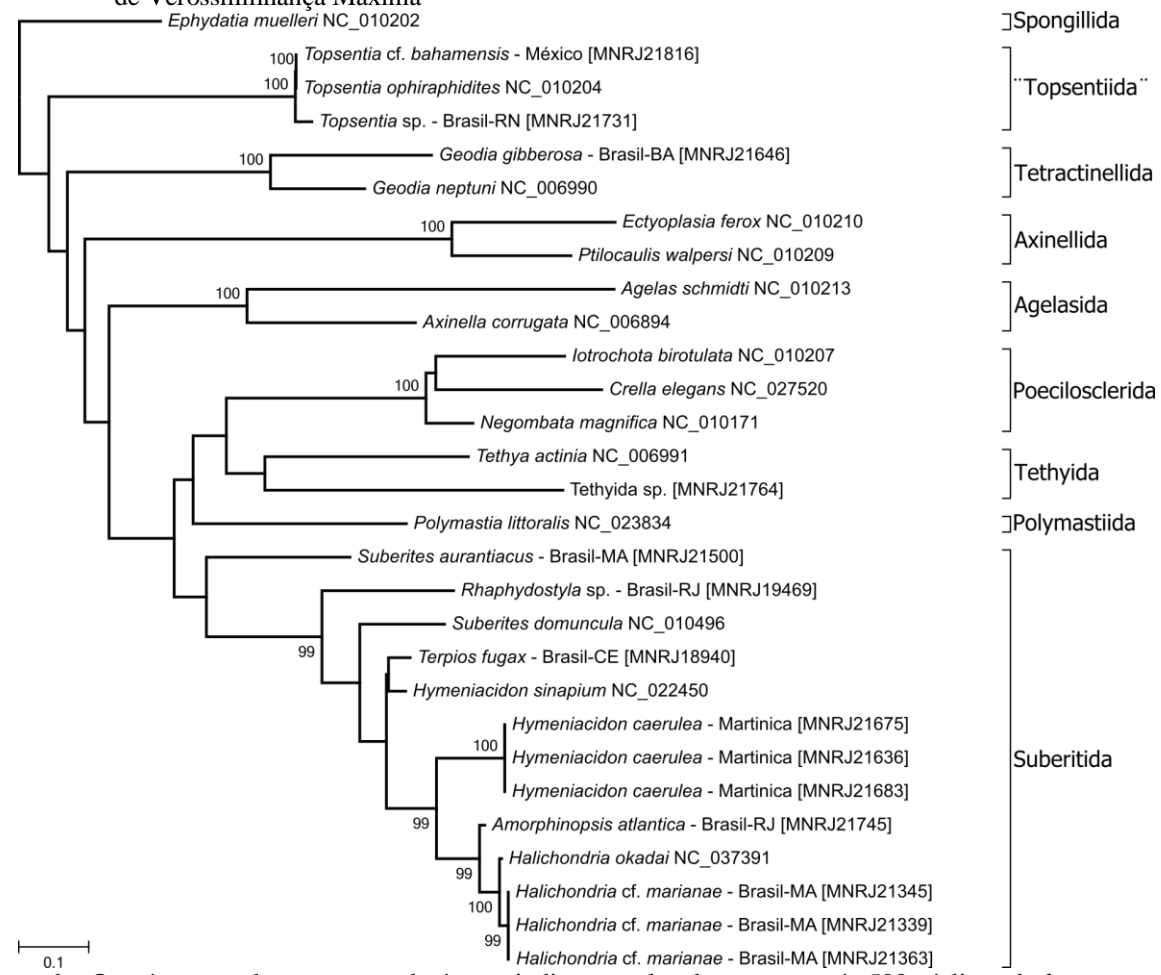


Figura 54 – Reconstrução filogenética da ordem Suberitida utilizando o marcador ITS2 pelo método de Máxima Verossimilhança.

Legenda: Os valores de suporte acima de 80% são indicados sobre ou sob os nós.Os círculos fechados são referentes a amostras sequenciadas neste trabalho. A linha pontilhada indica os indivíduos cuja estrutura secundária foi avaliada (ver detalhe das estruturas na Figura 62).

Mesmo com um baixo número de amostras comparativas com o marcador mitocondrial 16S, os representantes da ordem Suberitida formaram um grupo monofilético com 99% de suporte filogenético (Figura 55). Claramente, as amostras de *Topsentia* formaram um grupo distinto e mais basal do que as demais amostras comparativas, corroborando com a reconstrução pelo gene nuclear 28S. Também foi observada uma similaridade na formação da família Halichondriidae, contendo os gêneros *Amorphinopsis* e os novos gêneros *Solistyla* e *Tenebria*. Neste caso, o novo gênero *Ditylos* foi o representante menos derivado de Suberitida, enquanto *Rhaphidostyla* não agrupou com as demais Halichondriidae, diferindo das reconstruções com os marcadores nucleares. Com relação ao nível de ordem, o padrão obtido com o 16S é similar ao de 28S.

Figura 55 – Relação filogenética da subclasse Heteroscleromorpha Cárdenas, Pérez, Boury-Esnault, 2012 desde o nível de ordem até o nível específico, utilizando o marcador mitocondrial 16S por meio do método de Verossimilhança Máxima



Legenda: Os números sobre os ramos da árvore indicam ovalor de suporte após 500 réplicas de *bootstrap*. Os nomes a direita indicam as ordens específicas de cada clado. As amostras de *Topsentia* formaram uma ordem distinta e mais basal do que as representantes suberitidas.

No geral, as relações obtidas a partir do gene mitocondrial COX1 (Figura 56-59) corroboram as relações anteriores, tanto no nível de ordem (Figuras 56, 57 e 58) quanto no nível de família e gênero (Figura 59). Em Suberitida, a formação de três clados com suporte acima de 90% dão robustez estatística às reconstruções filogenéticas. O clado A contou com amostras dos gêneros Ditylos, Rhizaxinella e Stylocordyla. De acordo com esta filogenia e com caracteres morfológicos, o clado A deve integrar todos os membros dos gêneros Stylocordyla, Aaptos, Rhizaxinella e Ditylos, tais como forma de crescimento oval ou globoso, esqueleto radial ou tendendo para axial com uma paliçada no ectossoma, apesar do conjunto espicular ser diferente. O clado B foi representado pelo gênero Suberites e o clado C por diversos gêneros, incluindo os novos Solistyla e Tenebria que, mais uma vez, se separaram de Hymeniacidon e Halichondria, respectivamente. Por sua vez, um representante de Homaxinella e Pseudosuberites nudus Koltun, 1964 agruparam no clado C e não formaram um clado específico, como visto na reconstrução do marcador 28S. Assim como Stylocordyla, dois outros gêneros foram representados pela primeira vez neste trabalho: Protosuberites e Plicatellopsis, os quais se mostraram próximos a Terpios e Homaxinella, respectivamente. Nenhum representante de Raphidostyla foi analisado com o COX1.

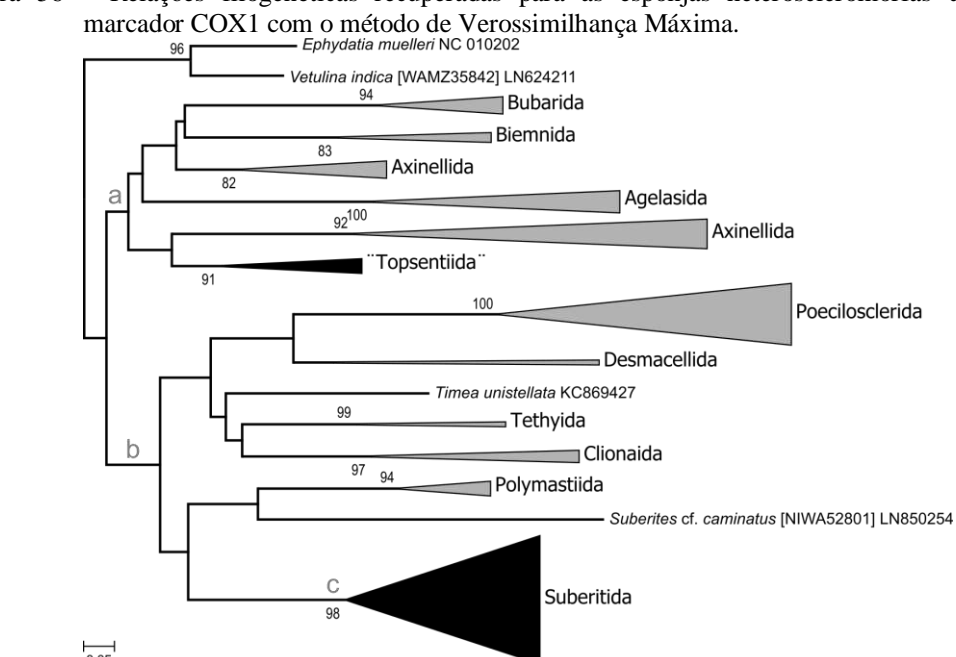
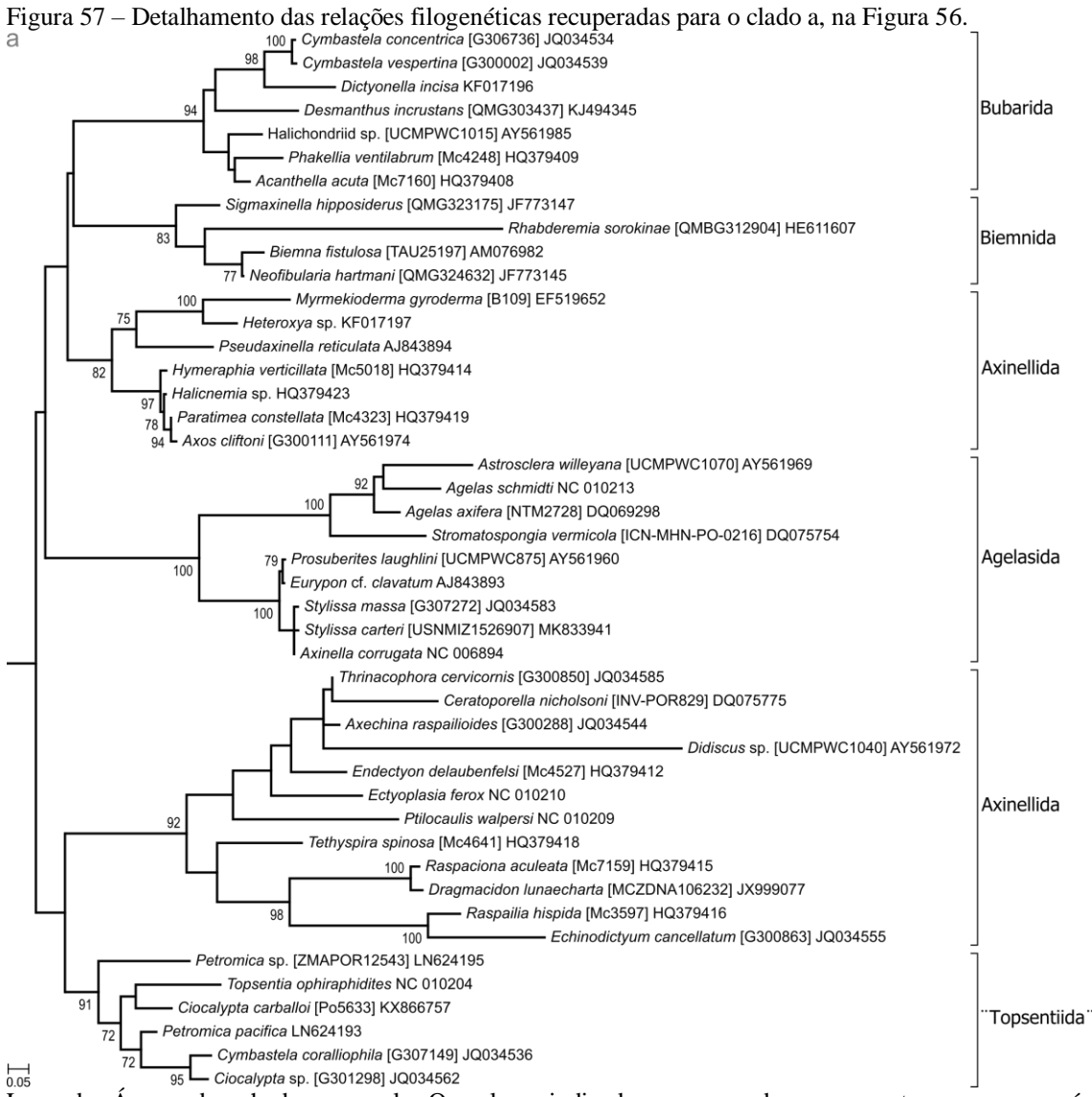
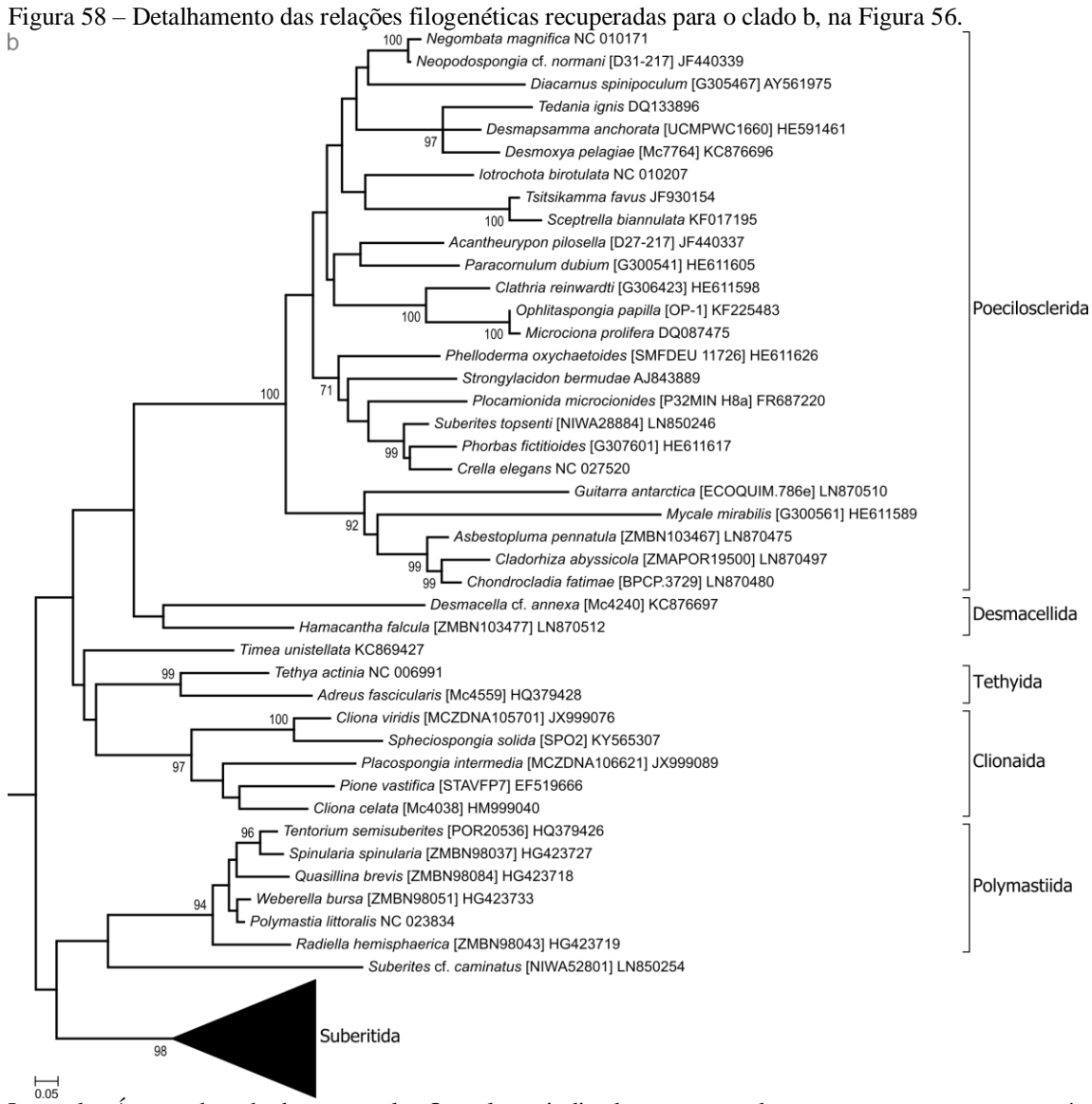


Figura 56 - Relações filogenéticas recuperadas para as esponjas heteroscleromorfas utilizando o

Legenda: Árvore desenhada em escala. Os valores indicados correspondem ao suporte nos ramos após 500 réplicas de bootstrap. Os ramos terminais foram colapsados de acordo com a alocação ordinal das espécies para facilidade de comparação, e detalhadas abaixo (a-c).



Legenda: Árvore desenhada em escala. Os valores indicados correspondem ao suporte nos ramos após 500 réplicas de *bootstrap*. Os códigos indicam os números das amostras depositadas nos bancos de dados.



Legenda: Árvore desenhada em escala. Os valores indicados correspondem ao suporte nos ramos após 500 réplicas de *bootstrap*. O ramo terminalcolapsadoestáde acordo com a alocação ordinal das espécies para facilidade de comparação (ver detalhe na Figura 59).

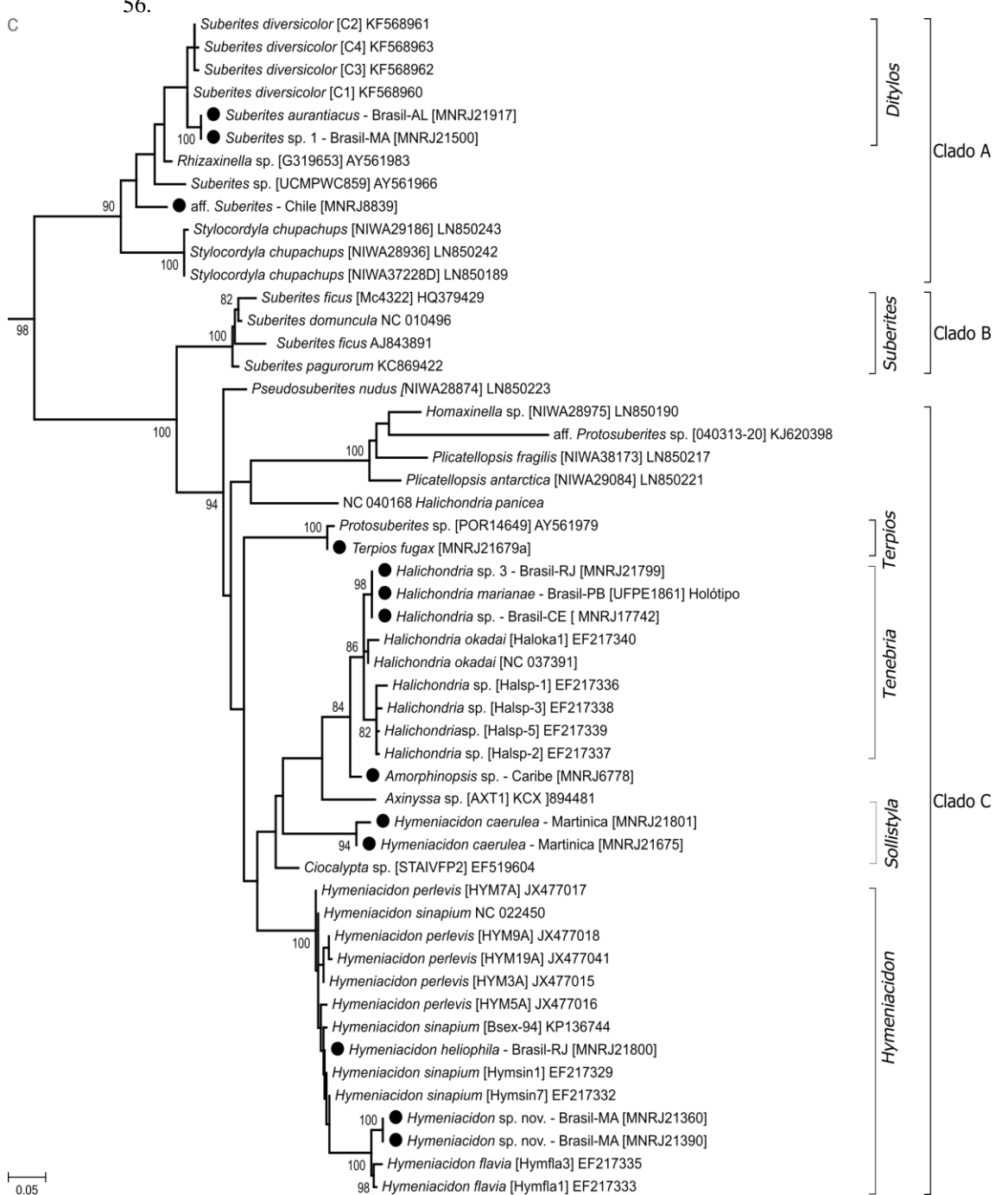


Figura 59 – Detalhamento das relações filogenéticas recuperadas para o clado c, (Ordem Suberitida), na Figura 56

Legenda: Árvore desenhada em escala. Os valores indicados correspondem ao suporte nos ramos após 500 réplicas de *bootstrap*. Os códigos indicam os números das amostras depositadas nos bancos de dados. Fonte: O autor, 2019.

## 5.4.2 <u>Interpretação da estrutura secundária do ITS2</u>

A estrutura secundária do ITS2 serve como um fenótipo e por isso pode ser utilizado como uma estratégia complementar para a identificação de espécies. A Figura 60 ilustra como 15 espécies diferentes de Suberitida carregam 15 estruturas únicas do ITS2. As estruturas têm um *loop* central do qual saem de três a seis hastes, com pequenos *loop*s internos e com uma proeminência circular em cada terminação. A energia (MFE) gasta para criar estas estruturas é demonstrada como um delta G em kcal/mol. O gene é transcrito no sentido 3'5' da esquerda para a direita (onde se inicia a transcrição no final do gene 5.8S e termina no início do 28S), contornando o *loop* central. A primeira haste é de onde se inicia a transcrição e a última haste é a mais próxima, à direita.

No novo gênero *Ditylos*, com o representante *D. aurantiacus*, o espaçador interno está estruturado com *loop* central e quatro hastes. Na haste I há duas instabilidades que entortam a hélice, na II forma-se um *loop* interno pequeno e termina na maior proeminência do gene, na haste III há dois *loop*s pequenos, uma instabilidade e uma proeminência pequena e na haste IV há intercalam-se uma instabilidade e um *loop* interno pequeno, três vezes, mais uma instabilidade e por fim uma proeminência. As hastes I e III têm tamanho médio, a haste II é pequena e a haste IV é a maior nesta estrutura. A energia necessária para romper a estrutura secundária é ΔG= -64,20 kcal/mol.

No gênero *Rhizaxinella*, o ITS2 está estruturado com *loop* central e cinco hastes. Na haste I há duas instabilidades que entortam a hélice, na II formam-se dois *loop* interno pequenos, mas antes do segundo há uma instabilidade, e termina em uma proeminência, na haste III há uma instabilidade e uma proeminência pequena, na haste IV há uma sequência de três *loop*s pequenos, um médio e mais um pequeno e uma instabilidade que termina em uma proeminência e a haste V é curta e possui apenas uma proeminência terminal. As hastes I e III têm tamanho médio, a haste II é um pouco maior, a haste IV é a maior nesta estrutura e a V é muito curta. A energia necessária para romper a estrutura secundária é ΔG= -64,60 kcal/mol.

No gênero *Aaptos*, o gene está estruturado com *loop* central e cinco hastes. Na haste I há duas instabilidades que entortam a hélice, na II formam-se dois *loop* interno pequenos e termina na maior proeminência do gene, a haste III apresenta uma instabilidade e uma proeminência pequena, na haste IV há um grande *loop* interno uma instabilidade, um pequeno *loop* e outra instabilidade e termina em uma pequeno proeminência circular, na haste V há uma pequena instabilidade e uma proeminência pequena. As hastes I, II e IV tem o dobro do

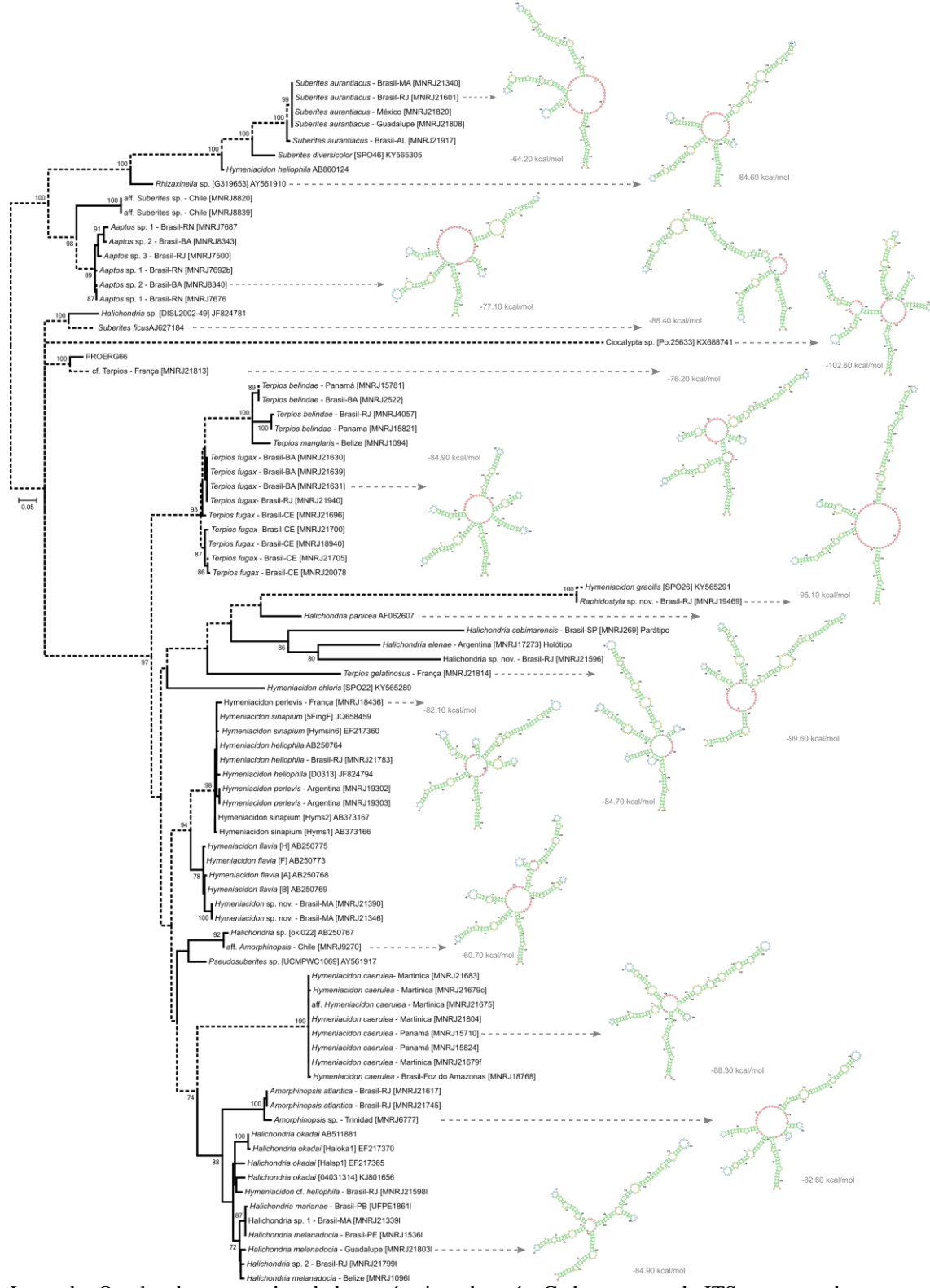
tamanho das haste III e V, sendo esta última a menor haste da estrutura. A energia necessária para romper a estrutura secundária é  $\Delta G$ = -77,10 kcal/mol.

A amostra de *Suberites ficus* se trata de uma Suberitidae. O espaçador no gênero *Suberites (stricto sensu)* está estruturado com *loop* central e três hastes, sendo a III muito maior do que as demais. Na haste I há duas instabilidades que entortam a hélice, na II formase um *loop* interno, duas instabilidades e termina em uma proeminência terminal pequena, na haste III tem um início de *loop* próximo ao *loop* central, duas instabilidades seguidas, um *loop* pequeno, dois inícios de *loop*, um *loop* grande, uma instabilidade e um *loop* pequeno antes da proeminência terminal. A energia necessária para romper a estrutura secundária é  $\Delta G$ = -88,40 kcal/mol.

O gênero *Ciocalypta* apresenta uma estrutura muito diferente daquelas descritas acima. Devido ao ramo muito longo, esta estrutura foi a que gastou maior energia para ser construída. Neste caso, o ITS2 está estruturado com um *loop* central e com a formação de um segundo *loop* central na haste II. Na haste I há duas instabilidades que entortam a hélice, na II forma-se o início de um *loop* central, menor do que o anterior, que dá origem a duas hastes, uma contendo um *loop* interno (a) e uma terminação circular e a outra haste (b) com duas instabilidades que parecem tender para a formação de um *loop* interno pequeno. Na haste III há dois *loop*s pequenos, uma instabilidade e uma proeminência pequena e na haste IV há intercalam-se uma instabilidade e um *loop* interno pequeno, três vezes, mais uma instabilidade e por fim uma proeminência. As hastes I e III têm tamanho médio, a haste II é pequena e a haste IV é a maior nesta estrutura. A energia necessária para romper a estrutura secundária é ΔG= -102,60 kcal/mol.

No MNRJ 21813 cf. *Terpios*, o ITS2 está estruturado com *loop* central e quatro hastes. Diferindo das demais, a haste I possui um início de *loop* central antes do *loop* central propriamente dito da estrutura.O pequeno *loop* central na haste I divide esta haste em (a) e (b), sendo (a) marcada por duas instabilidades que entortam a hélice, e (b) por um *loop* interno e duas instabilidades que terminam em uma proeminência arredondada. A haste II é curta, tem um *loop* interno e termina em uma proeminência, na haste III há dois *loop*s seguidos de uma instabilidade, mais dois *loop*s pequenos, outra instabilidade e uma proeminência e na haste IV há apenas uma proeminência terminal. As hastes I forma duas hélices compridas, as hastes II e IV são curtas e a haste III é longa. A energia necessária para romper a estrutura secundária é ΔG= -76,20 kcal/mol.

Figura 60 – Comparação da estrutura secundária do gene ITS2 dentro da ordem Suberitida, reconstruída com o método de Máxima Verossimilhança para sequências geradas neste estudo e sequências já existentes.



Legenda: O valor de suporte dos clados está acima dos nós. Cada estrutura do ITS corresponde a uma espécie e os números romanos de I até VI indicam o número de hastes em cada estrutura. Cada haste é contada da terminação arredondada (azul) até o *loop* central (vermelho). A energia para a formação de cada estrutura é dada como um delta G (ΔG) em kcal/mol.

Fonte: O autor, 2019.

Terpios fugax tem uma estrutura do espaçador interno contendo um loop central e seis hastes. Na haste I há duas instabilidades, a haste II tem um loop e duas instabilidades, a haste III tem uma instabilidade, a IV tem duas instabilidades e um loop interno, a V tem um loop e a VI não possui loop nem instabilidade, somente a terminação circular, comum a todas as hastes, exceto a I por ser o ponto de início e término da transcrição. As hastes tem um tamanho quase homogêneo, sendo a II um pouco maior e a V um pouco menor do que as demais. A energia necessária para romper a estrutura secundária é  $\Delta G$ = -84,90 kcal/mol.

A nova espécie de *Rhaphidostyla* possui uma estrutura com *loop* central grande e quatro hastes. Esta estrutura é a que possui o maior *loop* central. Na haste I há duas instabilidades que entortam a hélice, na II há uma instabilidade, dois *loop*s pequenos e outra instabilidade terminando em uma proeminência pequena, na haste III há um *loop* e uma proeminência terminal pequena e na haste IV há três *loop*s, o início de um quarto *loop* e uma sequência de quatro instabilidades que terminam em uma proeminência. As hastes I e II têm tamanho médio, a haste III é pequena e a haste IV é a maior nesta estrutura. A energia necessária para romper a estrutura secundária é ΔG= -95,10 kcal/mol.

O espaçador em *Halichondria panicea* está estruturado com *loop* central e quatro hastes, sendo a I e III com tamanho médio, a haste II a menor e a haste IV é a maior nesta estrutura. Na haste I há uma instabilidade e um *loop* interno que entorta a direção da hélice. No lado oposto do *loop* central se encontram as hastes II, III e IV. A haste II forma uma instabilidade e um *loop* interno, a haste III forma dois *loop*s de diferentes tamanhos e tem uma instabilidade próxima a proeminência terminal e a haste IV tem dois *loop*s pequenos, uma instabilidade, um *loop* interno grande, mais uma instabilidade seguida de um *loop* pequeno e finalmente uma instabilidade e uma proeminência terminal pequena. A energia necessária para romper a estrutura secundária é ΔG= -99,60 kcal/mol.

A amostra de *Terpios gelatinosus* da França tem uma estrutura com a formação de um *loop* central e seis hastes. Na haste I há duas instabilidades, a haste II está começando a se diferenciar e é muito curta contando apenas com dois haplótipos na haste e seis formando a proeminência terminal. A haste III não possui instabilidades, a IV tem dois *loop*s internos e a terminação circular, a haste V tem cinco *loop*s e a VI não possui *loop* nem instabilidade. As hastes I e IV têm tamanho médio, as hastes II, III e VI são curtas e a haste V é a maior nesta estrutura. A energia necessária para romper a estrutura secundária é ΔG= -84,70 kcal/mol.

Hymeniacidon perlevis é estruturado com loop central e seis hastes no ITS2. Na haste I há duas instabilidades que entortam a hélice, na II forma-se um loop interno e duas instabilidades que terminam em uma proeminência, na haste III há um loops, na haste IV há

apenas a terminação proeminente circular, na haste V há três *loop*s internos pequenos e na haste VI há um *loop* e a proeminência terminal. As hastes I, II e III têm tamanho médio, as hastes IV e VI são curtas e a V é a maior nesta estrutura. A energia necessária para romper a estrutura secundária é  $\Delta G$ = -82,10 kcal/mol.

Quatro representantes de gêneros distintos da família Halichondriidae foram selecionados para comparação das estruturas secundárias do ITS2, cf. *Amorphinopsis* sp. (possivelmente uma espécie de *Johannesia*), *Solistyla caerulea*, *Amorphinopsis atlantica* e *Tenebria melanadocia*. O primeiro representante tem o gene está estruturado com um *loop* central e cinco hastes. Na haste I há duas instabilidades que entortam a hélice, na II forma-se um *loop* interno pequeno, duas instabilidades e termina na maior proeminência do gene, na haste III há um *loop* pequeno uma proeminência terminal, na haste IV há um início de *loop* central dando origem a uma nova haste (b), enquanto a haste IV (a) possui um *loop* interno pequeno e uma instabilidade e a haste V possui um *loop* interno pequeno, uma instabilidade e uma proeminência terminal pequena. As hastes I, II e IV têm tamanho médio parecido e as hastes III e V são pequenas. A formação inicial de um novo *loop* central na haste IV é um diferencial neste grupo, distinguindo-o do gênero *Amorphinopsis*. A energia necessária para romper a estrutura secundária é ΔG= -60,70 kcal/mol.

Em *Solistyla caerulea*, o gene está estruturado com *loop* central e cinco hastes. Na haste I há três instabilidades que entortam a hélice, na II forma-se um *loop* interno pequeno, uma instabilidade e termina na maior proeminência do gene, na haste III há dois *loops* pequenos, na haste IV há cinco *loops* interno, terminando em uma proeminência e a haste V contém apenas a proeminência terminal. A haste IV é a mais diferenciada nesta estrutura. A energia necessária para romper a estrutura secundária é  $\Delta G$ = -88,30 kcal/mol.

A espécie *Amorphinopsis atlantica* apresenta um espaçador interno estruturado com *loop* central e seis hastes. Na haste I há duas instabilidades que entortam a hélice, na II formam-se dois *loop*s internos, na haste III há uma instabilidade, na haste IV há uma instabilidade e três *loop*s internos. As hastes V e VI são muito curtas e possuem apenas as proeminências terminais, comuns a todas as hastes. A haste IV é a mais diferenciada na estrutura. A energia necessária para romper a estrutura secundária é  $\Delta G$ = -82,60 kcal/mol.

Na espécie *Tenebria melanadocia*, o gene está estruturado com *loop* central e quatro hastes, sendo a IV com a formação inicial de um *loop* central. Na haste I há duas instabilidades, sendo a segunda muito maior do que nas demais estruturas, formando quase um *loop* interno. Dois *loop*s internos são encontrados na haste II, assim como uma instabilidade e termina em uma proeminência, na haste III há duas instabilidades pequenas

tendendo para loops. Na haste IV há um início de loop central dando origem a uma nova haste (b), enquanto a haste IV (a) possui três loops internos de tamanhos distintos e uma proeminência terminal. A haste IV é a maior desta estrutura. A energia necessária para romper a estrutura secundária é  $\Delta G$ = -84,90 kcal/mol.

Em um breve resumo sobre as estruturas mencionadas acima, pode-se notar que as estruturas secundárias mais diferentes são as de *Ciocalypa* sp. e cf. *Terpios*, sendo a primeira a que necessita de maior energia para a formação da estrutura secundária. Ambos os representantes estão alocados entre as famílias Suberitidae e Halichondriidae. *Suberites fícus* é a única representada exclusivamente com três hastes, ou seja, houve a perda de uma haste. Na família Suberitidae encontram-se estruturas variando de quatro a cinco hastes com um gasto energético médio de -68 kcal/mol, enquanto Halichondriidae contém estruturas variando de quatro a seis hastes com um gasto energético médio de -80 kcal/mol. *Terpios fugax* possui uma estrutura com gasto energético de -84,90 kcal/mol e seis hastes com pouca variação de tamanho muito diferente daquelas encontradas nos congêneres do mar Mediterrâneo.

# 5.5 Discussão

A partir das reconstruções filogenéticas com diferentes marcadores moleculares, o objetivo deste capítulo foi tentar encontrar evidências genéticas que auxiliem no agrupamento dos organismos em clados cada vez menos inclusivos. Em paralelo, a estrutura secundária de espécimes de clados distintos foi realizada com o marcador ITS2, a qual pode ser interpretada como um fenótipo e, consequentemente, como um caráter taxonômico (SÁNCHEZ *et al.*, 2007). Em geral, as estruturas secundárias seguem a proposta de Coleman (2007) para eucariotos, na qual a estrutura é composta por um anel central e quatro hélices. Apesar dessa similaridade, algumas espécies ou morfotipos, parecem ter estruturas com mais de quatro hélices, sugerindo variação intraordinal. Com estas duas metodologias, o principal interesse deste estudo é na identificação de características derivadas compartilhadas, sendo uma característica compartilhada aquela presente em duas linhagens e uma característica derivada àquela que evoluiu na linhagem conduzindo a um clado e que coloca os membros desse clado apartados de outros. As reconstruções filogenéticas mostraram diferenças mais profundas do que aquelas obtidas nas outras ferramentas, porém complementares e que, quando corroboradas, permitiram a identificação de grupos novos.

Os clados recuperados com os marcadores moleculares corroboram estudos prévios que recuperaram relações filogenéticas com Suberitida, desde Chombard e Boury-Esnault (1999). Apesar da maior parte dos clados dentro deste grupo apresentar alto suporte estatístico, as relações dentro da família Halichondriidae continuam confusas, com baixos valores de suporte e muitas parafilias no nível de gênero. Análises filogenéticas em nível de ordem revelaram que o clado contendo espécimes de Suberitida pode mostrar relações diferentes dependendo do tipo marcador (nucleares e mitocondriais) ou com o mesmo marcador, quandodiferentes espécimes ou regiões do gene são utilizados (BORCHIELLINI *et al.* 2004; NICHOLS 2005; LAVROV *et al.* 2008). Muitas das espécies trabalhadas nas filogenias estão classificadas como sp. ou estão erroneamente identificadas, o que dificulta a conclusão sobre as relações entre os grupos, especialmente na porção distal dos ramos das árvores. Portanto, refazer a descrição morfológica destes indivíduos é essencial para melhorar a compreensão filogenética de Suberitida.

Os marcadores nucleares 28S e o ITS2 reconstruíram praticamente a mesma relação filogenética, convergindo com as relações recuperadas por Thacker e colaboradores (2013). O marcador mitocondrial 16S recuperou relações congruentes com os anteriores e parece ser um bom marcador para as Suberitida. Por sua vez, o COX1 foi o que apresentou maiores divergências quanto às filogenias, tanto com mudanças na ordem dos ramos quanto no menor suporte dos clados, assim como observado em Morrow et al. (2013). Além do espaçador ITS2 servir positivamente para as reconstruções filogenéticas, as estruturas secundárias do marcador foram obtidas e podem ser utilizadas como fenótipos. Pelo ITS2 ser uma marcador que acumula mais taxa de mutação, as relações dentro de Halichondriidae formaram um maior número de clados do que no 28S, principalmente nos complexos de espécies e entre populações (para detalhes ver Apêndice D). Alguns exemplos do potencial de uso do ITS2 em nível populacional são a formação de duas populações de Terpios fugax, uma juntando as amostras do Rio de Janeiro e Bahia e a outra com espécimes exclusivos do Ceará. Outro exemplo é com relação às Amorphinopsis, as duas amostras do Rio de Janeiro se distanciaram ligeiramente da amostra do Caribe (Trinidad e Tobago). Já com relação ao complexo de Tenebria, a espécie okadai se mostrou como um grupo-irmão de melanadocia e marianae. As amostras destas duas espécies se distanciaram com relação às localidades, sendo as amostras do Nordeste do Brasil mais relacionadas entre si do que com as amostras caribenhas e uma amostra do Rio de Janeiro. Adicionalmente, fica a proposta de se utilizar a estrutura secundária deste gene como uma ferramenta complementar à taxonomia, assim como já é feito com corais (SÁNCHEZ et al., 2007). Os pontos negativos sobre a utilização dos

marcadores moleculares é que a razão entre amostras amplificadas e amostras com boas sequências, no geral, variou de média para baixa. Vale ressaltar também que nenhuma sequência do gene mitocondrial COX2 apresentou resultado satisfatório para as suberitidas.

As filogenias do 28S, 16S e COX1 mostraram que algumas amostras de *Topsentia* são alocadas fora de Suberitida, corroborando as observações de Redmond *et al.* (2013) e Schuster *et al.* (2015) com os marcadores 18S e COX1. *Topsentia* parece ser mais relacionada com alguns representantes dos gêneros *Axinyssa* e *Petromica* do que com as suberitidas, sendo os três gêneros considerados *incertae sedis* por Morrow e Cárdenas (2015). Porém, ao menos, uma amostra depositada no GENBANK parece estar identificada de forma errada, pois nossos resultados convergem com o questionamento de Erpenbeck *et al.* (2012) de que uma amostra de *T. ophiraphidites* agrupa com Halichondriidae, utilizando tanto o COX1 quanto o 28S, enquanto as demais estão distantemente relacionadas.

Quanto a base de Suberitida, com exceção do COX1, os demais marcadores apontam o clado menos derivado contendo representantes de *Homaxinella* e *Pseudosuberites*, corroborando estudos pretéritos (CHOMBARD e BOURY-ESNAULT, 1999; NICHOLS, 2005; MORROW *et al.*, 2012, 2013; THACKER*et al.*, 2013). Independente se este clado é mais derivado ou menos do que Stylocordylidae e Suberitidae, a sua relação de parentesco com os demais representantes de Suberitida é real devido ao alto suporte estatístico. Contudo, análises genéticas das espécies tipo ainda são requisitadas para melhor definir o clado filogeneticamente.

Apesar de nenhuma amostra de *Pseudosuberites* e *Plicatellopsis* ter sido trabalhada no tocante a molecular, os dados filogenéticos aqui obtidos em comparação com sequências disponíveis em bases de dados *on-line* indicam que *Pseudosuberites* é parafilética porque pode agrupar com representantes de Halichondriidae e *Homaxinella*, dependendo do marcador utilizado (MORROW *et al.*, 2012; REDMOND *et al.*, 2013; THACKER *et al.*, 2013) e *Plicatellopsis* pode ser um grupo irmão de *Homaxinella* (VARGAS *et al.*, 2015). *Homaxinella* e *Plicatellopsis* têm a capacidade de crescer de forma ereta, em águas profundas, contendo um esqueleto condensado ou axial e com a formação de buquês no ectossoma. Porém, *Homaxinella* possui um conjunto espicular exclusivo de estilos ou estilotos, enquanto *Plicatellopsis* só apresenta tilóstilos. Ambos os gêneros são exclusivos de águas frias e médias a altas latitudes. Apesar dessas similaridades morfológicas e genéticas, as árvores de consenso deste estudo indicaram maior aproximação de *Plicatellopsis* com amostras do gênero *Rhaphidostyla*, inviabilizando uma definição sobre a classificação deste gênero.

A família Suberitidae (*sensu* MORROW e CÁRDENAS, 2015) foi separada em mais dois clados, um específico para espécies de *Suberites*e outro contendo *Rhizaxinella*, *Aaptos* e *Ditylos*. Esta separação converge com as histórias contadas por filogenias passadas utilizando diferentes marcadores, Morrow (28S), Thacker (28S) e Redmond (18S). Diante deste novo posicionamento, é possível que duas ou três espécies de *Aaptos* possam ser descritas, de acordo com a relação obtida com o marcador 28S. Assim, os gêneros *Rhizaxinella*, *Aaptos* e *Ditylos*, parecem se unir ao gênero *Stylocordyla*, na família Stylocordylidae.

Comparando as *Protosuberites* aqui trabalhadas com as de Melis e colaboradores (2016), P. ectyoninus (Topsent, 1900) agrupou com MNRJ 21813 do Mar Mediterrâneo que contém um tilo globoso em vez de lobado e perde a cor após a fixação. Com o ITS2, Protosuberites denhartogi van Soest & de Kluijver, 2003 agrupou com Terpios gelatinosus e com o 28S e ITS2 P. mereui Manconi, 2016 e Protosuberites sp. (Panamá) agrupam com as amostras de T. fugax, como grupos irmãos de P. denhartogi, indicando polifiletismo no gênero Protosuberites. Melis e colaboradores (2016) descreveram Protosuberites mereui para o Mar Tirreno (Itália), comparando seis espécies de Protosuberites com Suberites e Prosuberites (base da árvore). Os autores encontraram alto suporte com a concatenação dos marcadores COX1, 18S e 28S, sendo Protosuberites ectyoninus a espécie menos derivada. Diante do exposto, fica clara a característica polifilética de *Protosuberites* nas análises aqui realizadas. A partir das características morfológicas e genéticas, é mais plausível considerar Protosuberites como incertae sedis, mas como grupo-irmão de Suberites stricto sensu (compondo a família Suberitidae), uma vez que convergem quanto ao posicionamento filogenético e apresentam interação com gastrópodes. Outro gênero que deve ser adicionado a Suberitidae, pois também interage com estes moluscos é *Pseudospongosorites* (VAN SOEST, 2002b; MCCORMACK e KELLY, 2002; MELIS et al., 2016).

Outra questão confusa em Suberitida está relacionada com o agrupamento de *Terpios* com as Halichondriidae, ao invés de agrupar com as Suberitidae (MORROW e CÁRDENAS, 2015). Um alto suporte na formação de um clado específico para o gênero *Terpios* foi observado neste estudo, indicando que o gênero está incorporado à família Halichondriidae e não à família Suberitidae. Diante do fato de que a estratégia reprodutiva, as espículas e os esqueletos podem ser homoplásticos em esponjas (VAN SOEST *et al.*, 1990; CÁRDENAS *et al.*, 2011, 2012; MORROW *et al.*, 2012, 2013), a presença exclusiva de tilóstilos em *Terpios* não devem servir de impedimento para a alocação do gênero fora de Suberitidae. Dados não mostrados neste estudo apontam que *Terpios* e alguns representantes do gênero *Caulospongia* (ver amostradas comparativas no Apêndice D) estão intimamente relacionados a partir da

reconstrução filogenética com o marcador 28S. Diante das relações de parentesco evidenciadas por quatro marcadores distintos para a ordem Suberitida e pela similaridade no tipo de tilóstilo lobado, *Terpios* e *Caulospongia* devem ser relacionadas como gruposirmãosna família Halichondriidae.

A família Halichondriidae sensu Morrow e Cárdenas (2015) possuía 15 gêneros. A partir deste estudo, quatro gêneros saem da família - Topsentia e Axinyssa provavelmente formam uma ordem independente "Topsentiida", Epipolasis agrupa com Axinellidae (ERPENBECK et al., 2012) e o seu tipo de esqueleto é apenas considerado um traço de homoplasia (ver HOOPER, 1991) e Ciocalypta, possivelmente, forma uma família distinta em Suberitida. Por outro lado, Terpios, Caulospongia e Ulosa são definitivamente agrupados à família, Rhaphidostyla é reerguida como um gênero independente à Hymeniacidon, os gêneros Solistyla e Tenebria são criados e quatro subfamílias são criadas. Assim, a família Halichondriidae passa a contar com 17 gêneros.

A separação de *Ciocalypta* em uma possível nova família "Ciocalyptidae" é baseada nas evidências genéticas da espécie tipo, as quais são suportadas pela sinapomorfia da presença de uma membrana translúcida na parte externa do seu corpo, desde a base até o topo das fístulase pelo posicionamento da espécie ao serem analisadas reconstruções filogenéticas com marcadores nucleares e mitocondriais (ERPENBECK *et al.*, 2012; MORROW *et al.*, 2012, REDMOND *et al.*, 2013, THACKER *et al.*, 2013). Entretanto, reconstruções com COX1 indicam a existência de espécimes nomeados como *Ciocalypta*em clados diferentes. GUTEKUNST e colaboradores (2018) também observaram este fato ao descrever a espécie *Ciocalypta colorata* Gutekunst, Müller, Pohl, Brümmer, Malik, Fawzi, Erpenbeck & Lehnert, 2018, a qual foi descrita neste gênero pelas características morfológicas, mas agrupando no mesmo clado de *Topsentia* e *Cymbastela* o qual, na opinião deles, era um clado que ainda precisava ser nomeado e aqui, esta sendo tratado como "Topsentiida".

O suporte da família Halichondriidae é mais baixo do que quando comparado às demais famílias (90%) e provavelmente está relacionado à presença de ramos longos o que indica alta taxa de mutação ocorrendo no grupo. O clado de *Terpios* descrito acima contém exclusivamente espécies de *Terpios*, o clado comportando o gênero *Halichondria stricto sensu* contém cinco espécies, inclusive a espécie tipo *Halichondria panicea*. O clado com ramos mais longos é formado por exemplares de *Terpios gelatinosus*, *Rhaphidostyla kitchingi*, *Rhaphidostyla* sp. nov. e *Hymeniacidon gracilis* (provavelmente uma *Rhaphidostyla*). O grande clado de *Hymeniacidon* compreende a espécie tipo e outros representantes, inclusive a nova espécie descrita para o estado do Maranhão, com 99% de

suporte. Com 100%, *Solistyla caerulea* gen. nov. forma um clado distinto. Outro clado com 100% de suporte estatístico é formado por dois ramos de 99% de suporte, um de *Amorphinopsis* e outro para o complexo de espécies anteriormente pertencentes à *Halichondria* e que agora são renomeadas para *Tenebria* gen. nov. A criação destes novos gêneros é fundamental para a compreensão do grupo e são suportadas pelos principais marcadores moleculares (18S, o 28S, o ITS2, o COX1 e o 16S) utilizados em Porifera. Inclusive, ao separar *Johannesia* de *Vosmaeria*, Gerasimova e colaboradores (2008) reforçaram a necessidade de se criar gêneros novos quando os caracteres morfológicos e genéticos forem bem embasados e convergentes.

As análises morfológicas, químicas e genéticas dos gêneros aqui estudados são referentes a espécies distribuídas no OATO. A reconstrução filogenética obtida por Erpenbeck e colaboradores (2007) utilizando exclusivamente espécies caribenhas (em alguns casos com distribuição se estendendo até o Brasil) não são realistas, pois os exemplares tipos dos gêneros parecem ser, em grande parte, de mares europeus ou indonésios. Quando comparadas às análises filogenéticas realizadas no presente estudo, observa-se que agora as relações parecem mais robustas, definidas e suportadas estatisticamente, inferindo grandes mudanças no nível de família e gênero. Observações neste sentido têm sido feitas desde as primeiras reconstruções de Demospongiae que utilizam grande quantidade de representantes da ordem Suberitida (MORROW et al., 2012, REDMOND et al., 2013, THACKER et al., 2013), mas nenhum autor sugeriu mudanças. A partir de agora, sugere-se que Ciocalypta seja realocada na antiga família Ciocalyptidae Hentschel, 1923, propomos também a criação de três novos gêneros, a ressurreição do gênero Rhaphidostyla Burton, 1935 e a criação de cinco novas espécies descritas no Capítulo 1 desta tese.

# 6 DISCUSSÃO GERAL: A TAXONOMIA INTEGRATIVA EM PROL DE UMA NOVA PROPOSTA SISTEMÁTICA

A partir deste trabalho, foram encontrados caracteres morfológicos diagnósticos, especificidades nas assinaturas metabólicas e uma homogeneidade nas relações filogenéticas com quatro marcadores moleculares com diferentes dinâmicas evolutivas. Sugere-se que a descrição de novas famílias, gêneros e espécies de suberitidas deva ser baseada na combinação de caracteres, uma vez que cada uma das áreas contribui com informações específicas e, ao mesmo tempo, complementares. Portanto, este capítulo final trará reflexões sobre a classificação do grupo sob a luz dos caracteres morfológicos, assinaturas químicas e sistemática molecular, em prol de uma taxonomia integrativa da ordem Suberitida.

## 6.1 Superando desafios

A identificação de espécimes em fragmentos ou pequenas crostas limitaram a descrição detalhada dos indivíduos, principalmente quando apenas o estudo morfológico foi realizado. O limite da identificação dada pelo tamanho diminuto impede que todos os caracteres dos indivíduos sejam diagnosticados tornando impraticável a comparação dos caracteres com as descrições dos tipos. Na ordem Suberitida, em especial, a maioria das descrições dos tipos foi feita do meio do século XX para trás, com descrições utilizando exclusivamente a taxonomia alfa em espécimes provenientes dos mares europeus. Infelizmente, boa parte desses exemplares foi descrito apenas superficialmente e por isso a comparação com espécimes coletados atualmente é árdua, dificultando ainda mais quando os exemplares são de regiões biogeográficas distintas. Tendo em vista a grande diversidade morfológica das suberitidas e as homoplasias em diversos caracteres morfológicos, principalmente em Halichondriidae (VAN SOEST et al., 1990; ALVAREZ e HOOPER, 2010), a descrição correta e definitiva com a presença de caracteres diagnósticos depende da combinação de análises adicionais, tais como genética, ecologia, reprodução e química. Mesmo com tantas dificuldades, tanto os caracteres morfológicos quanto os moleculares foram capazes de apontar distinções entre as espécies. Alguns caracteres internos (subectossoma, categorias de tamanho das espículas e tipo de extremidade) e externos (tipo de superfície e forma de crescimento) mostraram ser importantes para a distinção de espécies e agrupamento de gêneros em famílias.

A principal limitação no estudo da metabolômica se deu pelo baixo número de amostras obtidas, já que as análises estatísticas para estudos de perfil metabolômico requerem um n amostral alto para que a representação da espécie seja a mais correta possível. Outro ponto negativo na amostragem aqui realizada é que praticamente, apenas amostras da família Halichondriidae foram testadas, impedindo a extrapolação das características metabólicas para toda a ordem. Além disso, a identificação dos compostos químicos foi limitada pela ausência de uma biblioteca pública robusta de esponjas marinhas, já que grande parte dos compostos produzidos pelas esponjas não foram encontrados nas plataformas on-line convencionais. Outro limitante é que grande parte das análises em tandem são desenvolvidas por poucos grupos de pesquisadores, os quais não têm interesse no uso da metabolômica para a classificação biológica (VILLAS-BÔAS e GOMBERT, 2006; QUINN et al., 2017). Neste sentido, ainda é necessário desenvolver diversos parâmetros e algoritmos para trabalhar com uma grande quantidade de grupos (OLIVON et al., 2017). Por mais que ainda haja muita limitação no estudo metabolômico, principalmente de cunho taxonômico, a metabolômica serviu para evidenciar diferenças entre morfotipos semelhantes e apontar variações em complexos de espécies.

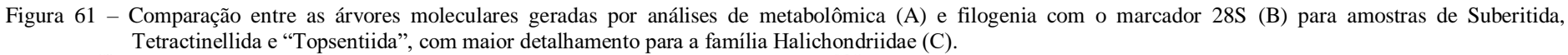
As análises filogenéticas aqui testadas convergiram com dados já publicados e sintetizados em Morrow e Cárdenas (2015). No entanto, durante as análises observou-se muitos erros de identificação de espécies, desatualização dos dados nas plataformas *on-line*, edição errada das sequências e comparação de regiões distintas do mesmo gene, gerando relações equivocadas e mantendo as dúvidas sobre a classificação de alguns grupos. Portanto, todo cuidado no manuseio e interpretação das sequências gênicas é necessário.

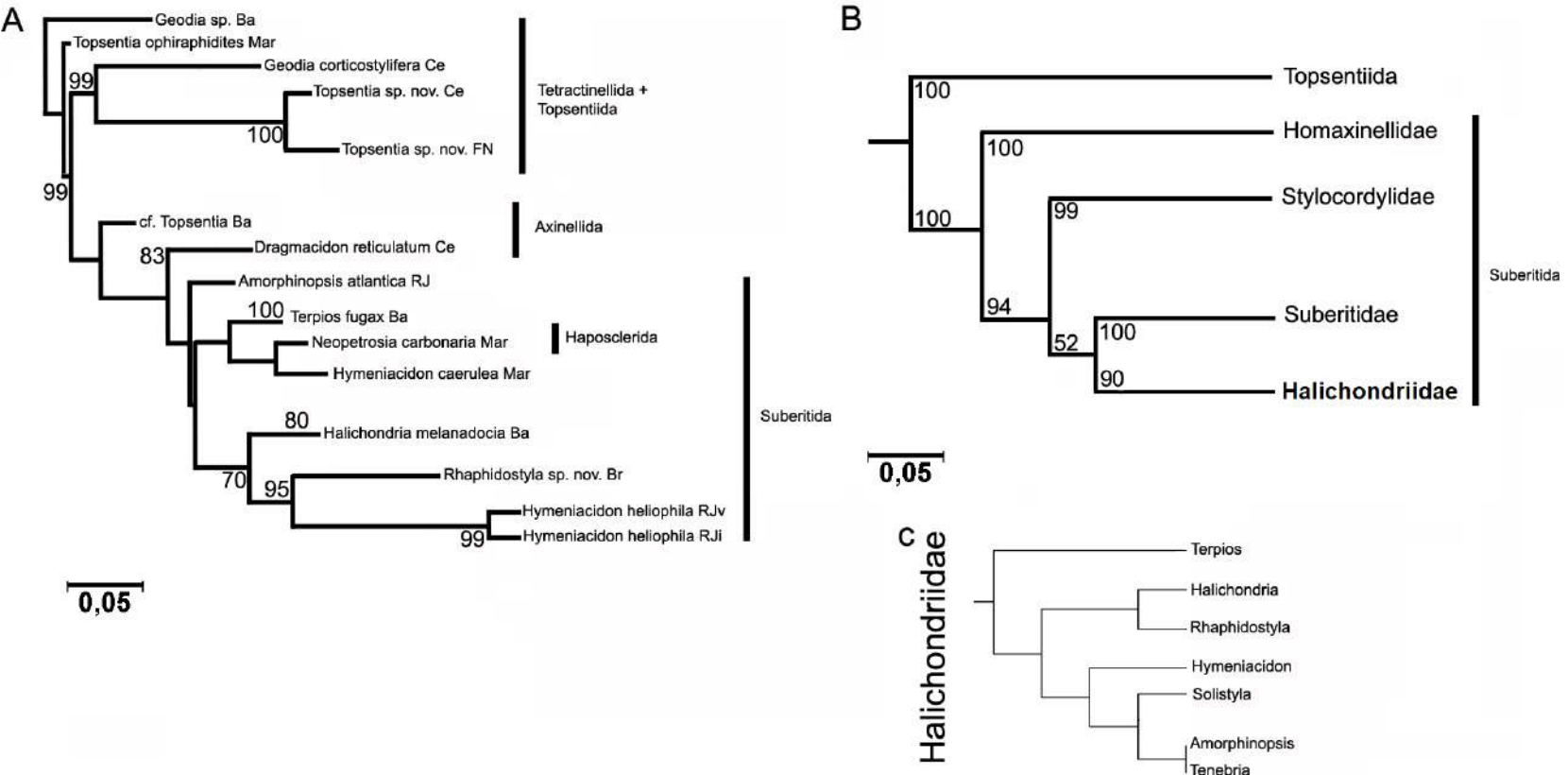
# 6.2 Convergência de relações a partir do uso de diferentes técnicas

Neste estudo as espécies de Suberitida mantiveram um padrão morfológico e químico, em especial quanto à forma de crescimento, cor, tipo e tamanho médio das espículas e assinatura química. Adicionalmente, tanto os caracteres morfológicos quanto os químicos se alinharam às histórias de parentesco filogenético em Suberitida. A evidência desta afirmação pode ser observada na Figura 61, a qual ilustra a convergência na história das relações de

parentesco entre as espécies estudadas, por meio de análises químicas e genéticas. Este resultado, assim como o encontrado por Ivanisevic e colaboradores (2011a), reafirma o potencial positivo de a metabolômica ser utilizada como uma ferramenta adicional à sistemática. Desta vez, com exemplificação em um grupo contendo espículas e esqueleto com algum nível de organização.

Na classificação de Morrow e Cárdenas (2015), Axinyssa é considerado em Bubarida, com ressalvas, e Petromica e Topsentia são incertae sedis, mas próximos de Bubarida. Morfologicamente, Topsentia e Petronica possuem um esqueleto denso, com reticulação confusa, as quais se agrupam em tratos ascendentes no esqueleto (VAN SOEST e ZEA, 1986; MURICY et al., 2001). Topsentia e Axinyssa compartilham a perda de um ectossoma especializado e apresentam óxeas fusiformes retas ou deformadas de grandes dimensões desorganizadas no coanossoma. Por outro lado, divergem pelo fato de Topsentia ter alta densidade espicular e ausência de tratos de espongina, enquanto o oposto é observado em Axinyssa (detalhes em ERPENBECK e VAN SOEST, 2002) e por isso devem ser mantidas em gêneros distintos. Estes autores afirmam que a superfície conulosa característica de Axinyssa é proveniente da aglomeração de espículas apontando para a superfície da esponja. Essa é uma característica incomum em Halichondriidae e, adicionalmente, a perda do ectossoma enfatiza a possibilidade de Axinyssa ser deslocada de Halichondriidae (ERPENBECK et al., 2012). Quimicamente, Topsentia e Petromica compartilham a produção de esteróis trisulfatados (KOSSUGA et al., 2007), enquanto Axinyssa aplysinoides (Dendy, 1922) pode produzir terpenóides nitrogenados (PATIL et al., 1997) e aminosulfatados (KODAMA et al., 2003), assim como os observados, quase que exclusivamente, nas amostras de Topsentia de Fernando de Noronha. De acordo com as assinaturas metabólicas e as análises filogenéticas aqui obtidas, Topsentia spp. pode ser considerado um grupo irmão de Geodia spp., convergindo com hipóteses filogenéticas levantadas e testadas por Morrow et al. (2013).





Legenda: As reconstruções de ambas as árvores foram realizadas no programa RAxML com o modelo GTRGAMMA com 1000 permutações do tipo *bootstrap*. Os valores de suporte mostrados na árvore A são acima 70% e na B 50%. Em (C) apresenta-se o detalhe de parentesco, por meio do método de *Neighbor Joining* (NJ) entre os gêneros de Halichondriidae que tiveram análises metabólicas testadas no presente estudo.

Fonte: O autor, 2019.

Corroborando dados moleculares pretéritos (MORROW et al., 2012; SCHUSTER et al., 2015), tanto por marcadores nucleares quanto por mitocondriais, os gêneros supracitados se aproximam e podem formar uma nova ordem. Mesmo assim, as espécies tipo ainda precisam ser analisadas para definir esta situação. Neste clado há representantes com capacidade de produzir desmas e outros sem esta capacidade aparente, mas que produzem metabólitos aminosulfatados. Também é possível separar as *Topsentia* do Brasil (sem ofirráfide) de *T. ophiraphidites*, tanto por meio da morfologia quanto pela divergência na assinatura química dos espécimes. As análises de COX1 ainda mostram um espécime de *T. ophiraphidites* dentro de Halichondriidae (GUTEKUNST et al., 2018). Por mais que existam evidências de que *Topsentia* não é Suberitida, este espécime ainda precisa ser reavaliado para que uma definição sobre o gênero seja tomada. As amostras de *T. ophiraphidites* coletadas no presente estudo não tiveram boas sequências e por isso não foram utilizadas nas filogenias deste estudo.

O grande problema na separação das famílias Suberitidae e Halichondriidae em outros grupos está vinculado aos caracteres morfológicos capazes de distinguir essas novas famílias. As análises filogenéticas apontam Homaxinella, Pseudosuberites, Spongosorites e Vosmaeria na base de Suberitida. Anatomicamente, Homaxinella compartilha com Caulospongia, Plicatellopsis, Rhizaxinella e Stylocordyla o potencial de crescimento ereto contendo uma haste e esqueleto axial condensado (VAN SOEST, 2002b), sendo muito similar a Plicatellopsis (VAN SOEST, 2002b; LEHNERT e STONE, 2017). Pseudosuberites e Spongosorites, por sua vez, não se assemelham morfologicamente aos demais citados. A descrição do tipo de Pseudosuberites, Pseudosuberites hyalina (Ridley & Dendy, 1887), é pobre e sem detalhamento, dificultando a comparação. Além disso, a espécie foi registrada para distintas regiões do planeta, tornando a sua diagnose ainda mais duvidosa (detalhes em ERPENBECK e VAN SOEST, 2002). Spongosorites Topsent, 1896 possui 23 espécies, tem crescimento maciço ou incrustante espesso, pode apresentar óxeas, estrôngilos ou estilos em um esqueleto confuso sem a formação de papilas (ERPENBECK e VAN SOEST, 2002). Portanto, uma definição sobre o posicionamento filogenético dos gêneros só poderá ser tomada após uma revisão de sistemática molecular nestes gêneros, necessária para a comprovação ou rejeiçãodeste parentesco. Em um estudo de barcoding com espécies da Antártica, VARGAS e colaboradores (2015) observaram uma proximidade entre os gêneros Homaxinella e Plicatellopsis com Suberites ficus e Pseudosuberites nudus, maso suporte deste clado foi muito baixo e o mesmo não deve ser considerado.

Com relação ao gênero Suberites, alguns representantes formaram uma família (Suberitidae) e outros representantes agruparam com Stylocordyla, Rhizaxinella e Aaptos, no clado B (28S) e A (COX1). As espécies tratadas como Suberites, por exemplo, S. aurantiacus e S. diversicolor devem ser transferidas para o gênero Ditylos, pois não agrupam com a espécie tipo de Suberites. Morrow e Cárdenas (2015) alocaram Stylocordyla em Suberitida pela similaridade morfológica e genética, porém em uma família monotípica. A união dos gêneros acima citados em Stylocordylidae pode ser explicada pela possível formação de um esqueleto com organização axial no coanossoma (espículas longas) e formação de uma paliçada ou buquês no ectossoma (espículas curtas) (ver VOULTSIADOU-KOUKOURA e VAN SOEST, 1993; KELLY-BORGES e BERGQUIST, 1994). Por outro lado, Suberitidae se difere de Stylocordylidae pois as espécies Suberites domuncula, S. ficus e S. pagurorum Solé-Cava & Thorpe, 1986 apresentam esqueleto coanossomal confuso e estão intimamente gastrópodes (SOLÉ-CAVA e de THORPE, relacionadas com espécies 1986; VOULTSIADOU-KOUKOURA e VAN SOEST, 1993). Este tipo de associação necessita de um longo período de tempo para evoluir e por isso esta pode ser a característica mais marcante para diagnosticar o gênero Suberites. Esta característica é muito mais forte e menos plástica do que a forma de crescimento ou a tendência na formação de um esqueleto reticulado em vez de confuso, como geralmente se descrevem as suberitidas. Quimicamente, uma característica diagnóstica pode estar relacionada à produção de sesquiterpenos suberitanos e derivados, até o momento considerado com valor taxonômico (ERPENBECK e VAN SOEST, 2007). O problema neste caso é que o composto foi descrito para Suberites caminatus na Antártica (SHIN et al., 1995; DÍAZ-MARRERO et al., 2003), uma espécie com distribuição que atinge quase os dois Pólos e que necessita de revisão.

De acordo com as filogenias, ramos independentes surgem para separar cf. *Terpios* e *Ciocalypta penicillus*, entre as Suberitidae e Halichondriidae. Até o momento, a primeira é representada por duas amostras, MNRJ 21813 do Mediterrâneo e PROERG 66 é uma espécie de profundidade com 100% de suporte em Soestidae. Já o segundo ramo tem baixo suporte estatístico e tem ramos muito longos. Este tipo de ramo é uma característica padrão observado tanto por marcadores moleculares quanto mitocondriais. Além disso, neste novo ramo se encontra a espécie tipo *C. penicillus*, a qual se posiciona como grupo irmão de Halichondriidae e não dentro da família. *Ciocalypta* tem uma característica diagnóstica muito marcada que é a presença de uma membrana translúcida cobrindo seu corpo, em adição às papilas e ocorrência de óxeas e/ou estilos. Alguns espécimes desta família precisam ser

reavaliados morfologicamente, uma vez que são mais próximos de Topsentiida do que de Ciocalyptidae.

A classificação de Halichondriidae é historicamente confusa seja pela presença de poucos caracteres diagnósticos ou pela plasticidade morfológica (VAN SOEST et al., 1990; ERPENBECK et al., 2006a, 2012) observada tanto intra quanto interespecificamente, vide o complexo Hymeniacidon perlevis (GASTALDI et al., 2018). Para dificultar ainda mais a organização do grupo, cinco gêneros (Ciocalapata de Laubenfels, 1936, Cryptax de Laubenfels, 1954, Laminospongia Pulitzer-Finali, 1983, Sarcomella Schmidt, 1868 e Uritaia Burton, 1932) não possuem nenhum exemplar sequenciado e, consequentemente, não são representados em nenhuma filogenia até o momento e por isso devem ser mantidos nas posições atuais, dentro de Halichondriidae. Destas Cryptax, Laminospongia, Sarcomella e Uritaia são monotípicas e Ciocalapata é representada por duas espécies. Por outro lado, os gêneros Terpios e Ulosa se inserem no clado de Halichondria na filogenia com o marcador 28S (ver THACKER et al., 2013) e por isso são tratadas como uma Halichondriidae neste estudo.

A família Halichondriidae contém sete ramos altamente suportados (>85%), Terpios, Halichondria, Rhaphidostyla, Hymeniacidon, Solistyla, Amorphinopsis e Tenebria. Porém algumas questões ainda precisam ser esclarecidas no grupo, como a falta de monofiletismo em diversos gêneros. A hipótese mais plausível é que haja erros de identificação em algumas espécies, erros de sequenciamento ou falta de atualização dos dados nos bancos de dados. Para que esta hipótese seja comprovada ou refutada, é necessário rever morfologicamente os vouchers de Axinyssa sp., Topsentia ophiraphidites e T. halichondroides (Dendy, 1905) (THACKER et al., 2013), Pseudosuberites sp., Terpios aploos de Laubenfels, 1954, Halichondria sp. que agrupa com Suberites ficus e H. heliophila que agrupa com Tenebria, os quais provavelmente configuram erros de identificação. Portanto, antes dessas amostras serem revistas morfologicamente nenhuma conclusão pode ser tomada definitivamente.

Terpios é grupo-irmão de Caulospongia, a sinonímia de Terpios fugax (Caribe) e T. gelatinosus (Mediterrâneo) parece ser inválida, pois as amostras do Mediterrâneo estão mais relacionadas com as Rhaphidostyla do que Terpios fugax. O gênero Terpios possui apenas tilóstilos e isso a aproxima de Suberitidae. Porém, tilóstilos são observados em diversas ordens de Demospongiae e por isso não são bons caracteres diagnósticos. Além disso, Terpios fugax parece diferir das demais Suberitida devido à produção de glicolipídeos, sobretudo os terpiosídeos (COSTANTINO et al., 2008, 2010). Estes compostos ainda não são muito

conhecidos em esponjas, mas podem atuar no reconhecimento celular, o que sugere atuação espécie-específica, indicando a alta possibilidade de serem utilizados como marcadores moleculares na quimiossistemática.

Diante das observações das quatro árvores geradas com marcadores distintos, assim como o agrupamento do gênero com relação a sua assinatura química, *Terpios* poderia formar uma família independente ou uma subfamília dentro de Halichondriidae. O clado contém os gêneros *Terpios* e *Caulospongia* e, futuramente, pode conter *Protosuberites*. Por mais que, historicamente, *Terpios* seja alocado junto com *Suberites*, morfologicamente, geneticamente e quimicamente, os gêneros apresentam características muito distintas. Embora o tipo de crescimento de *Terpios*seja distinto do observado em *Caulospongia*, a presença exclusiva de tilóstilos lobados em ambos os aproxima e os distancia de *Suberites* (ver VAN SOEST, 2002b). O hábito incrustante com baixa densidade espicular com tilóstilos na posição vertical e atravessando a superfície, podendo formar buquês, se assemelha as características do gênero *Protosuberites*, sendo a principal diferença morfológica entre eles a tendência de*Protosuberites* formar um tilo em forma de cogumelo. Por outro lado, o potencial de algumas espécies de *Protosuberites* crescerem de forma arborescente aproxima este gênero de *Caulospongia*, filogeneticamente (28S) próxima de *Terpios*.

Sabe-se que o ambiente afeta diretamente a forma de crescimento das esponjas (BELL et al., 2002), podendo inclusive aumentar a plasticidade da forma das espículas, como no caso dos tilóstilos (CHOMBARD et al., 1998). Terpios e Caulospongia são demarcados pelos tilóstilos lobados e, em muitos casos, achatados. Porém, Terpiosé representado por espécimes finamente incrustantes e distribuídos em águas tropicais e equatoriais (ver RÜTZLER e SMITH, 1993), enquanto Caulospongia cresce de forma ereta, apresentando esqueleto reticulado composto por tratos espiculares e distribuído predominantemente no litoral Austrália (ver FROMONT, 1998). Uma vez que as espículas destes gêneros são semelhantes, diferindo dos demais tipos de tilo encontrados nas antigas hadromeridas (HOOPER e VAN SOEST, 2002b), e as reconstruções filogenéticas agrupam estes gêneros no mesmo clado, é possível que estes gêneros sejam grupos irmãos. A hipótese mais plausível para explicar a diferenciação descomunal na forma de crescimento entre eles se debruça sobre a adaptação dos organismos frente ao estresse causado pelo ambiente. Da mesma forma que, sob condições extremas, a similaridade do habitat pode favorecer adaptações morfológicas similares, criando uma convergência fenotípica (BLANQUER e URIZ, 2007), viver em habitats distintos pode promover uma divergência fenotípica. Por mais difícil que seja

imaginar que Terpios possa ter crescimento vertical, isso se deve possivelmente porque, até o momento, este gênero tem se distribuído em áreas que favorecem a vida incrustante. Sendo assim, se Terpios se expandir ou colonizar áreas com forçantes abióticas que permitam ou forcem o crescimento ereto, como aquelas em que Caulospongia vive, esta espécie pode desenvolver melhor o seu esqueleto, formando tratos ascendentes ou axiais com espículas arranjadas em forma de buquês no ectossoma. O oposto pode servir também para Caulospongia. Alguns fatos que embasam esta hipótese são: i) existe uma Terpios, ainda não escrita, no Indo-Pacífico que vive no intertidal que pode apresentar crescimento em forma de macarrão, com hábito fistuloso (imagem de Ron Yeo em www.tidechaser.blogspot.com), diferindo das demais espécies que são incrustantes; ii) VAN SOEST (1991) sugeriu que a presença de esqueleto axial existe em indivíduos com crescimento ereto que necessitam de rigidez e flexibilidade, sendo esta hipótese aceita porque dentro das famílias com este tipo de esqueleto há também espécies incrustantes ou maciças que não necessitam de esqueleto axial condensado; iii) VAN SOEST, 2017 descreveu Suberites crispolobatus com receio, pois acreditava se tratar de S. aurantiacus possuindo longos ramos eretos e com pequenos lobos laterais para um ambiente lamoso (55-80 m). Contudo foi convencido (pelo Dr. Klaus Rützler) de que S. aurantiacus tem crescimento massivo. Fato é que S. aurantiacus é descrita para ambientes rasos e fixando-se em substrato duro e a variação ambiental pode sim induzir um tipo de crescimento diferenciado, como o ereto.

Os clados presentes em Halichondriidae podem ser diferenciados também pelo tipo de espícula e reticulação ectossomal. *Hymeniacidon* e *Solistyla* possuem estilos, *Halichondria* e *Tenebria* contém somente óxeas e *Amorphinopsis* e *Rhaphidostyla* apresentam estilos e/ou óxeas. Por sua vez, *Terpios* possui apenas tilóstilos lobados. O ectossoma é mais reticulado em *Halichondria* e *Tenebria* do que nos demais representantes, apesar do ectossoma ser possivelmente destacável em todos os gêneros, alguns mais facilmente do que outros.

Quimicamente, Halichondriidae possui isocianetos que são considerados marcadores taxonômicos (ERPENBECK e VAN SOEST, 2007), porém estes não foram identificados como VIPs nas assinaturas químicas deste estudo. Corroborando os dados genéticos, *Hymeniacidon heliophila*, *Solistyla caerulea* e *Rhaphidostyla* sp. nov. (todas previamente *Hymeniacidon*) agruparam em clados muito distantes quanto às assinaturas químicas e compostos VIP (Capítulo 2, Figura 44), indicando que se tratam de gêneros distintos. Nesta mesma figura, também ficou clara a proximidade entre *Tenebria melanadocia* e *Amorphinopsis atlantica* suportando o último clado na árvore do 28S (Figura 53). A distância

de *Hymeniacidon heliophila* em relação às demais Halichondriidae no estudo metabolômico, assim como a polifilia da espécie com marcadores genéticos (GASTALDI *et al.*, 2018) e a presença de subtilóstilos em espécimes caribenhos (DÍAZ *et al.*, 1993) reforça a necessidade de revisão desta espécie. Ademais, amostras agrupando em clados distintos devem representar contaminações, como o exemplo deste estudo, onde uma amostra de *H. heliophila* (MNRJ 21598) agrupou com o complexo de *Tenebria*. Certamente a sequência genética deste material se trata de uma contaminação, pois este espécime foi avaliado morfologicamente contendo exclusivamente estilos <500 μm, cor laranja e presença de papilas, tipicamente uma *H. heliophila*.

Rhaphidostyla kitchingi Burton, 1935 e Uritaia foram sinonimizadas com Hymeniacidon por Erpenbeck e van Soest, (2002), porém Uritaia continua com status de gênero até o momento (VAN SOEST et al., 2019), pois duas categorias de estilos podem ser categorizadas neste gênero, em vez de apenas uma em Hymeniacidon. Já Rhaphidostyla agora é reerguida como um gênero, separado de Hymeniacidon. Este gênero possui tanto óxeas quanto estilos finos, em combinação ou sozinhos no esqueleto. O perfil químico das amostras do Rio de Janeiro e da Bahia também distinguem a nova espécie de Rhaphidostyla de Hymeniacidon. Tanto o estudo filogenético aqui realizado quanto as reconstruções de Redmond et al. (2013) e Thacker et al. (2013) mostraram que seus representantes estão apartados de Hymeniacidon e próximos de Halichondria, indicando que ambos os gêneros se localizam em clados distintos. Rhaphidostyla tem um suporte de 87%, sendo R. kitchingi, Rhaphidostyla sp. nov. e Hymeniacidon gracilis intimamente relacionadas. Todos os marcadores recuperaram um ramo longo neste clado, indicando que as espécies estão sofrendo mutações em taxas elevadas. Por haver convergência nos marcadores, isso não impede a ressurreição do grupo.

Além dos gêneros mencionados acima para compor Amphispiculinae, possivelmente Ciocalapata, Cryptax, Johannesia, Laminospongia, Sarcomellae Uritaia também fazem parte desta subfamília. Ciocalapata de Laubenfels, 1936 possui estilos e óxeas e portanto deve ser alocada nesta subfamília. Cryptax orygmi de Laubenfels, 1954 é um espécime mal descrito, pois a revisão no Systema Porifera apontou a existência exclusiva de óxeas em vez de tilóstilos e esqueleto entrecruzado, descritos por de Laubenfels na diagnose do gênero. Laminospongia está inserida em Halichondriidae simplesmente pela presença de óxeas e estilos e um esqueleto confuso. Claramente, Erpenbeck e van Soest (2002) propuseram a manutenção de Laminospongia como um gênero válido de Halichondriidae por não existir

evidência de sua posição filogenética em outro grupo. Sarcomella é outro exemplo de identificação extremamente duvidosa (descrição em SCHMIDT, 1868). Apesar de Topsent (1938) manifestar a presença de óxeas na espécie S. medusa Schmidt, 1868, ele enfatiza a má descrição do autor e classifica o gênero como enigmático. Apenas estes dois trabalhos citam a existência de Sarcomella. Com exceção de Johannesia, os demais gêneros são alocados próximos a Amorphinopsis como incertaes edis, por não existir evidência filogenética do contrário. Estes gêneros são extremamente duvidosos e novos estudos são necessários, inclusive com a coleta de novos espécimes nas regiões onde os tipos foram descritos. O complexo de espécies compreendendoo novo gênero Tenebria contém T. okadai, T. marianae, T. melanadocia, T. sulfurea e T. tenebrica. Este nome remete a escuridão em grego, devido a dificuldade de identificação tanto com a taxonomia alfa quanto através da sistemática molecular, formando um complexo de espécies. Estas espécies compartilham a exclusividade de espículas do tipo óxea e uma ou duas categorias de tamanho. Todos as demais espécies de Halichondria de ambientes tropicais e subtropicais e de cor escura precisam ser revistas, pois podem pertencer ao gênero Tenebria em vez de Halichondria.

## 6.3 Novas propostas de diagnose e classificação em Suberitida

Uma profunda modificação nas relações de parentesco em Suberitida foi revelada por meio dos marcadores moleculares, convergindo com as assinaturas químicas das Halichondriidae e das *Topsentia* spp. Entretanto, ainda permanece o grande desafio de encontrar caracteres morfológicos diagnósticos para todos os novos grupos. A nova proposta de classificação está compilada na na Figura 62 e na Tabela 18. Abaixo estão descritas as novas propostas de diagnose para cada família, subfamília e gênero criados.

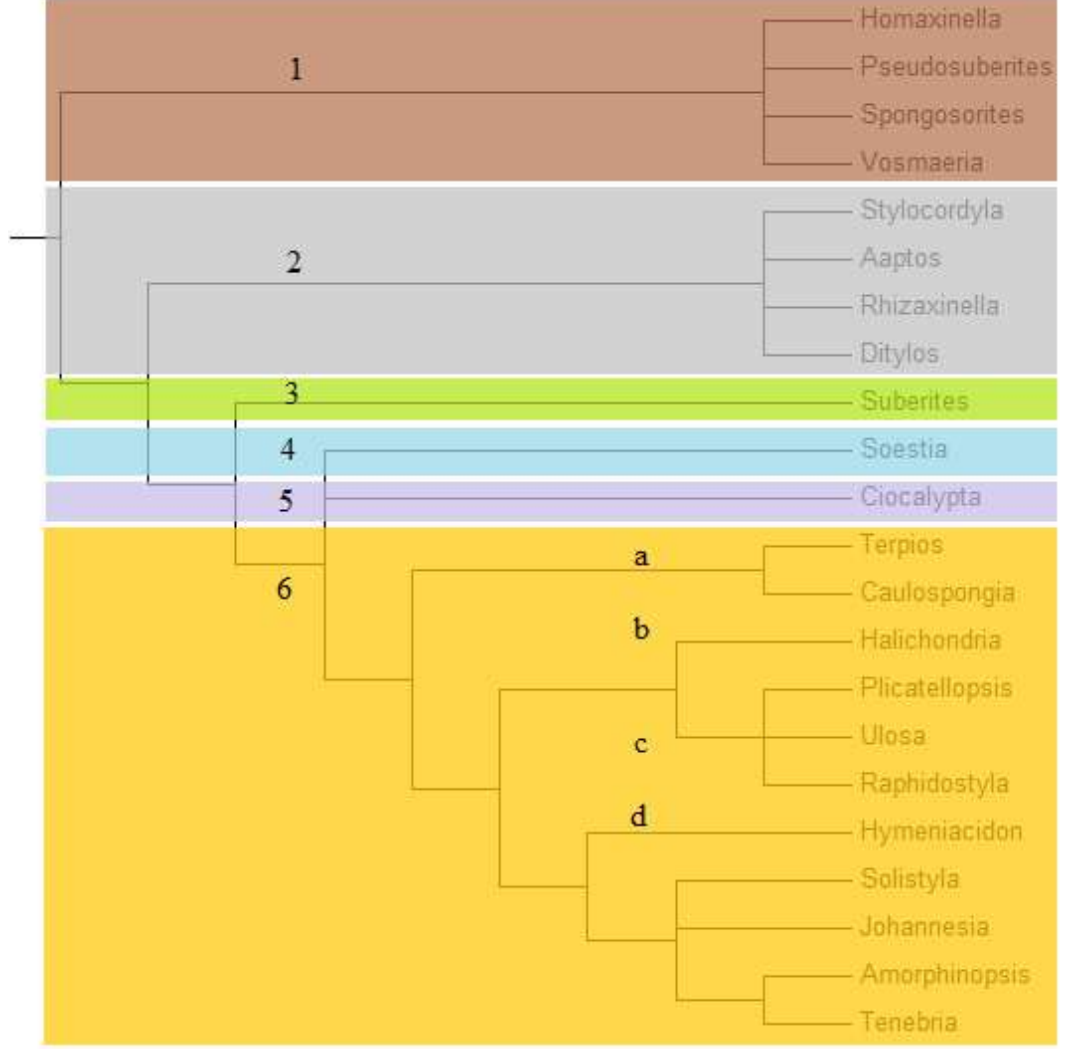


Figura 62 – Novo posicionamento filogenético dos gêneros de Suberitida aqui trabalhados.

Legenda: Reconstrução filogenética de consenso (*Neighbor Joining*) de Suberitida para o nível de gênero. Cada grande clado com ramificações baseadas tanto em caracteres morfológicos quanto genéticos está indicado pelos números e cores diferentes na árvore. As letras indicam subdivisões de clados estatisticamente suportados dentro da família Halichondriidae.

Fonte: O autor, 2019.

Tabela 18 – Comparação entre a classificação antes e depois das propostas apresentadas no presente estudo e demonstradas na Figura 62. (continuação)

sensu (MORROW e CÁRDENAS, 2015)				Presente estudo			
Ordem	Família	Gênero	Ordem	Clado	Família	Gênero	
Suberitida	Stylocordylidae	Stylocordyla	Suberitida	1	Suberitidae /	Homaxinella	
	Suberitidae	Aaptos			Halichondriidae*	Pseudosuberites*	
		Caulospongia				Spongosorites	
		Homaxinella*				Vosmaeria	
		Plicatellopsis		2	Stylocordylidae	Stylocordyla	
		Protosuberites				Aaptos	
		Pseudospongosorites				Rhizaxinella	
		Pseudosuberites				Ditylos	
		Rhizaxinella		3	Suberitidae	Suberites	
		Suberites				Pseudospongosorites	
		Terpios*				Protosuberites*	
	Halichondriidae	Amorphinopsis		4		Soestia*	
		Axinyssa		5	Ciocalyptidae <sup>1</sup>	Ciocalypta	
		Ciocalapata		6	Halichondriidae "a"	Terpios	
		Ciocalypta				Caulospongia	
		Cryptax			Halichondriidae "b"	Halichondria	
		Epipolasis			Halichondriidae "c"	Rhaphidostyla <sup>1</sup>	
		Halichondria				Plicatellopsis*	
		Hymeniacidon				$Ulosa^{2*}$	
		Johannesia			Halichondriidae "d"	Amorphinopsis	
Suberitida		Laminospongia	Suberitida			Ciocalapata	
		Sarcomella				Cryptax*	
		Spongosorites				Hymeniacidon	

Tabela 18 – Comparação entre a classificação antes e depois das propostas apresentadas no presente estudo e demonstradas na Figura 62 (conclusão)

sensu (MORI	<b>RDENAS, 2015</b> )		Presente estudo					
Ordem	Família	Gênero	Ordem	Clado	Família	Gênero		
Suberitida		Topsentia*	Suberitida	6	Halichondriidae "d"	Johannesia		
		Uritaia				Laminospongia*		
		Vosmaeria				Sarcomella*		
						Uritaia		
						Solistyla		
						Tenebria		
			Axinellida		Axinellidae	$Epipolasis^2$		
			Topsentiida		Topsentiidae	$Axinyssa^2$		
Poescilosclerida Esp	periopsidae	Ulosa*				Topsentia <sup>2</sup>		

Legenda: Nomes em negrito correspondem a novas propostas de classificação, ¹ressurreição de nomes, ²realocação na classificação e \*incertae sedis. Cada grande clado com ramificações baseadas tanto em caracteres morfológicos quanto genéticos está indicado pelos números e cores diferentes na árvore. As letras indicam subdivisões de clados estatisticamente suportados dentro da família Halichondriidae.

Fonte: O autor, 2019.

## Clado 1

Gêneros Homaxinella, Pseudosuberites, Spongosorites e Vosmaeria. Crescimento ereto com a formação de hastes e extremidades digitiformes ou crescimento massivo com papilas. As espículas são tilóstilos, preferencialmente, mas modificações para estrôngilos, estilos e óxeas também podem ocorrer. O esqueleto é extra-axial, tendendo para confuso na periferia. O ectossoma não é especializado, mas há formação de espículas arranjadas em buquê. Distribuição restrita a águas temperadas e polares. Reconstruções filogenéticas do 28S (D1-D2) e COX1 (FOLMER) relacionam os gêneros, pois a descrição de Hymeniacidon simplicima se refere a uma espécie de Pseudosuberites (MORROW et al., 2012). Contudo, outros espécimes de Pseudosuberites sp. são observados em diferentes clados nas reconstruções, indicando que o gênero possa ser polifilético.

# Clado 2 – Família Stylocordylidae

Família contendo os gêneros *Aaptos*, *Ditylos*, *Rhizaxinella*, e *Stylocordyla*. A forma de crescimento ereto com a formação de uma haste e o tipo de esqueleto axial com modificação para radial aproximam *Rhizaxinella* e *Stylocordyla*. *Aaptos* e *Ditylos* possuem crescimento globular/ovóide ou massivo com ectossoma em paliçada ou buquês de espículas de pequenas dimensões. As espículas podem ser óxeas, estrongilóxeas ou tilóstilos, além de micróxeas ou tricodragmas. A distribuição preferencial das espécies é em zona temperada, desde o intertidal até águas profundas. Reconstruções filogenéticas com o gene mitocondrial COX1 aproximam os quatro gêneros (ver ilustração acima). Adicionalmente, marcadores moleculares nucleares e mitocondriais separaram *Ditylos* de *Suberites*, as verdadeiras Suberitidae. A diagnose de *Ditylos* indica espécies com crescimento maciço ou incrustante espesso, tilóstilos fusiformes e separados em duas categorias de tamanho. O esqueleto coanossomal tende a reticulado. Geralmente, as espécies possuem cromovariação. As espécies estão distribuídas, majoritariamente, em águas rasas e mesofóticas, desde a zona equatorial até subtropical.

## Clado 3 – Família Suberitidae

Família contendo os gêneros *Suberites*, *Protosuberites* (*incertae sedis*) e *Pseudospongosorites*. Existe associação simbiótica com moluscos. O crescimento é incrustante ou maciço com arranjo esquelético mais ou menos confuso. As espículas são tilóstilos globosos com variação para subtilóstilos, retos ou curvos. As óxeas são exclusivamente observadas em *Pseudospongosorites*. A distribuição é majoritariamente

temperada. Geneticamente, *Protosuberites* é polifilética, pois existem espécies agrupando com os gêneros *Suberites*, *Rhaphidostyla*, *Soestia* e *Terpios*. Portanto, uma revisão do gênero é necessária. A associação com gastrópodes é o principal motivo para inserir *Protosuberites* em Suberitidae.

## Clado 4

Clado contendo apenas dois indivíduos: MNRJ 21813 e PROERG 66, que não se enquadram em nenhum outro gênero até o momento e criados com base em evidências filogenéticas. Os quatro marcadores moleculares (28S, ITS2, 16S e COX1) testados neste estudo foram capazes de separar estes espécimes dos demais. Apenas o MNRJ 21813 foi avaliado morfologicamente, enquanto PROERG 66 agrupa geneticamente. O gênero não mantém a coloração após a fixação, tem crescimento incrustante e as espículas são exclusivamente tilóstilos globosos, paralelamente arranjados com a ponta aguda voltada para a superfície. A espécie avaliada é incrustante, de coloração azul *in vivo* e branca após a fixação. A perda de cor é um caráter importante para diferenciar os representantes deste clado de *Terpios*. Os indivíduos foram coletados em águas frias, MNRJ 21813 no Mediterrâneo e PROERG 66 na América do Sul. O nome *Soestia* foi dado a este clado meramente para facilitar a compreensão do leitor.

# Clado 5 – Família Ciocalyptidae

Família contendo apenas o gênero *Ciocalypta*. Assim como o clado 4, este gênero divide as Suberitidae de Halichondriidae, geneticamente. O gênero possui uma característica única que é a presença de uma membrana translúcida no seu exterior. O crescimento é maciço na base com a formação de papilas. As espículas são óxeas e estilos, em combinação ou exclusivas. O esqueleto tende para axial, principalmente nas papilas. A distribuição é cosmopolita, exceto na Antártica.

## Clado 6 – Família Halichondriidae

A maior família com suporte filogenético de 90% no 28S e 94% no COX1. A família é formada por um clado contendo 14 gêneros subdivididos em sete ramos e quatro subdivisões, com base nas amostras comparativas utilizadas neste estudo. A família é diagnosticada por espécies contendo exclusivamente megascleras, esqueleto confuso no coanossoma, mas com tendência de formação de tratos ascendentes e ectossoma reticulado e destacável. A relação

das subdivisões foi definida com base na filogenia do grupo, mas também a partir de atributos morfológicos e químicos.

#### Subdivisão A

Contém os gêneros *Terpios* e *Caulospongia*, identificados a partir de diferentes marcadores moleculares. Uma longa comparação dos gêneros foi realizada na discussão geral deste trabalho. É caracterizada por espécies com espículas tilóstilos contendo tilo lobado em uma única categoria de tamanho. As espécies têm cores vibrantes que se mantém após a fixação em álcool. Geralmente as cores estão associadas ao tipo de cianobactéria simbionte. O esqueleto tem baixa densidade espicular, tanto em espécimes incrustantes quanto eretos. O tilo é voltado para o substrato e a ponta aguda para a superfície da esponja, a qual é geralmente híspida. Existem espécies com capacidade de crescer sobre corais, matando-os. A distribuição é geralmente tropical e subtropical, desde a zona intertidal até a zona mesofótica.

#### Subdivisão B

Esta subdivisão agrupa o clado de *Halichondria*, cujas espécies têm crescimento incrustante espesso a maciço, podendo apresentar fístulas. Quando as fístulas estão presentes, o subgênero é *Eumastia*, enquanto o subgênero *Halichondria* corresponde a espécies sem esta característica. As espículas são óxeas em *Halichondria*, com frequente divisão de categorias. O esqueleto é confuso no interior, com tendência a formação de tratos multiespiculares ascendentes, caracterizado como halichondróide. O ectossoma é destacável e reticulado. A distribuição é cosmopolita, mas com preferência para águas rasas em zonas subtropicais e temperadas.

#### Subdivisão C

Agrupa os gêneros *Rhaphidostyla*, *Plicatellopsis*\* e *Ulosa*\*. A subdivisão contém espécies com crescimento incrustante a maciço, com a presença de fístulas ou crescimento arborescente. As espículas são tilóstilos, óxeas e/ou estilos. O esqueleto tende a formar tratos multiespiculares ascendentes. A distribuição é disjunta, mas com preferência para águas tropicais e subtropicais. *Rhaphidostyla* pode apresentar óxeas e estilos em combinação ou em exclusividade. A assinatura química indica a presença de compostos polares de alta intensidade e as reconstruções filogenéticas separam o gênero de *Hymeniacidon*. Este gênero está sendo ressuscitado, uma vez que se difere em uma gama de fatores de *Hymeniacidon*.

## Subdivisão D

A subdivisão é composta por 10 gêneros. O crescimento é geralmente maciço e com superfície irregular. As espículas são óxeas e/ou estilos com modificação para subtilóstilos. O esqueleto é formado por tratos anastomizados da base até a superfície. O ectossoma apresenta uma reticulação irregular e é destacável, mas não tão fácil quanto na subfamília Halichondriinae. O novo gênero *Solystyla* possui crescimento maciço sem a formação de papilas. O esqueleto é halichondróide, mas as espículas são estilos, frequentemente ultrapassando 500 μm. O novo gênero *Tenebria* é composto por espécies de águas tropicais e subtropicais. O crescimento varia de incrustante a maciço com a possível formação de lobos, onde os ósculos se localizam. A superfície nunca é lisa devido às espículas que protrudam o ectossoma. O coanossoma é formado exclusivamente por óxeas em uma ou duas categorias de tamanho.

# **CONCLUSÕES**

Os caracteres morfológicos, as assinaturas metabólicas e as reconstruções filogenéticas com marcadores nucleares e mitocondriais funcionaram tanto quando utilizados sozinhos quanto em combinação. Porém, alguns grupos não foram possíveis de ser identificados quando apenas a morfologia foi aplicada. Da mesma forma, amostras identificadas equivocadamente se mostraram ambíguas nos estudos moleculares, dificultando ou impedindo a identificação. Sendo assim, afirma-se que a integração de ferramentas é a melhor forma de identificar e classificar os representantes da ordem Suberitida.

Diante da vastidão de caracteres observados e delimitados neste estudo, a ordem Suberitida pode ser definida pela presença de caracteres e não mais pela ausência deles, uma vez que possui primariamente espículas monoaxônicas, esqueleto axial em espécies com crescimento ereto, geralmente com a formação de buquês no ectossoma e halichondróide em espécies com pequena espessura. O esqueleto ectossomal destacável tende para reticulado em Halichondriidae, enquanto as demais famílias não possuem ectossoma destacável com especialização. Espécies com crescimento exclusivamente ereto geralmente são restritas a regiões de altas latitudes ou altas batimetrias, enquanto espécies maciças, globosas e incrustantes são características de águas tropicais e rasas.

A nova proposta de classificação para a ordem Suberitida contém seis clados, um deles subdividido em quatro grupos (Tabela 18). Após as propostas, a ordem é representada por três famílias, 29 gêneros e 451 espécies. Destas espécies, 52 (11,5%) estão distribuídas no Oceano Atlântico Tropical Ocidental.

- a) Foram identificadas e descritas 19 espécies e 13 morfotipos a partir de caracteres morfológicos. Quatro novas espécies de Suberitida foram diagnosticadas e uma de *Topsentia*;
- b) Este foi o primeiro estudo focando na metabolômica de esponjas exclusivamente espiculadas. O conjunto metabólico dos representantes da Ordem Suberitida distribuídas no Brasil e na Martinica foi relacionado com sucesso com as características morfológicas e genéticas, além de ser capaz de identificar poluentes plásticos;

- c) As espécies tropicais *Terpios fugax* e *Halichondria melanadocia* evidenciaram alto potencial bioativo contra a cepa bacteriana de *Aliivibrio fischeri*. Estudos com foco nos glicolipídeos são promissores;
- d) A filogenia da Ordem Suberitida indicou um padrão altamente suportado por meio de quatro marcadores moleculares com diferentes taxas de mutação;
- e) A taxonomia integrativa elucidou a separação de grupos de espécies da Ordem Suberitida. A integração e comparação de dados morfológicos, metabólicos e genéticos apontaram uma classificação robusta;
- f) Representantes dos gêneros *Axinyssa* e *Topsentia* são alocados fora de Suberitida, indicando a presença de uma nova ordem ("Topsentiida").

# REFERÊNCIAS

ABE T, KUKITA A, AKIYAMA K, NAITO T, UEMURA D. 2012. Isolation and structure of a novel biindole pigment substituted with an ethyl group from a metagenomic library derived from the marine sponge *Halichondria okadai*. Chemical Letters 41:728–729. DOI: 10.1246/cl.2012.728.

ACKERS ROA, MOSS D, PICTON BE. 1992. Sponges of the British Isles ('Sponge V') a colour guide and working document. Marine Conservation Society: 1–175.

ALAM N, BAE BH, HONG J, LEE CO, SHIN BA, IM KS, JUNG JH. 2001. Additional bioactive lyso-PAF congeners from the sponge *Spirastrella abata*. Journal of Natural Products 64:533–535.

ALLARD PM, PÉRESSE T, BISSON J, GINDRO K, MARCOURT L, PHAM VC, ROUSSI F, LITAUDON M, WOLFENDER JL. 2016. Integration of molecular networking and insilico MS/MS fragmentation for natural products dereplication. Analytical Chemistry 88:3317–3323. DOI: 10.1021/acs.analchem.5b04804.

ALVAREZ B, HOOPER JNA. 2010. Taxonomic revision of the order Halichondrida (Porifera: Demospongiae) of northern Australia. Family Halichondriidae. The Beagle, Records of the Museums and Art Galleries of the Northern Territory 26:13–36.

ALVI KA, TENENBAUM L, CREWS P. 1991. Anthelmintic polyfunctional nitrogen-containing terpenoids from marine sponges. Journal of Natural Products 54:71–78.

AMOS W, HOELZEL AR. 1991 Long-term preservation of whale skin for DNA analysis. In: Hoelzel AR (Ed.) Genetic Ecology of Whales and Dolphins. International Whaling Commission Special, Cambridge. p. 99–104.

ANDERSON NL, ANDERSON NG. 1998. Proteome and proteomics: New technologies, new concepts, and new words. Electrophoresis 19:1853–1861.

ANJUM K, ABBAS SQ, SHAH SAA, AKHTER N, BATOOL S, HASSAN SS. 2016. Marine sponges as a drug treasure. Biomolecules & Therapeutics 24:347–362.

ANTCLIFFE JB, CALLOW RHT, BRASIER MD. 2014. Giving the early fossil record of sponges a squeeze. Biological Reviews 89:972–1004.

APPELTANS W, AHYONG ST, ANDERSON G et al. 2012. The magnitude of global marine species diversity. Current Biology 22:2189–2202.

ARCHER SK, STONER EW, LAYMAN CA. 2015. A complex interaction between a sponge (*Halichondria melanadocia*) and a seagrass (*Thalassia testudinum*) in a subtropical coastal ecosystem. Journal of Experimental Marine Biology and Ecology 465:33–40.

AVILÉS E, RODRIGUÉZ AD. 2010. Monamphilectine A, a potent antimalarial β-Lactam from a marine sponge *Hymeniacidon* sp: Isolation, structure, semisynthesis, and bioactivity. Organic Letters 12:5290–5293.

AYLING AL. 1980. Patterns of sexuality, asexual reproduction and recruitment in some infralitoral marine Demospongiae. Biological Bulletin 158:271–282.

BAIRD CA. 2016. Measuring the effects of microplastics on sponges. Dissertação de Mestrado, Victoria University of Wellington, Nova Zelândia.

BAKUS GJ, GREEN G. 1974. Toxicity in sponges and holothurians: a geographic pattern. Science 185:951–953.

BARNATHAN G, VELOSAOTSY N, AL-LIHAIBI S, NJINKOUE JM, KORNPROBST JM, VACELET J, BOURY-ESNAULT N. 2004. Unusual sterol composition and classification of three marine sponge families. Bollettino dei Musei e degli Istituti Biologici Università di Genova 68:201–208.

BARNATHAN G. 1993. Acides gras et stérols d'éponges marines du Sénégal et de Nouvelle-Calédonie. Tese de Doutorado, Université de Nantes, França.

BARTHEL D, GUTT J (1992) Sponge associations in the eastern Weddell Sea. Antarctic Science 4:137–150.

BARTIK K, BRAEKMAN JC, DALOZE D, STOLLER C, HUYSECOM J, VANDEVYVER G, OTTINGER R. 1987. Topsentins, new toxic bis-indole alkaloids from the marine sponge *Topsentia genitrix*. Canadian Journal of Chemistry 65:2118–2121.

BAUERMEISTER A, VELASCO-ALZATE K, DIAS T, MACEDO H, FERREIRA EG, JIMENEZ PC, LOTUFO TMC, LOPES NP, GAUDÊNCIO SP, COSTA-LOTUFO LV. 2018. Metabolomic fingerprinting of *Salinispora* from Atlantic oceanic islands. Frontiers in Microbiology. DOI: 10.3389/fmicb.2018.03021.

BEAZLEY LI, KENCHINGTON EL, MURILLO FJ, SACAU M. 2013. Deep-sea sponge grounds enhance diversity and abundance of epibenthic megafauna in the Northwest Atlantic. ICES Journal of Marine Science 70:1471–1490. DOI: 10.1093/icesjms/fst124.

BECERRO MA, THACKER RW, TURON X, URIZ MJ, PAUL VJ. 2003. Biogeography of sponge chemical ecology: comparisons of tropical and temperate defenses. Oecologia 135:91–101.

BECKING LE, ERPENBECK D, PEIJNENBURG KTCA, DE VOOGD NJ. 2013. Phylogeography of the sponge *Suberites diversicolor* in Indonesia: Insights into the evolution of marine lake populations. Plos One 8:e75996. DOI: 10.1371/journal.pone.0075996.

BELANGER CL, JABLONSKI D, ROY K, BERKE SK, KRUG AZ, VALENTINE JW. 2012. Global environmental predictors of benthic marine biogeographic structure. Proceedings of the National Academy of Sciences 109:14046–14051.

BELL JJ, BARNES DKA, TURNER JR. 2002. The importance of micro and macro morphological variation in the adaptation of a sublittoral demosponge to current extremes. Marine Biology 140:75–81.

BERGMANN W, FREENEY RJ.1950. The isolation of a new thymine pentoside from sponges. Journal of the American Chemical Society 72:2809–2810.

BERGMANN W. 1949. Comparative biochemical studies on the lipids of marine invertebrates, with special reference to the sterols. Journal of Marine Research 8:137–176.

BERGMANN W. 1962. Sterols: their structure and distribution. In Florkin M; Mason HS (Eds.) Compreensive Biochemistry (Vol 3), New York and London: Academic Press, 103–162.

BERGQUIST PR, CAMBIE RC, KERNAN MR. 1991a. Aaptamine, a taxonomic marker for sponges of the order Hadromerida. Biochemical Systematics and Ecology 19:289–290.

BERGQUIST PR, KARUSO P, CAMBIE RC, SMITH DJ. 1991b. Sterol composition and classification of the Porifera. 3. Biochemical Systematics and Ecology 19:17–24.

BERGQUIST PR, WELLS RJ. 1983 Chemotaxonomy of the Porifera: the development and current status of the field. In:Scheuer PJ. (Ed.) Marine Natural Products. Chemical and Biological Perspectives, Academic Press, New York, 1–50.

BERGQUIST PR. 1972: Deep water Demospongiae from New Zealand. Micronesica 8:125–136.

BERGQUIST PR. 1978. Sponges. London: Hutchinson, 268 p.

BERNARDI N. 1981. Phylogenetic relationships, monophyletic group and related concepts. Revista Brasileira de Entomologia 25:323–326.

BIGELOW RW. 1956. Monophyletic classification and evolution. Systematic Biology 5:145–146. DOI: 10.2307/2411915

BLANQUER A, URIZ MJ. 2007. Cryptic speciation in marine sponges evidenced by mitochondrial and nuclear genes: a phylogenetic approach. Molecular Phylogenetics and Evolution 45:392–397.

BLUNT J, MUNRO M.2016. MarinLit. University of Canterbury, New Zealand. http://pubs.rsc.org/marinlit/.

BLUNT JW, COPP BR, KEYZERS RA, MUNRO MHG, PRINSEP MR. 2016. Marine natural products. Natural Product Reports 33:382–431.

BO M, BERTOLINO M, BAVESTRELLO G, CANESE S, GIUSTI M, ANGIOLILLO M, PANSINI M, TAVIANI M. 2012. Role of deep sponge grounds in the Mediterranean Sea: a case study in the southern Italy. Hydrobiologia 687:163–177.

BORBONE N, DE MARINO S, IORIZZI M, ZOLLO F, DEBITUS C, IANARO A, PISANO B. 2001. New glycosphingolipids from themarine sponge *Aplysinella rhax* and their potential as nitric oxide release inhibitors. European Journal of the Organic Chemistry 24:4651–4656.

BORCHIELLINI C, CHOMBARD C, LAFAY B, BOURY-ESNAULT N. 2000. Molecular systematics of sponges (Porifera). Hydrobiologia 420:15–27.

BORCHIELLINI C, CHOMBARD C, MANUEL M, ALIVON E, VACELET J, BOURY-ESNAULT N. 2004. Molecular phylogeny of Demospongiae: implications for classification and scenarios of character evolution. Molecular Phylogenetics and Evolution 32:823–837.

BOTTING JP, MUIR LA. 2018. Early sponge evolution: a review and phylogenetic framework. Palaeoworld 27:1–29.

BOURY-ESNAULT N. 1971. Spongiaires de La zone rocheuse de Banyuls-sur-mer II Systématique. Vie & Milieu 22:287–350.

BOURY-ESNAULT N. 1973. Campagne de la Calypso au large des côtes atlantiques de l'Amérique du Sud (1961-1962). Spongiaires. Résultats scientifiques des campagnes de la Calypso 10:263–295.

BOURY-ESNAULT N, LOPES MT. 1985. Les Démosponges littorales de l'Archipel des Açores. Annales de l'Institut océanographique. 61:149–225.

BOURY-ESNAULT N, RÜTZLER K. 1997. Thesaurus of sponge morphology. Smithsonian Contributions to Zoology, 55 p.

BOURY-ESNAULT N, LAVROV DV, RUIZ CA, PÉREZ T. 2013. The integrative taxonomic approach applied to Porifera: a case study of the Homoscleromorpha. Integrative and Comparative Biology 53:416–427. DOI:10.1093/icb/ict042.

BOWERBANK JS. 1864. A monograph of the british Spongiadae. Volume 1. Ray Society: London: I-XX, 290 pp.

BOWERBANK JS. 1866. A monograph of the british Spongiadae. Volume 2. Ray Society: London: I-XX, 388 pp.

BOWERBANK JS. 1874. A Monograph of the British Spongiadae. Volume 3. Ray Society: London: I-XVII, 367 pp.

BUNDY JG, DAVEY MP, VIANT MR. 2009. Environmental metabolomics: a critical review and future perspectives. Metabolomics 5:3–21.

BURRESON BJ, SCHEUER PJ, FINER J, CLARDY J. 1975. 9-Isocyanopupukeanane, a marine invertebrate allomone with a new sesquiterpene skeleton. Journal of the American Chemical Society. DOI: 10.1021/ja00849a053

BURTON M. 1954. Sponges. Pp. 215-239, pl. 9. In: The 'Rosaura' Expedition. Part 5. Bulletin of the British Museum (Natural History) Zoology 2:231–232.

BURTON M. 1935. Notes on british sponges, with a description of a new genus and species. Annals and Magazine of Natural History. 10:651–653.

CACHET N, GENTA-JOUVE G, IVANISEVIC J, CHEVALDONNÉ P, SINNIGER F, CULIOLI G, PÉREZ T, THOMAS OP. 2015. Metabolomic profiling reveals deep chemical divergence between two morphotypes of the zoanthid *Parazoanthus axinellae*. Scientific Reports 5. DOI: 10.1038/srep08282

CALDERÓN GJ, CASTELLANOS L, DUQUE C, ECHIGO S, HARA N, FUJINOMOTO Y. 2004. Ophirasterol, a new C31 sterol from the marine sponge *Topsentia ophiraphidites*. Steroids 69:93–100.

CANUTO GAB, DA COSTA JL, DA CRUZ PLR, DE SOUZA ARL, FACCIO AT, KLASSEN A, RODRIGUES KT, TAVARES MFM. 2018. Metabolômica: Definições, estado-da-arte e aplicações representativas. Química Nova 41:75–91.

CARBALLEIRA NM, REYES ED. 1990. Novel very long chain fatty acids from the sponge *Petrosia pellasarca*. Journal of Natural Products 53:836–840.

CARBALLEIRA NM, SHALABI F, NEGRON V. 1989. 2-Hydroxy fatty acids from marine sponges 2. The phospholipid fatty acids of the Caribbean sponges *Verongula gigantea* and *Aplysina archeri*. Lipids 24:229–232.

CARBALLEIRA NM, SHALABI F. 1990. Identification of naturally-occurring trans  $\Delta 5,9$  fattyacids from the sponge *Plakortis halichondroides*. Lipids 25:835–840.

CÁRDENAS P, XAVIER JR, REVEILLAUD J, SCHANDER C, RAPP HT.2011. Molecular phylogeny of the Astrophorida (Porifera, Demospongiaep) reveals an unexpected high level of spicule homoplasy. Plos One 6:e18318. DOI:10.1371/journal.pone.0018318.

CÁRDENAS P, PÉREZ T, BOURY-ESNAULT N. 2012. Sponge systematics facing new challenges. Advances in Marine Biology. 61:79–209.

CARLETTI I, LONG C, FUNEL C, AMADE P. 2003. Yardenone A and B: New cytotoxic triterpenes from the Indian Ocean sponge *Axinella* cf. *bidderi*. Journal of Natural Products 66:25–29.

CARTER HJ. 1887. Report on the Marine Sponges, chiefly from King Island, in the Mergui Archipelago, collected for the Trustees of the Indian Museum, Calcutta, by Dr. John Anderson, FRS, Superintendent of the Museum. Journal of the Linnean Society, Zoology 21: 61–84.

CARVALHO MS, HAJDU E, MOTHES B, VAN SOEST RWM. 2004. *Amorphinopsis* (Halichondrida: Demospongiae) from the Atlantic Ocean, with the description of a new species. Journal of the Marine Biological Association of the United Kingdom 84:925–930.

CARVALHO MS, HAJDU E. 2001Comments on brazilian *Halichondria* Fleming (Halichondriidae, Halichondrida, Demospongiae), with the description of four new species from the Sao Sebastião Channel and its environs (Tropical Southwestern Atlantic). Revista Brasileira de Zoologia 18:161–180.

CARVALHO MS, SILVA SM, PINHEIRO U. 2013. Two new species of *Aaptos* (Demospongiae, Hadromerida) from Brazil (western Atlantic). Zootaxa 3750:357–366.

CAVALCANTI FF, KLAUTAU M. 2011. Solenoid: a new aquiferous system to Porifera. Zoomorphology 130:255–260.

ÇELIK I, CIRIK S, ALTMAGAC U, AYAZ A, ÇELIK P, TEKESOGLU H, YLMAZ H, ÖZTENIK A. 2011. Growth performance of bath sponge (Spongia officinalis Linnaeus, 1759) farmed on suspended ropes in the Dardanelles (Turkey). Aquaculture Research 42: 1807–1815.

CHILL L, YOSIEF T, KASHMAN Y. 2002. Halichondramine, a new tetracyclic bipiperidine alkaloid from the marine sponge *Halichondria* sp. Journal of Natural Products 65:1738–1741.

CHOMBARD C, BOURY-ESNAULT N, TILLIER S. 1998. Reassessment of homology of morphological characters in tetractinellid sponges based on molecular data. Systematic Biology, 47:351–366. DOI: 10.1080/106351598260761.

CHOMBARD C, BOURY-ESNAULT N. 1999. Good congruence between morphology and molecular phylogeny of Hadromerida, or how to bother sponge taxonomists. Memoirs of the Queensland Museum 44:100.

CHU JWF, MALDONADO M, YAHEL G, LEYS SP. 2011. Glass sponge reefs as a silicon sink. Marine Ecology Progress Series 441:1–14.

CIMINO G, DE GIULIO A, DE ROSA S, DE STEFANO S, PULITI R, MATTIA CA, MAZZARELLA L. 1985. Isolation and X-ray crystal structure of a novel 8-oxopurine compound from a marine sponge. Journal of Natural Products. 48:523–528.

CIMINO G, MORRONE R, SODANO G. 1982. New diterpenes from *Spongia officinalis*. Tetrahedron Letters 23:4139–4142.

CIRANO M, LESSA GC. 2007. Oceanographic characteristics of Baía de Todos os Santos, Brazil. Revista Brasileira de Geofísica 25:363–387.

CLINE MS, SMOOT M, CERAMI E, KUCHINSKY A, LANDYS N *et al.* 2007 Integration of biological networks and gene expression data using Cytoscape. Nature Protocols 2:2366–2382.

COLEMAN AW. 2007. Pan-eukariote ITS2 homologies revealed by RNA secondary structure. Nucleic Acids Research 35:3322–3329.

COLLETTE BB, RÜTZLER K. 1977. Reef fishes over sponge bottoms off the mouth of the Amazon river. 3<sup>rd</sup> International Coral Reef Symposium 1:305–310.

COLLIN R, DÍAZ MC, NORENBURG J, ROCHA RM, SÁNCHEZ JA, SCHULZE A, SCHWARTZ M, VALDÉS A. 2005. Photographic identification guide to some common marine invertebrates of Bocas Del Toro, Panama. Caribbean Journal of Science 41:638–707.

CORDANI U. 1970. Idade do vulcanismo no Oceano Atlântico Sul. Boletim do Instituto de Geociências e Astronomia da Universidade de São Paulo 1:9–75.

COSTA-LOTUFO LV, CARNEVALE NETO F, TRINDADE SILVA AEET, SILVA R, GUEIROS G *et al.* 2018. Chemical profiling of two congeneric sea mat corals along the Brazilian coast: adaptive and functional patterns. Chemical Communications. DOI: 10.1039/C7CC08411K.

COSTANTINO V, FATTORUSSO E, IMPERATORE C, MANGONI A, TETA R. 2008. Terpioside from the marine sponge *Terpios* sp., the first glycosphingolipid having an L-fucofuranose unit. European Journal of the Organic Chemistry 12:2130–2134.

COSTANTINO V, FATTORUSSO E, MANGONI A, TETA R, PANZA E, IANARO A. 2010. Terpioside B, a difucosyl GSL from the marine sponge *Terpios* sp. is a potent inhibitor of NO release. Bioorganic & Medicinal Chemistry 18:5310–5315.

CREED JC, PIRES DO, FIGUEIREDO MAO. 2007. Biodiversidade Marinha da Baía da Ilha Grande. Brasília: Ministério do Meio Ambiente, 416 p.

CROCKER LA, REISWIG HM. 1981. Host specificity in sponge-encrusting Zoanthidea (Anthozoa: Zoantharia) of Barbados, West Indies. Marine Biology 65:231–236.

CRUZ T. 2002. Esponjas marinas de Canarias. Banco de datos de biodiversidad de Canarias. Consejería de Política Territorial y Medio Ambiente, Gobierno de Canarias, Santa Cruz de Tenerife, 258 p.

DA SILVA RR, DORRESTEIN PC, QUINN RA. 2015. Illuminating the 'dark matter' in metabolomics. Proceedings of the National Academy of Sciences of the United States of America 112:12549–12550.

DAI J, SORRIBAS A, YOSHIDA WY, KELLY M, WILLIAMS PG. 2010. Topsentinols, 24-isopropyl steroids from the marine sponge *Topsentia* sp. Journal of Natural Products 73:1597–1600.

DAYRAT B. 2005. Towards integrative taxonomy. Biological Journal of the Linnean Society85:407–415.

DE GOEIJ JM, VAN DER BERG H, VAN OOSTVEEN MM, EPPING EHG, VAN DUYL FC. 2008. Major bulk dissolved organic carbon (DOC) removal by encrusting coral reef cavity sponges. Marine Ecology Progress Series 357:139–151.

DE LAUBENFELS MW. 1934. New sponges from the Puerto Rican deep. Smithsonian Miscellaneous Collections. 91:1–28.

DE LAUBENFELS MW. 1936. A Discussion of the Sponge Fauna of the Dry Tortugas in Particular and the West Indies in General, with Material for a Revision of the Families and Orders of the Porifera. Carnegie Institute of Washington Publication. 467:225 p.

DE LAUBENFELS MW. 1954. The Sponges of the West-Central Pacific. Oregon State Monographs. Studies in Zoology. 7:1–306.

DE LIVERA AM, BROWNE JB. 2014. 'metabolomics' R Package.

DE PAULA TS, ZILBERBERG C, HAJDU E, LÔBO-HAJDU G. 2012. Morphology and molecules on opposite sides of the diversity gradient: Four cryptic species of the *Cliona celata* (Porifera, Demospongiae) complex in South America revealed by mitochondrial and nuclear markers. Molecular Phylogenetics and Evolution 62:529–541.

DE PAULA TS. 2013. Filogenia molecular, evolução de características morfológicas, variabilidade populacional, biogeografia e metabolômica comparativa: rumo a uma biologia integrativa para o gênero *Mycale* Gray, 1867 (Porifera). Tese de Doutorado, Universidade do Estado do Rio de Janeiro.

DE ROSA M, MINALE L, SODANO G. 1973. Metabolism in Porifera-II. Distribution of sterols. Comparative Biochemistry and Physiology 46B:823–837.

DE VOS L, RÜTZLER K, BOURY-ESNAULT N, DONADEY C, VACELET J. 1991. Atlas of sponge morphology. Smithsonian Institution Press, 117 p.

DEGNAN BM, LEYS SP, LARROUX C. 2005. Sponge development and antiquity of animal pattern formation. Integrative and Comparative Biology 45:335–341.

DELSETH C, TOLELA L, SCHEUER PJ, WELLS RJ, DJERASSI C. 1979. Minor and trace sterols. XI. Two new sterols from the Pacific sponges *Terpios zeteki* and *Dysidea herbacea*. Helvetica Chimica Acta 62:101–109. DOI: 10.1002/hlca.19790620115.

DEMARQUE DP, CROTTI AEM, VESSECCHI R, LOPES JLC, LOPES NP. 2016. Fragmentation reactions using electrospray ionization mass spectrometry: an important tool for the structural elucidation and characterization of synthetic and natural products. Natural Product Reports 33:367–524.

DENNIS EA, BROWN HA, DEEMS RA, GLASS CK, MERRILL AH et al. (2005) The LIPID MAPS approach to lipidomics. In: Feng L, Prestwich GD (Eds.) Functional Lipidomics, CRC/Taylor and Francis, Boca Raton, FL.p. 1–15.

DÍAZ MC, POMPONI AS, VAN SOEST RWM. 1993. A systematic revision of the Central West Atlantic Halichondrida (Demospongiae, Porifera). Part III. Description of valid species. Scientia Marina 57:283–306.

DÍAZ MC, RÜTZLER K. 2001. Sponges: An essential component of Caribbean coral reefs. Bulletin of Marine Science 69:535–546.

DÍAZ MC, VAN SOEST RWM, POMPONI AS. 1991. A systematic revision of the Central-Atlantic Halichondrida (Demospongiae, Porifera) Part I: Evaluation of characters and diagnosis of genera. In: Reitner J, Keupp H (Eds.) Proceedings, International Conference on Fossil and recent sponges, pp. 134–149.

DÍAZ-MARRERO AR, BRITO I, CUETO M, SAN-MARTÍN A, DARIAS J. 2004. Suberitane network, a taxonomical marker for Antarctic sponges of the genus *Suberites*? Novel sesterterpenes from *Suberites caminatus*. Tetrahedron Letters 45:4707–4710.

DÍAZ-MARRERO AR, BRITO I, DORTA E, CUETO M, SAN-MARTÍN A, DARIAS J. 2003. Caminatal, an aldehyde sesterterpene with a novel carbon skeleton from the Antarctic sponge *Suberites caminatus*. Tetrahedron Letters 44:5939–5942.

DINIZ MTM, OLIVEIRA GP. 2016. Proposta de compartimentação em mesoescala para o litoral do Nordeste brasileiro. Revista Brasileira de Geomorfologia 17:565–590.

DJERASSI C, LAM WK. 1991. Phospholipid studies of marine organisms. 25. Sponge phospholipids. Accounts of Chemical Research 24:69–75.

DOCKSTADER K, NUNLEY K, KARIMPOUR-FARD A, MEDWAY A, NELSON P, PORT JD, LIGGETT SB, BRISTOW MR, SUCHAROV CC.2011. Temporal analysis of mRNA and miRNA expression in transgenic mice overexpressing Arg- and Gly389 polymorphic variants of the  $\beta$ 1- adrenergic receptor. Physiological Genomics 43:1294–1306.

DOHRMANN M, JANUSSEN D, REITNER J, COLLINS AG, WÖRHEIDE G. 2008. Phylogeny and evolution of glass sponges (Porifera, Hexactinellida). Systematic Biology 57: 388–405.

DOMINGO-ALMENARA X, MONTENEGRO-BURKE RJ, GUIJAS C, MAJUMDER ELW, BENTON PH, SIUZDAK G. 2019. Autonomous METLIN-guided in-source fragment detection increases annotation confidence in untargeted metabolomics. Analytical Chemistry 91:3246–3253.

DONA AC, KYRIAKIDES M, SCOTT F, SHEPHARD EA, VARSHAVI D, VESELKOV K, EVERETT JR. 2016. A guide to the identification of metabolites in NMR-based metabonomics/metabolomics experiments. Computational and Structural Biotechnology Journal. 14:135–153.

DONMEZ G, WANG D, COHEN DE, GUARENTE L. 2010. SIRT1 suppresses beta-amyloid production by activating the alpha-secretase gene ADAM10. Cell 142:320–332. DOI: 10.1016/j.cell.2010.06.020.

DUCHASSAING P, MICHELOTTI G. 1864. Spongiaires de la Mer Caraïbe. Natuurkundige verhandelingen van de Hollandsche maatschappij der wetenschappen te Haarlem. 21:1–124.

DUCKWORTH AR, POMPONI SA. 2005. Relative importance of bacteria, microalgae and yeast for growth of the sponge *Halichondria melanadocia* (de Laubenfels, 1936): A laboratory study. Journal of Experimental Marine Biology and Ecology 323:151–159.

DÜHRKOP K, FLEISCHAUER M, LUDWIG M, AKSENOV AA, MELNIK AV, MEUSEL M, DORRESTEIN PC, ROUSU J, BÖCKER S. 2019. SIRIUS 4: a rapid tool for turning tandem mass spectra into metabolite structure information. Nature Methods. DOI: 10.1038/s41592–019–0344–8.

ECHIGO S, CASTELLANOS L, DUQUE C, UEKUSA H, HARA N, FUJIMOTO Y. 2011. C-24 Stereochemistry of Marine Sterols: (22E)-24-Ethyl-24-methylcholesta-5,22-dien-3b-ol and 24-Ethyl-24-methylcholest-5-en-3b-ol. Journal of the Brazilian Chemical Society 22:997–1004.

ECHIGO S, HARA N, CALDERON GJ, DUQUE C, FUJIMOTO Y. 2006. C-24 Stereochemistry of marine sterols: (22E)-24-(isopropenyl)-22-dehydrocholesterol and 24-Isopropenylcholesterol. Chemical and Pharmaceutical Bulletin. 54:1473–1477.

ERESKOVSKY AV, LAVROV DV, WILLENZ P. 2014. Five new species of Homoscleromorpha (Porifera) from the Caribbean Sea and re-description of *Plakina jamaicensis*. Journal of the Marine Biological Association of the United Kingdom 94:285–307.

ERESKOVSKY AV. 2004. Comparative embryology of sponges and its application for Poriferan phylogeny. Bollettino dei Musei e degli Istituti Biologici Università di Genova 68:301–318.

ERESKOVSKY AV. 2010. The comparative embryology of sponges. Saint-Petersburg University Press.

ERPENBECK D, BREEUWER JAJ, PARRA FJ, VAN SOEST RWM. 2006a. Speculation with spiculation? - Three independent gene fragments and biochemical characters *versus* morphology in demosponge higher classification. Molecular Phylogenetics and Evolution, 38, 293–305.

ERPENBECK D, BREEUWER JAJ, VAN SOEST RWM. 2005. Implications from a 28S rRNA gene fragment for the phylogenetic relationships of halichondrid sponges (Porifera: Demospongiae). Journal of Zoological Systematics and Evolutionary Research 43:93–99.

ERPENBECK D, DURAN S, RÜTZLER K, PAUL V, HOOPER JNA, WÖRHEIDE G.2007. Towards a DNA taxonomy of Caribbean demosponges: a gene tree reconstructed from partial mitochondrial CO1 gene sequences supports previous rDNA phylogenies and provides a new perspective on the systematics of Demospongiae. Journal of the Marine Biological Association of the United Kingdom 87:1563–1570.

ERPENBECK D, EKINS M, ENGHUBER N, HOOPER JNA, LEHNERT H *et al.* 2016. Nothing in (sponge) biology makes sense – except when based on holotypes. Journal of the Marine Biological Association of the United Kingdom 96:305–311. DOI:10.1017/S0025315415000521.

ERPENBECK D, HALL K, ALVAREZ B, BÜTTNER G, SACHER K *et al.* 2012. The phylogeny of halichondrid demosponges: past and present re-visited with DNA-barcoding data. Organisms, Diversity & Evolution. 12:57–70.

ERPENBECK D, HOOPER JNA, WÖRHEIDE G. 2006b. CO1 phylogenies in diploblasts and the 'Barcoding of Life' - are we sequencing a suboptimal partition? Molecular Ecology Notes 6:550-553.

ERPENBECK D, VAN SOEST RWM. 2002. Family Halichondriidae. In: Hooper JNA, Van Soest RWM (Eds.) Systema Porifera: A Guide to the Classification of Sponges. ©Kluwer Academic/Plenum Publishers, New York. p. 787–815.

ERPENBECK D, VAN SOEST RWM. 2007. Status and Perspective of Sponge Chemosystematics. Marine Biotechnology. 9:2–19.

ERPENBECK D, WÖRHEIDE G. 2007. On the molecular phylogeny of sponges (Porifera). Zootaxa. 1668:107–126.

FAILLER P, PÈTRE E. BINET T, MARÉCHAL JP. 2015. Valuation of marine and coastal ecosystem services as a tool for conservation: The case of Martinique in the Caribbean. Ecosystem Services. DOI: 10.1016/j.ecoser.2014.10.011i.

FAO. 2017. Sponges and their role in the marine environment.

FEDOREEV AS, PROKOF'EVA NG, DENISENKO VA, RABACHUK NM. 1988. Cytotoxic activity of aaptamines from suberitid marine sponges. Pharmaceutical Chemistry Journal 22:615–618.

FERRETTI C, VACCA S, DE CIUCIS C, MARENGO B, DUCKWORTH AR *et al.* 2009. Growth dynamics and bioactivity variation of the Mediterranean demosponges *Agelas oroides* (Agelasida, Agelasidae) and *Petrosia ficiformis* (Haplosclerida, Petrosiidae). Marine Ecology - an Evolutionary Perspective 30:327–336.

FEUDA R, DORHMANN M, PETT W, PHILIPPEH, ROTA-STABELLI O *et al.* 2017.Improved modeling of compositional heterogeneity supports sponges as sister to all other animals. Current Biology 27:3864–3870.

FIEHN O. 2002. Metabolomics – the link between genotypes and phenotypes. Plant Molecular Biology 48:155–171.

FINKELSTEIN M, GOLD H. 1959. Toxicology of the citric acid esters: Tributyl citrate, acetyl tributyl citrate, triethyl citrate, and acetyl triethyl citrate. Toxicology and Applied Pharmacology, 1, 283-298. doi: 10.1016/0041-008x(59)90113-9.

FIORE CL, BAKER DM, LESSER MP. 2013. Nitrogen biogeochemistry in the Caribbean sponge, *Xestospongia muta*: A source or sink of dissolved inorganic nitrogen? Plos One 8:e72961. DOI: 10.1371/journal.pone.0072961.

FLATT PM, GAUTSCHI JT, THACKER RW, MUSAFIJA-GIRT M, CREWS P, GERWICK WH. 2005. Identification of the cellular site of polychlorinated peptide biosynthesis in the marine sponge *Dysidea* (*Lamellodysidea*) *herbacea* and symbiotic cyanobacterium *Oscillatoria spongeliae* by CARD-FISH analysis. Marine Biology 147:761–774.

FORTUNATO HFM. 2015. Biodiversidade e dinâmica estrutural de assembléias de esponjas marinhas (Filo Porifera) da Ilha Grande e cercanias, Rio de Janeiro, Brasil. Dissertação de Mestrado, Universidade do Estado do Rio de Janeiro.

FREITAS MC, VIEIRA EHSF, ARAÚJO ME. 2009. Impact of the construction of the harbor at Pecém (Ceará, Brazil) upon reef fish communities in tide pools. Brazilian Archivies of Biology and Technology. 52:187–195.

FROMONT J. 1998. Revision of the marine sponge genus *Caulospongia* Saville Kent, 1871 (Demospongiae: Hadromerida). Part 1. Morphological and skeletal characteristics. Records of the Western Australian Museum 19:65–89.

FUSETANI N, MATSUNAGA S, KONOSU S. 1981. Bioactive marine metabolites II: Halistanol sulfate, an antimicrobial novel steroid from the marine sponge *Halichondria* cf. *moorei* Bergquist. Tetrahedron Letters 22:1985–1988.

FUSETANI N, TAKAHASHI M, MATSUNAGA S. 1994. Topsentiasterol sulfates, antimicrobial sterol sulfates possessing novel side chains, from a marine sponge, *Topsentia* sp. Tetrahedron 50:7765–7770.

GALLON ME, MONGE M, CASOTI R, DA COSTA FB, SEMIR J, GOBBO-NETO L. 2018. Metabolomic analysis applied to chemosystematics and evolution of megadiverse Brazilian Vernonieae (Asteraceae). Phytochemistry 150:93–105.

GAO S, WANG Q, HUANG L, LUM L, CHEN C. 2010. Chemical and biological studies of nakiterpiosin and nakiterpiosinone. Journal of the American Chemical Society 132:371–383.

GASTALDI M, DE PAULA TS, NARVARTE MA, LÔBO-HAJDU G, HAJDU E. 2018. Marine sponges (Porifera) from the Bahía San Antonio (North Patagonian Gulfs, Argentina), with additions to the phylogeography of the widely distributed *Cliona* aff. *celata* and *Hymeniacidon perlevis*, and the description of two new species. Marine Biology Research. DOI: 10.1080/17451000.2018.1506136.

GAZAVE E, LAPÉBIE P, ERESKOVSKY AV, VACELET J, RENARD E, *et al.* 2012. No longer Demospongiae: Homoscleromorpha formal nomination as a fourth class of Porifera. Hydrobiologia 687:3–10.

GENIN E, WIELGOSZ-COLLIN G, NJINKOUÉ JM, VELOSAOTSY NE, KORNPROBST JM *et al.* 2008. New trends in phospholipid class composition of marine sponges. Comparative Biochemistry and Physiology, Part B 150:427–431.

GENTA-JOUVE G, THOMAS OP. 2012. Sponge chemical diversity: from biosynthetic pathways to ecological roles. Advances in Marine Biology 62:183-230. DOI: 10.1016/B978-0-12-394283-8.00004-7.

GERASIMOVA E, ERPENBECK D, PLOTKIN A. 2008. *Vosmaeria* Fristedt, 1885 (Porifera, Demospongiae, Halichondriidae): revision of species, phylogenetic reconstruction and evidence for split. Zootaxa 1694:1–37.

GIAM CS, ATLAS E, CHART HS, NEFF GS. 1980. Phthalate ester plasticizers, PCB, DDT residues in the Gulf of Mexico atmosphere. Atmospheric Environment 14:65-69.

GIBSON G, MUSE SV. 2004. A Primer of Genome Science, 2<sup>nd</sup> Edition, Sinauer Associates Inc. p. 378.

GODEFROY N, LE GOFF E, MARTINAND-MARI C, BELKHIR K, VACELET J, BAGHDIGUIAN S. 2019. Sponge digestive system diversity and evolution: filter feeding to carnivory. Cell and Tissue Research 377:341-351.

GOEIJ JM DE, VAN DER BERG H, VAN OOSTVEEN MM, EPPING EHG, VAN DUYL FC. 2008. Major bulk dissolved organic carbon (DOC) removal by encrusting coral reef cavity sponges. Marine Ecology Progress Series 357:139–151.

GOUDIE L, NORMAN M, FINN J. 2013. Sponges. Museum Victoria. p. 135.

GRAJALES A, AGUILAR C, SÁNCHEZ JA. 2007. Phylogenetic reconstruction using secondary structures of Internal Transcribed Spacer 2 (ITS2, rDNA): finding the molecular and morphological gap in Caribbean gorgonian corals. BMC Evolutionary Biology. DOI: 10.1186/1471-2148-7-90.

GRAY JE. 1872. Notes on the classification of the sponges. Annals and Magazine of Natural History. 4: 442-461.

GREFF 2016 Métabolomique, effets biologiques et caractère invasif de la macroalgue Asparagopsis taxiformis. Tese de Doutorado, Aix-Marseille Université.

GREFF S, ZUBIA M, PAYRI C, THOMAS OP, PEREZ T. 2017. Chemogeography ofthered macroalgae *Asparagopsis*: metabolomics, bioactivity, and relation to invasiveness. Metabolomics. DOI: 10.1007/s11306–017–1169–z.

GUIDA VG (1976) Sponge predation in the oyster reef community as demonstrated with *Cliona celata* Grant. Journal of Experimental Marine Biology and Ecology 25:109-122.

GUNASEKERA SP, SENNETT SH, KELLY-BORGES M, BRYANT RW. 1994. Ophirapstanol trisulfate, a new biologically active steroid sulfate from the deep water marine sponge *Topsentia ophiraphidites*. Journal of Natural Products 57:1751-1754.

GUTEKUNST V, MÜLLER AU, POHL T, BRÜMMER F, MALIK H *et al.* 2018. A new fistulose demosponge species from the Persian Gulf. Zootaxa. DOI: 10.11646/zootaxa.4450.5.3.

HACKSTADT A, MESS AN. 2009. Filtering for increased power for microarray data analysis BMC Bioinformatics. DOI: 10.1186/1471-2105-10-11.

HAJDU E, DE PAULA TS, REDMOND NE, COSME B, COLLINS AG, LÔBO-HAJDU G. 2013. Mycalina: Another crack in the Poecilosclerida framework. Integrative and Comparative Biology 53:462–472.

HAJDU E, PEIXINHO S, FERNANDEZ J. 2011. Esponjas marinhas da Bahia: Guia de campo e laboratório. Museu Nacional, Série Livros 45. p. 276.

HARTMAN WD. 1982. Porifera.In: Parker, S.P. (Ed.), Synopsis and Classification of Living Organisms. McGraw-Hill, New York, 640–666.

HASELEY SR, VERMEER HJ, KAMERLING JP, VLIEGENTHART JFG. 2001. Carbohydrate self-recognition mediates marine sponge cellular adhesion. Proceedings of the National Academy of Sciences 98:9419–9424.

HATJE V, DE ANDRADE JB. 2009. Baía de Todos os Santos: Aspectos oceanográficos. EDUFBA. p.306.

HAUSER R, CALAFAT AM. 2005. Education, phthalates and human health. Occupational and Environmental Medicine 62:806-818.

HAY, M. E. 1996. Marine chemical ecology: What's known and what's next? Journal of Experimental Marine Biology and Ecology 200:103–134.

HENTSCHEL U, USHER KM, TAYLOR MW. 2006. Marine sponges as microbial fermenters. Microbiology Ecology 55:167–177.

HILDEMANN WH, JOHNSTON I, JOKIEL P. 1979. Immuno competence in the lowest Metazoan phylum: Transplantation immunity in sponges. Science 204:420-422.

HILL MS, LOPEZ NA, YOUNG KA. 2005. Anti-predator defenses in western North Atlantic sponges with evidence of enhanced defense through interactions between spicules and chemicals. Marine Ecology Progress Series 291:93–102.

HILLIS DM, MABLE BK, MORITZ C. 1996. Applications of Molecular Systematics. In. Hillis DM, Moritz C (Eds.) Molecular Systematics. © Sinauer Associates, Inc, Massachusetts U.S.A. p. 515-543.

HILLIS DM, WIENS JJ. 2000. Molecules versus morphology in systematics: conflicts, artifacts, and misconceptions. In: Wiens JJ (Ed.) Phylogenetic Analysis in Morphological Data. Smithsonian Institution Press, Washington, DC, p. 1–19.

HIRATA Y, UEMURA D. 1986. Halichondrins - antitumor polyether macrolides from a marine sponge. Pure & Applied Chemistry 58:701–710.

HOOPER JNA. 1991. Revision of the family Raspailiidae (Porifera: Demospongiae) with description of Australian species. Invertebrate Taxonomy, 5:1179–1418.

HOOPER JNA, VAN SOEST RWM. 2002a. Systema Porifera: A Guide to the Classification of Sponges. ©Kluwer Academic/Plenum Publishers, New York.

HOOPER JNA, VAN SOEST RWM. 2002b. Order Hadromerida Topsent, 1894. In: HooperJNA, Van Soest RWM (Eds.) Systema Porifera: A Guide to the Classification of Sponges. ©Kluwer Academic/Plenum Publishers, New York. p. 169-172.

HOOPER JNA, COOK SD, HOBBS LJ, KENNEDY JA. 1997. Australian Halichondriidae (Porifera: Demospongiae): I Species from the Beagle Gulf. In: Hanley JR, Caswell G, Megirian D, Larson HK (Eds.) Proceedings of the Sixth International Marine Biological Workshop. The marine flora and fauna of Darwin Harbour, Northern Territory, Australia. p 1-65.

HORAI H, ARITA M, KANAYA S, NIHEI Y, IKEDA T *et al.* 2010. MassBank: A public repository for sharing mass spectral data for life sciences. Journal of Mass Spectrometry 45:703–714.

HOWARD PH, BANERJEE S, ROBILLARD KH. 1985. Measurement of water solubilities, octanol/water partition coefficients and vapor pressures of commercial phthalate esters. Environmental Toxicology and Chemistry 4:653-661.

IDAN T, SHEFER S, FELDSTEIN T, YAHEL R, HUCHON D, ILAN M. 2018. Shedding light on an East-Mediterranean mesophotic sponge ground community and the regional sponge fauna. Mediterranean Marine Science 19:84–106.

IÓCA LP, NICACIO KJ, BERLINCK RGS. 2018. Natural products from marine invertebrates and microorganisms in Brazil between 2004 and 2017: Still the challenges, more rewards. Journal of the Brazilian Chemical Society 29:998–1031.

ISHIYAMA H, HASHIMOTO A, FROMONT J, HOSHINO Y, MIKAMIC Y, KOBAYASHI J. 2005. Halichonadins A–D, new sesquiterpenoids from a sponge *Halichondria* sp. Tetrahedron 61:1101–1105.

IVANISEVIC 2011 Métabolisme secondaire des éponges Homoscleromorpha: Diversité et fluctuation de son expression em fonction des facteurs biotiques et abiotiques. Tese de Doutorado, Aix-Marseille Université, França.

IKELE CB, MGBENKA BO, OLUAH NS. 2011. Histopathological effects of diethyl phtalate on Clarias gariepinus juveniles. Animal Research International 8:1431–1438.

IVANISEVIC J, THOMAS OP, LEJEUSNE C, CHEVALDONNÉ P, PÉREZ T. 2011a. Metabolic fingerprinting as an indicator of biodiversity: towards understanding inter-specific relationships among Homoscleromorpha sponges. Metabolomics 7:289–304.

IVANISEVIC J, THOMAS OP, PEDEL L, PENÉZ N, ERESKOVSKY AV, CULIOLI G, PÉREZ T. 2011b. Biochemical trade-offs: evidence for ecologically linked secondary metabolism of the sponge *Oscarella balibaloi*. Plos One. DOI:10.1371/journal.pone.0028059

IWASAKI Y, SAWADA T, HATAYAMA K, OHYAGI A, TSUKUDA Y, NAMEKAWA K, ITO R, SAITO K, NAKAZAWA H. 2012. Separation technique for the determination of highly polar metabolites in biological samples. Metabolites 2:496–515. DOI: 10.3390/metabo2030496.

JENNER RA. 2004. When molecules and morphology Clash: reconciling conflicting phylogenies of the Metazoa by considering secondary character loss. Evolution & Development 6:372-378.

JIMÉNEZ E, RIBES M. 2007. Sponges as a source of dissolved inorganic nitrogen: Nitrification mediated by temperate sponges. Limnology and Oceanography 52:948–958.

JOHNSON BT. 2005. Microtox® acute toxicity test. In: Blaise C, Férard J-F (Eds.) Small scale Freshwater Toxicity Investigations. Springer, Netherlands. p. 69-105.

JOHNSTON G. 1842. A History of British sponges and Lithophytes. Lizars, Universidade de Chicago, p. 264.

KARLSSON TM, VETHAAK AD, ALMROTH BC, ARIESE F, VAN VELZEN M, HASSELLÖV M, LESLIE HA. 2017. Screening for microplastics in sediment, water, marine invertebrates and fish: Method development and microplastic accumulation. Marine Pollution Bulletin. DOI: 10.1016/j.marpolbul.2017.06.081.

KANAZAWA S, FUSETANI N, MATSUNAGA S. 1992. Halistanol sulfates A-E, new steroid sulfates, from a marine sponge, *Epipolasis* sp. Tetrahedron 48:5467–5472.

KANAZAWA S, FUSETANI N, MATSUNAGA S. 1993. Cylindramide: cytotoxic tetramic acid lactam from the marine sponge *Halichondria cylindroto* Tanita & Hoshino. Tetrahedron Letters 34:1065–1068.

KATAJAMAA M, MIETTINEN J, ORESIC M. 2006. MZmine: toolbox for processing and visualization of mass spectrometry based molecular profile data. Bioinformatics 22:634–636.

KATOH K, STANDLEY DM. 2013. MAFFT multiple sequence alignment software version 7: improvements in performance and usability. Molecular Biology and Evolution 30:772-780.

KAZLAUSKAS R, LIDGARD O, WELLS RJ. 1977. A novel hexachlorometabolite from the sponge *Dysidea herbacea*. Tetrahedron Letters 18:3183–3186.

KELL DB. 2004. Metabolomics and systems biology: making sense of the soup. Current Opinion in Microbiology 7:296–307.

KELLY-BORGES M, BERGQUIST PR. 1994. A redescription of *Aaptos aaptos* with descriptions of new species of *Aaptos* (Hadromerida: Suberitidae) from northern New Zealand. Journal of Zoology 234:301–323.

KERNAN MR, FAULKNER JD. 1987. Halichondramide, an antifungal macrolide from the sponge *Halichondria* sp. Tetrahedron Letters 28:2809–2812.

KIM S, CHEN J, CHENG T, GINDULYTE A, HE J *et al.* 2019. PubChem 2019 update: improved access to chemical data. Nucleic Acids Research 47:D1102-1109. DOI: 10.1093/nar/gky1033.

KJER KM. 1995. Use of rRNA secondary structure in phylogenetic studies to identify homologous positions: an example of alignment and data presentation from the frogs. Molecular Phylogenetics and Evolution 4:314–330.

KLAUTAU M, AZEVEDO F, CÓNDOR-LUJÁN B, RAPP HT, COLLINS A, RUSSO CAM. 2013. A molecular phylogeny for the Order Clathrinida rekindles and refines Haeckel's taxonomic proposal for calcareous sponges. Integrative and Comparative Biology 53:447–461.

KNAPP IS, FORSMAN ZH, WILLIAMS GJ, TOONEN RJ, BELL JJ. 2015. Cryptic species obscure introductionpathway of the blue Caribbean sponge (*Haliclona* (*Soestella*) *caerulea*), (order: Haplosclerida) to Palmyra Atoll, Central Pacific. PeerJ 3:e1170. DOI: 10.7717/peerj.1170.

KOBAYASHI J, INABA K, TSUDA M. 1997. Tauroacidins A and B, new bromopyrrole alkaloids possessing a taurine residue from *Hymeniacidon* sponge. Tetrahedron 53:16679–16682.

KOBAYASHI J, KANDA F, ISHIBASHI M, SHIGEMORI H. 1991. Manzacidins A-C, novel tetrahydropyrimidine alkaloids from the Okinawan marine sponge *Hymeniacidon* sp. The Journal of Organic Chemistry 56:4574-4576.

KOBAYASHI J, OHIZUMI Y, NAKAMURA H, HIRATA Y. 1986. A novel antagonist of serotonergic receptors, hymenidin, isolated from the Okinawan marine sponge *Hymeniacidon* sp. Experientia 42:1176-1177.

KODAMA K, HIGUCHI R, MIYAMOTO T, VAN SOEST RWM. 2003. (–)Axinyssene: A novel cytotoxic diterpene from a japanese marine sponge *Axinyssa* sp. Organic Letters, 5:169–171. DOI: 10.1021/ol027202f.

KONG F, ANDERSEN RJ. 1993. Polymastiamides B-F, novel steroid/amino acid conjugates isolated from the norwegian marine sponge *Polymastia boletiformis*. The Journal of Organic Chemistry 58:6924-6927.

KORNPROBST J-M. 2005. Substances naturelles d'origine marine. Tec & Doc Lavoisier. p. 1830.

KOZAWA S, ISHIYAMA H, FROMONT J, KOBAYASHI J. 2008. Halichonadin E, a dimeric sesquiterpenoid from the sponge *Halichondria* sp. Journal of Natural Products 71:445–447.

LAGE A. 2013. Taxonomia e distribuição de Halichondrida (Porifera, Demospongiae) da Baía de Camamu e adjacências. Dissertação de Mestrado, Universidade Federal da Bahia.

LAVILLE R, AMADE P, THOMAS OP. 2009. 3-Alkylpyridinium salts from Haplosclerida marine sponges: Isolation, structure elucidations, and biosynthetic considerations. Pure and Applied Chemistry 81:1033–1040.

LAVROV DV, WANG X, KELLY M. 2008. Reconstructing ordinal relationships in the Demospongiae using mitochondrial genomic data. Molecular Phylogenetics and Evolution 49:111–124.

LEGRAND H, LENFANT P, SOTHERAN IS, FOSTER-SMITH RL, GALZIN R, MARÉCHAL JP. 2012. Mapping marine benthic habitats in Martinique (French West Indies). Caribbean Journal of Science 46:267–282.

LEHNERT H, STONE RP. 2017. Two new species of Suberitida (Porifera, Heteroscleromorpha) from the Bering Sea. Zootaxa. DOI:10.11646/zootaxa.4338.3.9

LERNER C, MOTHES B, CARRARO JL. 2005. Novos registros e ampliação de limites meridionais de distribuição de poríferos (Porifera, Demospongiae) no Atlântico sudoeste. Revista Brasileira de Zoologia 22:596–612.

LESSA GC, BITTENCOURT ACSP, BRICHTA A, DOMINGUEZ JML. 2000. A reevaluation of the late quaternary sedimentation in Todos os Santos Bay (BA), Brazil. Anais da Academia Brasileira de Ciências 72:573–590.

LÉVI C. 1951. L'oviparité chez les spongiaires. Comptes rendus dês séances de l'Académie des Sciences 233:272–274.

LÉVI C. 1952 Spongiaires de la cote du Senegal. Bulletin de l'Institut Français d'Afrique Noire 14: 34–59.

LÉVI C. 1953. Sur une nouvelle classification des Démosponges. Comptes rendus des séances de l'Académie des Sciences, 236:853–855.

LÉVI C. 1956 Étude des *Halisarca* de Roscoff: embryologie et systématique des démosponges. Archives de Zoologie Expérimentale et Générale 108:611–616.

LÉVI C. 1973. Systématique de la classe des Demospongiaria (Démosponges). In: Brien P, Lévi C, Sarà M, Tuzet O, Vacelet J (Eds.) Traité de Zoologie. Anatomie, Systématique, Biologie. III. Spongiaires Paris: Masson et Cie. p. 577–631.

LEYS SP. 2015. Elements of a 'nervous system' in sponges. The Journal of Experimental Biology 218:581–591.

LEYS S, DEGNAN BM. 2001. Cytological basis of photoresponsive behavior in a sponge larva. Biological Bulletin 201:323–338.

LEYS SP, HILL A. 2012. The physiology and molecular biology of sponge tissues. In Advances in marine biology (Vol. 62, pp. 1-56). Academic Press.

LEYS SP, RIESGO A. 2012. Epithelia, an evolutionary novelty of metazoans. Journal of Experimental Zoology Part B: Molecular and Developmental Evolution 318(6): 438-447.

LÔBO-HAJDU G, GUIMARÃES ACR, SALGADO A, LAMARÃO FRM, VIEIRALVES T *et al.* 2004. Intragenomic, intra and interspecific variation in the rDNA ITS of Porifera revealed by PCR-single-strandconformation polymorphism (PCR-SSCP). Bollettino dei Musei e degli Istituti Biologici Università di Genova 68:413–423.

LÔBO-HAJDU G, MANSURE JJ, SALGADO-MENDES AM, HAJDU E, MURICY G, ALBANO RM. 1999. Random amplified polymorphic DNA (RAPD) analysis can reveal intraspecific evolutionary patterns in Porifera. Memoirs of the Queensland Museum 44:317–328.

LÔBO-HAJDU G, SALGADO A, GUIMARÃES ACR, LAMARÃO FRM, ALBANO RM *et al.* 2001. Use of PCR-linked single strand conformation polymorphism of rDNA ITS sequences to distinguish species of Porifera. In: IX COLACMAR, Congreso Latinoamericano sobre Ciencias del Mar, San Andrés Isla, Colômbia: 158.

LÔBO-HAJDU G. 2006. Dados morfológicos *versus* dados moleculares em sistemática: controvérsia ou congruência? In: Brito P, Figueiredo F, Gallo V, Silva HM (Eds.) Paleontologia de Vertebrados: Grandes Temas e Contribuições Científicas. Interciência, Brasil.

LÓPEZ-LEGENTIL S, ERWIN PM, HENKEL TP, LOH TL, PAWLIK JR. 2010. Phenotypic plasticity in the Caribbean sponge *Callyspongia vaginalis* (Porifera: Haplosclerida). Scientia Marina 74:445–453.

LÓPEZ-LEGENTIL S, PAWLIK JR. 2009. Genetic structure of the Caribbean giant barrel sponge *Xestospongia muta* using the I3-M11 partition of COI. Coral Reefs 28:157–165.

LOUKACI A, MURICY G, BROUARD J-P, GUYOT M, VACELET J, BOURY-ESNAULT N. 2004. Chemical divergence between two sibling species of *Oscarella* (Porifera) from the Mediterranean Sea. Biochemical Systematics and Ecology 32:893–899.

LUDEMAN DA, FARRAR N, RIESGO A, PAPS J, LEYS SP. 2014. Evolutionary origins of sensation in metazoans: functional evidence for a new sensory organ in sponges. BMC Evolutionary Biology. DOI: 10.1186/1471-2148-14-3.

LUO X, LI F, HONG J, LEE CO, SIM CJ, IM KS, JUNG JH. 2006. Cytotoxic oxylipins from a marine sponge *Topsentiasp*. Journal of Natural Products 69:567–571.

MAKARIEVA TN, SHUBINA LK, KALINOVSKII AI, STONIK VA, ELYAKOV GB. 1983. Steroids in Porifera. II Steroid derivatives from two sponges of the family Halichondriidae. Sokostraterol sulfate, a marine steroid with a new pattern of side chain alkylation. Steroids 42:267–281.

MALDONADO M, CARMONA MC, URIZ MJ, CRUZADO A. 1999. Decline in Mesozoic reef-building sponges explained by silicon limitation. Nature 401:785–788.

MALDONADO M. 2006. The ecology of the sponge larva. Canadian Journal of Zoology 84:175–194.

MARINHO PR, SIMAS NK, KUSTER RM, DUARTE RS, FRACALANZZA SEL *et al.* 2012. Antibacterial activity and cytotoxicity analysis of halistanol trisulphate from marine sponge *Petromica citrina*. Journal of Antimicrobial Chemotherapy DOI:10.1093/jac/dks229.

MARTÍ R, FONTANA A, URIZ MJ, CIMINO G. 2003. Quantitative assessment of natural toxicity in sponges: Toxicity bioassay versus compound quantification. Journal of Chemical Ecology 29:1307–1318.

MCCLINTOCK JB. 1987. Investigation of the relationships betweeninvertebrate predation and biochemical composition, energy content, spicule armament, and toxicity of benthic sponges at McMurdo Sound, Antarctica. Marine Biology 94:479–487.

MCCORMACK G, KELLY M. 2002. New indications of the phylogenetic affinity of Spongosorites suberitoides Díaz *et al.*, 1993 (Porifera, Demospongiae) as revealed by 28S ribosomal DNA. Journal of Natural History 36:1009–1021.

MCKEE TC, CARDELLINA II JH, TISCHLER M, SNADER KM, BOYD MR. 1993. Ibisterol sulfate, a novel HIV-inhibitory sulfated sterol from the deep water sponge *Topsentia* sp. Tetrahedron Letters 34:389–392.

MEHBUB MF, LEI J, FRANCO C, ZHANG W. 2014. Marine sponge derived natural products between 2001 and 2010: Trends and opportunities for discovery of bioactives. Marine Drugs 12:4539–4577.

MELIS P, RIESGO A, TABOADA S, MANCONI R. 2016. Coping with brackish water: A new species of cave-dwelling *Protosuberites* (Porifera: Demospongiae: Suberitidae) from the Western Mediterranean and a first contribution to the phylogenetic relationships within the genus. Zootaxa 4208:349–364.

MENEGOLA C, PEIXINHO S. 2017. Esponjas (Porifera: Calcarea, Homoscleromorpha e Demospongiae). In: Nunes JM, Matos MR (Orgs.) Litoral Norte da Bahia: Caracterização Ambiental, Biodiversidade e Conservação, EDUFBA. p. 215–234.

MEYER CP. 2003. Molecular systematics of cowries (Gastropoda: Cypraeidae) and diversification patterns in the tropics. Biological Journal of the Linnean Society 79:401–459.

MILOSLAVICH P, DÍAZ JM, KLEIN E, ALVARADO JJ, DÍAZ C. *et al.* 2010. Marine biodiversity in the Caribbean: Regional estimates and distribution patterns. Plos One 5:e11916. DOI: 10.1371/journal.pone.0011916.

MILOSLAVICH P, KLEIN E, DÍAZ JM, HERNÁNDEZ CE, BIGATTI G. *et al.* 2011. Marine biodiversity in the Atlantic and Pacific coasts of South America: Knowledge and gaps. PlosOne 6:e14631. DOI:10.1371/journal.pone.0014631.

MINALE L, SODANO G. 1974. Marine Sterols: 19-Nor-stanols from the sponge *Axinella polypoides*. Journal of the Chemical Society Perkin Transactions 1:1888–1892. DOI: 10.1039/P19740001888.

MIOSO R, MARANTE FJT, BEZERRA RS, BORGES FVP, SANTOS BVO, LAGUNA IHB. 2017. Cytotoxic compounds derived from marine sponges. A review (2010–2012). Molecules. DOI: 10.3390/molecules22020208.

MISHRA PD, WAHIDULLAH S, SOUZA LDD, KAMAT SY. 1997. Steroids from marine sponges *Suberites vestigium* and *Chrotella australensis*. Indian Journal of Chemistry 36B:719–721.

MONTENEGRO-GONZÁLEZ J, ACOSTA A. 2010. Habitat preference of *Zoantharia* genera depends on host sponge morphology. Scientiarum 15:110–121.

MORAES FC (2011) Esponjas das ilhas oceânicas brasileiras. Museu Nacional, Rio de Janeiro, p. 252.

MORITZ C, HILLIS DM. 1996. Molecular Systematics: Context and Controversies. In. Hillis DM, Moritz C (Eds.) Molecular Systematics. ©Sinauer Associates, Inc, Massachusetts U.S.A. p. 515-543.

MORROW C, CÁRDENAS P. 2015. Proposal for a revised classification of the Demospongiae (Porifera). Frontiers in Zoology 12:7. DOI: 10.1186/s12983-015-0099-8

MORROW CC, REDMOND NE, PICTON BE, THACKER RW, COLLINS AG *et al.* 2013. Molecular phylogenies support homoplasy of multiple morphological characters used in the taxonomy of Heteroscleromorpha (Porifera: Demospongiae). Integrative and Comparative Biology. DOI: 10.1093/icb/ict065.

MORROW CC; PICTON BE; ERPENBECK D; BOURY-ESNAULT N; MAGGS CA; ALLCOCK AI. 2012. Congruence between nuclear and mitochondrial genes in Demospongiae: A new hypothesis for relationships within the G4 clade (Porifera: Demospongiae). Molecular Phylogenetics and Evolution 62:174-190.

MOTHES B, CAMPOS MA, LERNER CB, FERREIRA-CORREIA MM. 2004. Esponjas (Demospongiae, Halichondrida) da costa do Maranhão, Brasil. Iheringia 94:149–154.

MOTHES B, CAMPOS MA, LERNER CB, MENEGOLA C. 2006. Esponjas (Porifera, Demospongiae) da plataforma continental ao largo do estado do Amapá, Brasil. Revista Brasileira de Zoologia 23:667–677.

MOURA RL; AMADO-FILHO GM; MORAES FC, BRASILEIRO OS, SALOMON OS. *et al.* (2016) An extensive reef system at the Amazon river mouth. Science Advances 2:e1501252.

MUEHE D, SUCHAROV EC. 1981. Considerações sobre o transporte de sedimentos na plataforma continental nas proximidades das Ilhas Maricás, RJ. Revista Brasileira de Geociências 11:238-246.

MUEHE D.1998 O litoral brasileiro e sua compartimentação. In: Cunha SB, Guerra AJT (Orgs.) Geomorfologia do Brasil. Editora Bertrand Brasil S.A, Rio de Janeiro. p. 273-349.

MUHAMMED S, ZHANG Z, PAVASE TR, GUO H. 2018. Long-term exposure of two plasticizers di (2-ethylhexyl) phthalate (DEHP) and acetyl tributyl citrate (ATBC): toxic effects on gonodal development and reproduction of zebrafish ("*Danio rerio*"). Indian Journal of Geo Marine Sciences 47:789-787.

MÜLLER WEG, KLEMT M, THAKUR NL, SCHRÖDER HC, AIELLO A, D'ESPOSITO M, MENNA M, FATTORUSSO E. 2004. Molecular/chemical ecology in sponges: Evidence for an adaptive antibacterial response in *Suberites domuncula*. Marine Biology 144:19–29.

MÜLLER WEG, MÜLLER IM. 2003. Origin of the Metazoan immune system: Identification of the molecules and their functions in sponges. Integrative and Comparative Biology 43:281–292.

MURICY G, BOURY-ESNAULT N, BÉZAC C, VACELET J. 1996. Cytological evidence for cryptic species. Canadian Journal of Zoology 74:881–896.

MURICY G, HAJDU E, MINERVINO JV, MADEIRA AV, PEIXINHO S. 2001. Systematic revision of the genus *Petromica* Topsent (Demospongiae: Halichondrida), with a new species from the southwestern Atlantic. Hydrobiologia 443:103–128.

MURICY G, HAJDU E. 2006. Porifera Brasilis. Guia de identificação das esponjas mais comuns do Sudeste do Brasil. Museu Nacional, Rio de Janeiro. 104 pp.

MURICY G. 2017. Porifera in Catálogo Taxonômico da Fauna do Brasil. PNUD. Acesso em 06-06-2017 http://fauna.jbrj.gov.br/fauna/faunadobrasil/6>.

MURICY G, ESTEVES EL, MORAES F, SANTOS JP, SILVA SM, KLAUTAU M, LANNA E. 2008. Biodiversidade marinha da Bacia Potiguar – Porifera. Museu Nacional, Rio de Janeiro, p. 156.

MURICY G, LOPES DA, HAJDU E CARVALHO MS, MORAES FC *et al.* 2011 Catalogue of Brazilian Porifera, Museu Nacional, Rio de Janeiro, p. 299.

NAKAMURA F, KUDO N, TOMACHI Y, NAKATA A, TAKEMOTO M *et al.* 2018. Halistanol sulfates I and J, new SIRT1–3 inhibitory steroid sulfates from a marine sponge of the genus *Halichondria*. The Journal ofAntibiotics 71:273–278.

NAKAMURA H, KOBAYASHI J, HIRATA Y. 1987. Aaptamines. Novel benzo[de][1,6]naphthyridines from the Okinawan marine sponge *Aaptos aaptos*. Journal of the Chemical Society 1:173–176.

NAKAMURA H, KOBAYASHI J, OHIZUMI Y, MITSUBISHI-KASEI, HIRATA Y. 1984. Novel bisabolene-type sesquiterpenoids with a conjugated diene isolated from the okinawan sea sponge *Theonella* cf. *swinhoei*. Tetrahedron Letters 25:5401–5404. DOI: 10.1016/s0040-4039(01)91295-x.

NAKAMURA H, KOBAYASHI J, OHIZUMI Y. 1982. Isolation and structure of aaptamine a novel heteroaromatic substance possessing α-blocking activity from the sea sponge *Aaptos aaptos*. Tetrahedron Letters 23:5555–5558.

NAKAO Y, KAWATSU S, OKAMOTO C, OKAMOTO M, MATSUMOTO Y. 2008. Ciliatamides A-C, bioactive lipopeptides from the deep-sea sponge *Aaptos ciliata*. Journal of Natural Products 71:469–472.

NATORI T, KOEZUKA Y, HIGA T: 1993. Agelasphins, novel -galactosylceramides from the marine sponge *Agelas mauritianus*. Tetrahedron Letters 34:5591–5592.

NICHOLS SA. 2005. An evaluation of support for order-level monophyly and interrelationships within the class Demospongiae using partial data from the large subunit rDNA and cytochrome oxidase subunit I. Molecular Phylogenetics and Evolution 34:81–96.

NOTHIAS LF, NOTHIAS-ESPOSITO M, DA SILVA R, WANG M, PROTSYUK I *et al.* 2018. Bioactivity-based molecular networking for the discovery of drug leads in natural product bioassay-guided fractionation. Journal of Natural Products 81:758–767.

NÚÑEZ-PONS L, CALCINAI B, GATES RD. 2017. Who's there? First morphological and DNA barcoding catalogue of the shallow Hawai'ian sponge fauna. Plos One 12:e0189357. DOI: 10.1371/journal.pone.0189357

OH KB, MAR W, KIM S, KIM JY, LEE TH *et al.* 2006. Antimicrobial activity and cytotoxicity of bis(indole) alkaloids from the sponge *Spongosorites* sp. Biological and Pharmaceutical Bulletin 29:570-573.

- OHNO O; CHIBA T, TODOROKI S, YOSHIMURA H, MARU N *et al.* 2011. Halichonines A, B, and C, novel sesquiterpene alkaloids from the marine sponge *Halichondria okadai* Kadota. Chemical Communications 47:12453–12455.
- OLIVON F, ALLARD PM, KOVAL A, RIGHI D, GENTA-JOUVE Get al. 2017a. Bioactive natural products prioritization using massive multi-informational molecular networks. ACS Chemical Biology 20:2644–2651. DOI: 10.1021/acschembio.7b00413
- OLIVON F, GRELIER G, ROUSSI F, LITAUDON M, TOUBOUL D. 2017c. MZmine 2 data-preprocessing to enhance molecular networking reliability. Analytical Chemistry 89:7836–7840. DOI:10.1021/acs.analchem.7b01563
- OLIVON F, ROUSSI F, LITAUDON M, TOUBOUL D. 2017b. Optimized experimental workflow for tandem mass spectrometry molecular networking in metabolomics. Analytical and Bioanalytical Chemistry409:5767–5778. DOI: 10.1007/s00216-017-0523-3.
- PANCER Z, SKOROKHOD A, BLUMBACH B, MÜLLER WE.1998. Multiple Ig-like featuring genes divergent within and among individuals of the marine sponge *Geodia cydonium*. Gene 207:227–233.
- PATEL K. 2010. Extraction de métabolitesbioactifs d'éponges marines du Pacifique Sud. Tese de Doutorado, Museu National d'Histoire Naturelle, França.
- PATIL AD, FREYER AJ, REICHWEIN R, BEAN MF, FAUCETTE L. 1997. Two new nitrogenous sesquiterpenes from the sponge *Axinyssa aplysinoides*. Journal of Natural Products 60:507–510. DOI: 10.1021/np960652u.
- PATINY L, BOREL A. 2013. ChemCalc: a building block for tomorrow's chemical infrastructure. Journal of Chemical Information and Modeling. DOI: 10.1021/ci300563h.
- PATTI GJ, YANES O, SHRIVER L, COURADE JP, TAUTENHAHN R *et al.* 2012. Metabolomics implicates altered sphingolipids in chronic pain of neuropathic origin. Nature Chemical Biology 8:232–234. DOI:10.1038/nchembio.767.
- PAWLIK JR, LOH TL, MCMURRAY SE. 2018. A review of bottom-up vs. top-down control of sponges on Caribbean fore-reefs: what's old, what's new, and future directions. PeerJ 6:e4343. DOI: 10.7717/peerj.4343.
- PAWLIK JR. 2011. The chemical ecology of sponges on Caribbean reefs: Natural products shape natural systems. Bioscience 61:888–898.
- PERDICARIS S, VLACHOGIANNI T, VALAVANIDIS A. 2013. Bioactive natural substance from marine sponges: new developments and prospects for future pharmaceuticals. Natural Products Chemistry & Research. DOI: 10.4172/2329–6836.1000115
- PEREIRA RC. 2009. Ecologia Química Marinha. In: Pereira RC, Soares-Gomes A (Orgs.) Biologia marinha, Interciência, Rio de Janeiro. p. 473–504.

PÉREZ T, WAFO E, FOURT M, VACELET J. 2003. Marine sponges as biomonitor of polychlorobiphenyl contamination: Concentration and fate of 24 congeners. Environmental Science & Technology 37:2152–2158.

PÉREZ T, DÍAZ MC, RUIZ C, CÓNDOR-LUJÁN B, KLAUTAU M *et al.* 2017. How a collaborative integrated taxonomic effort has trained new spongiologists and improved knowledge of Martinique Island (French Antilles, eastern Caribbean Sea) marine biodiversity. Plos One. 12:e0173859. DOI: 10.1371/journal.pone.0173859.

PÉREZ T, IVANISEVIC J, DUBOIS M, PEDEL L, THOMAS OP *et al.* 2011. *Oscarella balibaloi*, a new sponge species (Homoscleromorpha: Plakinidae) from the Western Mediterranean Sea: cytological description, reproductive cycle and ecology. Marine Ecology 32:174–187.

PIEL J. 2004. Metabolites from symbiotic bacteria. Natural Product Reports 21:519–538.

PISERA A, LÉVI C. 2002. 'Lithistid' Demospongiae. In: HooperJNA, Van Soest RWM (Eds.) Systema Porifera: A Guide to the Classification of Sponges. ©Kluwer Academic/Plenum Publishers, New York. p. 299–301.

POLINI A, PAGLIARA S, CAMPOSEO A, CINGOLANI R, WANG X. 2012. Optical properties of in-vitro biomineralised silica. Scientific Reports. DOI: 10.1038/srep00607.

POMPONI AS. 2006. Biology of the Porifera: cell culture. Canadian Journal of Zoology. 84:167–174.

POMPONI AS, WRIGHT AE, DÍAZ MC, VAN SOEST RWM. 1991. A systematic revision of the Central Atlantic Halichondrida (Demospongiae, Porifera). Part II. Patterns of distribution of secondary metabolites. In: Reitner J, Keupp H (Eds.), Proceedings, International Conference on Fossil and recent sponges.p.134–149

PROKSCH P. 1994. Defensive roles for secondary metabolites from marine sponges and sponge-feeding nudibranchs. Toxicon 32:639–655.

PROKSCH P, EDRADA RA, EBEL R. 2002. Drugs from the seas-current status and microbiological implications. Applied Microbiology and Biotechnology59:125–134. DOI: 10.1007/s00253-002-1006-8.

QUINN RA, NOTHIAS LF, VINING O, MEEHAN M, ESQUENAZI E, DORRESTEIN PC. 2017. Molecular networking as a drug discovery, drug metabolism, and precision medicine strategy. Trends in Pharmacological Sciences38:143–154.

RAMPERSAD SN. 2014. ITS1, 5.8S and ITS2 secondary structure modeling for intraspecific differentiation among species of the *Colletotrichum gloeosporioides* sensu lato species complex. Springerplus 3:684. DOI: 10.1186/2193-1801-3-684.

REDMOND NE, MORROW CC, THACKER RW, DÍAZ MC, BOURY-ESNAULT N, *et al.* 2013. Phylogeny and systematics of Demospongiae in light of new small-subunit ribosomal DNA (18S) sequences. Integrative and Comparative Biology 53:388–415.

REISWIG HM. 2006. Classification and phylogeny of Hexactinellida (Porifera). Canadian Journal of Zoology 84:195–204.

REVEILLAUD J, ALLEWAERT C, PÉREZ T, VACELET J, BANAIGS B, VANREUSEL A. 2012. Relevance of an integrative approach for taxonomic revision in sponge taxa: case study of the shallow-water Atlanto-Mediterranean *Hexadella* species (Porifera: Ianthellidae: Verongida). Invertebrate Systematics 26:230–248

REVERTER M, TRILABAT MA, PÉREZ T, THOMAS OP. 2018. Metabolome variability for two Mediterranean sponge species of the genus *Haliclona*: specificity, time, and space. Metabolomics. DOI: 10.1007/s11306–018–1401–5.

RIBEIRO SM, BIANCO EM, ROGERS R, SOUZA CF, PEREIRA RC. 2012 Antifoulant property of the marine sponge *Hymeniacidon heliophila* (Demospongiae: Halichondrida). Brazilian Journal of Oceanography 60:255-257.

RIBEIRO SM, BIANCO EM, ROGERS R, TEIXEIRA VL, PEREIRA RC.2010. Chemical defense of *Hymeniacidon heliophila* (Porifera: Halichondrida) against tropical predators. Brazilian Journal of Oceanography 58:315-321.

RIBEIRO SM, ROGERS R, RUBEM AC, DA GAMA BAP, MURICY G, PEREIRA RC. 2013. Antifouling activity of twelve demosponges from Brazil. Brazilian Journal of Biology73:501–506.

RIDLEY SO, DENDY A. 1886. Preliminary report on the Monaxonida collected by H.M.S. "Challenger". The Annals and Magazine of Natural History 18:470–493.

ROBERTSON DR; CRAMER KL. 2014. Defining and dividing the greater Caribbean: insights from the biogeography of shorefishes. Plos One e102918:1–16.

ROBERTSON DR, PEREZ-ESPAÑA H, LARA EN, PUC ITZA F, SIMÕES N. 2016. The fishes of Cayo Arcas (Campeche Bank, Gulf of Mexico): an updated checklist. Zookeys 640:139–155.

RUDI A, KASHMAN Y. 1993. Aaptosine - A new cytotoxic 5,8-diazabenz[cd]azulene alkaloid from the Red Sea sponge *Aaptos aaptos*. Tetrahedron Letters 34:4683–4684.

RUÍZ C. 2017. Apport de la Taxonomie intégrative à la compréhension des mécanismes à l'origine de la biodiversité des spongiaires dans lês grottes sous-marines. Tese de Doutorado, Aix-Marseille Université, França.

RÜTZLER K. 1978. Sponges in coral reefs. In: Stoddard DR; Johannes RE (Eds.) Coral reefs: research methods. p. 21–35.

RÜTZLER K, SMITH KP. 1993. The genus *Terpios* (Suberitidae) and new species in the "*Lobiceps*" complex. Scientia Marina 57:381–393.

RÜTZLER K, VAN SOEST RWM, PIANTONI C. 2009. Sponges (Porifera) of the Gulf of México. In:Felder DL, CampDK (Eds). Gulf of Mexico origin, waters and biota. Biodiversity, Texas A & M University Press, College Station, 1:285–313.

SALANI S; LOTUFO TMC; HAJDU E. 2006. *Sigmaxinella cearense* sp. nov. from sandstone reefs off Fortaleza (Ceará State, Brazil) (Desmacellidae, Mycalina, Poecilosclerida, Demospongiae). Zootaxa 1369:43–53.

SALGADO A, VIEIRALVES T, LAMARÃO FRM, ASSUMPÇÃO LLM, GOMESD *et al.* 2007. Field preservation and optimization of a DNA extraction method for Porifera. In: Custódio MR, Lôbo-Hajdu G, Hajdu E, Muricy G. (Eds.) Porifera Research: Biodiversity, Innovation and Sustainability. p. 555–560.

SALVADOR MVS, SILVA MAM. 2002. Morphology and sedimentology of the Itaipú Embayment – Niterói / RJ. Anais da Academia Brasileira de Ciências. 74:127–134.

SÁNCHEZ JA, AGUILAR C, DORADO D, MANRIQUE N. 2007. Phenotypic plasticity and morphological integration in a marine modular invertebrate. BMC Evolutionary Biology. DOI: 10.1186/1471-2148-7-122.

SANTACRUZ L, THOMAS OP, DUQUE C, PUYANA M, TELLO E. 2019. Comparative analyses of metabolomic fingerprints and cytotoxic activities of soft corals from the Colombian Caribbean. Marine Drugs. DOI: 10.3390/md17010037.

SANTOS GG, NASCIMENTO E, PINHEIRO U. 2018. Halichondriidae Gray, 1867 from the Northeastern Brazil with description of a new species. Zootaxa 4379:556–566.

SARMA NS; KRISHNA MSR; RAO SR. 2005. Sterol ring system oxidation pattern in marine sponges. Marine Drugs 3:84–111.

SCHMIDT O. 1862. Die Spongien des adriatischen Meeres. (Wilhelm Engelmann: Leipzig): I-VIII, 1–88.

SCHMIDT O. 1866. Vorläufiger Bericht über die Untersuchung der Bowerbank'schen Spongien. Sitzungsberichte der Akademie der Wissenschaften in Wien. 53:147–151.

SCHMIDT O. 1868. Die Spongien der Küste von Algier. Mit Nachträgen zu den Spongien des Adriatischen Meeres (Drittes Supplement). (Wilhelm Engelmann: Leipzig): I-IV, 1–44.

SCHMIDT O. 1870. Grundzüge einer Spongien-Fauna des atlantischen Gebietes. (Wilhelm Engelmann: Leipzig): III-IV, 1–88

SCHMIDT O. 1880. Zusatz zu obiger Abhandlung (von Keller). Archiv für mikroskopische Anatomie und Entwicklungsmechanik. 18:280–282.

SCHUSTER A, ERPENBECK D, PISERA A, HOOPER J, BRYCE M *et al.* 2015. Deceptive desmas: Molecular phylogenetics suggests a new classification and uncovers convergent evolution of Lithistid demosponges. Plos One. DOI: 10.1371/journal.pone.0116038.

SEEHAUSEN O; BUTLIN RK; KELER I, WAGNER CE, BOUGHMAN JW *et al.* 2014. Genomics and the origin of species. Nature Reviews Genetics 15:176–192.

SHAFFER MR, DAVY SM, BELL JJ. 2019. Hidden diversity in the genus *Tethya*: comparing molecular and morphological techniques for species identification. Heredity 122:354–369. DOI: 10.1038/s41437–018–0134–6.

SHANNON P, MARKIEL A: OZIER O, BALIGA NS, WANG JT *et al.* 2003. Cytoscape: A software environment for integrated models of biomolecular interaction networks. Genome Research 13:2498–2504.

SHEN YC, LIN TT, SHEU JH, DUH CY. 1999. Structures and cytotoxicity relationship of isoaaptamine and aaptamine derivatives. Journal of Natural Products 62:1264–1267.

SHIN BA, KIM YR, LEE IS, SUNG CK, HONG Jet al. 1999. Lyso-PAF analogues and lysophosphatidylcholines from the marine sponge *Spirastrella abata* as inhibitors of cholesterol biosynthesis. Journal of Natural Products 62:1554–1557.

SHIN J, SEO Y, JEONG TS, K BM, KWON B-M. 1995. Suberitenones A and B: Sesterterpenoids of an unprecedented skeletal class from the Antarctic sponge *Suberites* sp. The Journal of Organic Chemistry 60: 7582–7588.

SICA D, DE SIMONE F, RAMUNDO E, ZOLLO F. 1978. Sterols from some sponges. Biochemical Systematics and Ecology 6:77–79.

SILVA AC, KRATZ JM, FARIAS FM, HENRIQUES AT, DOS SANTOS J *et al.* 2006. In vitro antiviral activity of marine sponges collected off Brazilian coast. Biological and Pharmaceutical Bulletin 29:135–140.

SILVA AG, FORTUNATO HFM, LÔBO-HAJDU G, FLEURY BG. 2017. Response of native marine sponges to invasive *Tubastraea* corals: a case study. Marine Biology 164:78–88.

SIMION P, PHILIPPE H, BAURAIN D, JAGER M, RICHTER DJ *et al.* 2017. A large and consistent phylogenomic dataset supports sponges as the sister group to all other animals. Current Biology 27:958–967.

SIPKEMA D, FRANSSEN MCR, OSINGA R, TRAMPER J, WIJFFELS RH. 2005. Marine sponges as pharmacy. Marine Biotechnology 7:142–162.

SMITH CA, O'MAILLE G, WANT EJ, QIN C, TRAUGER SA *et al.* 2005. METLIN: A metabolite mass spectral database. Therapeutic Drug Monitoring 27:747–751.

SMITH CA, WANT EJ, O'MAILLE G, ABAGYAN R, SIUZDAK G. 2006. XCMS: processing mass spectrometry data for metabolite profiling using nonlinear peak alignment, matching, and identification. Analytical Chemistry 78:779-787.

SOARES MO, PAIVA CC, FREITAS JEP, LOTUFO TMC. 2011. Gestão de unidades de conservação marinhas: o caso do Parque Estadual Marinho da Pedra da Risca do Meio, NE – Brasil. Journal of Integrated Coastal Zone Management 11:257–268.

- SOGABE S, HATLEBERG WL, KOCOT KM, SAY TE, STOUPIN D, ROPER KE, FERNANDEZ-VALVERDE SL, DEGNAN SM, DEGNAN BM. 2019. Pluripotency and the origin of animal multicellularity. Nature 570:519–522.
- SOLÉ-CAVA AM, THORPE JP. 1986. Genetic differentiation between morphotypes of the marine sponge *Suberites ficus* (Demospongiae: Hadromerida). Marine Biology 93:247–253.
- SOLÉ-CAVA AM, KELECOM A, KANNENGIESSER GJ. 1981. Study of some sponges (Porifera, Demospongiae) from the infralitoral of Guarapari, Espírito Santo, Brazil. Iheringia 60:125–150.
- SOLLAS WJ. 1885. A classification of the sponges. Annals and Magazine of Natural History. 5:395.
- SPALDING MD, FOX HE, ALLEN GR, DAVIDSON N, FERDAÑA ZA *et al.* 2007. Marine ecoregions of the World: A bioregionalization of coastal and shelf areas. BioScience 57:573–583.
- STAMATAKIS A. 2006. RAxML-VI-HPC: maximum likelihood-based phylogenetic analyses with thousands of taxa and mixed models. Bioinformatics 22:2688–2690. DOI: 10.1093/bioinformatics/btl446.
- STEPHENS J. 1915. Sponges of the coast of Ireland. I The triaxonia and part of the tetraoxonida. Fisheries, Ireland Scientific Investigations 1914:1-43.
- TACHIBANA K; SCHEUER PJ, TSUKITANI Y, KIKUCHI H, VAN ENGEN D *et al.* 1981. Okadaic acid, a cytotoxic polyether from two marine sponges of the genus *Halichondria*. Journal of the American Chemical Society 103:2468–2472.
- TAVARÉ S. 1986. Some probabilistic and statistical problems in the analysis of DNA sequences, in some mathematical questions in Biology. IN: Miura RM (Ed.) DNA Sequence Analysis. Providence, R.I. American Mathematical Society. p. 57–86.
- TERNON E, PERINO E, MANCONI R, PRONZATO R, THOMAS O. 2017. How environmental factors affect the production of guanidine alkaloids by the mediterranean sponge *Crambe crambe*. Marine Drugs. DOI: 10.3390/md15060181.
- TERNON E, ZARATE L, CHENESSEAU S, CROUÉ J, DUMOLLARD R *et al.* 2016. Spherulization as a process for the exudation of chemical cues by the encrusting sponge *C. crambe*. Scientific Reports 6:29474. DOI: 10.1038/srep29474.
- TERUYA T, NAKAGAWA S, KOYAMA T, ARIMOTO H, KITA HM, UEMURA D. 2003. Nakiterpiosin, a novel cytotoxic C-nor-D-homosteroid from the Okinawan sponge *Terpios hoshinota*. Tetrahedron Letters 44: 5171–5173.
- TERUYA T, NAKAGAWA S, KOYAMA T, KITA HM, UEMURA D. 2004. Nakiterpiosin and nakiterpiosinone, novel cytotoxic C-nor-D-homosteroids from the Okinawan sponge *Terpios hoshinota*. Tetrahedron 60:6989–6993.

TERUYA T, NAKAGAWA S, KOYAMA T, SUENAGA K, UEMURA D. 2002. Terpiodiene: A novel tricyclic alcohol from the Okinawan sponge *Terpios hoshinota*. Chemistry Letters 1:38–39.

TESHIMA S, KANAZAWA A, HYODO S. 1980. 3β-hidroximetil-24-methl-A-nor-5-α-colestanol from the sponge. Bulletin of the Japanese Society for the Science of Fish 46:1517–1520.

THACKER RW, STARNES S. 2003. Host specificity of the symbiotic cyanobacterium *Oscillatoria spongeliae* in marine sponges, *Dysidea* spp. Marine Biology 142:643–648.

THACKER RW, BECERRO MA, LUMBANG WA, PAUL VJ. 1998. Allelopathic interactions between sponges on a tropical reef. Ecology 79:1740–1750.

THACKER RW, HILL AL, HILL MS, REDMOND NE, COLLINS AG *et al.* 2013. Nearly complete 28S rRNA gene sequences confirm new hypotheses of sponge evolution. Integrative and Comparative Biology 53:373–387.

THOMAS PA. 1985. Demospongiae of the Gulf of Mannar and Palk Bay. In: James PSBR (Ed.). Recent Advances in Marine Biology. Today Tomorrow's Printers and Publishers, New Delhi. 205–365.

THOMAS TRA, KAVLEKAR DP, LOKABHARATHI PA. 2010. Marine drugs from sponge-microbe association - A review. Marine Drugs 8:1417–1468.

TOPSENT E. 1892. Contribution à l'étude des spongiaires de l'Atlantique Nord (Golfe de Gascogne, Terre-Neuve, Açores). Résultats des campagnes scientifiques accomplies par le Prince Albert I. Monaco 2:1–165.

TOPSENT E. 1898. Eponges nouvelles des Açores. (Première serie). Mémoires de la Société zoologique de France 11:225–255.

TOPSENT E. 1900. Étude monographique des spongiaires de France. III. Monaxonida (Hadromerina). Archives de Zoologie Expérimentale et Générale. 3:1–331.

TOPSENT E. 1928. Spongiaires de l'Atlantique et de la Méditerranée provenant des croisières du Prince Albert ler de Monaco. Résultats des campagnes scientifiques accomplies par le Prince Albert I. Monaco 74:1–376.

TOPSENT E. 1934. Eponges observées dans les parages de Monaco. (Première partie). Bulletin de l'Institut océanographique, Monaco 650:1–42.

TOPSENT E. 1938. Commentaires sur quelques genres d'Eponges marines. Bulletin de l'Institut océanographique, Monaco 744:1–23.

TURON X, BECERRO MA, URIZ MJ. 1996. Seasonal patterns of toxicity in benthic invertebrates: The encrusting sponge *Crambe crambe* (Poecilosclerida). Oikos 75:33–40.

TURON X, MARTI R, URIZ MJ. 2009. Chemical bioactivity of sponges along an environmental gradient in a Mediterranean cave. Scientia Marina 73:387–397.

UTKINA NK, DENISENKO VA, PUSHILIN MA et al., 2009. Aaptanone, a novel zwitterionic metabolite of the aaptamine class with an oxygenated 1,6-naphthyridine core from the vietnamese marine sponge *Aaptos aaptos*. Tetrahedron Letters 50:2580–2585. DOI: 10.1002/chin.200935193

VACELET J, BOURY-ESNAULT N. 1995. Carnivorous sponges. Nature 373:333–335.

VALDERRAMA D, ZEA S. 2013. Lista anotada de esponjas (Porifera) de los arrecifes más meridionales del Mar Caribe (Noroccidente del Golfo de Urabá), com la descripción de nuevos registros para el Caribe Colombiano. Revista de la Academia Colombiana de Ciencias Exactas, Físicas y Naturales 37:353–378.

VAN DER KLOET FM, BOBELDIJK I, VERHEIJ ER, JELLEMA RH. 2009. Analytical error reduction using single point calibration for accurate and precise metabolomic phenotyping. Journal of Proteome Research 11:5132-5141. DOI: 10.1021/pr900499r.

VAN SOEST RWM. 2017. Sponges of the Guyana shelf. Zootaxa 4217:1–225.

VAN SOEST RWM. 1991. Demosponge higher taxa classification re-examined. In: Reitner J, Keupp H (Eds.) Fossil and recent sponges. Heidelberg: Springer Verlag, Berlin. p. 54–71.

VAN SOEST RWM. 2002a. Family Stylocordylidae Topsent, 1892. In: Hooper JNA, Van Soest RWM (Eds.) Systema Porifera: A Guide to the Classification of Sponges. ©Kluwer Academic/Plenum Publishers, New York. p. 224–226.

VAN SOEST RWM. 2002b. Family Suberitidae Schmidt, 1870. In: HooperJNA, Van Soest RWM (Eds.) Systema Porifera: A Guide to the Classification of Sponges. ©Kluwer Academic/Plenum Publishers, New York. p. 227–244.

VAN SOEST RWM, BRAEKMAN JC. 1999. Chemosystematics of Porifera: a review. Memoirs of the Queensland Museum 44:569–589.

VAN SOEST RWM, ZEA S. 1986. A new sublithistid sponge *Monanthus ciocalyptoides* n. sp. (Porifera, Halichondrida), from the West Indian region. Bulletin Zoologisch Museum Universiteit van Amsterdam 10:201–205.

VAN SOEST RWM, DÍAZ MC, POMPONI AS. 1990. Phylogenetic classification of the Halichondrids (Porifera, Demospongiae). Beaufortia 40:15–62.

VAN SOEST RWM, BRAEKMAN JC, FAULKNER JD, HAJDU E, HARPER MK, VACELET J. 1996. The genus *Batzella*: a chemosystematic problem. Bulletin de L'Institut Royal des Sciences Naturelles de Belgique 66:89–101.

VAN SOEST RWM, BOURY-ESNAULT N, VACELET J, DOHRMANN M, ERPENBECK D. *et al.* 2012. Global diversity of sponges (Porifera). Plos One 7:e35105.

VAN SOEST RWM, BOURY-ESNAULT N, HOOPER JNA, RÜTZLER K, DE VOOGD NJ *et al.* 2019. World Porifera database. Última data de acesso em 19-06-2019. http://www.marinespecies.org/porifera.

VARGAS S, ERPENBECK D, GÖCKE C, HALL KA, HOOPER JNA, JANUSSEN D, WÖRHEIDE G. 2012. Molecular phylogeny of *Abyssocladia* (Cladorhizidae: Poecilosclerida) and *Phelloderma* (Phellodermidae: Poecilosclerida) suggests a diversification of chelae microscleres incladorhizid sponges. Zoologica Scripta 42:106–116.

VARGAS S, KELLY M, SCHNABEL K, MILLS S, BOWDEN D, WÖRHEIDE G. 2015. Diversity in a cold hot-spot: DNA-barcoding reveals patterns of evolution among Antarctic Demosponges (Class Demospongiae, Phylum Porifera). Plos One 10:e0127573. DOI:10.1371/journal.pone.0127573

VELENOSI TJ, THOMSON KAB, TONIAL NC, RAOPETERS AAE, MIO MA *et al.* 2019. Untargeted metabolomics reveals N, N, N-trimethyl-L-alanyl-L-proline betaine (TMAP) as a novel biomarker of kidney function. Scientific Reports. DOI: 10.1038/s41598-019-42992-3.

VENTURA M. 2014. Plasticidade fenotípica de *Callyspongia* sp. (Duchassaing & Michelotti, 1864) (Porifera, Demospongiae) da costa de Salvador, Bahia. Monografia, Universidade do Estado do Rio de Janeiro.

VILLAS-BÔAS SG; GOMBERT AK. 2006. Análise do metaboloma: Uma ferramenta biotecnológica emergente na era pós-genômica. Biotecnologia, Ciência & Desenvolvimento 36:58–69.

VITE-GARCÍA N, ARJONA O, MORALES-BOJORQUEZ E, MASCARO M, SIMOES N, PALACIOS E. 2014. Assessment of lipid classes and fatty acid levels in wild newborn seahorses (*Hippocampus erectus*) (Perry 1810): implications for survival and growth in aquarium culture. Marine and Freshwater Behavior and Physiology 47:401–413.

VOIGT O, WÜLFING E, WÖRHEIDE G. 2012. Molecular phylogenetic evaluation of classification and scenarios of character evolution in calcareous sponges (Porifera, Class Calcarea). Plos One 7:1–16.

VOULTSIADOU E, DAILIANIS T, ANTONIADOU C, VAFIDIS D, DOUNAS C, CHINTIROGLOU CC. 2011. Aegean bath sponges: Historical data and current status. Reviews in Fisheries Science 19:34–51.

VOULTSIADOU-KOUKOURA E, VAN SOEST RMW. 1993. Suberitidae (Demospongiae, Hadromerida) from the North Aegean Sea. Beaufortia 43:176–186.

WANG M, CARVER JJ, PHELAN VV, SANCHEZ LM, GARG N *et al.* 2016. Sharing and community curation of mass spectrometry data with Global Natural Products Social molecular networking. Nature Biotechnology 34:828–837.

WANG X, LAVROV D. 2007. Mitochondrial genome of the homoscleromorph *Oscarella carmela* (Porifera, Demospongiae) reveals unexpected complexity in the common ancestor of sponges and other animals. Molecular Biology and Evolution 24:363–373.

WANG X, SCHLOSSMACHER U, SCHRÖDER HC, MÜLLER WEG. 2013. Biologically induced transition of bio-silica sol to mesoscopic gelatinous flocs: a biomimetic approach to a controlled fabrication of bio-silica structures. Soft Matter 9:654–664.

WAPSTRA M, VAN SOEST RMW. 1987. Sexual reproduction, larval morphology and behaviour in demosponges from the southwest of the Netherlands. In: Vacelet J, Boury-Esnault N (Eds.) Taxonomy of Porifera from the North East Atlantic and Mediterranean Sea. Springer-Verlag, Berlin. p. 281-307.

WATROUS J, ROACH P, ALEXANDROV T, HEATH BS, YANG JY *et al.* 2012. Mass spectral molecular networking of living microbial colonies. Proceeding of the National Academy of Science 109:E1743–E1752. DOI: 10.1073/pnas.1203689109.

WEGERSKI CJ, SONNENSCHEIN RN, CABRIALES F, VALERIOTE FA, MATAINAHO T, CREWS P. 2006. Stereochemical challenges in characterizing nitrogenous spiro-axane sesquiterpenes from the Indo-Pacific sponges *Amorphinopsis* and *Axinyssa*. Tetrahedron 62:10393–10399. DOI: 10.1016/j.tet.2006.08.070.

WILKINSON CR. 1978. Microbial associations in sponges. I. Ecology, physiology and microbial populations of coral reef sponges. Marine Biology 49:161–167.

WILM A, MAINZ I, STEGER G. 2006. An enhanced RNA alignment benchmark for sequence alignment programs. Algorithms for Molecular Biology 1:19.

WÖRHEIDE G, DOHRMANN M, ERPENBECK D, LARROUX C, MALDONADO *et al.* 2012. Deep phylogeny and evolution of sponges (Phylum Porifera). Advances in Marine Biology 61:1–78.

WÖRHEIDE G. 2006. Low variation in partial cytochrome oxidase subunit I (COI) mitochondrial sequences in the coralline demosponge *Astrosclera willeyana* across the Indo-Pacific. Marine Biology 148:907–912.

WULFF J. 2006a. Resistance vs recovery: morphological strategies of coral reef sponges. Functional Ecology 20:699–708.

WULFF J. 2006b. Ecological interactions of marine sponges. Canadian Journal of Zoology 84:144–166.

WULFF J. 2006c. Sponge systematics by starfish: predators distinguish cryptic sympatric species of Caribbean fire sponges, *Tedania ignis* and *Tedania klausi* n. sp. (Demospongiae, Poecilosclerida). Biological Bulletin 211:83–94.

WULFF J. 2012. Ecological interactions and the distribution, abundance, and diversity of sponges. Advances in Marine Biology 61:273–344.

WULFF J. 2013. Recovery of sponges after extreme mortality events: morphological and taxonomic patterns in regeneration vs recruitment. Integrative and Comparative Biology 53:1–12.

XIA J, PSUCHOGIOS N, YOUNG N, WISHART DS. 2009. MetaboAnalyst: a web server for metabolomic data analysis and interpretation. Nucleic Acids Research. DOI: 10.1093/nar/gkp356.

XIA J, SINELNIKOV IV, HAN B, WISHART DS. 2015. MetaboAnalyst 3.0-making metabolomics more meaningful. Nucleic Acids Research 43:251–257.

XUE L, ZHANG W. 2009. Growth and survival of early juveniles of the marine sponge *Hymeniacidon perlevis* (Demospongiae) under controlled conditions. Marine Biotechnology 11:640–649.

YAMAMOTO H, SCHOONJANS K, AUWERX J. 2007. Sirtuin functions in health and disease. Molecular Endocrinology 8:1745-1755.

YANG CY, TSENG CH, HSU JH, CHEN HJ, CHEN CC, TANG SL. 2011. Differential metabolisms in an encrusting sponge (*Terpios hoshinota*) by comparative transcriptomics approaches, Workshop of Marine evolutionary genomics and genetics, Academia Sinica, Taiwan.

YU HB, YANG F, SUN F, LI J, JIAO WH *et al.* 2014. Aaptamine derivatives with antifungal and anti-HIV-1 activities from the South China Sea sponge *Aaptos aaptos*. Marine Drugs 12:6003–6013.

ZEA S, HENKEL TP, PAWLIK JR. 2014. The Sponge Guide: a picture guide to Caribbean sponges. 3<sup>rd</sup> Edition. Available online: www.spongeguide.org. Última data de acesso: 19-06-2019.

ZHANG F, BLASIAK LC, KAROLIN JO, POWELL RJ, GEDDES CD, HILL RT. 2015a. Phosphorus sequestration in the form of polyphosphate by microbial symbionts in marine sponges. Proceedings of the National Academy of Sciences 112:4381–4386.

ZHANG H, CONTE MM, CAPON RJ. 2010. Franklinolides A–C from an Australian marine sponge complex: Phosphodiesters strongly enhance polyketide cytotoxicity. Angewandte Chemie International Edition 49:9904–9906.

ZHANG W, YUAN Y, YANG S, HUANG J, HUANG L. 2015b. ITS2 secondary structure improves discrimination between medicinal "Mu Tong" species when using DNA barcoding. Plos One 10:e0131185. DOI:10.1371/journal.pone.0131185.

ZIMMERMAN GA, PRESCOTT SM, MCINTYRE TM. 1992. Platelet-activating factor: a fluid-phase and cell mediator of inflammation. In: Gallin JI, Goldstein IM (Eds.) Inflammation: Basic principles and clinical correlates. Raven Press, New York. p. 1-28.

**APÊNDICE A** – Lista dos 180 espécimes de Suberitida e grupos externos trabalhados com sucesso morfológico e molecular. Todos os espécimes tiveram a morfologia avaliada

Voucher	Espécie	eie Localidade Metabolômica			ea Genética			
				<b>28S</b>	ITS2	16S	COX1	COX2
MNRJ 7676	Aaptos sp. 1	Atol das Rocas, RN		X	X			
MNRJ 7687	Aaptos sp. 1	Atol das Rocas, RN		X	X			
MNRJ 7692a	Aaptos sp. 1	Atol das Rocas, RN		X				
MNRJ 7692b	Aaptos sp. 1	Atol das Rocas, RN		X	X		X	
MNRJ 21677	Aaptos sp. 1	Grotte Chauve- Souris, Martinica		X				
MNRJ 8324	Aaptos sp. 2	BTS, Bahia		X	X			
MNRJ 8340	Aaptos sp. 2	BTS, Bahia		X	X			
MNRJ 8343	Aaptos sp. 2	BTS, Bahia		X	X		X	
MNRJ 21663	Aaptos sp. 2	BTS, Bahia						
MNRJ 7500	Aaptos sp. 3	Ilhas Cagarras, RJ		X	X			
MNRJ 20814	Amorphinopsis atlantica	BIG, RJ						
MNRJ 21586	Amorphinopsis atlantica	BIG, RJ						
MNRJ 21745	Amorphinopsis atlantica	BIG, RJ	X	X	X	X		
MNRJ 21931	Amorphinopsis atlantica	BIG, RJ		X				
MNRJ 21939	Amorphinopsis atlantica	BIG, RJ						
MNRJ 21942	Amorphinopsis atlantica	BIG, RJ						
MNRJ 21944	Amorphinopsis atlantica	BIG, RJ		X			X	
MNRJ 21617	Amorphinopsis atlantica	BIG, RJ		X	X		X	
UFPE 1974	Amorphinopsis atlantica	Mamanguape, PB					X	
UFPE 1143	Amorphinopsis atlantica	Paripe, PE		X				
MNRJ 363	Amorphinopsis atlantica	SP		X	X			
MNRJ 12704	Amorphinopsis atlantica	Ilhas Cagarras, RJ			X		X	
MNRJ 6777	Amorphinopsis sp.	Trinidad, Caribe		X	X		X	
MNRJ 269	Halichondria cebimarensis	São Sebastião, SP		X	X			
MNRJ 4716	Halichondria marianae	Ponta Verde, AL		X	X			
MNRJ 2079	Halichondria marianae	Praia da Ferradura, RJ		11	11			
MNRJ 21342	Halichondria marianae	Praia de Araçagi, MA						
MNRJ 21345	Halichondria marianae	Praia de Araçagi, MA		X	X	X		
MNRJ 21439	Halichondria marianae	Praia de Araçagi, MA						
MNRJ 21400	Halichondria marianae	Praia de Panaquatira, MA						
MNRJ 21363	Halichondria marianae	Praia do Meio, MA		X	X	X		
MNRJ 21706	Halichondria marianae	Praia dos Dois Coqueiros, CE		X	X		X	
MNRJ 9422	Halichondria marianae	Bocas del Toro, Panamá			X		X	
UFPE 1590	Halichondria marianae	Cabo Branco, PB			X			
UFPE 1861	Halichondria marianae	Carapibus, PB			X		X	
MNRJ 21396	Halichondria melanadocia	Praia de Panaquatira, MA		X		X		X

						(continuaç		açao)
Voucher	Espécie	Localidade	Metabolômica	28S	ITS2	Gené	tica COX1	COX2
MNRJ 2587	Halichondria melanadocia	BTS, BA		X	X		X	
MNRJ 21803	Halichondria melanadocia	Port Louis, Guadalupe		X	X		X	
MNRJ 1092	Halichondria melanadocia	Twin Cays, Belize		X	X			
MNRJ 1096	Halichondria melanadocia	Twin Cays, Belize		X	X			
MNRJ 1520	Halichondria melanodocia	Tamandaré, PE						
MNRJ 1536	Halichondria melanodocia	Tamandaré, PE			X			
MNRJ 21652	Halichondria melanodocia	Porto da Barra, BA	X					
MNRJ 21659	Halichondria melanodocia	Porto da Barra, BA	X		X			
MNRJ 21339	Halichondria sp. 1	Praia de Araçagi, MA		X	X	X		
MNRJ 21754	Halichondria sp. 2	BIG, RJ			X			
MNRJ 21600	Halichondria sp. 2	Ilha Grande, RJ						
MNRJ 21603	Halichondria sp. 2	Ilha Grande, RJ						
MNRJ 21616	Halichondria sp. 2	Ilha Grande, RJ						
MNRJ 15744	Halichondria sp. 3	Bocas del Toro, Panamá						
MNRJ 21678	Halichondria sp. 3	Grotte Chauve- Souris, Martinica		X	X			
MNRJ 21799	Halichondria sp. 3	Itaipú, RJ		X	X		X	
MNRJ 62	Halichondria sp. 4	Sudeste, Brasil						
MNRJ 21602	Halichondria sp. 4	Ilha Grande, RJ		X	X			
MNRJ 21596	Halichondria sp. nov.	Ilha Grande, RJ		X	X		X	
MNRJ 521	Halichondria tenebrica	SP			X		X	
MNRJ 21672	Hymeniacidon caerulea	Anse d'Arlet, Martinica	X	X	X			
MNRJ 18768	Hymeniacidon caerulea	Foz do Rio Amazonas, MA		X	X			
MNRJ 21681	Hymeniacidon caerulea	Anse d'Arlet, Martinica		X		X		
MNRJ 21801	Hymeniacidon caerulea	Anse d'Arlet, Martinica		X	X		X	
MNRJ 21804	Hymeniacidon caerulea	Anse d'Arlet, Martinica		X	X			
MNRJ 21817	Hymeniacidon caerulea	Cayo Arcas, México		X	X		X	
MNRJ 21805	Hymeniacidon caerulea	Diamant, Martinica		X	X	X		X
MNRJ 21679c	•	Grotte Chauve- Souris, Martinica		X	X			
MNRJ 21679e	•	Grotte Chauve- Souris, Martinica		X	X			
MNRJ 21679f	Hymeniacidon caerulea	Grotte Chauve- Souris, Martinica	X	X	X	X	X	X
MNRJ 21679g	Hymeniacidon caerulea	Grotte Chauve- Souris, Martinica	X	X	X	X		X
MNRJ 21598	Hymeniacidon heliophila	Ilha Grande, RJ		X	X			
MNRJ 21770	Hymeniacidon heliophila	Itaipú, RJ	X					
MNRJ 21771	Hymeniacidon heliophila	Itaipú, RJ	X	X	X		X	

					(conti			uaçao)
Voucher	Espécie	Localidade	Metabolômica	•••		Gené		00
MNRJ 21772	Hymeniacidon heliophila	Itaipú, RJ	X	28S	ITS2	16S	COX1	COX2
MNRJ 21772 MNRJ 21773	Hymeniacidon heliophila	Itaipú, RJ	X					
MNRJ 21774	Hymeniacidon heliophila	Itaipú, RJ	X					
MNRJ 21774 MNRJ 21775	Hymeniacidon heliophila	Itaipú, RJ	X					
	Hymeniacidon heliophila	Itaipu, RJ Itaipú, RJ	X					
MNRJ 21776		<u>*</u>						
MNRJ 21777 MNRJ 21778	Hymeniacidon heliophila Hymeniacidon heliophila	Itaipú, RJ Itaipú, RJ	X X					
		<u>*</u>	X					
MNRJ 21779	Hymeniacidon heliophila	Itaipú, RJ						
MNRJ 21780	Hymeniacidon heliophila	Itaipú, RJ	X					
MNRJ 21781	Hymeniacidon heliophila	Itaipú, RJ	X					
MNRJ 21782	Hymeniacidon heliophila	Itaipú, RJ	X		<b>3</b> 7		37	
MNRJ 21783	Hymeniacidon heliophila	Itaipú, RJ	X		X		X	
MNRJ 21784	Hymeniacidon heliophila	Itaipú, RJ	X					
MNRJ 21785	Hymeniacidon heliophila	Itaipú, RJ	X					
MNRJ 21786	Hymeniacidon heliophila	Itaipú, RJ	X					
MNRJ 21787	Hymeniacidon heliophila	Itaipú, RJ	X					
MNRJ 21788	Hymeniacidon heliophila	Itaipú, RJ	X					
MNRJ 21789	Hymeniacidon heliophila	Itaipú, RJ	X		37		***	
MNRJ 21800	Hymeniacidon heliophila	Itaipú, RJ		•	X		X	
MNRJ 21346	Hymeniacidon sp. nov.	Praia de Araçagi, MA		X	X			
MNRJ 21360	Hymeniacidon sp. nov.	Praia de Panaquatira, MA		X	X		X	
MNRJ 21390	Hymeniacidon sp. nov.	Praia de Panaquatira, MA		X	X		X	X
MNRJ 19469	Rhaphidostyla sp. nov.	BIG, RJ	X	X	X	X		
UERJ 190	Rhaphidostyla sp. nov.	BIG, RJ			X			
UERJ 215	Rhaphidostyla sp. nov.	BIG, RJ						
UERJ 393	Rhaphidostyla sp. nov.	BIG, RJ						
MNRJ 2543	Rhaphidostyla sp. nov.	BTS, BA			X			
UERJ 65	Rhaphidostyla sp. nov.	BTS, BA	X					
MNRJ 15061	Suberites aurantiacus	Baía de Santa Martha, Curaçao		X				
UERJ 261	Suberites aurantiacus	BIG, RJ						
MNRJ 21584	Suberites aurantiacus	BIG, RJ						
MNRJ 21585	Suberites aurantiacus	BIG, RJ						
MNRJ 21758	Suberites aurantiacus	BIG, RJ		X	X			
MNRJ 21818	Suberites aurantiacus	Chelem, México		X				
MNRJ 21819	Suberites aurantiacus	Chelem, México						
MNRJ 21820	Suberites aurantiacus	Chelem, México		X	X			
MNRJ 21821	Suberites aurantiacus	Chelem, México		X				
MNRJ 21822	Suberites aurantiacus	Chelem, México		X	X		X	
MNRJ 21601	Suberites aurantiacus	Ilha Grande, RJ		X	X			
MNRJ 20788	Suberites aurantiacus	Paraná						
MNRJ 21405	Suberites aurantiacus	Praia do Francês, AL		X	X		X	
		<u> </u>						

<del></del>	Emilia.			(continuação)  Genética					
Voucher	Espécie	Localidade	Metabolômica	28S	ITS2			COX2	
MNRJ 21405	Suberites aurantiacus	Praia de Araçagi, MA		X	X				
MNRJ 21430	Suberites aurantiacus	Praia de Araçagi, MA		X	X	X			
MNRJ 21397	Suberites aurantiacus	Praia de Panaquatira, MA		X		X	X		
MNRJ 21402	Suberites aurantiacus	Praia de Panaquatira, MA							
MNRJ 16247	Suberites aurantiacus	Arquipélago de Currais, PR			X				
MNRJ 21340	Suberites aurantiacus	Praia de Araçagi, MA		X	X				
MNRJ 21665	Suberites aurantiacus	BTS, BA							
MNRJ 21668	Suberites aurantiacus	BTS, BA							
MNRJ 21808	Suberites aurantiacus	Port Louis, Guadalupe		X	X				
MNRJ 21343	Suberites sp. nov.	Praia de Araçagi, MA							
MNRJ 21500	Suberites sp. 1	Praia do Meio, MA		X	X	X	X		
MNRJ 3882	Suberites sp.2	Ilhas Cagarras, RJ							
MNRJ 8641	Suberites sp.3	Abrolhos, BA		X	X				
MNRJ 4057	Terpios belindae	Arraial do Cabo, RJ			X				
MNRJ 15781	Terpios belindae	Bocas del Toro, Panama		X					
MNRJ 8370	Terpios belindae	BTS, BA		X	X		X		
MNRJ 6726	Terpios belindae	Abrolhos, BA							
MNRJ 18940	Terpios fugax	Praia dos Dois Coqueiros, CE		X	X	X			
MNRJ 20065	Terpios fugax	Praia dos Dois Coqueiros, CE							
MNRJ 20078	Terpios fugax	Praia dos Dois Coqueiros, CE		X	X				
MNRJ 21700	Terpios fugax	Praia dos Dois Coqueiros, CE		X	X				
MNRJ 21701	Terpios fugax	Praia dos Dois Coqueiros, CE							
MNRJ 21708	Terpios fugax	Praia dos Dois Coqueiros, CE							
MNRJ 21679a	Terpios fugax	Grotte Chauve- Souris, Martinica							
MNRJ 21798	Terpios fugax	Itaipú, RJ			X				
MNRJ 21696	Terpios fugax	Paracuru, CE	X	X	X				
MNRJ 21937	Terpios fugax	BIG, RJ		X	X	X			
MNRJ 21940	Terpios fugax	BIG, RJ							
MNRJ 21946	Terpios fugax	BIG, RJ		X	X				
LGMAR1469	Terpios fugax	Porto da Barra, BA		X	X				
MNRJ 21630	Terpios fugax	Porto da Barra, BA							
MNRJ 21631	Terpios fugax	Porto da Barra, BA	X	X	X				
MNRJ 21632	Terpios fugax	Porto da Barra, BA		X	X				
MNRJ 21633	Terpios fugax	Porto da Barra, BA							
MNRJ 21638	Terpios fugax	Porto da Barra, BA		X		X			
MNRJ 21639	Terpios fugax	BTS, BA	X	X	X				

(conclusão)

		T 113 1 37		(conclusão)					
Voucher	Espécie	Localidade	Metabolômica	•00	Genética 8S ITS2 16S COX1 (				
MNRJ 2536	Terpios fugax	BTS, BA	X	28S X	ITS2 X	16S X	COX1	COX2	
MNRJ 21814	Terpios gelatinosus	Mônaco, França	Λ	Λ	X	Λ	v		
MNRJ 21815	Terpios gelatinosus	Mônaco, França		v			X		
MNRJ 21813	cf. Terpios	Mônaco, França		X	X				
MNRJ 1094	Terpios manglaris	Twin Cays, Belize		37	37				
MNRJ 308	Terpios manglaris	Sudeste, Brasil		X	X				
	Topsentia cf. bahamensis				X				
WINKJ 21004a	Topsentia CI. banamensis	Souris, Martinica		X					
MNRJ 21684c	Topsentia cf. bahamensis			X					
MNRJ 21816	Topsentia cf. bahamensis								
MNRJ 21802	Topsentia cf. bahamensis	-		X	X	X			
MNRJ 8345	Topsentia ophiraphidites						X		
MNRJ 21684	Topsentia ophiraphidites		37	37	37		11		
	· I · · · · · · · I · · · · I · · · · ·	Souris, Martinica	X	X	X				
MNRJ 21684b	Topsentia ophiraphidites		X					X	
MNRJ 21684d	Topsentia ophiraphidites	Souris, Martinica Grotte Chauve-							
210014	Topsenna opiniapinanes	Souris, Martinica						X	
MNRJ 21730	Topsentia sp. nov.	Fernando de Noronha	X						
MNRJ 20224	Topsentia sp. nov.	Pedra da Risca do	X						
NO.DI 01700	<i>T</i>	Meio, CE							
MNRJ 21733	Topsentia sp. nov.	Fernando de Noronha	X	X					
MNRJ 21736	Topsentia sp. nov.	Fernando de Noronha	X	X		X			
MNRJ 21734	Topsentia sp. nov.	Fernando de	X						
MNRJ 21729	Topsentia sp. nov.	Noronha Fernando de							
	- • p • • • • • • • • • • • • • • • • •	Noronha	X						
MNRJ 21731	Topsentia sp. nov.	Fernando de	X	X	X				
MNRI 21714	Topsentia sp. nov.	Noronha BTS, BA	X						
MNRJ 21728	Topsentia sp. nov.	Fernando de Noronha		X					
MNRJ 21670	aff. Topsentia	BTS, BA				v			
WINKS 21070	an. Topsemu	Anse d'Arlet,	X	X		X			
MNRJ 21673	cf. Topsentia	Martinica		X					
MNRJ 21710	Dragmacidon reticulatum		X						
MNRJ 21711	Dragmacidon reticulatum		X						
MNRJ 21712	Geodia corticostylifera	Pedra da Risca do	X						
MNRJ 21713	Geodia corticostylifera	Meio, CE Pedra da Risca do	X						
MNRJ 21651	Geodia sp.	Meio, CE BTS, Bahia	X	X		X			
MNRJ 21675	Neopetrosia carbonaria	Grande Anse	X	X	X	X	X		
MNRJ 21682	Neopetrosia carbonaria	Grande Anse	X	X	11	X	41		
MNRJ 21685	Neopetrosia carbonaria	Grande Anse	X	X		X			
		Grande / Mise	45	94	88	24	32	7	
<b>TOTAL: 180</b>	UTOs: 36		45	74	00	<i>2</i> 4	34	,	

**APÊNDICE B** – Lista comparativa de amostras trabalhadas para a realização das reconstruções filogenéticas com os marcadores 28S, ITS2, COX1 e 16S

Ordem	Espécie	Voucher	28S	COX1	16S	ITS2
Agelasida	Acanthostylotella cornuta	NCI055	KC869600			
Agelasida	Agelas axifera	NTM2728		DQ069298		
Agelasida	Agelas conifera	P36	KC869634			
Agelasida	Agelas oroides	Po.25569	KX688750			
Agelasida	Agelas schmidti			NC_010213		
Agelasida	Agelas sp.	UCMPWC1026	AY561929			
Agelasida	Astrosclera willeyana	NCI159	KC869525			
Agelasida	Astrosclera willeyana	OLS	JQ362353			
Agelasida	Astrosclera willeyana	UCMPWC1070		AY561969		
Agelasida	Ceratoporella nicholsoni	INV-POR829		DQ075775		
Agelasida	Prosuberites laughlini	UCMPWC524	AY626320			
Agelasida	Prosuberites laughlini	UCMPWC875		AY561960		
Agelasida	Prosuberites laughlini		AY561927			
Agelasida	Prosuberites longispinus	Mc7173	HQ379245 .320.387			
Agelasida	Prosuberites sp.	G306290	AY626319			
Agelasida	Stromatospongia vermicola	ICN-MHN-PO- 0216		DQ075754		
Agelasida	Axinella corrugata				NC_006894	
Agelasida	Agelas schmidti				NC_010213	
Axinellida	Acanthella acuta	Mc7160		HQ379408		
Axinellida	Acanthella cavernosa	NCI074	KC869573			
Axinellida	Acantheurypon pilosella	D27-217		JF440337		
Axinellida	Axechina raspailioides	G300288		JQ034544		
Axinellida	Axechina raspailioides	NCI090	KC869448			
Axinellida	Axinella corrugata	P61	KC869523			
Axinellida	Axinella corrugata			NC_006894		
Axinellida	Axinella sp.	G315196	AY561925			
Axinellida	Ceratopsion axiferum	NCI092	KC869596			
Axinellida	Cymbastela concentrica	G306736		JQ034534		
Axinellida	Cymbastela coralliophila	G307149		JQ034536		
Axinellida	Cymbastela vespertina	G300002		JQ034539		
Axinellida	Didiscus sp.	UCMPWC1040	AY561948	AY561972		
Axinellida	Didiscus sp.	UCMPWC1040				
Axinellida	Dragmacidon lunaecharta	MCZDNA106232		JX999077		
Axinellida	Echinodictyum cancellatum	G300863		JQ034555		
Axinellida	Ectyoplasia ferox	P13	KC869540			
Axinellida	Ectyoplasia ferox			NC_010210		
Axinellida	Ectyoplasia tabula	NCI395	KC869472			
Axinellida	Endectyon delaubenfelsi	Mc4527		HQ379412		
Axinellida	Eurypon cf. clavatum			AJ843893		
Axinellida	Eurypon hispidum	NCI040	KC869614			
Axinellida	Halicnemia sp.			HQ379423		
Axinellida	Heteroxya sp.	3.5.50:5		KF017197		
Axinellida	Hymeraphia verticillata	Mc5018		HQ379414		
Axinellida	Myrmekioderma gyroderma	B109		EF519652		
Axinellida	Paratimea constellata	Mc4323		HQ379419		
Axinellida	Phakellia ventilabrum	Mc4248		HQ379409		
Axinellida	Pseudaxinella reticulata			AJ843894		
Axinellida	Ptilocaulis walpersi			NC_010209		

 $(\underline{cont}inuação)$ 

Ordem	Espécie	Voucher	28S	COX1	16S	ITS2
Axinellida	Raspaciona aculeata	Mc7159		HQ379415		
Axinellida	Raspailia hispida	Mc3597		HQ379416		
Axinellida	Raspailia phakellopsis	NCI442	KC869585			
Axinellida	Raspailia vestigifera	NCI431	KC869583			
Axinellida	Reniochalina stalagmitis	NCI287	KC869582			
Axinellida	Stelligera rigida	Mc4357		HQ379420		
Axinellida	Thrinacophora cervicornis	G300850		JQ034585		
Axinellida	Thrinacophora cervicornis	NCI418	KC869456			
Axinellida	Thrinacophora cervicornis	NCI435	KC869630			
Axinellida	Trikentrion flabelliforme	NCI383	KC869511			
Axinellida	Ptilocaulis walpersi				NC_010209	
Axinellida	Ectyoplasia ferox				NC_010210	
Biemnida	Biemna fistulosa	TAU25197		AM076982	_	
Biemnida	Biemna sp.	P60	KC869481			
Biemnida	Neofibularia hartmani	NCI421	KC869639			
Biemnida	Neofibularia hartmani	QMG324632		JF773145		
Biemnida	Rhabderemia sorokinae	G312904		HE611607		
Biemnida	Sigmaxinella hipposiderus	QMG323175		JF773147		
Biemnida	Sigmaxinella sp.	NCI333	KC869491	01770117		
Bubarida	Desmanthus incrustans	QMG303437		KJ494345		
Bubarida	Dictyonella incisa	QIIIOSOS IST		KF017196		
Bubarida	Petromica pacifica	G321706		LN624193		
Bubarida	Petromica sp.	ZMAPOR12543		LN624195		
Bubarida	Tethyspira spinosa	Mc4641		HQ379418		
Clionaida	Cervicornia cuspidifera	NCI082	KC869474	1100//110		
Clionaida	Cliona celata	Mc4038	110007.7.	HM999040		
Clionaida	Cliona delitrix	SI06x122	KC869510	111.12,5,50.10		
Clionaida	Cliona viridis	MCZDNA105701		JX999076		
Clionaida	Diplastrella megastellata	UCMPWC997	AY561893	012555070		
Clionaida	Pione vastifica	STAVFP7	111001070	EF519666		
Clionaida	Placospongia intermedia	MCZDNA106621		JX999089		
Clionaida	Placospongia sp.	P20	KC869625			
Clionaida	Placospongia sp.	UCMPWC865	AY626299			
Clionaida	Spheciospongia solida	SPO2	1110202//	KY565307		
Clionaida	Spirastrella hartmani	P21	KC869504	111303307		
Desmacellida	Desmacella cf. annexa	Mc4240a	HQ379225			
200111111111111111111111111111111111111	Desmacena en annexa	1.10.12.104	93.361			
Desmacellida	Desmacella cf. annexa	Mc4240		KC876697		
Merliida	Hamacantha falcula	ZMBN103477		LN870512		
Poecilosclerida	Acanthancora sp.	NCI410	KC869649	211070312		
Poecilosclerida	Antho sp.	NCI322	KC869629			
Poecilosclerida	Asbestopluma pennatula	ZMBN103467	KC007027	LN870475		
Poecilosclerida	Chondrocladia fatimae	BPCP.3729		LN870473 LN870480		
Poecilosclerida	Cladorhiza abyssicola	ZMAPOR19500		LN870480 LN870497		
Poecilosclerida Poecilosclerida	Clathria eccentrica	NCI387	KC869597	LINO/U47/		
Poecilosclerida Poecilosclerida	Clathria reinwardti	G306423	NC00737/	HE611598		
Poecilosclerida Poecilosclerida	Clathria reinwarati Clathria reinwardti	NCI453	KC869449	1111111370		
	Ciainria reinwarati Crambe crambe		AC007447	IV000001		
Poecilosclerida		MCZDNA105712	AVEC1002	JX999091		
Poecilosclerida	Crambe crambe	UCMPWC933	AY561883	NC 007500		
Poecilosclerida	Crella elegans	NGIO25	WG0 <0 <00	NC_027520		
Poecilosclerida	Crella incrustans	NCI025	KC869608			

Ordem	Espécie	Voucher	28S	COX1	16S	ITS2
Poecilosclerida	Desmapsamma anchorata	UCMPWC1660		HE591461		
Poecilosclerida	Desmoxya pelagiae	Mc7764		KC876696		
Poecilosclerida	Diacarnus spinipoculum	G305467		AY561975		
Poecilosclerida	Echinochalina sp.	NCI468	KC869603			
Poecilosclerida	Echinoclathria dichotoma	NCI444	KC869501			
Poecilosclerida	Forcepia sp.	NCI034	KC869627			
Poecilosclerida	Guitarra antarctica	ECOQUIM.786		LN870510		
Poecilosclerida	Guitarra fimbriata	NCI405	KC869537			
Poecilosclerida	Inflatella sp.	NCI385	KC869468			
Poecilosclerida	Iotrochota birotulata			NC_010207		
Poecilosclerida	Isodictya compressa	NCI437	KC869546			
Poecilosclerida	Isodictya frondosa	NCI381	KC869563			
Poecilosclerida	Isodictya frondosa	NCI461	KC869477			
Poecilosclerida	Isodictya grandis	NCI439	KC869522			
	Latrunculia lunaviridis	NCI417	KC869489			
	Lissodendoryx arenaria	NCI321	KC869561			
	Lissodendoryx fibrosa	NCI401	KC869529			
	Lissodendoryx fibrosa	NCI409	KC869479			
	Lissodendoryx sigmata	NCI429	KC869509			
Poecilosclerida	Lissodendoryx sp.	NCI407	KC869506			
Poecilosclerida	Microciona prolifera	1(6110)	110007500	DQ087475		
Poecilosclerida	Monanchora arbuscula	SI06x202	KC869447	DQ007173		
	Monanchora clathrata	G301219	RC007447	HE611612		
Poecilosclerida	Monanchora unguiculata	NCI446	KC869564	1112011012		
Poecilosclerida	Mycale fibrexilis	1101440	AY026376			
Poecilosclerida	Iotrochota birotulata	P01	KC869556			
Poecilosclerida	Mycale macilenta	NCI346	KC869541			
Poecilosclerida	Mycale mirabilis	G300561	RC007541	HE611589		
Poecilosclerida	Mycale mirabilis	NCI445	KC869613	TILOT1307		
Poecilosclerida	Mycale setosa	NCI443 NCI408	KC869624			
Poecilosclerida	Negombata magnifica	11C1406	KC809024	NC_010171		
Poecilosclerida	Neopodospongia cf. normani	D31-217		JF440339		
Poecilosclerida	Ophlitaspongia papilla	OP-1		KF225483		
	Paracornulum dubium	G300541		HE611605		
	Phelloderma oxychaetoides	SMFDEU		HE611626		
Poecilosclerida Poecilosclerida	Phorbas fictitioides	11726 G307601		HE611617		
Poecilosclerida	Plocamionida microcionides	P32MIN H8a		FR687220		
Poecilosclerida	Sceptrella biannulata	1 32WIIN 110a		KF017195		
Poecilosclerida	Strongylacidon bermudae					
	0,5			AJ843889		
Poecilosclerida	Tedania ignis	NGI207	170000515	DQ133896		
Poecilosclerida	Tedania strongylostyla	NCI397	KC869515			
Poecilosclerida	Tedania tubulifera	NCI345	KC869548	IE020154		
Poecilosclerida	Tsitsikamma favus	NGIOOA	Tr.C0.40512	JF930154		
Poecilosclerida	Tsitsikamma pedunculata	NCI384	KC869512			
Poecilosclerida	Zyzzya fuliginosa	NCI441	KC869478		NG 025520	
Poecilosclerida	Crella elegans				NC_027520	
Poecilosclerida	Negombata magnifica				NC_010171	
Poecilosclerida	Iotrochota birotulata				NC_010207	
Polymastiida	Polymastia littoralis			NC_023834		
Polymastiida	Polymastia pachymastia	UCMPWC932	AY561924			
Polymastiida	Quasillina brevis	ZMBN98084		HG423718		

Ordem	Espécie	Voucher	28S	COX1	16S	ITS2
Polymastiida	Radiella hemisphaerica	ZMBN98043		HG423719		
Polymastiida	Spinularia spinularia	ZMBN98037		HG423727		
Polymastiida	Tentorium semisuberites	POR20536		HQ379426		
Polymastiida	Weberella bursa	ZMBN98051		HG423733		
Polymastiida	Polymastia littoralis				NC_023834	
Scopalinida	Scopalina lophyropoda			AM498641		
Scopalinida	Scopalina ruetzleri	P118	KC869553			
Scopalinida	Stylissa carteri	USNM.IZ.1526 907		MK833941		
Scopalinida	Stylissa flabelliformis	POR17668		AY625671		
Scopalinida	Stylissa massa	G307272		JQ034583		
Scopalinida	Stylissa massa	POR17670		AY625672		
Scopalinida	Svenzea zeai	B28		EF519682		
Scopalinida	Svenzea zeai	P56	KC869635			
Sphaerocladina	Vetulina indica	WAMZ35842		LN624211		
Spongillida	Ephydatia muelleri			NC_010202		
Spongillida	Ephydatia muelleri				NC_010202	
Suberitida	Aaptos aaptos	G320130	AY626314			
Suberitida	Aaptos aaptos	NCI313	KC869496			
Suberitida	Aaptos cf. lithophaga	POR8789	AY626312. 561909			
Suberitida	Aaptos papillata	M24A		KY492600		
Suberitida	Aaptos papillata	M25A		KY492599		
uberitida	Aaptos sp.	G313447	AY626313			
uberitida	Aaptos sp.	WAMZ3165	AY561908			
Suberitida	Aaptos sp.	WAMZ3615	AY626311. AY561908			
Suberitida	Aaptos suberitoides	POR17498	AY319308	AY625653		
Suberitida	Amorphinopsis excavans	NCI061	KC869473			
Suberitida	Amorphinopsis excavans	POR14627	AY319313	AF437297		
Suberitida	Amorphinopsis siamensis	POR17672	AY618705	AY625655		
Suberitida	Amorphinopsis sp.	RUA-2017	MF685333			
Suberitida	Caulospongia biflabellata	WAMZ16503	AY626318. 41			
Suberitida	Caulospongia reticulata		AY561914			
Suberitida	Ciocalypta penicillus	Mc5051	HQ379240. 315.381			
Suberitida	Ciocalypta penicillus	POR14111	AY618710			
Suberitida	Ciocalypta penicillus			AF437302		
Suberitida	Ciocalypta sp.	G301298		JQ034562		
Suberitida	Ciocalypta sp.	Po.25633				KX688741
Suberitida	Ciocalypta sp.	STAIVFP2		EF519604		
Suberitida	Ciocalypta tyleri	POR11683	AY618711			
Suberitida	Halichondria attenuata	Mc4732	HQ393900			
Suberitida	Halichondria bowerbanki	GW30169	MH157903			
Suberitida	Halichondria bowerbanki	Mc4003	HQ379241.			
ouverillua	танспопана вожегванкі	WIC+UU3	316.382			
Suberitida	Halichondria bowerbanki	POR10898	AY618714			
Suberitida	Halichondria bowerbanki	POR17674	AY618713			
Suberitida	Halichondria bowerbanki	POR17683		AF437299		
Suberitida	Halichondria bowerbanki	SB16A		KY492588		

Ordem	Espécie	Voucher	28S	COX1	16S	ITS2
Suberitida	Halichondria magniconulosa	B11		EF519615		
Suberitida	Halichondria magniconulosa	S11		EF519616		
Suberitida	Halichondria melanadocia	P48	KC869508			
Suberitida	Halichondria melanodocia	K33		EF519617		
Suberitida	Halichondria melanodocia	STAIFP4		EF519618		
Suberitida	Halichondria okadai	040313-14		KJ546365		KJ801656
Suberitida	Halichondria okadai	Haloka1		EF217340		EF217370
Suberitida	Halichondria okadai	Haloka2		EF217341		EF217371
Suberitida	Halichondria okadai	Haloka3				EF217372
Suberitida	Halichondria okadai	n.a.	AB511881			AB51188
Suberitida	Halichondria okadai			NC_037391		
Suberitida	Halichondria panicea	B32B		KY492592		
Suberitida	Halichondria panicea	M24E		KY492591		
Suberitida	Halichondria panicea	M31G		KY492590		
Suberitida	Halichondria panicea	Mc4070	HQ379242	KC869423		
	·		.317.383			
Suberitida	Halichondria panicea	MF42B		KY492589		
Suberitida	Halichondria panicea	PG:BU18	LC436876			
Suberitida	Halichondria panicea	POR14125	AY319315	AF437294		
Suberitida	Halichondria panicea		AF062607			AF062607
Suberitida	Halichondria panicea			NC_040168		
Suberitida	Halichondria sp.	DISL2002-*26				JF824782
Suberitida	Halichondria sp.	DISL2002-*49				JF824781
Suberitida	Halichondria sp.	G322642		SBD813		
Suberitida	Halichondria sp.	Halsp-1		EF217336		EF217365
Suberitida	Halichondria sp.	Halsp-2		EF217337		EF217366
Suberitida	Halichondria sp.	Halsp-3		EF217338		EF217367
Suberitida	Halichondria sp.	Halsp-4				EF217368
Suberitida	Halichondria sp.	Halsp-5		EF217339		EF217369
Suberitida	Halichondria sp.	PG-BU1				LC436859
Suberitida	Halichondria sp.	PG-BU10				LC436868
Suberitida	Halichondria sp.	PG-BU7				LC436865
Suberitida	Halichondria sp.	PG-BU8				LC436866
Suberitida	Halichondriidae	UCMPWC1015	AY561933	AY561985		
Suberitida	Halichondriidae	UCMPWC1017	AY561934			
Suberitida	Halichondriidae	UCMPWC1033	AY561935			
Suberitida	Halichondriidae	UCMPWC1063	AY561926			
Suberitida	Homaxinella sp.	NIWA28971		LN850197		
Suberitida	Homaxinella sp.	NIWA28975		LN850190		
Suberitida	Homaxinella sp.	NIWA35450		LN850191		
Suberitida	Homaxinella sp.	NIWA37362		LN850192		
Suberitida	Homaxinella sp.	NIWA37480		LN850193		
Suberitida	Homaxinella sp.	NIWA37655		LN850194		
Suberitida	Homaxinella subdola	Mc5438	HQ379244 .318.385			
Suberitida	Hymeniacidon chloris	SPO22		KY565323		KY56528
Suberitida	Hymeniacidon flavia	A				AB250768
Suberitida	Hymeniacidon flavia	В				AB250769
Suberitida	Hymeniacidon flavia	C				AB250770
Suberitida	Hymeniacidon flavia	D				AB250771
Suberitida	Hymeniacidon flavia	E				AB250772

Ordem	Espécie	Voucher	28S	COX1	16S	(con:
Suberitida	Hymeniacidon flavia	F				AB250773
Suberitida	Hymeniacidon flavia	G				AB250774
Suberitida	Hymeniacidon flavia	Н				AB250775
Suberitida	Hymeniacidon flavia	Hymf1				AB373172
Suberitida	Hymeniacidon flavia	Hymf10				AB373181
Suberitida	Hymeniacidon flavia	Hymf11				AB373182
Suberitida	Hymeniacidon flavia	Hymf12				AB373183
Suberitida	Hymeniacidon flavia	Hymf13				AB373184
Suberitida	Hymeniacidon flavia	Hymf14				AB373185
Suberitida	Hymeniacidon flavia	Hymf15				AB373186
Suberitida	Hymeniacidon flavia	Hymf2				AB373173
Suberitida	Hymeniacidon flavia	Hymf3				AB373174
Suberitida	Hymeniacidon flavia	Hymf4				AB373175
Suberitida	Hymeniacidon flavia	Hymf5				AB373176
Suberitida	Hymeniacidon flavia	Hymf6				AB373177
Suberitida	Hymeniacidon flavia	Hymf7				AB373178
Suberitida	Hymeniacidon flavia	Hymf8				AB373179
Suberitida	Hymeniacidon flavia	Hymf9				AB373180
Suberitida	Hymeniacidon flavia	Hymfla1		EF217333		EF217362
Suberitida	Hymeniacidon flavia	Hymfla2		EF217334		EF217363
Suberitida	Hymeniacidon flavia	Hymfla3		EF217335		EF217364
Suberitida	Hymeniacidon flavia	I		Li 217333		AB250776
Suberitida	Hymeniacidon flavia	J				AB250777
Suberitida	Hymeniacidon flavia	K				AB250778
Suberitida	Hymeniacidon gracilis	SPO26		KY565326		KY565291
Suberitida	Hymeniacidon heliophila	190513-06	KJ620391	K1303320		KJ782600
Suberitida	Hymeniacidon heliophila	D03-10	KJ020371			JF824792
Suberitida	Hymeniacidon heliophila	D03-10				JF824793
Suberitida	Hymeniacidon heliophila	D03-12				JF824794
Suberitida	Hymeniacidon heliophila	D03-4				JF824789
Suberitida	Hymeniacidon heliophila	D03-4 D03-6				JF824799 JF824790
Suberitida	Hymeniacidon heliophila	D03-7				JF824790
	*	DISL2002-*17				JF824791 JF824788
Suberitida	Hymeniacidon heliophila					
Suberitida	Hymeniacidon heliophila	DISL2002-*2				JF824787 AB373170
Suberitida	Hymeniacidon heliophila	НуН				
Suberitida	Hymeniacidon heliophila	NICTO92	VC940430			KT880468
Suberitida	Hymeniacidon heliophila	NCI083	KC869620			
Suberitida	Hymeniacidon heliophila	NCI217	KC884838	EE510720		
Suberitida	Hymeniacidon heliophila	STAIVFP6		EF519629		A D 2507.64
Suberitida	Hymeniacidon heliophila					AB250764
Suberitida	Hymeniacidon heliophila		*********			AB860124
Suberitida	Hymeniacidon kitchingi	Mc3332	HQ379243. KC869434. HQ379384			
Suberitida	Hymeniacidon perlevis	HM-2		KF225482		
Suberitida	Hymeniacidon perlevis	HYM13B		JX477026		
Suberitida	Hymeniacidon perlevis	HYM19A		JX477041		
Suberitida	Hymeniacidon perlevis	НҮМ3А		JX477015		
Suberitida	Hymeniacidon perlevis	HYM5A		JX477016		
Suberitida	Hymeniacidon perlevis	HYM7A		JX477017		
Suberitida	Hymeniacidon perlevis	HYM9A		JX477018		

Ordem	Espécie	Voucher	28S	COX1	16S	ITS2
Suberitida	Hymeniacidon perlevis	НуР				AB373171
Suberitida	Hymeniacidon perlevis	POR14140	AY319317			
Suberitida	Hymeniacidon perlevis	POR17676	AY618715			
Suberitida	Hymeniacidon perlevis	SB22A		KY492553		
Suberitida	Hymeniacidon perlevis					AB250766
Suberitida	Hymeniacidon sinapium	5FingF				JQ658459
Suberitida	Hymeniacidon sinapium	5Fing-NE				JQ658471
Suberitida	Hymeniacidon sinapium	5Fing-NS				JQ658460
Suberitida	Hymeniacidon sinapium	Azvdo1				JQ658458
Suberitida	Hymeniacidon sinapium	Azvdo2				JQ658457
Suberitida	Hymeniacidon sinapium	Bsex-94		KP136744		
Suberitida	Hymeniacidon sinapium	HBI-N				JQ658456
Suberitida	Hymeniacidon sinapium	HBI-Nb				JQ658467
Suberitida	Hymeniacidon sinapium	HBI-S				JQ658464
Suberitida	Hymeniacidon sinapium	HBI-SDr				JQ658466
Suberitida	Hymeniacidon sinapium	Head				JQ658451
Suberitida	Hymeniacidon sinapium	Hyms1				AB373166
Suberitida	Hymeniacidon sinapium	Hyms2				AB373167
Suberitida	Hymeniacidon sinapium	Hyms3				AB373168
Suberitida	Hymeniacidon sinapium	Hyms4				AB373169
Suberitida	Hymeniacidon sinapium	Hymsin1		EF217329		EF217355
Suberitida	Hymeniacidon sinapium	Hymsin2				EF217356
Suberitida	Hymeniacidon sinapium	Hymsin3				EF217357
Suberitida	Hymeniacidon sinapium	Hymsin4				EF217358
Suberitida	Hymeniacidon sinapium	Hymsin5				EF217359
Suberitida	Hymeniacidon sinapium	Hymsin6				EF217360
Suberitida	Hymeniacidon sinapium	Hymsin7		EF217332		EF217361
Suberitida	Hymeniacidon sinapium	Kirby1				JQ658450
Suberitida	Hymeniacidon sinapium	Kirby2				JQ658472
Suberitida	Hymeniacidon sinapium	SML-EB				JQ658455
Suberitida	Hymeniacidon sinapium	SML-lw				JQ658468
Suberitida	Hymeniacidon sinapium	SML-N				JQ658461
Suberitida	Hymeniacidon sinapium	SML-NW				JQ658463
Suberitida	Hymeniacidon sinapium	SML-S				JQ658462
Suberitida	Hymeniacidon sinapium	SML-TS				JQ658465
Suberitida	Hymeniacidon sinapium	Tomales				JQ658473
Suberitida	Hymeniacidon sinapium	WalkB-lw				JQ658469
Suberitida	Hymeniacidon sinapium	WalkB-N				JQ658452
Suberitida	Hymeniacidon sinapium	WalkB-NE				JQ658454
Suberitida	Hymeniacidon sinapium	WalkB-S				JQ658453
Suberitida	Hymeniacidon sinapium	WalkB-shr				JQ658470
Suberitida	Hymeniacidon sinapium					AB250765
Suberitida	Hymeniacidon sinapium			NC_022450		- 12 23 0 7 03
Suberitida	Hymeniacidon sp.	G303294		JQ034565		
Suberitida	Hymeniacidon sp.	oki022		200.000		AB250767
Suberitida	Plicatellopsis Antarctica	NIWA29084		LN850221		-1220101
Suberitida	Plicatellopsis fragilis	NIWA23004 NIWA38173		LN850217		
Suberitida	Protosuberites denhartogi	GW30163	MH157909	211030217		
Suberitida	Protosuberites denhartogi	MC3715	KX601207			
Suberitida	Protosuberites denhartogi	MC4908	KX601207 KX601208			
Suberitida	Protosuberites denhartogi	MC5215	KX601208 KX601210			

Ordem	Espécie	Voucher	28S	COX1	16S	(continua ITS2
Suberitida	Protosuberites denhartogi	MC5288	KX601211			
Suberitida	Protosuberites denhartogi	MC5556	KX601209			
Suberitida	Protosuberites denhartogi		AY561916			
Suberitida	Protosuberites ectyoninus	UBAPOR01	KX601205			
Suberitida	Protosuberites incrustans	ZMAPOR20543	KX601206			
Suberitida	Protosuberites mereui	PROTOBM03	KX601212			
Suberitida	Protosuberites sp.	POR14649	AY561915	AY561979		
Suberitida	Pseudosuberites hyalinus	NIWA28894		LN850222		
Suberitida	Pseudosuberites nudus	NIWA28874		LN850223		
Suberitida	Pseudosuberites nudus	NIWA29152		LN850224		
Suberitida	Pseudosuberites sp.	POR06588	AY561919			
Suberitida	Pseudosuberites sp.	UCMPWC1069	AY561917			AY561917
Suberitida	Pseudosuberites sp.	UCMPWC956	AY626317.			111301717
Subcritida	r seucosuoernes sp.	CCIVII WC750	AY561913			
Suberitida	Pseudosuberites sulphureus	Mc3359	HQ379246. 321.388			
Suberitida	Rhizaxinella sp.	G319653	AY561910	AY561983		AY561910
Suberitida	Rhizaxinella sp.			KJ546357		
Suberitida	Spongosorites genitrix		X57260			
Suberitida	Stylocordyla chupachups	NIWA28902		LN850241		
Suberitida	Stylocordyla chupachups	NIWA28936		LN850242		
Suberitida	Stylocordyla chupachups	NIWA29186		LN850243		
Suberitida	Stylocordyla chupachups	NIWA37228D		LN850189		
Suberitida	Suberites aurantiacus	P35	KC869577			
Suberitida	Suberites aurantiacus	STAIFP3		EF519676		
Suberitida	Suberites aurantiacus	STAIFP8		EF519677		
Suberitida	Suberites aurantiacus	STAIIFP2		EF519678		
Suberitida	Suberites aurantiacus	STAIIFP3		EF519679		
Suberitida	Suberites aurantiacus	STAIIFP4		EF519680		
Suberitida	Suberites aurantiacus	STAIIFP4B		EF519681		
Suberitida	Suberites cf. caminatus	NIWA52801		LN850254		
Suberitida	Suberites diversicolor	C1		KF568960		
Suberitida	Suberites diversicolor	C2		KF568961		
Suberitida	Suberites diversicolor	C3		KF568962		
Suberitida	Suberites diversicolor	C4		KF568963		
Suberitida	Suberites diversicolor	SPO46				KY565305
Suberitida	Suberites diversicolor		KF568965			
Suberitida	Suberites domuncula	MCZDNA105717		JX999078		
Suberitida	Suberites domuncula		AJ620113			
Suberitida	Suberites domuncula			NC_010496		
Suberitida	Suberites fícus	Mc4322	HQ379247. 322.389	HQ379429		
Suberitida	Suberites fícus		AY026381			
Suberitida	Suberites fícus					AJ627184
Suberitida	Suberites fícus			AJ843891		
Suberitida	Suberites massa	Mc4528	HQ379406. 324.390			
Suberitida	Suberites massa	POR14128	AY618723			
Suberitida	Suberites pagurorum	Mc4043	HQ379248. 323			
Suberitida	Suberites pagurorum			KC869422		

Ordem	Espécie	Voucher	28S	COX1	16S	ITS2
Suberitida	Suberites sp.	G300336		SBD677		
Suberitida	Suberites sp.	G300851		SBD613		
Suberitida	Suberites sp.	NCI291	KC869467			
Suberitida	Suberites sp.	NCI451	KC869500			
Suberitida	Suberites sp.	UCMPWC859	AY626315. AY561912			
Suberitida	Suberites sp.	UCMPWC859		AY561966		
Suberitida	Suberites sp.	UCMPWC859		AY561966		
Suberitida	Suberites suberia	POR14124	AY618724			
Suberitida	Suberites suberia	POR9726	AY319309	AF437295		
Suberitida	Suberites topsenti	NIWA28884		LN850246		
Suberitida	Suberites virgultosa	POR12969	AY618725			
Suberitida	Terpios aploos	NCI326	KC869465			
Suberitida	Terpios aurantiaca	POR10080	AY626316. AY561911			
Suberitida	Terpios cf. australiensis		AY561918			
Suberitida	Terpios gelatinosus	Mc3315	HQ379250. 325.391			
Suberitida	Terpios gelatinosus	Po.25564	KX688722			
Suberitida	Terpios hoshinota	RMNHPOR8732	KP764919			
Suberitida	Vosmaeria crustácea	APPor260sp1	EF646848			
Suberitida	Vosmaeria crustácea	APPor260sp2	EF646849			
Suberitida	Vosmaeria crustácea	APPor260sp3	EF646850			
Suberitida	Vosmaeria crustácea	APPor260sp4	EF646851			
Suberitida	Vosmaeria crustácea	APPor260sp5	EF646852			
Suberitida	Vosmaeria crustácea	APPor339sp1	EF646846			
Suberitida	Vosmaeria crustácea	APPor339sp2	EF646847			
Suberitida	Vosmaeria reticulosa	HL2354	EF646845			
Suberitida	Suberites domuncula				NC_010496	
Suberitida	Hymeniacidon sinapium				NC_022450	
Suberitida	Halichondria okadai				NC_037391	
Tethyida	Adreus fascicularis	Mc4559		HQ379428	_	
Tethyida	Axos cliftoni	G300111	AY626308	AY561974		
Tethyida	Hemiasterellidae	NCI052	KC869615			
Tethyida	Tectitethya keyensis	NCI360	KC869616			
Tethyida	Tectitethya keyensis	SI06x144	KC869588			
Tethyida	Tethya actínia			NC_006991		
Tethyida	Tethya seychellensis	P09	KC869475			
Tethyida	Tethya sp.	SI06x109	KC869527			
Tethyida	Tethya sp.	UCMPWC957	AY626300			
Tethyida	Timea sp.	G313459	AY626303			
Tethyida	Timea unistellata			KC869427		
Tethyida	Xenospongia patelliformis	NCI335	KC869650			
Tethyida	Tethya actínia				NC_006991	
Tetractinellida	Disyringa dissimilis	NCI091	KC869622			
Tetractinellida	Pachastrella sp.	JR15	KC869483			
Tetractinellida	Penares cf. alata	NCI181	KC869466			
Tetractinellida	Penares nux	NCI450	KC869460			
Tetractinellida	Stelletta fibrosa	P24	KC869612			
Tetractinellida	Tethyopsis mortenseni	NCI168	KC869618			
Tetractinellida	Geodia neptuni				NC_006990	

(conclusão)

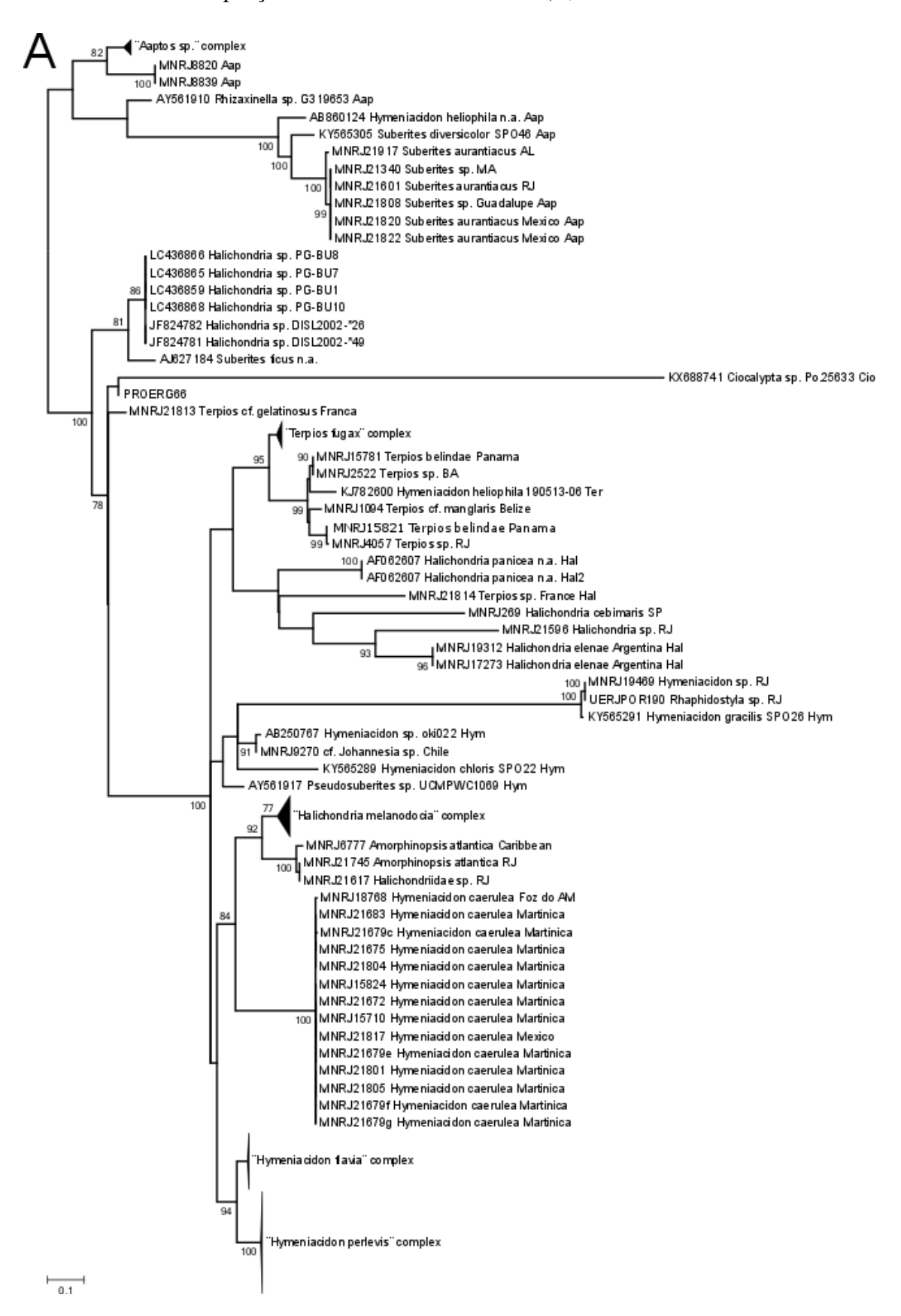
Ordem	Espécie	Voucher	28S	COX1	16S	ITS2
Trachycladida	Trachycladus laevispirulifer	WAMZ1186	AY626305			
Trachycladida	Trachycladus sp.	NCI325	KC869579			
Trachycladida	Trachycladus stylifer	NCI301	KC869453			
"Topsentiida"	Axinyssa ambrosia	POR14311	AY618707	AY625658		
"Topsentiida"	Axinyssa cavernosa	NCI452	KC869544			
"Topsentiida"	Axinyssa sp.	AXT.1		KX894481		
"Topsentiida"	Axinyssa sp.	AXT.2		KX894482		
"Topsentiida"	Axinyssa sp.	AXT.3		KX894483		
"Topsentiida"	Axinyssa sp.	AXT.4		KX894484		
"Topsentiida"	Axinyssa sp.	POR14501	AY618709	AY625659		
"Topsentiida"	Ciocalypta carballoi	Po.25633		KX866757		
"Topsentiida"	Ciocalypta carballoi	Po5633		KX866757		
"Topsentiida"	Ciocalypta colorata	SMF11646		SBD1779		
"Topsentiida"	Topsentia halichondroides	POR8450	AY618727	AY625676		
"Topsentiida"	Topsentia ophiraphidites	POR14312		AY625677		
"Topsentiida"	Topsentia ophiraphidites			NC_010204		
"Topsentiida"	Topsentia sp.	NCI053	KC869551			
"Topsentiida"	Topsentia sp.	P126	KC884837			
"Topsentiida"	Topsentia ophiraphidites				NC_010204	
_	aff. Protosuberites sp.	040313-20		KJ620398		
	aff. Protosuberites sp.	190513-06		KJ620404		
	aff. Protosuberites sp.	Po.25768	KX688745			
17	459		178	195	16	105

#### **APÊNDICE** C – Sequência da estrutura secundária centróide dos espaçadores internos transcritos (ITS2) de Suberitida

```
>KX688741 Ciocalypta sp. MFE = -102.60 kcal/mol
ACGUCUGUCUGAGCGUUUGUUUUCUGUCGUGUGCUGCCCCUAGUCUGGGCGGAACGCAGUGAG
GAGAGUUGUCCCGGCUGCGGGACAUCCCUUGAAGUGACGGAACCUCGUCAGCGUCCCGAACGAG
UGCACCCGAGGAAGACUCGGCCGUGGAUGCGACCUGCGGGGUCCCCUUGCCAGCCGGCAUGUU
GCGGCGUGCCGACCCUUUUGAACCUCAGAUCAGGCGA
>MNRJ21679a Terpios fugax MFE = -84.90 kcal/mol
GCGUUGUCUUGAGACACCGCGUUUCGGACAUCCCUUGAAGUGAUGCGUCCCUCCUGACCGCGG
AGCGAGUACACCGGUGUUGUGCGAGCUGCCUCGGCCGACUCGGGACGGUGCGAACCACUGUCUU
GAACUGAACCUCAGAUCAGGCGA
>AJ627184 Suberites fícus MFE = -88.40 kcal/mol
ACGUCUGUCUGAGCGUUUACUUUACUGUGUACCACCAGAGUGCUGGUUGCGUACGUUGUGAGG
CGUUGUCCGACCGGCUCGACCGGCGCGGACAUCCCUUGAAGUGAUGUGCCCCUUCUGACGUCGG
ACCAAACUGAACCUCAGAUCAGGCGA
>MNRJ21813 cf. Terpios MFE = -76.20 kcal/mol
ACGUCUGUCUGAGCGUUUGCUUUACUUUGUACCACCAGUAUACUGGUUGAGUACGCUGUGAGG
UGUUGUCCAACUGGCCUGUCCGUGUGGACAUCCCUUGAAGUGAUGUGUCCCUUCUGACAUUGGG
AGCAAGUACACAGAUGUGGUGCGUGCUACCGGUGUUGACUGGGUCUCAAGUGUUCACCUAACA
CACAACUAACUGAACCUCAGAUCAGGCGA
>MNRJ8340 Aaptos sp. 2 MFE = -77.10 kcal/mol
ACGUCUGUCUGAGCGUUUGCUUUACUGUGUACCACCACUUUUUGACUGGCAAGGUAUGUUGUGA
GGUGUUGUCCGACCAGCCAGACUGCGGACAUCCCUUGAAGUAAUGUGUCCCAUAGUUCAUUGGG
AGCAGGCACACACGUAGUGCAUGCCCCUCUUGUCUGUGGGCCCAGGUCGACCUACAGUCACC
AAACUGAACCUCAGAUCAGGCGA
>AY561910 Rhizaxinella sp. MFE = -64.60 kcal/mol
ACAUCUGUCUGAGCGUUUGCUUUACUAUGUACUACCAGGUAACUGGCGGAGUAUGUUCUG
AGGUGUUGUCCUAUUAGCGGAGACUGUGGGACAUCCCUUGAAGUUAUGUAACCCAUUGUCACU
UGGGGCAGGUACACAAAUGUAGUGCAUGCUCUUUGGGCUCUGGCUUUAAUUGACCUACGAUCA
GAAAACUGAACCUCAGAUCAGGUGA
>MNRJ21601 Suberites aurantiacus MFE = -64.20 kcal/mol
ACAUCUGUCUGAGUGUUUGAUUUUACUGUGUACUUAAUGCUAGUACUCGUUGAGGUGUUGUCC
UGGUAGCUUUUGUUUUUGACUACGGCCAUCCCUUGAAGUAAUGCGAACCCAUUGUCUCCGGG
UGCAAGCACACACGUAGUGCAUGCUCUGGCGGCUCAGGUGGUUUACGCUGACCUAUUAUCAA
CAAACUAAACCUCAGAUCAGGUGA
>AF062607 Halichondria panicea MFE = -99.60 kcal/mol
GGCGUUGUCUGCGGCCCUCGCGCCACGGGCAUCCCUCGAAGUGAUUGCGUCCCCUCCCGAUUG
CGGGAGCCGGCACACAGAUGCUGUUGCCGGCUGUCCGAUCGACUCGCGGUGACGCCGUGACCUC
AAUUCUCAAACUGAACCUCAGAUCAGGCGA
```

```
>MNRJ19469 Rhaphidostyla sp. nov. MFE = -95.10 kcal/mol
UCUUGGCUGUGCGCAAUUGAGGUGUUGCCUUUCCAGGCAUCCCUUGAAAUGAACCGGUCGCC
UCUUCCUAGCCUGUUUUGAGAGUGAUGCACACUGAUGUUGCUCACAUCUCGGGCAGCUGUUGG
GUAGUUGGUCACCGUAUGACUGCAAAAACUUACACUGAACCUCAGAUCAGGCGA
>MNRJ21814 Terpios gelatinosus MFE = -84.70 kcal/mol
ACGUCUGUCUGAGAGUUUGCUUUACUGUGUACUCGUCCGACGAGUAUGUUUUGAGGUGUUGUC
CGAGCACUGGCUGCGCGGCAUCCCUUGAAGUGACNCGUCUCUUGCCUCUGGGAGCGAGCAC
ACGGAUGCUGUGCGCUGCCGUUGGUACCUUGAGGCGGCAGUCGUGACCUGUCGUCAAUAAAC
CUGAACCUCAGAUCAGGCGA
>MNRJ15710 Hymeniacidon caerulea MFE = -88.30 kcal/mol
ACGUCUGUCUGAGAGUUUGUUUUAACUGUGUGCACACCCUGUGACAGGGUCGUGCACGAUGUG
AGGUGUUGUCUGACUGUGAGUGGCCGGACAUCCCUUGAAGCGAUGCAUCCCCUCCUCGUCACUG
CAGGAGCGAGCACCGAUGUUGUGCCACGCCACUGCGACGGCCUGGAACGGUGCGUGUGACCC
UCUCACGAACUGAACCUCAGAUCAGGCGA
>MNRJ18436 Hymeniacidon perlevis MFE = -82.10 kcal/mol
ACGUCUGUCÚGAGAGUÚUGCUUUACUGUGUACCGCCAGCUCGCUGGUCGCGUACGGUGUGAGG
AGUUGUCUCCGAGCGCUCGUCGUUCUGGACAUCCCUUGAAGUGAGGCGUCCCUCCUGACUGCA
GGAGCAGCACCCGUGCUGUGCGUGUUCUUGCGGCCGACGGGGACGGUGUGCGUGACCUGUC
ACUCUCACGAAUAGAACCUCAGAUCAGGCGA
>MNRJ6777 Amorphinopsis atlântica MFE = -82.60 kcal/mol
ACGUCUGUCUGAGAGUUUGCUUUACUGUGUACUCCCACUGAGGCGUACGGUGUGAGGUGUUGU
UUGUGGGGAGUCUCCCCAUGACAUCCCUUGAAGUGAUGCACACCUCCCGAUUGCAGGAGCAAGC
ACACCGAUGCUGUGAGUGCUGUGGUCGAUUGGUGGUAUAUAUGUGACCUGUCACUCUCAU
GAAUUGAACCUCAGAUCAGGCGA
>MNRJ21803 Halichondria melanodocia MFE = -84.90 kcal/mol
ACGUCUGUCUGAGAGUUUGUUUUACUGUGUACUCCCAUCGAGGUGAGGUGUACGAUGUGAGGA
GUUGUCUGUGGGUUUCUACCCGGACAUCCCUUGAAGUGAUGCAUCCCCUCCUGGUUGUAGGAGC
AAACACACCGACGCUGUGAGUGCCUCUGCAAUCGAUUGGGGAUGGGUUGUGUGACCUGUCACU
UUCACGAACU<mark>GAACCUCAGAUCAGGCGA</mark>
>MNRJ9270 cf. Johannesia MFE = -60.70 kcal/mol
ACGUCUGUCUGAGAGUUUGCUUUACUGUGUACCGCCGGGAGGCCGGUUGCGUACGGUGUGAGG
GGAGCAGCACCGAUGUCGUGCACUGCUUCCGCUUGCGCACUGGGACGCACGUGUUGACCU
GUCGCUCUCACGAACUGAACCUCAGAUCAGGCGA
))))))......))))))
```

APÊNDICE D – Relação filogenética completa das suberitidas (A). Detalhamento dos complexos de espécies (B-F) referentes aos triângulos observados na porção mais distal dos ramos em (A)



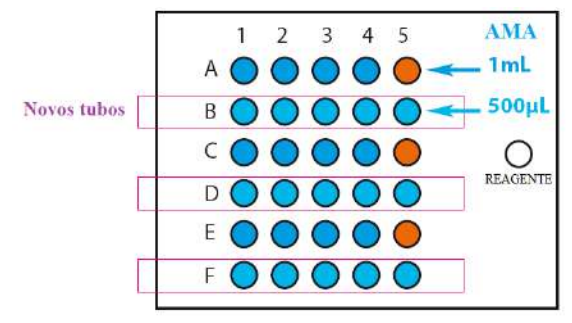
AB250775 Hymeniacidon flavia H Hym

min

#### **ANEXO** A – Teste de bioatividade Microtox® com a bacteria *Aliivibrio fisheri*

Coloque 1 mL de solução de reconstituição no frasco da bactéria e insira em REAGENTE. Esperar 15 min.

- 1. Coloque os tubos nas linhas B-D-F
- 2. Adicione 500  $\mu L$  AMA + 10  $\mu L$  reagente.



A5 C5

Dissolva as amostras com 2 mg/mL em água do mar artificial (AMA) com máximo de 2% de acetona.

- 3. Homogeneizar e colocar no ultrassom por 3
- 4. Adicionar 1 mL AMA + 1 mL amostra (apenas 3 amostras são realizadas por vez)
- 5. A5- C5 E5 são para começar o teste

Preparação da amostra e reagente

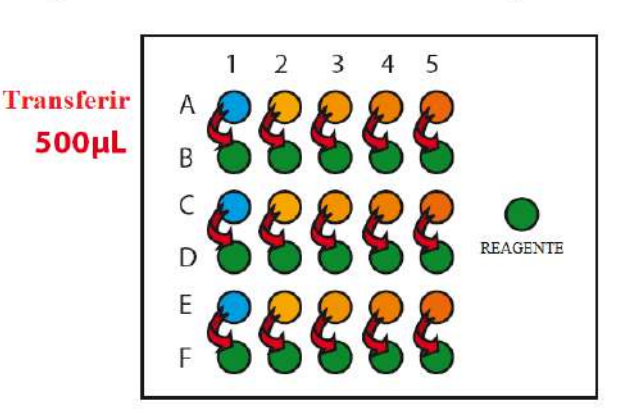
- 6. Passe 1 mL da solução em A5- C5 E5 os frascos ao lado. Pare na coluna 2, pois a coluna 1 é o controle.
- 7. Coloque 10  $\mu$ L de reagente em B-D-F e espere 15 min.
- 8. Fazer a leitura do teste I<sub>0</sub>: linhas B-D-
  - Siga o passo-a-passo do *software*.

1800 µL AMA

200 uL amostra

Teste de toxicidade entre reagente e amostra.

- 9. Transfira 500 µL das amostras diluídas para os frascos só com reagente.
  - Siga o passo-a-passo do *software*.
- 10. Fazer a leitura do teste I<sub>t</sub>: linhas B-D-F.
  - Siga o passo-a-passo do *software*.
- 11. Tire foto dos gráficos e resultados que aparecem e salve no computador.



Reinicie o *software* e comece a fazer novas amostras, pois as bacterias só podem ser utilizadas durante 3 h. Dependendo da agilidade, 3 a 5 *sets* de 3 amostras podem ser realizados com a mesma cepa bacteriana.

# **ANEXO B** – Protocolo de extração de DNA com tampão de lise contendo Hidrocloreto de Guanidina (GuHCl) (Lôbo-Hajdu *et al.*, 1999)

- 1. Cortar um pedaço de esponja de aproximadamente 50 mm³, livre de epibiontes e transferir para um microtubo limpo de 1,5 mL;
- 2. Adicionar 500 a 700 mL de tampão TE (100 mL de solução de Tris-HCl 1M, pH: 8,0 / 20 mL de EDTA 0,5 M, pH: 8,0) neste tubo e incubar a amostra por 20-30 min para reidratá-la;
- 3. Centrifugar a 6000 RPM por 1 min, em temperatura ambiente;
- 4. Retirar o sobrenadante e deixar apenas o tecido da esponja no microtubo;
- 5. Adicionar 600 a 700 μL de GuHCl [4 M; Tris-HCl 50 mM; pH 8,0; EDTA 0,05 M; N' lauryl sarcosine 0,5%] e macerar a esponja com pistilo até que o tecido de desfaça completamente (caso não consiga desfazer o tecido, pode-se deixar o tecido em banho-maria a 36° C até que o tecido fique mais fácil de ser macerado);
- 6. Após a maceração, mantenha a solução incubada em banho-maria, 56° C por, no mínimo, 1 h (nesta fase haverá a lise das células liberando o DNA);
- 7. Adicionar o mesmo volume (600 a 700 μL) de clorofórmio (proproção 1:1) e misturar por inversão (nesta etapa ocorre a retirada de lipídeos e proteínas que se particionam nos solventes orgânicos, após a lise das membranas e da desnaturação das proteínas por ação do detergente, alto sal e da alta temperatura do processo de homogeneização);
- 8. Misturar por inversão e centrifugar a 6000 RPM por 3 min na temperatura ambiente;
- 9. Passar o sobrenadante (550 μL) para um microtubo de 1,5 mL limpo;
- 10. Adicionar igual volume de clorofórmio, misturar por inversão e centrifugar a 6000 RPM por 3 min, na temperatura ambiente;
- 11. Passar o sobrenadante (500  $\mu$ L) para um microtubo de 1,5 mL limpo (se ainda houver detergente, repita o processo, retirando 50  $\mu$ L, a cada limpeza);
- 12. Adicionar igual volume de isopropanol ao sobrenadante (proporção 1:1) previamente adicionado ao novo microtubo e levar ao freezer -20° C, por no mínimo 30 min (normalmente deixa-se *overnight*, assim o isopropanol age retirando a água de solvatação do DNA e, adicionada à baixa temperatura, aumenta a precipitação do DNA);
- 13. Centrifugar a 12000 RPM por 20 min em centrífuga refrigerada a 4° C;
- 14. Retirar todo o sobrenadante por inversão, secando o precipitado colocando o tubo de ponta-cabeça sobre uma folha de papel toalha;

- 15. Lavar o microtubo com 1 mL de etanol 70% gelado, agitando o tubo suavemente para ressuspender o precipitado, mas com cuidado para evitar a reidratação do DNA);
- 16. Centrifugar a 10000 RPM por 5 min em microcentrífuga refrigerada;
- 17. Remover o solvente e lavar novamente com 1 mL de etanol 70% gelado;
- 18. Centrifugar a 10000 RPM por 5 min em microcentrífuga refrigerada;
- 19. Remover todo o solvente e deixar o *pellet* secar, em estufa (cobrir os tubos com papel para que não haja contaminação na amostra);
- 20. Ressuspender o *pellet* em 50-100 μL de solução de RNAse, dependendo do tamanho do *pellet* (amostras antigas 20 μg/mL e amostras novas 200 μg/mL; 2 μL RNAse para 1 mL de água Miliq);
- 21. Incubar em banho-maria 36° C por 30 min;
- 22. Realizar a quantificação do DNA em Nanodrop e gel de agarose 0,8%.

### Protocolo de extração de DNA com tampão de lise contendo Brometo de Cetil-Trimetil Amônio (CTAB) sensu de Paula (2016)

- 1. Cortar um pedaço de esponja de aproximadamente 50 mm³, livre de epibiontes e transferir para um microtubo limpo de 1,5 mL;
- 2. Adicionar 500 a 700 mL de tampão TE (100 mL de solução de Tris-HCl 1M, pH: 8,0 / 20 mL de EDTA 0,5 M, pH: 8,0) neste tubo e incubar a amostra por 20-30 min para reidratá-la;
- 3. Centrifugar a 6000 RPM por 1 min, em temperatura ambiente;
- 4. Retirar o sobrenadante e deixar apenas o tecido da esponja no microtubo;
- 5. Adicionar 500 μL de tampão CTAB [2%; NaCl 1,4 M; Tris-HCl 100 mM; pH 8.0; SDS 0,5%] e macerar a esponja com pistilo até que o tecido de desfaça completamente (caso não consiga desfazer o tecido, pode-se deixar o tecido em banho-maria a 36° C até que o tecido fique mais fácil de ser macerado);
- 6. Misturar 200  $\mu$ L de CTAB, 2  $\mu$ L de proteinase K (10  $\mu$ g/ $\mu$ L) e 1  $\mu$ L de  $\beta$ -mercaptoetanol e adicionar aos microtubos;
- 7. Incubar o material em banho-maria, 56° C por, no mínimo, 1 h (nesta fase haverá a lise das células liberando o DNA);
- 8. Centrifugar a 6000 RPM por 1 min, em temperatura ambiente (separar e remover debris);
- 9. Transferir 600 μL do solvente para um microtubo limpo;
- 10. Adicionar o mesmo volume (600 μL, mantendo a proporção 1:1) de clorofórmio ao microtubo contendo a solução de lise e esponja (nesta etapa ocorre a retirada de lipídeos e

proteínas que se particionam nos solventes orgânicos, após a lise das membranas e da desnaturação das proteínas por ação do detergente, alto sal e da alta temperatura do processo de homogeneização);

- 11. Misturar por inversão e centrifugar a 6000 RPM por 3 min na temperatura ambiente;
- 12. Passar o sobrenadante (550 μL) para um microtubo de 1,5 mL limpo;
- 13. Adicionar igual volume de clorofórmio, misturar por inversão e centrifugar a 6000 RPM por 3 min na temperatura ambiente;
- 14. Passar o sobrenadante (500 μL) para um microtubo de 1,5 mL limpo (se ainda houver detergente, repita o processo, retirando 50 μL, a cada limpeza);
- 15. Adicionar igual volume de isopropanol ao sobrenadante previamente adicionado e levar freezer -20° C, por no mínimo 30 min (normalmente deixa-se *overnight*, assim o isopropanol age retirando a água de solvatação do DNA, e adicionada à baixa temperatura aumenta a precipitação do DNA);
- 16. Centrifugar a 12000 RPM por 20 min em centrífuga refrigerada a 4° C;
- 17. Retirar todo o sobrenadante por inversão;
- 18. Lavar o microtubo com 1 mL de etanol 70% gelado, agitando o tubo suavemente (evitar a reidratação do DNA);
- 19. Centrifugar a 10000 RPM por 5 min em microcentrífuga refrigerada;
- 20. Remover o solvente e lavar novamente com 1 mL de etanol 70% gelado;
- 21. Centrifugar a 10000 RPM por 5 min em microcentrífuga refrigerada;
- 22. Remover todo o solvente e deixar o pellet secar, em estufa (cobrir os tubos com papel para que não haja contaminação na amostra);
- 23. Ressuspender o *pellet* em 50-100 μL de solução de RNAse, dependendo do tamanho do *pellet* (amostras antigas 20 μg/mL e amostras novas 200 μg/mL; 2 μL RNAse para 1 mL de água Miliq);
- 24. Incubar em banho-maria 36° C por 30 min;
- 25. Realizar a quantificação do DNA em Nanodrop e gel de agarose 0,8%.

## **ANEXO C** – Preparação do gel de agarose com tampão de corrida Tris-acetato-EDTA (TAE) para visualização do DNA extraído e do produto de PCR

A preparação dos géis utilizados em ambas as etapas (Extração de DNA 0,8% e produto de Reação em Cadeia de Polimerase (PCR, em inglês) 1,5%) seguem o mesmo protocolo, alterando apenas a concentração da agarose, a partir de uma mistura de tampão TAE, H<sub>2</sub>O destilada e agarose (Na purificada GE Healthcare).

Tampão estoque: TAE 50X (Volume: 1 L - 242 g de Tris base, 57,1 mL Ácido Acético Glacial, 100 mL de EDTA 0,5 M pH 8,0, H<sub>2</sub>O destilada 1000 mL). Autoclavar.

Tampão de corrida: TAE 1X (Tris 40 mM, Ácido Acético 20 mM, EDTA 1mM) diluir a solução estoque 50X em água Milli-Q.

- 1. Montar a cuba de eletroforese em superfície horizontal sem desnível, certificando-se de que todas as partes estejam limpas;
- 2. Derreter o gel preparado com 10 μL de brometo de etídio (EtBr, 10 mg/mL) no microondas (20 em 20 seg para não ferver);
- 3. Verter o gel dissolvido na bandeja e furar o gel com os pentes (o tamanho da bandeja depende do número de amostras analisadas);
- 4. Após a gelificação, verter o tampão de eletroforese na cuba e retirar o pente do gel;
- 5. Para extração de DNA, adiciona-se 2 μL de solução de DNA de bacteriófago λ10 e λ50 ng/μL como padrões de comparação nos dois primeiros poços;
- 6. Para produto de PCR adiciona-se no primeiro poço 2  $\mu$ L de marcadores tipo "ladder" 100 bp para amplificações de produto de PCR (0,1  $\mu$ g/ $\mu$ L);
- 7. Preparar as amostras de extração de DNA com uma mistura de 5 μL de amostra e 2 μL de tampão de carregamento de amostra ou *loading-buffer* (30% glicerol, 0,25% azul de bromofenol e 0,25% xilenocianol) e adicioná-las após os bacteriófagos. O glicerol aumenta a densidade do tampão e dois solventes de coloração azul correm com tamanhos diferentes de fragmento para poder observar a corrida do DNA, além de facilitar a visualização devido a cor;
- 7. Adiciona-se 3 μL de produto de PCR após o *ladder* e por fim adiciona-se os controles positivo (amostra que já funcionou em uma reação anterior) e negativo (solução de PCR sem DNA);

- 8. Fechar a cuba e conectar os fios na cuba e na fonte de energia, verificando estar corretamente colocados do (-) para o (+), uma vez que os ácidos nucleicos tem natureza negativa devido aos íons fosfato);
- 9. A voltagem de 90 V foi utilizada independentemente do tamanho do gel, sendo o tempo de corrida variável;
- 10. Ao final da corrida do DNA e do produto de PCR, desligar a fonte;
- 11. O gel deve ser colocado em transiluminador com tampa protetora;
- 12. Fotografias do gel foram feitas e o mesmo foi devolvido para o frasco para reutilização (caso o gel ainda possa ser reutilizado);
- 13. Lavar todo o material utilizado e guardar em seus devidos lugares.